

CONCURSUL NAZIONAL DE INVATAMANTULUI  
INSTITUTUL POLITEHNIC "TELEMAN VUJA"

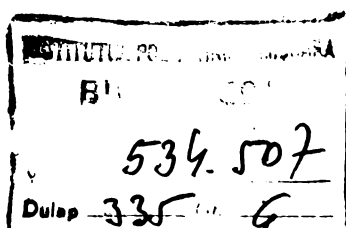
Ing. BALTAZARU MACINELIAN

STUDIUL TENSIUNILOR REZISTENTE LA SARCINILE DE  
LA ANSAMBLUL CULATĂ DE LA LOCOMOTIVA DIESEL-  
ELECTRICĂ DE 2000 CP.

CONCURSUL NAZIONAL  
Prof. dr.-ing. prof. ing. POPOVICI VASILIU

BIBLIOTECA CENTRALĂ  
UNIVERSITATEA "POLITEHNICA"  
TIMIȘOARA

2007



MINISTERUL EDUCATIEI SI INVATAMINTII  
INSTITUTUL POLITECNIC "TRAIAN VULU"  
TEHNICĂ  
ING. BALTAŞCU MACHELILIAN

TEZA DE DOCTORAT

CONDUCATOR SCIENTIFIC  
PROF. DR. ING. POPOVICI VLADIMIR



## C O N T I N U T

<b>1. INTRODUCERE</b>	<b>1</b>
<b>2. CARACTERIZAREA METALULUI DE BAZĂ</b>	
2.1. Caracterizarea metalului de bază*	5
2.2. Considerații asupra sensibilității la creșterea a oțelurilor cerconate.	7
2.3. Recomandări cu privire la sudabilitatea oțelului cerconat	7
2.4. Testare la fisurabilitate a oțelurilor slab aliata cu nerez	13
2.4.1. Încercarea sudurilor în vârfuri bilaterale	13
2.4.2. Încercare la fisurare pe probe sudate în vârfuri	14
2.4.3. Încercarea de securitate terminal (Uf. 2.2.)	16
2.4.4. Încercare de securitate terminal cu un treapta	16
2.4.5. Încercare pentru determinarea concordanței de calitate	19
<b>3. ÎNCERCAREA SI ÎNSURURAREA RUMELIILOR VULCAN IN         IMBRECHIILE OȚELURII</b>	
3.1. Originea deformărilor	25
3.2. Considerații cu privire la calculul analitic al tensiunilor și deformărilor	30
<b>4. ÎNCERCAREA METALURII OȚELURII A LUMINARILOR</b>	
4.1. Măsurări cooperative executate cu în extensometrie electrică și mecanică	31
4.2. Recerarea deformărilor rezultate din o probă din oțel sudată și măsurări efectuate la surfață și în adâncimea probelui	35
4.2.1. Culoarea cerconatelor	35
4.2.2. Rezistența probelor	35
4.2.3. Sudarea probelor	36
4.2.4. Măsurarea deformărilor	37
4.2.5. Concluzii	43
4.3. Considerații cu privire calităților și texturilor din probă sudată care la cap executată din 100%	
4.3.1. rezistența probelor	43
4.3.2. măsurarea deformărilor	45

4.3.3. Interrelația variației deformărilor rezultate în timpul operațiilor de sudare	
4.3.4. Analiza deformărilor după execuțarea operațiilor tehnologice pentru eliberarea tensiunilor	47
4.3.5. Analiza deformărilor din piese decupata	50
4.3.6. Analiza deformărilor specifice dură sudare și după execuțarea jumătății respectiv a decupării	50
4.3.7. Determinarea tensiunilor remanente	52
4.4. Măsurarea deformărilor și a tensiunilor remanente din probele sudate cap la cap din oțel slab aliat cu mangani	55
<b>5.</b>	
<b>5.1. ANALIZA TERMICĂ A PROBELE SUDATE DIN OȚEL IGAL DURĂ SUDARE DURĂ SUDARE DIN OȚEL ALIAT CU MANGANI DIN SHT ALM</b>	
5.1.1. Analiza termică diferențială	63
5.1.2. Declivimetele produse la încalzire și factorii care le influențează	64
5.1.3. Tensiunile remanente produse la procesele termice	65
5.1.4. Analiza dilatometriei pe probe tratate termic din Oțel 37	67
5.1.5. Determinarea coeficientului de dilatăre termică pe emisivele prelevate din proba sudată cap la cap din oțel Oțel 37	71
5.1.6. Precizari asupra deformărilor și a tensiunilor care rezultă datorită proceselor termice	79
5.1.7. Analiza dilatometrică a probelor suvate din oțel Oțel 37 și cu grosimiile de 21,35 și 52 mm	90
5.2. Determinarea variaților coeficientului de dilatare termică liniară și pentru probă din Oțel 37 K sudate cap la cap în atmosferă de $\text{CO}_2$	96
<b>6. ANALIZA DINAMICĂ A CARACTERISTICILOR FISCALE SI MECANICE DIN PROBELE SUDATE DIN OȚEL ALIAT CU MANGANI DIN SHT ALM</b>	
6.1. Determinarea constanțelor elastice ale materialelor cu ajutorul emisiilor ultrasonice	103
6.2. Precizari privind determinarea parametrilor care definesc propagația ultrasunetelor în probele tratate termic	106
6.3. Determinarea parametrilor care definesc propagația ultrasunetelor în probele sudate	112
6.4. Concluzii	121

<b>7.CERCETARI AFECTUATE PE MODELE LA MAISIME NATURALA (SCALA 1 : 1)</b>	
7.1.1.Stabilirea pe model a nivelului tensiunilor din profilul I cadat, utilizat ca longeron la scheletul metalic inferior al locomotivelor	123
7.1.2.Determinarea experimentală a deformatiilor unei model sudat, referitor la sedarea plăcii frontale cu longeronii de la LDE 2100 CP	133
7.1.3.Analiza deformatiilor și tensiunilor la partea frontală a locomotivelor diesel-electrice LDE 1250 CP	134
7.1.4.Cercetarea tensiunilor reziduale din treverea utilizată la ridicarea în porturi a locomotivelor magistrale.	160
7.1.5.Cercetarea mecanismului unei cuve pentru transformator cu dispozitivul de ridicare	163
<b>8.MASURI PENTRU PREVENIREA SI REDUCEREA DIFECTUATORILOR SI TENSIUNILOR RESIDUALE</b>	
8.1.Considerații generale	172
8.2.Măsuri care trebuie luate înainte de sudare	172
8.3.Măsuri cu caracter tehnologic	173
8.3.1.Măsuri tehnologice cu privire la materialul de bază și cel depus	173
8.3.2.Măsuri tehnologice cu privire la execuția cuantelor suante	174
8.4.Măsuri luate după sudare	177
8.4.1.Potensionarea după sudare	178
<b>9. CONCLuzII SI CONTRIBUȚII PERSONALE</b>	
9.1.Concluzii	180
9.2.Contribuții personale	182
<b>BIBLIOGRAFIE SELECTIVA</b>	184



" Doreșe să subliniez și în acest cadru, că realizarea obiectivului fundamental - făurirea societății socialiste multilateral dezvoltate și înaintarea spre comunism - nu se poate realiza decât pe baza dezvoltării puternice a forțelor de producție, a celor mai noi cuceriri ale științei și tehnicii contemporane.  
Orice rămînere în urmă pune în pericol viitorul poporului nostru, independența și suveranitatea sa "[2]"

NICOLAE CEAUSESCU

### 1. INTRODUCERE

La sudarea metalelor - tehnologie aplicată pe o arie tot mai întinsă - se impune a fi luate în considerare complexitatea problemelor care trebuie avute în vedere la adaptarea soluțiilor constructive și tehnologice prin acei factori care concurează la siguranța în funcționare a ansamblelor sulate, ceea ce reprezintă concepția modernă de proiectare constructiv-tehnologică.

Având în vedere dificultățile la sudarea elementelor cu grosime mare, ca și sarcina reducerii consumului de metal se impune folosirea oțelurilor cu caracteristici mecanice superioare..

In baza Directivelor Congresului al XIII-lea al P.C.R. și prin tehnologia de sudare trebuie să fie obținute reduceri tot mai însemnante de metal și energie, având în vedere că "In industria constructoare de mașini, consumurile specifice medii de laminate feroase se vor reduce cu 19 la sută..... "[1] .

Pentru creșterea caracteristicilor mecanice ale oțelurilor cu conținut scăzut de carbon mai mici de 0,2 %, acestea se aliază cu mangan sub 1,5 %, în care caz limita de curgere și rezistența de rupere cresc cu peste 30 %, fără a se ridica probleme deosebite la sudarea acestora [147], ceea ce conduce la economia de metal

Optimizarea soluțiilor constructiv-tehnologice în contextul unor consumuri specifice cât mai mici impune o analiză cât mai profundă a deformațiilor și a tensiunilor remanente, având în vedere că oricare tehnologie modifică spectrul tensiunilor existente anterior, fie prin reducerea acestora sau în cazul însușirii lor poate să conducă chiar la starea limită, depășind valoarea rezistenței de rupere a metalului, în care caz durata de exploatare a ansamblurilor sulate este periclitată.

Cercetarea ansamblurilor sulate sub aspectul analizei deformați-

ilor și tensiunilor remanente vine să completeze încercările obișnuite ale acestora și contribuie la abordarea problemelor de comportarea la sudare a materialelor pe o treaptă superioară, răspunzindu-se astfel sarcinilor mărete puse în fața industriei și cu ocazia Congresului științei și învățământului, cînd tovarășa Academician dr.ing. Elena Ceaușescu arăta : .... cercetarea să-și sporească apărutul la realizarea în bune condiții a prevederilor din programul de introducere a progresului tehnic, de înoiere și modernizare a produselor și ridicare a nivelului tehnic și calitativ al acestora, astfel încît ceea mai mare parte a produselor pe care le realizează industria noastră socialistă să fie de un nivel tehnic ridicat, iar unele dintre ele chiar să devanzeze nivelul calitativ al celor mai bune produse similare realizate pe plan mondial "[3].

In capitolul 1 se prezintă concepția modernă ca la proiectarea constructivă să se considere și influența factorilor tehnologici, care neglijati pot să conducă la pericolitarea în condițiile normale de exploatare a ansamblelor sudate.

Procesele termice, care însoțesc sudarea prin topire a metalelor modifică nu numai proprietățile inițiale ale metalului de bază, însă prin deformațiile și tensiunile remanente produse impună reconsiderarea bazelor proiectării însăși, prin luarea în considerare a stărilor de tensiune modificate datorită procesului de sudare.

Capitolul 2 conține rezultatele experimentale obținute pe tabla din oțel marca OL 52 cu grosimile de 21,35 și 52 mm, în vederea definirii capacitatei de sudare. În continuare au fost cercetate probe sudate realizate cu diferite tipuri de electrozi indigeni și fabricație ESAB. O importanță deosebită a fost acordată testării la fizurabilitate a elementelor sudate din OL 37 și OL 52, folosind mai multe metode de încercare însă diversificate de autor în ceea ce privește atât mărurile de oțel și grosimile elementelor utilizate.

Testările au condus la concluzia că oțelurile de la Combinatul Siderurgic Galați și electrozii fabricați la ISPS Buzău se comportă la sudare ca și materialele similare din străinătate.

In capitolul 3 se prezintă mecanismul producerii deformațiilor la sudarea oțelului, ca și procesele produse în zonele distințe ale imbinărilor sudate. În continuare se prezintă unele aspecte în ceea ce privește calculul analitic al deformațiilor și tensiunilor rezultante la sudare, arătindu-se caracterul limitat al aplicării calculelor complicate și a cunoașterii mărimilor care se impun să sta la bază acestor calcule.

Capitolul 4 expune rezultatele experimentale obținute prin extensometria electrică și mecanică, arătindu-se avantajele și limitările de utilizare pentru fiecare din aceste metode.

Folosind un model special conceput a fost creată posibilitatea analizării deformărilor nu numai la suprafața piesei, dar și la o anumită adâncime.

In continuare se prezintă dinamica deformărilor rezultate pe probe din otel, în timpul executării cusăturilor, ca și pe probe din OL 52.

In capitolul 5 se prezintă rezultatele obținute prin analiza dilatometrică diferențială, care a permis în final stabilirea analitică a tensiunilor prin determinarea experimentală a coeficientului de dilatare termică liniară.

Metodic acesta a fost determinat pe probe din OL 37 încălzite la temperaturile de 700, 800, 900 și  $1000^{\circ}\text{C}$  și răcite în medii diferite ca apă, ulei și aer, făcindu-se o analiză a valorii coeficientului  $\alpha$ , în comparație cu starea de livrare a otelului. Apoi coeficientul de dilatare termică liniară a fost determinat pe epruvete prelevate perpendicular la cusătură și paralele la aceasta. S-au făcut analize comparative cu starea de livrare a otelului, ca și cu stăriile obținute ca urmare a tratamentelor termice efectuate.

Rezultate apreciabile au fost obținute și pe probe din otel OL-52 sudate cu electrozi și regimuri diferite, ca și în  $\text{CO}_2$ .

Experimentările efectuate au permis și stabilirea temperaturii efective pentru detensionarea termică.

In capitolul 6 sunt prezentate rezultatele experimentale obținute pe probe din otel investigate cu energia ultrasonoră, urmărindu-se modificările provocate de anumite tehnologii asupra parametrilor care definesc propagarea undelor în metal. Astfel au fost determinate influențele obținute pe probe deformate plastic uni-direcțional, pe probe supuse încălzirilor și răcirilor diferite (ca probele analizate la cap.5) și în sfîrșit pe probe sudate.

Pe baza determinării vitezelor de propagare ale ultrasunetelor în cazurile analizate au fost stabilite modulele longitudinale și transversale.

Cele mai spectaculoase modificări au fost obținute în cazul probelor sudate, cauzate de deranjamentele produse în rețeaua cristalină datorită deformărilor și tensiunilor rezultate.

In capitolul 7 sunt prezentate rezultatele obținute în ceea ce privește determinarea experimentală a deformărilor dezvoltate la

unele modele sudate executate la scara naturală. În unele cazuri cercetările au fost prealabil efectuate prin modelarea fotoelastică în regim static, care oferă date prețioase în privința optimizării geometriei și dimensiunilor elementelor componente.

Pe baza deformațiilor stabilite experimental, folosind legea lui Hooke generalizată sunt determinate stările de tensiune rezultante prin procesul de sudare, bine definit prin cunoașterea parametrilor tehnologici care-l definesc.

Modelarea la sudură 1:1, folosind mărcile de oțel la dimensiunile cerute completează rezultatele obținute prin modelarea fizică, oferind în același timp posibilitatea ca prin analize distructive să fie cunoscute influența procesului de sudare asupra metalului, ca și defectele de execuție. Astfel au fost constatate diferențe esențiale ale durătății unor îmbinări sudate ale modelului, în comparație cu valorile obținute pe probe de laborator.

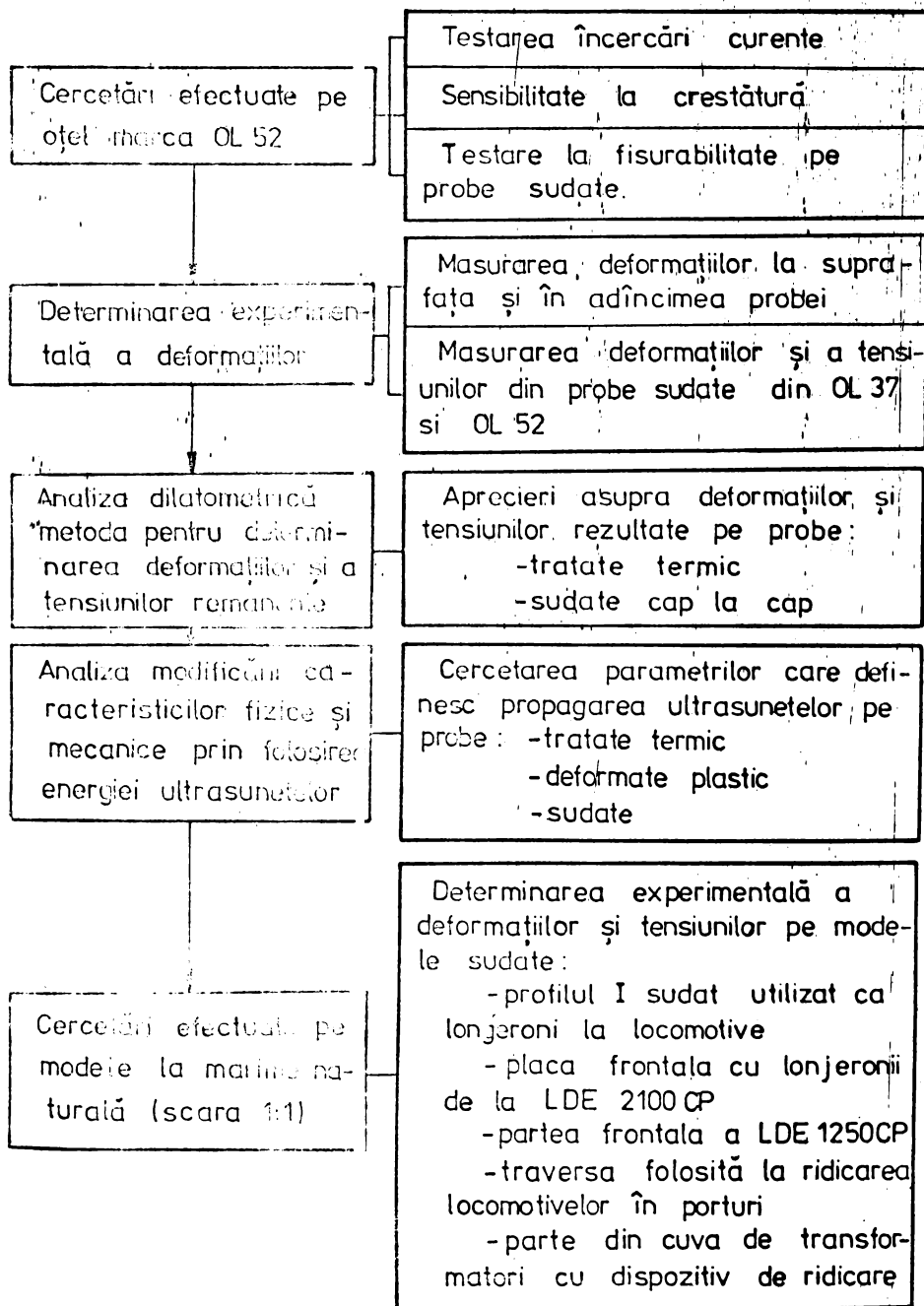
Capitolul 8 indică măsurile care se impun a fi luate în vederea diminuării deformațiilor, respectiv a tensiunilor. Aceste măsuri sunt stabilite în anumite stadii de realizare a îmbinărilor sudate, având în vedere influența procesului de sudare. O atenție deosebită a fost acordată detensionării subansamblurilor sudate, precizind condițiile de execuție a detensionării termice. Se precizează și unele aprecieri cu privire la detensionarea prin vibratii, care prezintă unele avantaje tehnico-economice. Se fac precizări asupra limitei de utilizare a fiecărei metode pentru detensionare.

Capitolul 9 se referă la concluzii și la contribuția personală.

Lucrarea prezintă constituie o parte din rezultatele obținute de autor în activitatea de cercetare desfășurată pe platforma întreprinderii Electroputere, în vederea rezolvării unor probleme legate de utilizarea mărcilor de oțeluri cu granulație fină și slab aliate cu mangan, de optimizarea soluțiilor constructiv-tehnologice ale unor subansambluri sudate de la produsele de mare răspundere fabricate în întreprindere. În vederea elucidării unor fenomene care insotesc deformațiile și stările de tensiune din subansamblurile sudate au fost efectuate cercetări aprofundate, folosind metode avansate ca analiza termică și energia ultrasunetelor.

În această ocazie mulțumesc tuturor acelora care au contribuit la formarea mea ca cercetător și specialist, în primul rînd colegilor de la Facultatea de mecanică a Institutului Politehnic „Traian Vuia” din Timișoara, cu care am ținut o permanentă legătură în probleme profesionale. În mod deosebit trebuie să menționez sprijinul efectiv acord-

# SCHEMA PROGRAMULUI DE CERCETARILOR EXPERIMENTALE EFECTUATE



dat de tovarășul Prof.dr. dec.ing. Vladimir Popovici, în prima etapă cît a lucrat la întreprinderea Electroputere și apoi în calitate de conducător științific.

Formarea mea profesională a fost facilitată de complexitatea problemelor tehnice de la întreprinderea Electroputere Craiova, ca și dotarea experimentală existentă, care împreună cu colectivul de muncă am fost în măsură de a desfășura o vastă activitate de cercetare tehnico-științifică.

De asemenea doreșc să menționez că prin participarea mea cu numeroase lucrări, parte prezentate în bibliografie, la simpozioanele, sesiunile și conferințele naționale din țară și străinătate, a constituit un schimb nemijlocit de opinii, care au contribuit la desăvîrșirea mea ca cercetător, fapt pentru care aduc mulțumirile mele tuturor colegilor din institutele și întreprinderile cu care am avut placerea de a colabora pe diferite teme și probleme tehnice.

## 2. CERCETARILE EFECTUATE PE OTEL SLAB ALIAT CU MANGAN

Pentru utilizarea oțelurilor slab aliate cu mangan în fabricația de locomotive și transformatoare de mare putere au fost întreprinse cercetări proprii cu privire la sudarea acestora [19].

Experimentările s-au efectuat pe table cu grosimea de 21,35 și 52 mm, marca oțelului OL 52-3K STAS 500-50, caracterizându-se în primul rînd cît mai complet materialul de bază (M.B.).

### 2.1. Caracterizarea metalului de bază

Caracterizarea M.B. s-a efectuat conform prevederilor STAS 500/1,2-80.

Analiza compoziției chimice a confirmat încadrarea conform STAS 500/1-80, în tabelul 2.1.1 prezentîndu-se conținutul de C, Mn și N<sub>2</sub>.

Tabelul 2.1.1 Se constată un conținut dif-

Conținutul principalelor elemente

Grosimea tablei (mm)	Conținutul elementelor %		
	C	Mn	N <sub>2</sub>
21	0,19	1,22	0,0045
35	0,16-0,17	1,24-1,41	0,0060
52	0,17-0,19	1,34-1,41	0,0055

ferit de azot și dispersie mai pronunțată a conținutului de mangan.

Structura oțelului din table cu grosimea de 21 mm este în șiruri, poliedrică, fină. În schimb oțelul din tablele cu grosimiile de 35 și 52 mm prezintă structuri

poliedrice, mai grosolane și mai neomogene în secțiune, iar la tabla cu grosimea de 52 mm se constată și o ușoară decarburare la mar-

gine. În toate cazurile punctajul mărimii grăunțelui a fost 8 conform STAS 5490-80.

Că urmare a încercării la tractiune conform STAS 200-75 au fost obținute valori care s-au încaadrat în limitele impuse de STAS 500/2-80, observindu-se variația valorilor pe epruvete prelevate în zone diferite pe grosimea produsului, care concordă cu cele constatate la analiza structurală. Raportul dintre limita de curgere și rezistență la rupere este cuprins între 0,63 - 0,71 pentru oțelul din tablele cu grosimiile de 21 și 52 mm, încaadrindu-se în intervalul 0,65 - 0,75 din literatură [123]. În schimb la tabla de 35 mm acest raport este de 0,58 - 0,59.

Încercarea tehnologică de îndoire la rece conform STAS 777-80 confirmă proprietăți plastice bune ale oțelului din tablele încercate, permitând îndoirea la unghiul  $\alpha = 180^\circ$ , fără ruperea epruvetelor.

Tenacitatea oțelului din tablele cercetate a fost determinată pe epruvete Charpy V la temperaturile de 20, -20 și  $-40^\circ\text{C}$  și pe epruvete DVM la  $0^\circ\text{C}$ . În cazul tablelor cu grosimea de 35 și 52 mm prelevarea epruvetelor s-a făcut pe două zone, respectiv trei zone din secțiunea transversală a produsului.

Oțelul analizat OL 52-3K după STAS 500-80 are garantată energia de 2,8 daJ numai la  $0^\circ\text{C}$ , aceste prezintă o rezervă mult acoperitoare, influențată însă de grosimea produsului. Astfel tabla cu grosimea de 21 mm prezintă o bună tenacitate chiar pe epruvetele transversale pînă la  $-40^\circ\text{C}$ , obținindu-se valori individuale peste 3,5 daJ, secțiunea transversală a epruvetelor rupte prezintănd aspectul fibros.

Tabla cu grosimea de 35 mm a prezentat o dispersie pronunțată a energiei de rupere cu valori peste 2,8 daJ, cu o medie de 4,5 daJ, dar și cu energii inferioare.

Cu atit mai necorespunzător s-a comportat oțelul din tabla cu grosimea de 52 mm, care în totalitate a obținut valori nu numai sub 2,8 daJ, dar chiar mai mici de 1,0 daJ. Secțiunea de rupere a epruvetelor încercate din tablele cu grosimea de 35 și 52 mm a fost cristalină, ceea ce confirmă caracterul fragil al ruperii.

Încercarea executată pe epruvete DVM la temperatura de  $0^\circ\text{C}$  a confirmat o bună comportare a oțelului din tablele cu grosimea de 35 și 52 mm; avind în vedere prevederile din DIN 17100.

## 2.2. Consideratii asupra sensibilitatii la crestatura a otelurilor cercetate

Pentru a caracteriza M.E. la sudare, s-au urmarit urmatoarele:

- otelul sa prezinte o valoare a limitei de curgere cat mai ridicata, fara a afecta caracteristicile care definesc plasticitatea acestia, respectand raportul  $\frac{R_{0.2}}{R_m} = 0,65 - 0,75$ ;

- comportarea la rupere fragila pe epruvete Charpy V, la temperaturile negative;

- tendinta la imbatriuire, care s-a executat pe epruvete Charpy V, in conditiile prevazute de STAS 6774-79. In tabelul 2.2.1 se prezinta rezultatele obtinute, constatindu-se o diferență netă la fenomenul de imbatriuire mecanică a otelului din tabla cu grosimea de 21 mm și celelalte table. Această comportare diferită a otelului din tablele cercetate se poate explica și prin conținutul diferit de azot (tabelul 2.1.1)

Tabelul 2.2.1.

Grosimea tablei (mm)	Rezilienta ( $\text{kgf/mm}^2$ )		Raport $\frac{K_1}{K_0}$	Caracterul ruperii epruvetei imbătrinite
	media ini- tială ( $K_0$ )	media după imbătruire ( $K_1$ )		
21	16,9	15,96	0,93	incomplet, fibroasă
35	17,8	2,56	0,14	cristalină
52	13,35	2,01	0,15	cristalină

## 2.3. Aprecieri asupra sudabilitatii otelului cercetat

Problema sudabilitatii se impunea a fi cercetata in totalitate si amume [123]:

- sudabilitatea operatoare care se referă la conditiile pentru realizarea asamblării printr-un procedeu de sudare ;

- sudabilitatea metalurgica sau locală, care analizează modificările fizico-chimice care rezultă ca urmare a procesului de sudare aplicat;

- sudabilitatea constructivă sau globală care se referă la caracteristicile tehnice ale construcției însăși pentru verificarea asamblărilor sudate în ceea ce privește sensibilitatea la fisurare.

Cercetarea s-a făcut pe probe sudate manual cap la cap prin tăiere cu arc electric. Debitarea probelor s-a efectuat oxiacetanie, pregătirea restului făcindu-se prin aghiere pentru a se evita

operăriile ulterioare de polizare, de modificarea compozitiei chimice și a structurii, în zona debită și în ea influențată termic. Geometria rostului s-a făcut conform STAS 6662-74 și anume în X pentru tablele cu grosimile de 21 și 35 mm și în U pentru tabla cu grosimea de 52 mm.

Electrozii bazici utilizati sunt prezentati in tabelul 2.3.1.

Tabelul 2.3.1.

**Electrozii utilizati la sudarea probelor**

Tipul electrodusului	Producător	S I M B O L I Z A R E			
		STAS 1125/2	DIN 1913	A.W.S. A.5.2.	I.S.O 2560

Electrozi bazići

Unibaz x)	ISPG-Buzău E51.3B2.3H E51.35B(R) IU	E 7016	E51.3.B.23
Superbaz x)	ISPG-Buzău E51.3B.120.2 E51.53.B10 E 7018	E51.3.B120.20	E51.3.B120.29
OK 48-00 <sup>xx)</sup>	ESAB-Suedia OH 1		

x) ISIM - Materiale de sudare 1986

xx) Catalog SEV, Kiev - Moscova 1984.

Temperatura de preincălzire s-a determinat după Seferian[151] și este prezentată in tabelul 2.3.2. Regimul de sudare a fost contro-

Tabelul 2.3.2. lat și s-a determinat energia liniară după Okertblom

**Temperatura de preincălzire**

Grosimea produsului (mm)	Temperatura de preincălzire (°C)
21	115,5
35	122,0
52	161,0

[123], iar între straturi temperatura s-a măsurat folosind cretele termocolor(Thermochrom fabricație A.W.Faber-Castell).

Pentru măsurarea deformărilor prin extensometria mecanică s-au utilizat rozete rectangulare, formate din segmente cu baza de 20 mm.

Regimul de sudare al probelor este prezentat in tabelele 2.3.3.

**2.3.4 și 2.3.5**

La probele sudate din tabla cu grosimea de 21 mm, se constată energii liniare apropiate ca valoare, cind cusătura a fost executată cu straturi succesiive din electrozi cu diametrul de 3,25; 4,0 și 5,0 mm, în schimb situația este schimbată la utilizarea electrozilor cu diametrale de 3,25 și 4,0 mm. Același lucru se constată și la probele sudate din tabla cu grosimea de 35 mm, energii diferite în ca-

Tabelul 2.3.3.

Rezultat de sudare al probelor din tabla de otel 0L 52 grosimea 21 mm

Nr. probă	Electrod tip	Diametru curent înțepătări galvanică(V)	Sursa de încălzire a ferului(A)	Rezultatul de sudare nominal-nouină medie(n)	Viteză de sudare media(m/s)	Nr. liniară de sudare străuturi	Energie liniară observată (J/cm)			
1a. CR. 4.9-00	3,0 4,0	2,5 (+)	C.C.	22-24 22-24 24 22-24	25 23 24 23	130 180 250 130	0,313 0,321 0,331 0,314	2 6 2 2	7164 9672 13925 7141	Fără prein- calzire Cu prein- calzire
1b	4,0	3,0 4,0 5,0 3,0 2,5	22-24 22-24 22-24 22-24 22-24	23 23 23 23 23	180 180 250 250 130	180 180 250 250 130	0,329 0,328 0,324 0,328 0,323	6 6 2 2 2	9436 6839 13880 9409 13147	Fără prein- calzire Cu prein- calzire
2a	4,0	3,0 5,0 3,0 2,5	22-24 22-24 22-24 22-24	23 23 23 23	180 180 250 250	180 180 250 250	0,340 0,340 0,328 0,328	6 6 2 2	6943 120-150°C 6943 120-150°C	Fără prein- calzire Fără prein- calzire
2b	4,0	3,0 4,0 3,0 2,5	22-24 22-24 22-24 22-24	23 23 23 23	180 180 250 250	180 180 250 250	0,340 0,340 0,324 0,324	6 6 2 2	9132 13210 6419 6419	Fără prein- calzire Cu prein- calzire
3a. Superbaza	4,0 5,0 4,0 3,0 2,5	2,5 (+) 2,5 2,5 2,5	C.C. C.C. C.C. C.C. C.C.	22 22 25 25 25	22 22 25 25 25	130-140 180-190 185 250 130-140	0,347 0,465 0,465 0,340 0,347	2 6 6 2 2	13460 13471 13471 67119 67119	Fără prein- calzire Fără prein- calzire
3b	4,0 5,0 4,0 3,0 2,5	2,5 2,5 2,5 2,5 2,5	C.C. C.C. C.C. C.C. C.C.	22 22 25 25 25	22 22 25 25 25	185 185 250 250 135	0,478 0,478 0,345 0,345 0,347	6 6 2 2 2	7257 13587 13587 67119 67119	Fără prein- calzire Fără prein- calzire
3c	3,0 4,0 3,0 2,5	2,5 (+) 2,5 2,5	C.C. C.C. C.C. C.C.	22 22 25 25	22 22 180-190 180-190	135 135 0,460 0,460	0,358 0,358 10	2 10	4842 9690 9690 6812	Fără prein- calzire Fără prein- calzire Fără prein- calzire
4a. Unibaz	3,0 4,0 3,0 2,5	2,5 2,5 2,5 2,5	C.C. C.C. C.C. C.C.	22 22 25 25	22 22 180-190 180-190	135 135 0,327 0,352	2 10	6854 6590 6590	Cu prein- calzire.c.a. 150°C Cu prein- calzire.c.a. 150°C Cu prein- calzire.c.a. 150°C	
4b	4,0	3,0 4,0	2,5 2,5	22 22	130-140 130-140	185 185	0,338 0,353	2 10	9826	Fără prein- calzire

Reginul de sudare al probelor din tabla de oțel  
OL 52 cu grosimea de 35 mm

Tabelul 2.3.4.

Nr. probă	Tip probă	Electrod diametru mm	Surse de tensiune curent lui (V)	Regimul de sudare			Viteză stră-liniară de sătură	Mr. energie stră-liniară (J/mm)	Observații
				nominală	medie	(mm)			
5a	OK-45.00	5,0	C.C (+)	22-24	23	180-200	190	0,332	2 9902 Fără preinălzie
5b		5,0		24	24	250	250	0,323	16
6a		5,0		22-24	23	180-200	190	0,324	2 1616 Fără preinălzie
6b		5,0		24	24	250	250	0,326	16 1229 Cu preinc.cca.150°C
7a		5,0		22-24	23	180-200	190	0,363	16 9842 Cu preinc.cca.150°C
7b		5,0		22-24	23	180-200	190	0,353	16 12060 Probă PREV. Sf. faza
8a	Variabila	5,0	C.C (+)	25	25	180-190	185	0,347	16 10564 Fără preinălzie probă preinc.150°C
8b		5,0		25	25	180-190	185	0,348	26 9953 Cu preinc.150°C
9		5,0		22-24	23	180-200	190	0,352	2 9311 Cu preinc. și detaliu
10		5,0		24	24	200	200	0,356	16 10122 cu preinc. și detaliu
		5,0		25	180-190	185	0,380	26 9128 Cu preinălzie și de-	
									tensiune

Regimul de sudare a probelor din tabla de oțel OL 52 cu grosimea de 35 mm

Tabelul 2.3.5

13	OK-45.00	4,0	C.C (+)	22-24	23	180-200	190	0,375	1 8740 Cu preinc.160°C
II	OK-45.00	4,0		22-24	23	180-200	190	0,309	1 R 12772 Cu preinc.160°C. Notă a fost prezentat ca
14	Superbaza	5,0	C.C (+)	22-24	23	180-200	190	0,375	1 8740 Cu preinc.160°C
15		5,0		25	25	250	250	0,376	1 R 12467 Cu preinc.160°C. Notă a fost prezentat ca
				22-24	23	180-200	190	0,379	1 R 14165 Cu preinc.160°C. Notă a fost prezentat ca
				22-24	23	180-200	190	0,378	1 7653 Cu preinc.160°C. Notă a fost prezentat ca
				25	25	250	250	0,370	16 12669 a fost prezentat ca
				22-24	23	180-200	190	0,326	1 R 10964 notă

zul folosirii electrozilor de 4,0 și 5,0 mm și altă situație la utilizarea numai a electrozilor de 4,0 mm. Variatii pronunțate ale energiei liniare prezintă probele sudate din tabăra cu grosimea de 52 mm, chiar și în cazul completării la rădăcină.

Din probele sudate au fost prelevate epruvete pentru încercările mecanice în conformitate cu STAS 5540 [196, 197, 198, 199, 200].

În plus au fost executate analize macro și micro-structurale ale îmbinărilor sudate și s-a determinat coeficientul de dilatare termică liniară.

Epruvetele pentru încercarea la tracțiune și îndoire la rece au fost prelevate din probele previzute cu rozetele pentru măsurarea deformărilor. Din aceleasi probe au fost decupate fizici cu lățimea de cca 50 mm, care au fost utilizate pentru măsurări extensometrice. Epruvetele pentru încercarea la încovoiere prin soc și pentru dilatometrie au fost prelevate din plăcile fără rozete.

Toate operațiile de tăiere au fost executate prin aschiere, cu precauție în privința încălzirii neadmisibile a metalului.

În tabelul 2.3.6 se prezintă rezultatele încercării de îndoire la rece.

Tabelul 2.3.6.

Rezultatele încercării de îndoire la rece

Nr.	Grosimea probei mea sudate	Tipul de electrod folosit	Praf căzut	Diametru de fundoare	Unghiul doare	Rezultatul încercării
1	21	OK 48.00	fără	40	180	fără crăpături
2			cu		63	crăpături în zona adiacentă cusăturii
3		Superbaz	fără		180	fără crăpături
4		Unibaz	cu		185	crăpături în zona adiacentă cusăturii
5	35	OK 48.00	fără	50	180	fără crăpături
6			cu		180	fără crăpături
7		Unibaz	fără		180	fără crăpături
8			cu		180	fără crăpături

Deshi în unele cazuri valoarea unghiului de la sare și apărut crăpături este sub  $180^\circ$ , totuși acesta corespunde conform prescripțiilor ISCIR CR 9-78 ( $\alpha_{\min} = 40^\circ$  pentru  $R_m \geq 5000 \text{ N/mm}^2$ ).

Că urmare a încercării la tracțiune din probele sudate cu grosimea de 21 și 35 mm au rezultat valori cuprinse între 50,6 și 57,7  $\text{daN/mm}^2$ , ruperea având loc în metalul de bază, iar pentru cusătură valori cuprinse între 63,1 și 66,5  $\text{daN/mm}^2$ .

Ca urmare a încercării de duritate și a analizei macro și micro structurală au rezultat următoarele:

a) toate probele sudate au prezentat valori ale durătății Vickers HV 5 și HV 10 mai mici de  $350 \text{ daN/mm}^2$ ;

b) la probele sudate din tabla cu grosimea de 21 mm au fost obținute în Z.I.T. structuri transformate sorbitice, iar în unele căzuri limitate s-au constatat constituenți de coalescență (la proba 4 care prezintă și o zonă influențată termic mai extinsă). Acest lucru este explicat prin faptul că la execuțarea eusăturii nu au fost utilizati electrozi cu diametrul de 5 mm, care folosind la depunerea ultimelor straturi o energie liniară mai mare, conduce la structuri de normalizare;

c) la probele sudate din tabla cu grosimea de 35 mm notate cu 6 și 8 se constată zone influențate termic mai extinse, iar la proba 10 la care s-a utilizat preincălzirea, dendritele sunt ceva mai mici dimensional. În Z.I.T structurile obținute sunt de normalizare și sorbitice;

În tabelul 2.3.7 sunt prezentate statistic rezultatele obținute la încercarea de încovoiere prin soc la probele sudate.

Tabelul 2.3.7.

Rezultatele obținute la încercarea de încovoiere prin soc la probele sudate

Proba	Gro- simea electrod blei (mm)	Tip căldură	Prela- căzire cu	Total epruve- cercate	Tempe- ratură de in- cercare (°C)	Energia de rupere daJ
					peste 2.5	sub 2.5
0	21	OK	48.00	fără	5	20
1					5	- 20
					5	- 40
2				cu	5	20
					5	- 20
					5	- 40
3		Superbaz		fără	5	20
					5	- 20
					5	- 40
4		Unibaz		cu	5	20
					5	- 20
					5	- 40
5.1	35	OK	48.00	fără	10	20
					10	- 20
					10	- 40
5.2					10	20
6.1				cu	10	- 20
					10	- 40
6.2					10	- 40

0	1	2	3	4	5	6	7
7.1.		Unibaz	fără	10	20	10	-
				10	-20	7	3
7.2.				10	-40	2	8
8.1.			cu	10	20	10	-
				10	-20	7	3
8.2.				10	-40	2	8
9.1.-9.2.			cu deten-	20	20	20	-
10.1-10.2.			sionare	20	-20	20	-
				20	-40	7	13
13.1.	52	OK 45.00	cu	15	20	15	-
13.2.				15	-20	15	-
13.3.				15	-40	9	6
14.1.		Superbas	cu	15	20	15	-
14.2.				15	-20	8	7
14.3.				15	-40	6	9

#### 2.4. Testarea la fisurabilitate a ștelurilor slab aliata cu manșon

Se analizează cazul imbinărilor sudate realizate din șteluri marca OL 37 și OL 52, sudate cu electrozi bazici fabricați la ISPS Buzău. Cazurile cercetate s-au referit la tablele din ștel cu grosimile de 15 ... 52 mm.

Metodele indicate de literatura de specialitate au fost extinse de autor pentru cazurile întâlnite în practica de producție, în cazul imbinărilor realizate cu mărți de ștel diferite și grosimi diverse.

Cu cît rezistența mecanică a unui ștel se mărește, crește posibilitatea de călire la sudare, astfel ștelul OL 52 prezintă din acest punct de vedere un pericol mai mare, fenomenul manifestându-se în domeniul temperaturilor dintre  $A_3$  și punctul de fuziune.

##### 2.4.1. Încercarea sudurilor în unghi bilateral

Încercarea se referă la verificarea la fisurare a cusăturilor sudate executate în unghi. Proba constă în realizarea unei imbinări în T [105], executată din ștel marca OL 52 și OL 37 (fig.2.4.1).

In fig.2.4.2 se prezintă proba pentru încercarea la fisurare la cald, arătindu-se și hafturile de sudură cu ajutorul căror se fixează inițial cele două elemente.

Cusatura sudată se va executa prin picurarea metalului topit din electrod după direcția bisectoarei unghiului drept format între cele două elemente a și b fig.2.4.1.

Electrozii utilizati au fost bazici, cu diametrul de 4 și 5 mm, avind rezistență de rupeare cuprinsă între 52 și 62 daN/mm<sup>2</sup>.

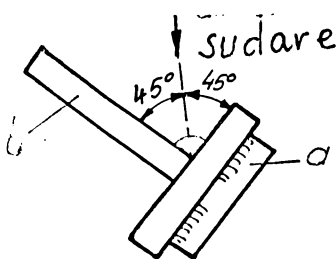
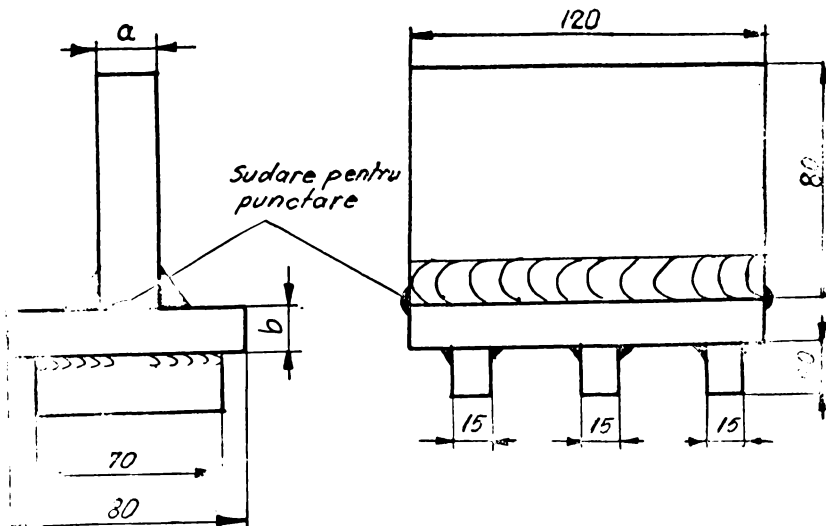


Fig.2.4.1.  
Modul de realizare al  
probei sudate



**Fig.2.4.2.**  
Proba pentru incercarea de fisurare la cald

A două cusături de sudură a fost depusă imediat după executarea primei în sens opus. Probele se execută fără a fi preinălțite.

Proba a fost executată din mărci de oteluri diferite și anume: elementul rigidizat(a) din otel OL 37-2 cu grosimea de 15 mm, iar celălalt element(b) din otel OL 52-3K cu grosimea de 21 mm.

Ca electrozi s-au utilizat Superbaz, fiecare cusătură fiind executată prin două treceri, folosindu-se o lungime a electrodului de 200 mm. Curentul de sudură a fost 190 ... 200 A pentru electrozii cu diametrul de 4 mm și 250 A pentru aceia de 5 mm. De asemenea probele au fost secționate transversal, analizându-se structura și determinându-se duritatea HV 5 în zonele caracteristice. După aceste incercări și analize nu au fost evidențiate prezența fisurilor și a constituenților duri și fragili, ea și valori ale durității care să depășească valoarea de 350 HV 5.

**2.4.2. Incercarea la fisurare pe probe sudate în unghi** - se execută conform DOC I.I.5 93-62 simbolizate cu AA 1, care se aplică în cazul materialelor cu grosimea mai mare de 12,5 mm, la depășirea acestei grosimi, aceasta se va reduce prin așchiere (fig. 2.4.2.1).

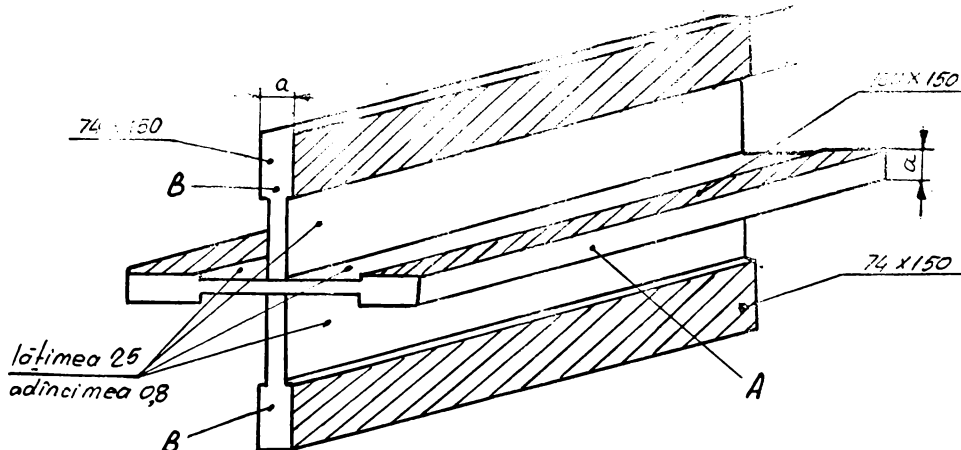
In fig. 2.4.2.2 se prezintă secțiunea transversală a probei, în care se vede placă A cu dimensiunile ax150x150 mm și placă B cu dimensiunile ax74x150 mm (a fiind grosimea materialului), ordinea de execuție a cusăturilor sudate și punctele în care s-a determinat duritatea Vickers (HV 5) [216].

Sudarea s-a executat pe electrozi Superbaz cu diametrul de 5mm, folosindu-se regimul de sudare:  $U_a = 30$  V și  $I_s = 150$  A. Sursa de curent a fost de c.c. cu polaritate inversă.

Îmbinarea se execută la o singură trecere, avind latura de 6,4 mm, iar îmbinările următoare se continuă după răcirea probei la temperatură de  $28 \pm 1^\circ\text{C}$ , ceea ce conduce la o solicitare termică deosebită a probei.

După 48 de ore de la executarea celor patru îmbinări sudate, proba s-a tăiat în patru fâșii cu lățimea de 25,4 mm.

În secțiunea transversală a acestora a fost determinată duritatea Vickers cu sarcina de 5 kgf(HV 5). Macrostructural nu au fost puși în evidență prezența fisurilor, singurele defecte existente fiind



■■■ suprafete neprelucrate (în starea de livrare)  
 $a$  = grosimea tablei

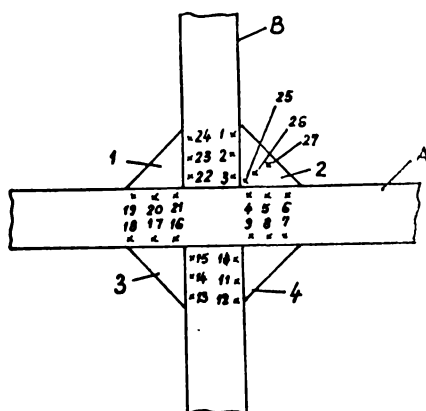
Fig. 2.4.2.1.

Proba pentru încercarea la fisurare CA 1 menătrunderile. Astfel în cazul elementelor A executate din CL 37 s-a obținut duritatea maximă de 180 HV 5, iar în cazul elementelor B aceasta ajunge la maximum 200 HV 5.

La elementele executate din CL 52 s-a obținut la elementele A duritatea maximă de 320 HV 5 și de 360 HV 5 la elementele B.

Aceste valori sunt izolate, valoarea durătății la elementele executate din CL 52 fiind în medie de 260 HV 5. În metalul depus al cusăturii duratarea a fost în general de 220-240 HV 5.

Dacă se corelează valoarea durătății Vickers cu energia linia-



1....24 Duritate HV5  
1....4 cusăturile sudate  
A și B plăciile componente ale probei

**Fig. 2.4.2.2.**  
**Secțiunea transversală a probei pen-**  
**tru încercare la fierbere**  
**CA 1**

ză experimentările efectuate de British Welding Research Association (BWRA) și este indicată a fi aplicată ojelurilor slab aliati și ușor călăbili 58 .Placa B este aşezată simetric față de axa plăcii A, la

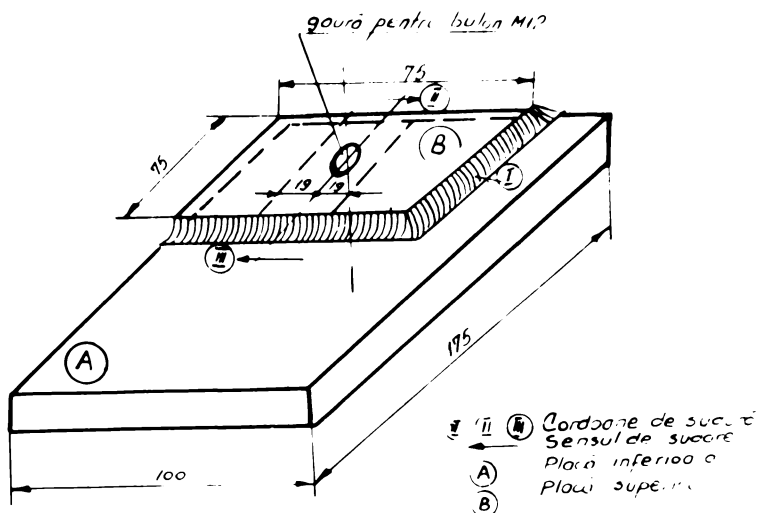
ră utilizată la executarea imbinărilor respective. Se constată că pentru elementele noteate cu A energia liniară optimă este de 10,8 kJ/cm în cazul oțelului marca OL 57 și de 13 kJ/cm pentru oțelul marca OL 52.

Pentru elementele noteate cu B din același marcă de oțel energia liniară este de 11,5 kJ/cm.

Optimizarea s-a considerat pe baza valorilor maxime și ale gradului de dispersie al curățării obținută.

#### **2.4.3. Încercarea de severitate termică(CTS)**

Această încercare are la bază experimentările efectuate de British Welding Research Association (BWRA) și este indicată a fi aplicată ojelurilor slab aliati și ușor călăbili 58 .Placa B este aşezată simetric față de axa plăcii A, la



**Fig. 2.4.3.1.**  
**Proba pentru încercare la severitate termică CTS**

e distanță de 12,5 mm de la margine, considerindu-se cazul sudurilor de colț cu  $K = 3$ , respectiv cu trei căi de evacuare a căldurii și severitate termică 3, după cum se arată în fig. 2.4.3.2. Experimentările s-au executat cu tabă OL 37 cu grosimea

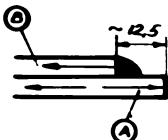


Fig. 2.4.3.2.  
Cazul de severitate  
termică 3

$$U_g = 23 \text{ V și } I_g = 190 \text{ A.}$$

Pe placă A au fost amplasate și două rozete având baza de mărăști 20 mm, delimitate cu bile din otel cu diametrul  $1/16"$  pentru măsurarea deformărilor prin extensometrie mecanică [39, 100, 163] conform fig. 2.4.3.3. Definirea severității termice - TSN (Thermal Severity Number) se face

prin relațiile:

$$N_B = 4 \frac{t+b}{25} \quad (2.4.3.1)$$

$$N_T = 4 \frac{t+2b}{25} \quad (2.4.3.2)$$

unde  $t$  și  $b$  sunt grosimile (mm) ale plăcilor A și B. Indicele  $N_B$  se referă la TSN bitermic, iar  $N_T$  la cel tritermic fig. 2.4.3.2.

După executarea probelor acestea au fost sectionate după axa de simetrie longitudinală în vederea examinării macrostructurale, pentru a evidenția prezența eventualelor fisuri și apoi s-a determinat duritatea Vickers (HV 5), conform fig. 2.4.3.4

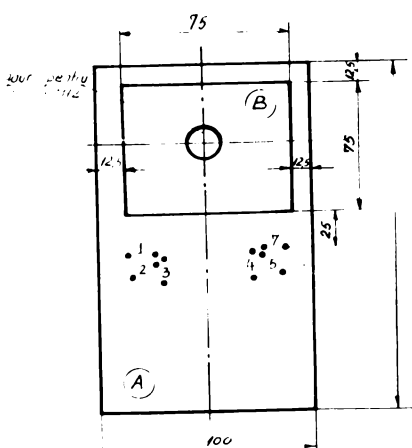


Fig. 2.4.3.3.  
Modul de amplasare al rozelor pe probe  
CTS

macrostructurale, pentru a evidenția prezența eventualelor fisuri și apoi s-a determinat duritatea Vickers (HV 5), conform fig. 2.4.3.4

$3450$   
 $3359$

In fig. 2.4.3.5 se prezintă duritatea determinată în ZIT și în cusătură pentru cele două zone I și II ca și energia liniară utilizată la fiecare probă.

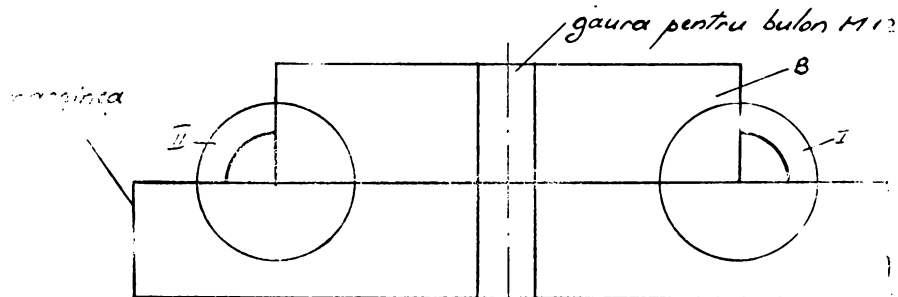


Fig. 2.4.3.4.  
Secțiunea transversală a probei CTS și punctele în care sunt determinat duritățile HV 5

De aici rezultă că duritatea din zona I este în general superioară durităților din zona II, atât pentru ZIT cît și pentru cusătură, lucru explicat prin viteza de răcire, mai mare în zona marginală a probei.

Pentru același motiv placa B prezintă în general valori mai mari ale durității în comparație cu placa A. Valoarea durităților nu depășesc în general 300 HV 5 în ZIT a celor două plăci.

În privința curbei care reprezintă variația energiei liniare se constată diferențe mari, în cazul probelor la care placa B este din OL 37, indiferent de grosimea plăcii A din OL 52. În cazul probelor la care placa A este din OL 37 și placa B din OL 52, energia liniară se menține aproape constantă.

Pă baza relațiilor cunoscute ale legii lui Hooke generalizată și a deformărilor rozetelor au fost determinate valoarea tensiunilor normale principale  $\sigma_I$  și  $\sigma_{II}$ , ca și direcția acestora (unghiul  $\varphi$ ), ale căror rezultate sunt prezentate în tabelul 2.4.3.2.

Se constată tensiuni relativ mici, majoritatea fiind de compresiune. Valori care depășesc limita de curgere se constată la probele 2, 7, 8 și 12 pentru rozeta (1, 2, 3) și la proba 14 (rozeta 7, 5, 4). Se constată că pentru probele la care tensiunile cu valori mai apreciabile de tractiune, unghiul direcției principale se găsește în primul cadrant trigonometric (probele 3 și 12), iar în cazul eforturilor de compresiune, acest unghi se găsește în cadrul II trigonometric.

2.4.4. Încercarea de securitate termică după Grenier - se deschide de încercarea CTS, prin aceea că placa B este agență chiar în mijlocul plăcii A, iar pe lingă fixarea prin bulonul M 12 se mai

rigidizează placă superioară față de cea inferioară prin două cusături sudate prealabil 56. Proba este prezentată în fig. 2.4.4.1.

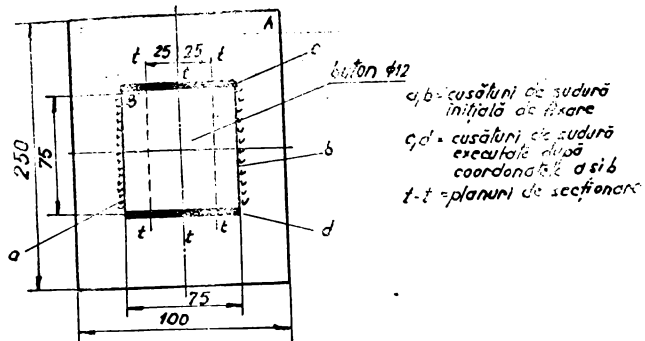


Fig. 2.4.4.1.  
Proba de severitate termică modificată

fig. 2.4.4.1. Epruveta care a rezultat a fost analizată pe ambele fețe, din punct de vedere structural și și durițăii Vickers(HV 5), lucru indicat în fig. 2.4.4.2. Variatia durităii din ZIT ale plăcilor A și

B, ca și a metalului depus se prezintă în fig. 2.4.4.3. În aceeași figură se arată și variația energetică liniară a fiecărei probe. Energia li-

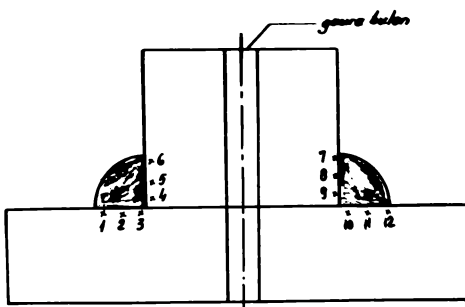


Fig. 2.4.4.2.

niară se referă la toate cele patru imbinări sudate. Din fig. 2.4.4.3. rezultă că se obțin durități maxime de 350 HV 5 la proba 18 și ambele în placă B.

Pentru executarea cusăturilor c și d s-au utilizat energii liniare cuprinse între 42 kJ/cm (proba 10 și 11) și 48,4 kJ/cm (proba 2).

Analizând structura probelor care au prezentat valori mari ale durității (probale 12 și 18), pe lîngă structurile transformate din ZIT s-a evidențiat și prezența unei fisuri produse la rece la

marginea cusăturii, care pornește de la un defect, demonstrându-se astfel efectul nefavorabil al defectelor de execuție și al brișării.

#### 2.4.5. Încercarea pentru determinarea capacitatei de călire

Dat fiind faptul că otelul marca OL 52 prezintă un risc mai mare de călire în comparație cu otelurile marca OL 44 și OL 37, s-a verificat această sensibilitate pe epruvete conform figurii 2.4.5.1 [58].

Probele au fost pregătite din tablă de otel marca OL 52 cu grosimiile de 35 și 52 mm. Sanfrenul pregătit a fost încărcat cu metal depus din electrozi bazici OK 48.00 și Superbaz, în patru straturi, primul cu diametrul de 3,25 mm și celelalte cu diametrul de 4 mm.

S-a determinat energia liniardă. Probele au fost sudate cu și fără aplicarea unui tratament de preîncălzire, iar după sudare acestea au fost supuse unui tratament de recoacere.

Probele nu au fost reduse la dimensiunile unei epruvete Jominy normală, ci au fost menținute la diametrul de 35 mm, creindu-se astfel posibilitatea de a participa la încercare întreaga secțiune transversală a probei, cu zonele distincte ale unei îmbinări sudate.

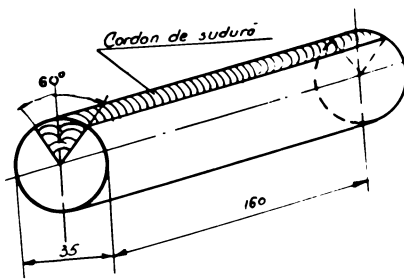
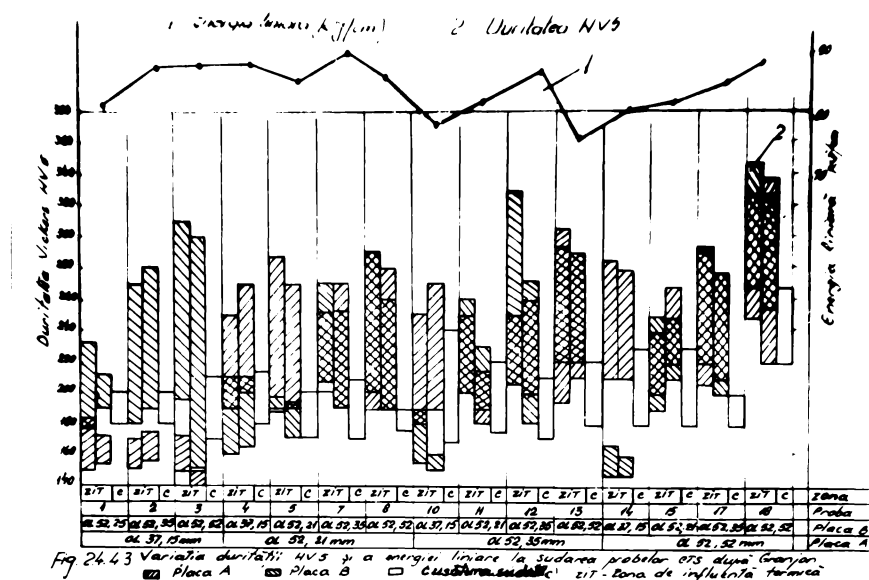


Fig. 2.4.5.1.  
Proba pentru determinarea capacitatei de călire

Încercarea este o probă Jominy modificată după Boren și Brichson. În tabelul 2.4.5.1. se prezintă regimul de sudare al probelor pentru determinarea capacitatei de călire.



B



Tabelul 2.4.5.1.

**Regimul de sudare al probelor pentru determinarea capacitatei de calire**

Nr. Gro- pro-simea băi tablei	Regimul de sudare		Electrod	Strat Ener- gia liniard (J/cm)	Obser- vatiile	
	U arcă	I sud.				
	(mm)	(V)	(A)	(cm/s)	(mm)	
1 52	23	130	0,234	OK 4800	3,25	1 9600 fără
	23	190	0,227		4,0	2 14500 prein-
	23	190	0,208		4,0	3 15800 călzire
	23	190	0,160		4,0	4 20500
2	23	130	0,242		3,25	1 9300 cu pre-
	23	190	0,211		4,0	2 15500 încăl-
	23	190	0,224		4,0	3 14600 zire
	23	190	0,165		4,0	4 20000 120-150°C
3 35	22	135	0,245	Superbax	3,25	1 9020 fără
	25	185	0,242		4,0	2 14300 prein-
	25	185	0,227		4,0	3 15200 călzire
	25	185	0,167		4,0	4 20700
4	22	135	0,211		3,25	1 10550 cu pre-
	25	185	0,230		4,0	2 15000 încălziri
	25	185	0,220		4,0	3 15750 re 120-
	25	185	0,169		4,0	4 20500 150°C

Probele au fost sectionate după axa de simetrie, pregătindu-se două fețe paralele pentru determinarea durătării Vickers(HV 5). Valorile durătării obținute în metalul de bază au fost între 190-296 daN/mm<sup>2</sup>, iar în metalul depus duritatea a variat de la 195 la 244 daN/mm<sup>2</sup>.

Analizând aceste rezultate se pot deduce următoarele:

- se remarcă absența unor durătări HV 5 cu valori mari, acestea fiind sub 300 daN/mm<sup>2</sup>;
- cele mai mici valori ale durătării au fost obținute la proba 4, cu preîncălzire și la care metalul depus în primul strat s-a făcut cu energia liniard cea mai mare, în comparație cu celelalte;
- se constată o mai bună comportare a electrozilor din țară, în comparație cu electrozii OK 48.00 din import ;
- structurile transformate din ZIT sunt de normalizare și sorbite-troostitice.

Concluzii cu privire la influența sudurii asupra proprietăților mecanice ale probelor sudate

- a) Proprietățile mecanice ale probelor sudate nu indică o alterare a rezistenței la rupere la tractiune.
- b) Încercarea tehnologică de indoire la rece cu un dorn cu diametrul de două ori grosimea tablei, indică o bună comportare.

c) Tenacitatea probelor sudate este superioară metalului de bază, lucru dovedit prin valoarea energiei de rupere la încovoierea prin soc. Acest lucru este explicat prin tenacitatea mare a metalului depus în cusătură și prin transformările favorabile din metalul de bază.

d) Duritatea din zonele distincte ale îmbinărilor sudate, ca și analizele structurale atestă lipsa constituenților duri și fragili și prezenta unor structuri de transformare de normalizare, sorbitice și troostitice, care ameliorează proprietățile mecanice ale oțelului.

e) Testarea oțelului marca 52 la încercările specifice la fisurabilitate la sudare dovedesc o comportare bună a acestuia. Mai mult și la încercarea cu privire la capacitatea de călărire oțelul se comportă bine. În schimb la încercările care evidențiază efectul de bridare în prezența unor defecte de execuție a cusăturilor sudate se produce și fisurarea, deci rezistența de rupere a materialului este depășită.

f) Prin diversificarea de către auter a probelor pentru testarea la fisurabilitate se evidențiază influența culturii sau a elementelor din mării diferențe ale oțelului și grăsimi diverse ale acestora;

g) Dintre probele utilizate cele care sănătățile și valori ale duratății în 5 săptămâni: încărcarea la flăcăne și proba sudată în anghită și la proba CTR modificată după Grangien, la ultima emanație induse și fisuri produse la răsuc, provenite din defecte de execuție, apărându-se cauză în faptul că în creșterea culturilor se întâlnește după răsucire exemplul a celor precedenți;

h) Încercările sunt executate pe probe cu culturi de oțel, culturi infinite și cercetarea modelelor sudate la mărime naturală din cap. 7 al lucrării.

### 3. DEFORMATIILE SI TENSIUNILE REMANENTE PRODUSE IN IMBINARILE SUDATE

#### 3.1. Originea deformatiilor

In cazul imbinarilor sudate prin topire si in special la cele executate manual, se produc deformatiile cele mai accentuate.

Datorită căldurii introdusă în elementele de sudat se produc deformații liniare definite prin relația:

$$\Delta x = \alpha \cdot l \cdot \Delta t \quad (\text{mm}) \quad (3.1.1)$$

unde:

$\alpha$  = coeficientul de dilatare termică al otelului pentru domeniul respectiv al temperaturii ;

$l$  = lungimea initială a elementului ;

$\Delta t$  = diferența dintre temperatura maximă obținută prin încălzirea piesei și temperatura inițială a piesei.

Deformațiile se pot produce în următoarele cazuri distincte prezentate în figura 3.1.1.

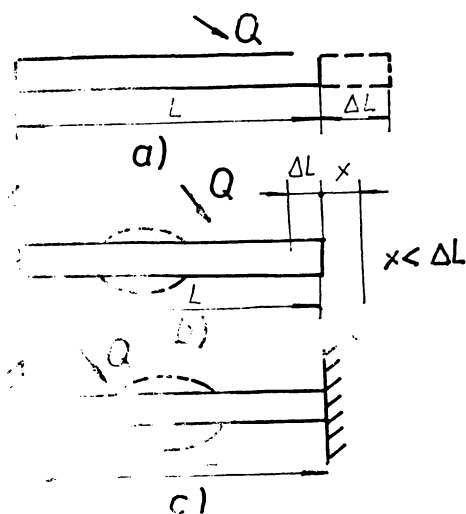


Fig.3.1.1.

Producerea deformatiilor în cazul sudurii

piesa încastrată la un capăt are posibilitatea de a se deforma liber, pînă acest lucru este posibil, în limita distanței "X". Înind că deformarea liberă a piesei nu mai este posibilă sub acțiunea căldurii primite, atunci conform legilor deformării plastice, piesa va suferi o deformare transversală. La răcirea piesei, avind în vedere că o parte din volumul materialului din piesă a fost utilizat

#### Cazul "a"

Piesa încălzită cu lungimea inițială  $L$  are un capăt liber ceea ce permite deformarea liberă cu  $\Delta L$ , datorită căldurii  $Q$  primită de piesă.

Cînd  $Q = 0$ , adică după răcirea piesei pînă la temperatura inițială, piesa va reveni la lungimea inițială  $l$ , fără a rezulta nici o deformare permanentă.

#### Cazul "b"

Sub acțiunea căldurii  $Q$ , piesa încastrată la un capăt are posibilitatea de a se deforma liber, pînă acest lucru este posibil, în limita distanței "X". Înind că deformarea liberă a piesei nu mai este posibilă sub acțiunea căldurii primite, atunci conform legilor deformării plastice, piesa va suferi o deformare transversală. La răcirea piesei, avind în vedere că o parte din volumul materialului din piesă a fost utilizat

la deformarea transversală (umflătură), piesa nu mai revine la lungimea inițială, ci va suferi o contractie cu segmentul  $\Delta L_1$ , însă fără tensiune remanentă.

#### Cazul "c"

Piesa este încastrată la ambele capete, astfel că sub acțiunea căldurii Q primită, aceasta sărăci poate mări lungimea inițială. În acest caz la încălzire piesa se va deforma numai transversal.

La răcire piesa va rămâne cu deformarea transversală (umflare), dar și cu tensiuni remanente.

Se înțelege că la sudarea pieselor se va întîlni cel mai frecvent cazul „c”, adică cu deformații și cu tensiuni remanente.

La o îmbinare sudată cap la cap, executată dintr-un otel nealiat, cu carbon puțin se vor distinge următoarele zone:

- metalul topit (baia cusături) la care temperatura depășește  $1400^{\circ}\text{C}$ , zonă lipsită de tensiuni ;

- zona cu temperaturi cuprinse între  $1400$  și  $721^{\circ}\text{C}$ , în care sunt prezente deformații elasto-plastice de dilatare, cu prezența tensiunilor de tracțiune ;

- zona cu temperaturi în domeniul  $721$  la  $580^{\circ}\text{C}$ , caracterizată prin deformații elasto-plastice de contractie, cu tensiuni remanente de compresiune ;

- zona temperaturilor sub  $580^{\circ}\text{C}$ , unde sunt prezente deformații elasto-plastice de dilatare, cu prezența tensiunilor de tracțiune.

Fenomenele metalurgice din cusătura sudată sunt tranzitorii și se reproduc în zone succesive odată cu deplasarea electrodului, adică a sursei de căldură, definită prin viteza de sudare.

Se reține faptul că sursa de formații și a tensiunilor remanente din metalul sudat este pe o parte consecina încălzirilor și răcirilor neuniforme, în zonele succesive ale diferitelor zone ale materialului, care nu permit deformarea liberă a metalului, ceea ce conduce inevitabil la prezența deformații și a tensiunilor remanente.

Pe de altă parte se cunoaște că transformările de fază sunt însoțite de creșterea volumului, ca și de obținerea unor constituenți duri și fragili.

Tensiunile de sudare pot fi modificate sub acțiunea proceselor termice, având în vedere valoarea limitei de curgere.

Dacă  $T_g$  este temperatura la care limita de curgere devine mură, iar materialul în timpul sudării ajunge la temperatura  $T_g$ , se

disting următoarele cazuri :

a)  $T < T_0$  limită de curgere nu se reduce valoric și nu se anulează tensiunile produse la sudare ;

b)  $T > T_0$  limita de curgere se va reduce considerabil, care va conduce la micsorarea corespunzătoare a tensiunilor ;

c)  $T = T_0$  limita de curgere devine nulă și tensiunile interne se vor anula și nu mai apar la răciri ulterioare.

Trebuie avut în vedere că limita de curgere reală diferă față de cea considerată teoretic, iar încălzirea piesei nu este uniformă, ceea ce impiedică anularea tensiunilor. Datorită încălzirii rezistență se micsorează, iar la reducerea temperaturii limita de curgere va crește, ceea ce conduce la lipsa deformațiilor plastice și deci la reducerea tensiunilor remanente.

In cele ce urmează vor fi prezentate în figura 3.1.2 cîteva exemple reprezentative ale unor imbinări sudeate uzuale [145] .

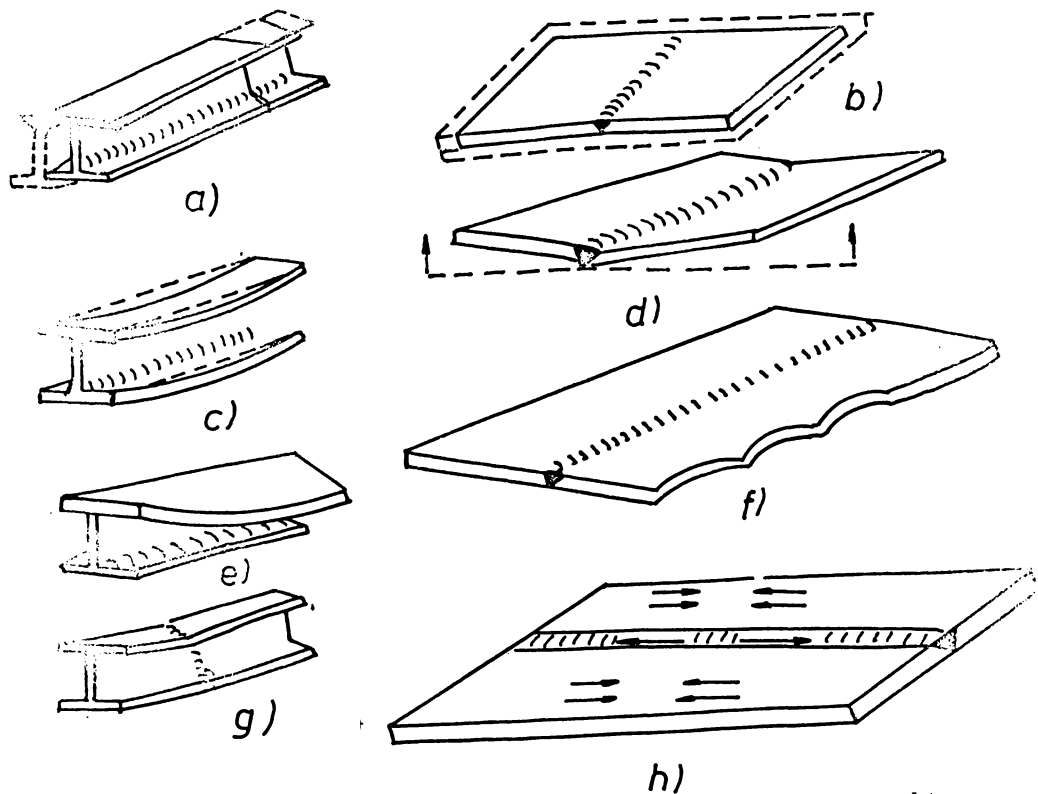


Fig.3.1.2.  
Exemple ale deformațiilor celor mai simple  
elemente sudeate [145] .

Deformațiile rezultate ca urmare a procesului de sudare pot fi caracterizate prin deplasări uniforme ale punctelor construcției sudate după o axă sau după ambele axe, în care caz pot fi neglijate deplasările după a treia axă. Astfel de deformații pot să apară în cazul sudării ideale a unor profile dublu T, cind cele patru cusături sunt executate simultan în același regim de sudare (figura 3.1.2 a și b). În acest caz nu se produc pierderi ale stabilității dimensionale.

Dacă la sudarea profilelor T sau I cusăturile nu sunt executate concomitent, respectiv acestea sunt sudate succesiv, situația creată va conduce la deformații longitudinale prezentate și la îndoarea transversală a profilului (fig. 3.1.2.c).

Sudarea neuniformă a inimii și a tălpilor cu grosime mare va avea ca rezultat deformarea transversală, așa zisă în ciupercă (figura 3.1.2.d).

Dacă deformarea elementelor se face în plan, însă deplasarea punctelor pieselor asamblate nu se realizează uniform deoarece lungul cusături se poate produce deformarea de rupere în planul transversal de sectionare, din cauza construcției transversale și a rotației unui element față de celălalt (fig. 3.1.2.d).

Sub acțiunea forțelor de compresiune (fig. 3.1.2.h), pot să producă instabilitatea dimensională (vealarea) elementelor componente (fig. 3.1.2.f).

Deformațiile de tensiune pe direcția axei longitudinale caracteristice la grinziile sudate, sunt cauzate de eventualele deformări cu deplasarea de poziție a marginilor din zona de încălzire la sudarea pieselor (fig. 3.1.2.e).

Aceste deformații nu pot fi explicate fără actionarea unor forțe exterioare la grinziile sudate prin topire.

Sub acțiunea forțelor de compresiune (fig. 3.1.2.h), deformațiile pot să producă instabilitatea dimensională (vealarea) elementelor componente (fig. 3.1.2.f).

### 3.2. Considerații cu privire la calculul analitic al tensiunilor și deformațiilor

Considerind corpul sudat ca un întreg, tensiunile interne actionează triaxial și în lipsa unor forțe exterioare formează un sistem în echilibru, iar prin producerea unui dezechilibru vor fi eliberate tensiunile interne [168].

Tensiunile remanente orientate sunt produse de forțele exterioare, care impiedică deplasarea elementelor construcției sudate,

ca și de solicitările neuniforme și de variațiile temperaturii ale construcțiilor sudate static nedeterminate. Acestea se referă în general la un volum mare de material și depășesc uneori limita de curgere provocând deformațiile plastice.

In cazul îmbinărilor sudate sunt prezente :

- tensiunile de ordinul întâi macroscopice, produse de deformațiile plastice neuniforme ;

- tensiunile de ordinul doi care se echilibrează în volume microscopice, provocate de deformațiile termoplastice ;

- tensiunile de ordinul trei echilate în volume ultramicroscopice, produse de transformările structurale și de fază ale metalului.

S-a cîntat ca prin relații matematice să se prezinte propagarea căldurii, tensiunile termice tranzitorii, tensiunile permanente și alte efecte ale acestora. Factorul cel mai important care provoacă tensiunile, deformațiile și celelalte efecte ale sudării este modul de propagare al căldurii într-un ansamblu sudat.

O atenție deosebită trebuie acordată fenomenelor metalurgice care insotesc procesul de sudare prin topire [161, 120].

Rosenthal la începutul deceniului al patrulea al secolului nostru a stabilit o relație în ceea ce privește conductibilitatea căldurii într-un solid, considerind cazul unei surse de căldură în mișcare, în cazul stării semi-staționară (sistemu de coordonate se deplasează odată cu sursa de căldură) și în cazul sursei punctiforme (căldura concentrată într-un punct sau pe o linie) [140].

Cercetările efectuate de Adams și Rikalin s-au referit tot la starea semi-staționară a sursei de căldură [4, 142].

Studiile făcute de Tanaka, Naka și Masubuchi considerind acestași caz au concluzionat că vitezele de răcire au valori mari în apropierea extremităților unei cusături sudate sau în punctul „arcu-lui” [167, 107, 108, 95].

Încercările pentru utilizarea relațiilor matematice de către Nippes și Savage în vederea studierii vitezelor de răcire din zonele afectate termic, folosind relațiile lui Rosenthal nu au condus la o identitate între rezultatele analitice și cele experimentale [118, 119].

S-a apelat și la utilizarea ordinatoarelor pentru cercetarea fenomenelor termice de la o îmbinare sudată la Institutul Battell din Geneva, Universitatea din Wisconsin, Massachusetts Institute of Technology (M.I.T.), concluzionindu-se că este posibilă modela-

rea căldurii care rezultă la sudare ca o sursă repartizată, care corespunde mai bine ca o sursă concentrată. De asemenea este posibilă stabilirea unei dependențe între proprietățile termice funcție de temperatură [105, 38].

Problemele cercetate la M.I.T. în legătură cu tensiunile termice din timpul sudării, folosind instrumentul matematic și confruntându-le cu datele obținute experimental au condus la concluzia că concordanța deplină dintre rezultatele analitice nu sunt confirmate experimental în general, avind în vedere transformările structurale, faptul că nu a fost cu putință modelarea matematică a proceselor reale de încălzire ale piezelor în timpul sudării, ca și complexitatea modului după care rezultă deformațiile la elementele sudate [92, 102, 103].

Merită să subliniem rezultatele obținute de Ueda și Satoh în privința tensiunilor termice tranzitorii produse la sudarea tablelor groase [149, 175].

Rezultatele obținute pe probe de laborator nu sunt comparabile cu cele obținute în realitate, având în vedere efectul de bridare la construcțiile sudate complexe și efectul masei acestora.

Dacă efectul masei elementelor componente în ceea ce privește transmiterea căldurii poate fi reprezentat matematic, în schimb efectul de bridare este mai dificil de a fi modelat [78, 91, 181].

Ca exemplu la construcțiile sudate tip panou, întărite prin nervuri longitudinale și transversale se produce o vealare, după cum este indicat în fig. 3.2.1. Din cauza deformațiilor unghiulare

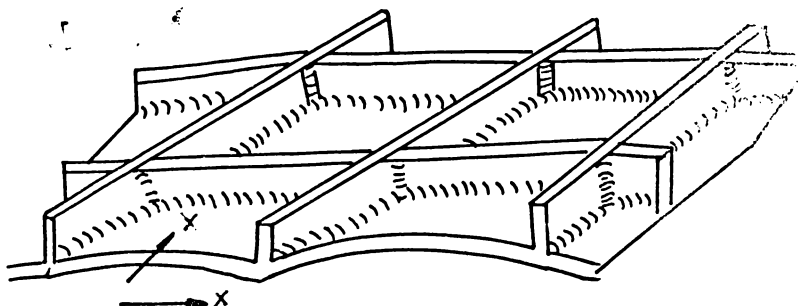


Fig. 3.2.1  
Deformațiile la o construcție sudată tip panou

produse în lungul cusăturilor de colț dintre nervuri și tablă are loc voalarea acesteia, deformarea variind după direcțiile X și Y.

Calculul bidimensional în aceste cazuri este foarte compli-

cat, ceea ce limitează la considerarea numai a deformațiilor de pe direcția X. Analiza bi-dimensională a fost cercetată de Gularce, care a utilizat un program bazat pe metoda elementelor finite și a datelor experimentale furnizate de Deffy.

Experimentările au fost reluate de M.I.T iar Shin pe baza principiului energiei minime stabilit de Masubuchi a cercetat deformațiile bi-dimensionale ale panoului sudat folosind un model [89,93].

Cercetarea tensiunilor și a deformațiilor datorită bridării și tendinței de fisurare a sudurilor pentru diferite tipuri de îmbinări a făcut obiectul unor comunicări [149].

Stabilirea deformațiilor remanente se face folosind metodele analitice pe baza efectelor termodinamice și de deformare. Soluția termodinamică constă în a determina mărimea forței de contractie a mărimii contractiei transversale în lungimea și în grosimea îmbinărilor și a altor deformații care apar în zonele îmbinării sudate.

La rezolvarea deformațiilor se apeleză la teoria elasticității și a plasticității, teoria peliculelor (a învelișurilor), iar pentru stabilirea deformațiilor în timp a construcțiilor sudate se apeleză la teoria fluajului.

In majoritatea cazurilor deformațiile permanente care apar la sudarea pieselor pot fi calculate prin aplicarea unor forțe fictive care să acioneze asupra construcției, determinate fie prin rezolvarea termodinamică sau experimentală, după mărimea tensiunilor remanente.

Pentru rezolvarea problemei se impune a ține cont de modificările caracteristicilor fizico-mecanice ale materialului de bază, datorită efectului căldurii și a dislocațiilor produse în rețeaua cristalină.

Pentru a estima prin calcule toate influențele și modificările provocate de procesul de sudare trebuie să se cunoască valoarea energiei termice introdusă în metal, să fie determinate ciclurile termice pentru fiecare punct al Z.I.T, ca și diagramele de descompunere a austenitei, spre a cunoaște structura în această zonă. Tinând cont de dilatăriile și contractiile oțelului se poate obține stabilirea nivelului tensiunilor din metal.

Cunoscind atmosfera din zona sudurii și pe baza ecuațiilor termodinamice poate fi determinată cantitatea de gaze care patrund în Z.I.T.

Totuși calculul real al tensiunilor din Z.I.T. este îngreunat și prin faptul că nu poate fi exprimată prin relații matematice influența structurii din întreaga secțiune sudată și nici conținutul de gaze ~~împreună~~ în îmbinare nu poate fi corect determinat.

Instabilitatea dimensională trebuie să fie reglată prin cercetarea proceselor de deformare spontană a construcțiilor sudate, prin stabilirea naturii fizice a fenomenelor care o generează, iar la proiectare să se țină cont de rezultatele obținute prin cercetarea problemei, pentru a fi evitate neajunsurile din exploatare cauzate de acest fenomen [234].

### 3.3. Concluzii

Din cele prezentate rezultă dificultăți apreciabile la determinarea deformațiilor și a tensiunilor care rezultă la sudarea metalor, având în vedere complexitatea factorilor care le generează, a caracterului tranzitoriu al acestora, a dificultății în ceea ce privește identificarea mărimilor care le definesc și a imposibilității de a exprima prin relații matematice a tuturor fenomenelor, mai ales acelea cu caracter metalurgic și structural.

Toate cele prezentate conduc la imposibilitatea de a rezolva analitic problema în ansamblu.

Particularitățile legate de proprietățile metalului utilizat în îmbinarea sudată, de variația stării de tensiune inițială a acestuia, ca și de condițiile reale de execuție a cusăturii sudate, în mod deosebit la sudarea manuală, conduc că la fiecare reper, subansamblu sau produs să se obțină în final spectre diferite ale deformațiilor și implicit a tensiunilor.

Tinând cont de cele prezentate rezultă că determinarea experimentală a deformațiilor este preferabilă, dar având în vedere că starea de tensiune nu poate fi stabilită decât analitic, aceasta implică însă a fi cunoscute caracteristicile tehnice efective ale materialului influențate de procesul de sudare.

Pentru optimizarea îmbinărilor sudate sunt indicate calculele analitice a îmbinărilor sudate, modelarea fizică prin similitudine și apoi modelarea la mărime naturală.

#### 4. DETERMINAREA EXPERIMENTALA A DEFORMATIILOR

Stabilirea nivelului de tensiune se realizează analitic prin folosirea legii lui Hooke, pe baza valorii deformațiilor determinate experimental.

Cele mai utilizate metode pentru măsurarea deformațiilor sunt bazate pe extensometrie, adică tehnica care permite determinarea deformațiilor mici ca valoare și anume extensometria electrică și cea mecanică.

In cadrul experimentărilor efectuate s-a considerat că metoda cea mai indicată pentru măsurarea deformațiilor în condiții industriale și în cazul ansamblelor sudate să fie folosită extensometria mecanică pentru următoarele argumente :

- metoda este independentă de orice formă de energie ;
- măsurările corespund mai bine condițiilor de atelier și acestea nu sunt influențate de cablurile de legătură cum este cazul extensometriei electrice. Din această cauză ansamblul sudat poate fi mișcat în timpul operațiilor inerente și impuse de procesul de sudare ;
- tehnologia de linire a traductorilor rezistivi ridică anumite probleme dificil de respectat și care influențează apreciabil rezultatele măsurărilor efectuate ;
- metoda extensometriei mecanice urmărită în timp, practic ne-limitată, a dimensiunii deformațiilor, ceea ce permite emiteri de aprecieri asupra stabilității dimensionale a pieselor sudate în condițiile de exploatare ;
- influența temperaturii asupra preciziei măsurării este corectată cu ajutorul corpului etalon din invar, extensometria mecanică nefiind influențată și de umiditatea mediului, ca în cazul extensometriei electrice.

In schimb extensometria mecanică nu poate fi utilizată în cazul măsurării deformațiilor în regim dinamic, în care caz se poate utiliza exclusiv extensometria electrică.

In cele ce urmează se prezintă metoda extensometrică mecanică utilizată.

##### 4.1. Măsurări comparative executate prin extensometria electrică și mecanică

Extensometria mecanică s-a executat cu extensometrul mecanic sistem Pfendorf [100, 163].

La extensometria mecanică baza de măsură poate să aibă mărimi diferite, în cazul utilizat fiind de 20, 40, 60 și 100 mm. Baza de măsură este un segment liniar delimitat prin bile din otel cu diametrul de  $1/16''$ , care se fixează pe suprafața piesei prin tehnologie realizată cu dispozitivele prezentate în figura 4.1.1.

Dispozitivul 1 care imprimă pe suprafața piesei 2 locașurile pentru bilele din otel care vor defini lungimea „1<sub>0</sub>”, a bazei de măsură (fig. 4.1.1.a, b). Aceste locașuri sunt apoi rotunjite cu ajutorul dispozitivului din fig. 4.1.1.c, iar în fig. 4.1.1.d se arată modul de introducere al bilelor 3, în jurul căroră metalul este refumat cu ajutorul dispozitivului 4. Modul de așezare al extensometrului mecanice 5 pe bilele din otel de pe suprafața 2 a piesei se prezintă în fig. 4.1.1.e.

Extensometrul mecanic sistem Pfender fabricație Mohr & Federhaff (R.F.G) este prezentat în fig. 4.1.2, acesta fiind alcătuit dintr-un comparator și un sistem de pirghii. Aparatul permite măsurarea deformărilor în intervalul 0,001...0,5 mm.

Inainte de a măsura deformăția extensometrul va fi etalonat cu ajutorul etalonului din invar, așezat pe suprafața piesei, pentru a se face corecturile funcție de temperatură. Fazele de măsurare sunt prezentate în fig. 4.1.3.

In fig. 4.1.3.a. se poate urmări modul de așezare al extensometrului pe cele două bile care delimitenă baza de măsură, dispozitivul din

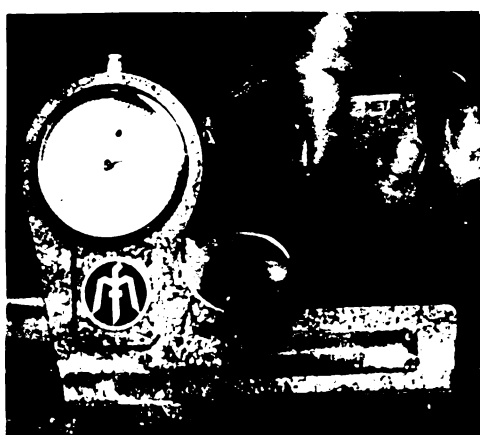


Fig. 4.1.2.  
Extensometrul mecanic sistem  
Pfender

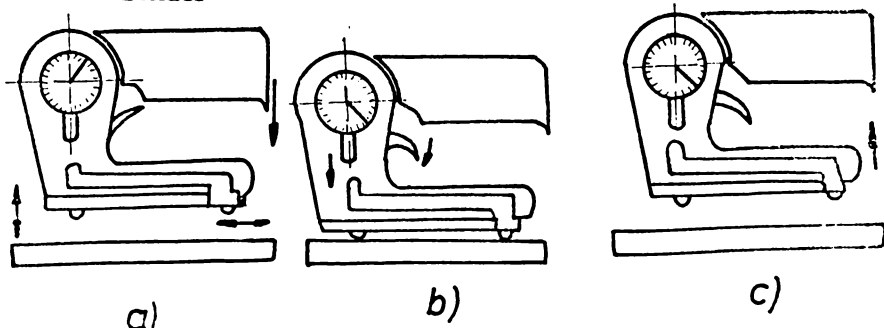
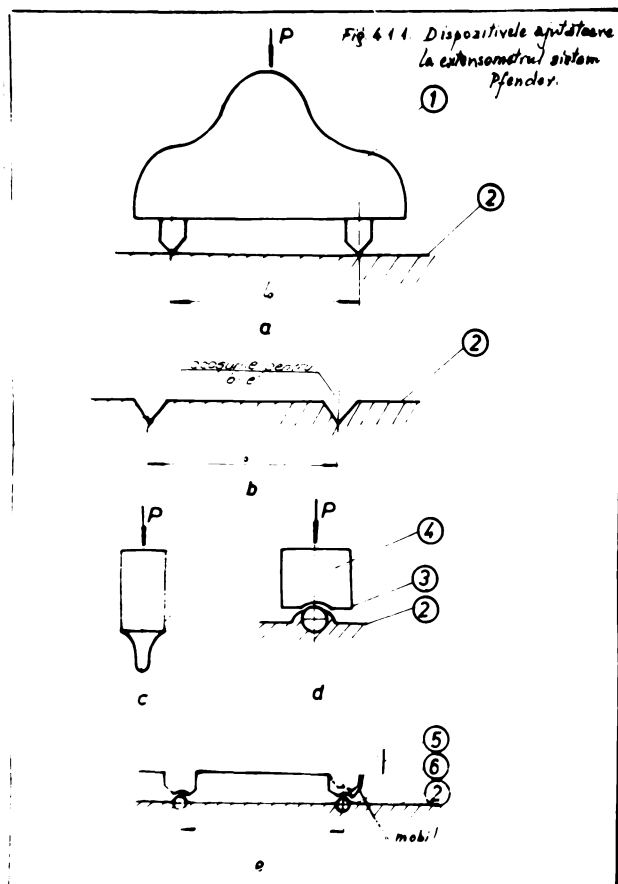


Fig. 4.1.3.  
Modul cum se execută măsurarea deformărilor cu  
extensometrul Pfender

C



dreapta fiind mobil (fig. 4.1.1.e) și este eliberat cu ajutorul pîrghiei. Acul comparatorului urmărește modificarea survenită conform lungimii segmentului respectiv.

In fig. 4.1.3.b. se observă extensometrul așezat pe bilele din oțel și blocarea comparatorului la valoarea obținută anterior cu ajutorul pîrghiei. După aceea extensometrul se va ridica după bilele din oțel, după cum se arată în fig. 4.1.3.c.

Pentru determinarea efortului unitar ( $\sigma$ ) rezultat funcție de deformația măsurată ( $\epsilon$ ) se va aplica legea lui Hooke. Avînd în vedere caracteristicile aparatului deformația specifică minimă ( $\epsilon_{min}$ ) va fi :

$$\epsilon_{min} = \frac{\Delta l}{l} = \frac{0,001}{100} = 0,00001$$

iar

$$\sigma_{min} = E \cdot \epsilon = 0,00001 \cdot 21000 = 0,21 \text{ daN/mm}^2$$

In tabelul 4.1.1. se prezintă valorile minime pentru bazele de măsură utilizate care de fapt sint și erorile de măsură.

Tabelul 4.1.1.  
Deformațiile minime măsurate și valoarea  
tensiunilor respective

Baza de măsură (mm)	Eroarea de măsură	
	pentru deformația specifică	tensiunea corespunzătoare (daN/mm <sup>2</sup> )
20	0,00005	1,025
40	0,000025	0,5125
60	0,000016	0,3280
100	0,000010	0,2050

Comparind valorile deformațiilor obținute prin electrotensiometrie și extensometria mecanică se constată că acestea sint comparabile după cum se prezintă în fig. 4.1.4.

#### 4.2. Cercetarea deformațiilor rezultate pe o probă din oțel sudată prin măsurări efectuate la suprafața și în adâncimea probei

##### 4.2.1. Scopul cercetării

Cercetarea și-a propus să prezinte rezultatele obținute prin determinarea deformațiilor obținute la suprafața probelor sudate și la adâncimea de 10 mm de la suprafața aceasta [31].

##### 4.2.2. Pregătirea probelor

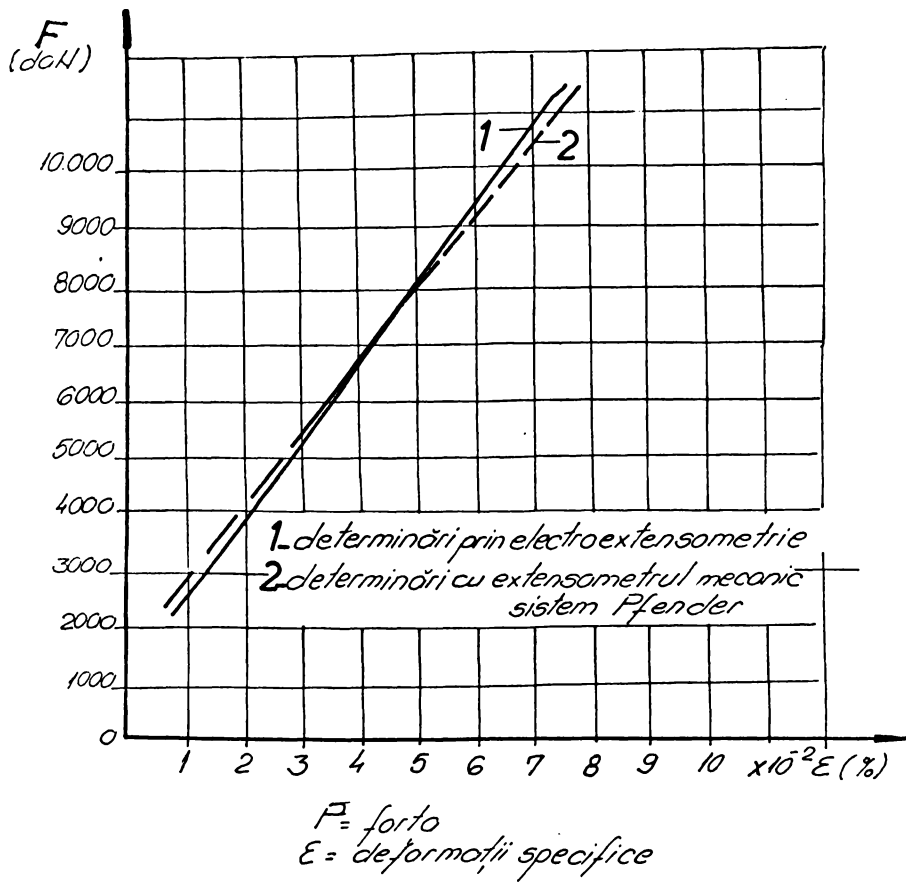


Fig.4.1.4.  
 Determinarea experimentală a deformațiilor prin  
 cele două metode

Probele au fost prelevate din tablă de oțel marca OL 37, STAS 500 și St.37-3 DIN 17100. Acestea au constat din sudarea unor plăci cu dimensiunile  $5 \times 130 \times 100$  mm, fiind formate pachete din cîte 3 asemenea plăci, spre a se obține grosimea finală de 15 mm.

Plăcile au fost rigidizate prin puncte de sudură la capete și lateral. Pachetele astfel formate, au fost apoi sudate cap la cap, imbinarea fiind în V, cu unghiul de deschidere de  $70^\circ$ .

Una din plăci care a fost așezată în pachet la adâncimea de 10 mm de la suprafața probei, a fost pregătită prin frezare prealabil sudării, astfel ca să fie posibilă montarea traductoarelor electrice rezistive și scoaterea în afară a cablurilor electrice.

Prin acesta a fost posibilă efectuarea măsurării deformațiilor la adâncimea respectivă.

Măsurarea deformațiilor s-a făcut folosind extensometria mecanică și electrică.

Pentru măsurarea mecanică a deformațiilor au fost folosite segmentele cu baza de măsură de 20 mm - delimitate cu ajutorul bilelor din oțel, avind diametrul 1/16", iar pentru extensometria electrică au fost utilizate traductoare rezistive cu baza de 20 mm pentru măsurări la suprafața probei și cu baza de 10 mm pentru măsurările efectuate în adâncimea probei.

In fig.4.2.2.1. și 4.2.2.2. se prezintă poziția segmentelor

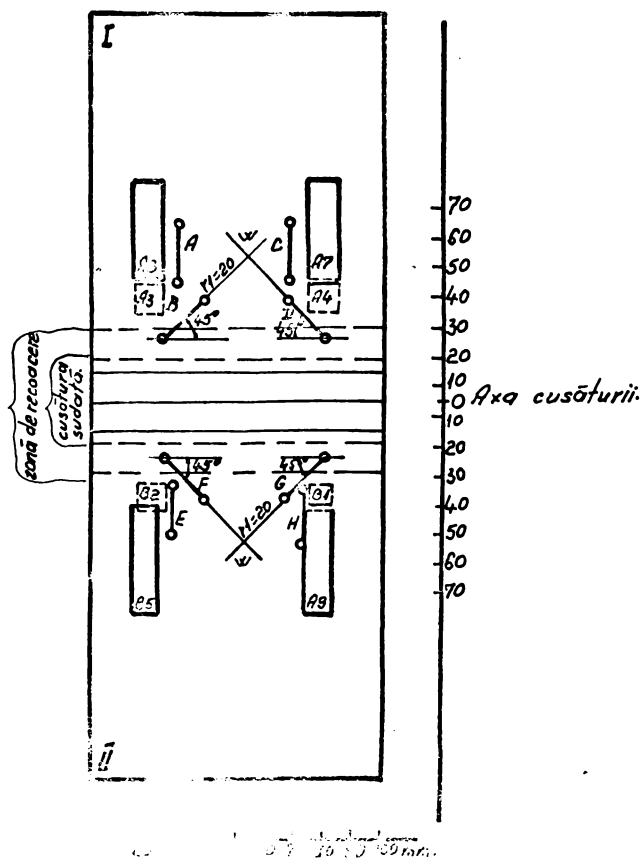
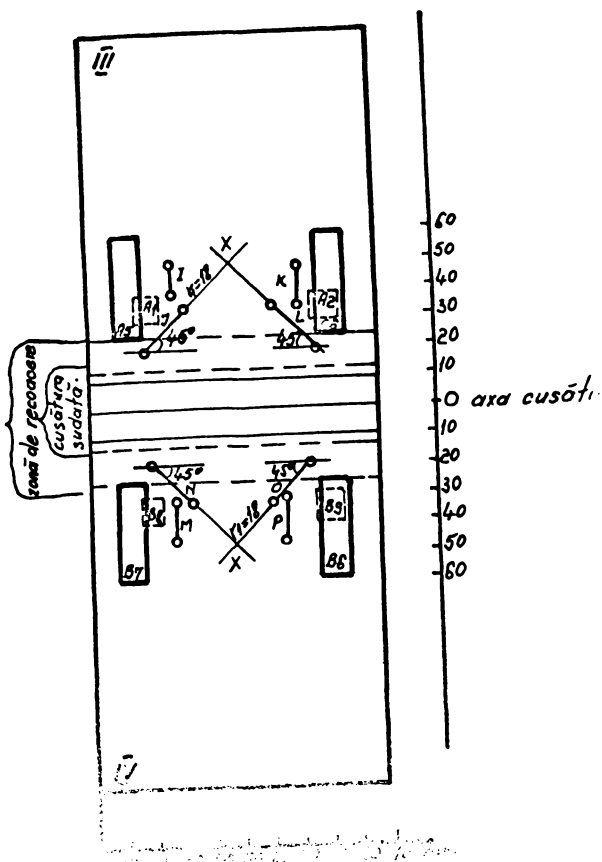


Fig.4.2.2.1.  
Locul de amplasare al mărcilor tensometrice și  
delimitarea segmentelor cu bile din oțel la  
plăcile sudate din OL 37 (scara 1:2)

și a traductoarelor rezistive la suprafața probei reprezentate cu linie continuă și cu linie întreruptă pentru cele care se găsesc la adâncimea de 10 mm de la suprafața probei. Măsurările prin extensometria mecanică au fost executate cu ajutorul segmentelor A, B, C, D, E, F, G, și H la proba din oțel marca OL 37 și cu segmentele I,



**Fig.4.2.2.2.**  
Locul de amplasare al mărcilor tensometrice și  
delimitarea segmentelor cu bilă din oțel la  
plăcile sudate din ST 37-3 (scara 1:2)

J, K, L, M, N, O și P pentru proba din oțel marca ST 37-3. Traductoarele rezistive sunt reprezentate prin A7, A8, A9 și B5, la suprafața probei din oțel marca OL 37, iar prin A3, A4, B1 și B2 pentru traductoarele la adâncime.

La proba din oțel marca ST 37-3 traductoarele de la suprafață sunt A5, A6, B6 și B7 iar cele de la interior A1, A2, B8 și B9.

Pentru aprecierea pozitiei segmentelor și a traductoarelor rezistive în fig.4.2.2.1 și 4.2.2.2., sunt alăturate probelor scările milimetrice față de axa cusăturii sudate, respectiv a lățimii probei.

#### 4.2.3. Sudarea probelor

Pachetele suportante sunt sudate cap la cap, regimul de suda-

re fiind prezentat în tabelul 4.2.3.1.

Tabelul 4.2.3.1.

Regimul de sudare al probelor

Sir	Electrodul folosit	Regim sudare			Locul de punerei	Temperatura(°C) lingă cusătură pt. proba din:	
		Tip	Diametru	Tens. arc		OL 37	St 37-3
			(mm)	Ua(V)	I <sub>s</sub> (A)		
I	Rapid	3,25	28	130	mijloc	65	65
II	rapid	3,25	28	130	mijloc	200	150
III	uniterm	4,0	25-30	200	mijloc	300	200
IV	uniterm	4,0	25-30	200	dreapta	400	280
V	uniterm	4,0	25-30	200	stinga	400	375
VI	uniterm	4,0	25-30	200	dreapta	-	375
VII	uniterm	4,0	25-30	200	stinga	-	420

In timpul sudării a fost măsurată temperatura la suprafața probei lingă cusătură cu ajutorul cretelor Termochrom de fabricație AW Faber-Castell(R.F.G). Imbinarea sudată a fost realizată prin depunerea a 5 straturi în cazul probei din oțel OL 37 și din șapte straturi pentru proba din oțel St 37-3. Depunerea stratului următor s-a făcut numai după măsurarea deformațiilor rezultate.

4.2.4. Măsurarea deformațiilor

Măsurarea deformațiilor s-a executat în cazul extensometriei mecanice folosind extensometrul sistem Pfender, care permite măsurarea unei deformații minime de 0,001 mm, ceea ce corespunde la baza de măsură aleasă de 20 mm unei precizii de 0,005 % [88, 163, 100].

Extensometria electrică s-a efectuat folosind puntea Komb.Messfrequenz - Modulator, fabricație dr. Gunter Lange(R.D.G) care permite determinarea valorilor pentru deformațiile specifice de la 0,005 la 10°/00.

In timpul sudării, unele locuri de măsură au fost deranjate astfel că determinările nu s-au făcut în toate cazurile propuse.

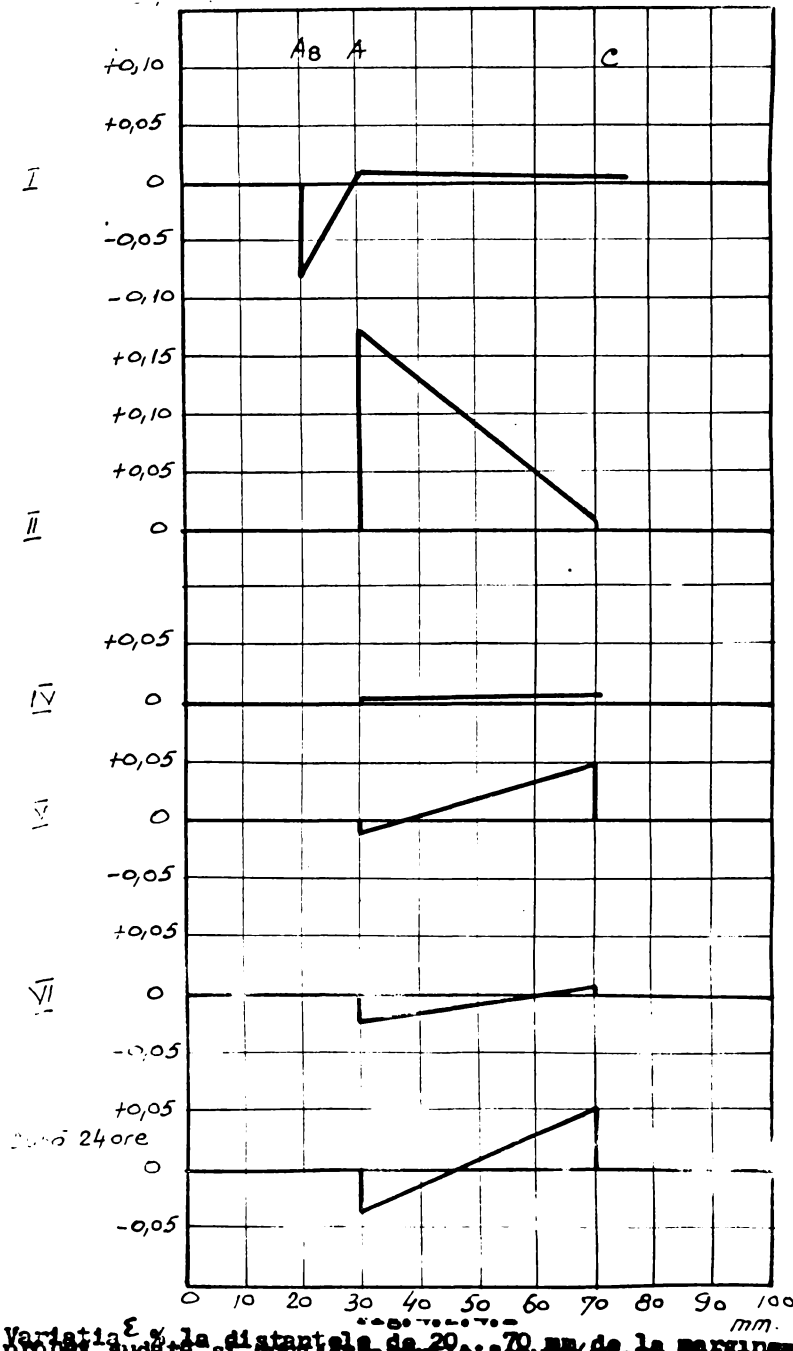
Deformațiile au fost măsurate după depunerea fiecărui strat de sudură, sudarea fiind continuată numai după efectuarea măsurătorilor. Umpierea rostului s-a executat cca. 90% pentru a nu se detină traductoarele rezistive și imbinarea a fost fără completare la rădăcină, avind în vedere faptul de a nu produce deranjamente în circuitele electrice prin intoarcerea probelor.

Se deduce că aproximativ aceeași cantitate de metal topit a fost depus în cazul placilor din OL 37 numai în 5 straturi: compara-

ratio cu 7 straturi la placile sudate din otel St 37-3.

Deformatiile finale ale placilor au fost de  $5^\circ$  la placile sudate din otel marca OL 37 si  $8^\circ$  la placile sudate din otel marca ST 37-3.

In figurile 4.2.4.1 si 4.2.4.2 se prezinta variația deforma-



variația deformației la distanțele de 20-70 mm (placi ramă)  
probă sudată și cu 7 straturi  
24 ore

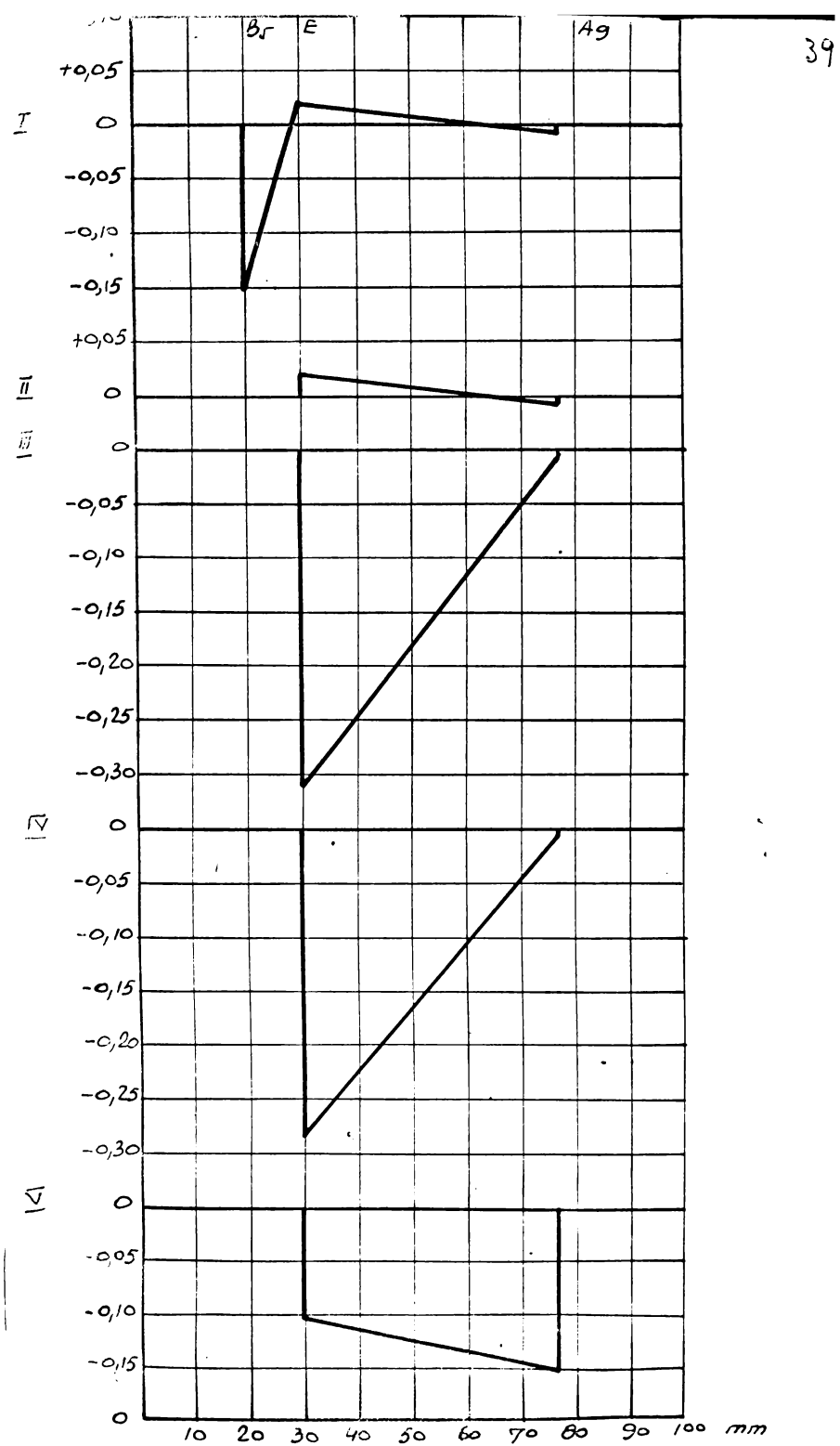


Fig.4.2.4.2

Variatia  $\epsilon$  % la distantele de 20...70 mm de la marginea probei sudat si dupa depunerea straturilor de sudura  
(placa II din OL 37)

ților la suprafață sudată din oțel marca OL 37 iar în fig. 4.2.4.3 deformațiile la adâncimea de 10 mm față de suprafață aceleiași probe.

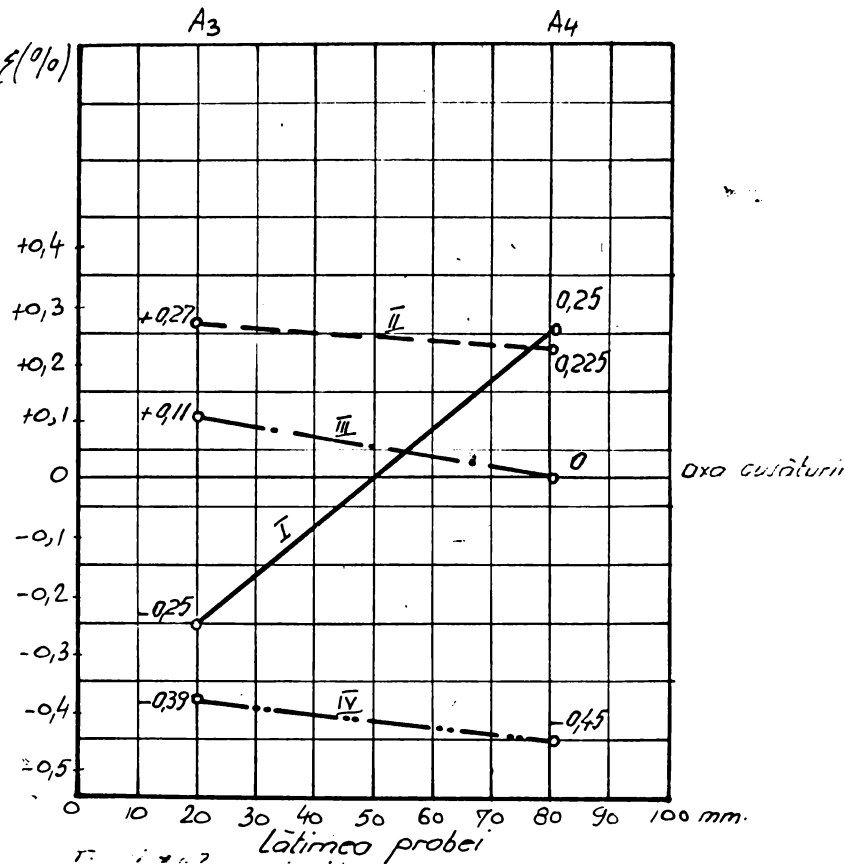


Fig. 4.2.4.3.  
Variația % pentru placă I OL 37 după depunerea primelor 4 straturi de sudură (măsurări executate la 10 mm adâncime față de suprafață placii și la 35 mm față de cusătura sudată)

- 1)  $\circ-\circ$  după primul strat
- 2)  $\cdots-\circ$  după al 2-lea strat
- 3)  $\circ-\cdots$  după al 3-lea strat
- 4)  $\circ-\cdots$  după al 4-lea strat

Se constată în cazul placii I din OL 37 că deformațiile mai apreciabile sunt obținute după depunerea primelor straturi, după care acestea devin neînsemnante, menținind aceeași linie a curbei de variație a deformațiilor. De remarcat că după 24 de ore de la terminarea sudării, se produce aproape o echilibrare a deformațiilor față de axa de simetrie a placii.

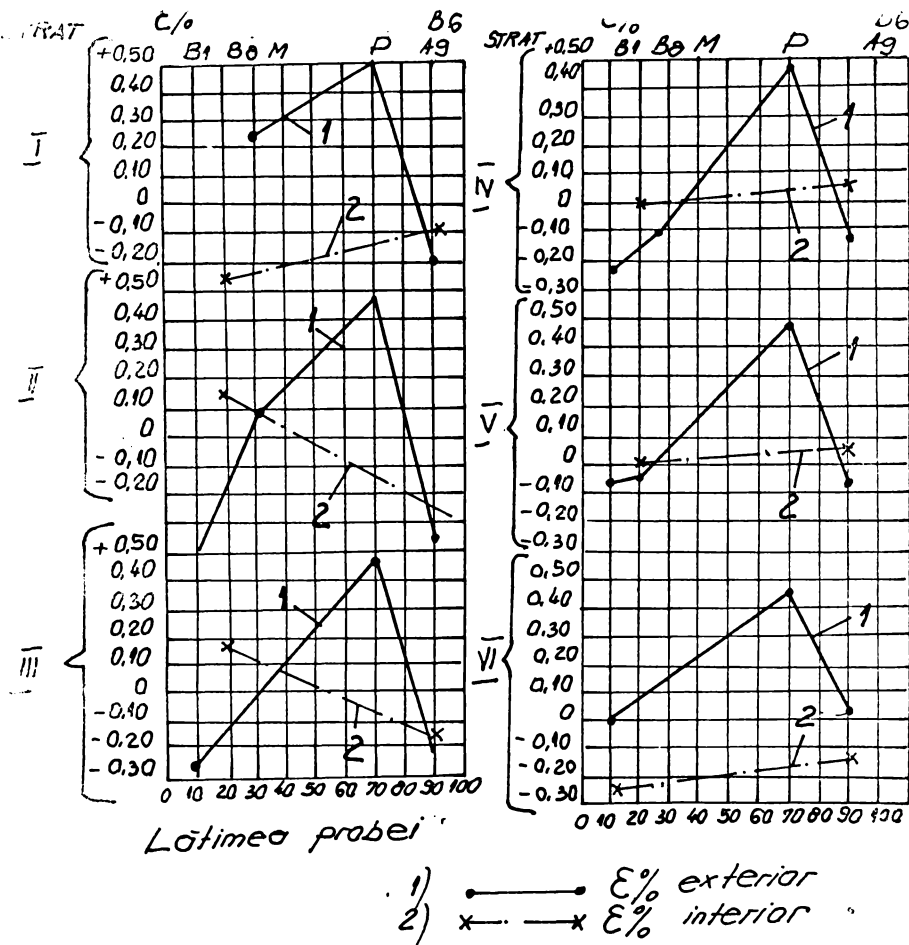
Placa a II-a care este probă sudată din OL 37 prezintă deformații mai pronunțate, respectiv contractii care ajung pînă la  $-0.3\%$ .

deci cu depășirea deformăției corespunzătoare limitei de curgere.

De remarcat că la depunerea ultimului strat deformățiile se reduc ca valoare.

Figura 4.2.4.3 se referă la variația deformățiilor din zona interioară a probei sudate la adâncimea de 10 mm de la suprafața acestela. Se constată deformății apreciabile ca mărime (0,25 %) simetrice după depunerea primului strat. După depunerea rîndurilor de sudură 2 și 3 se obțin deformății pozitive (alungiri) cu valori maxime de + 0,27 %. În schimb, după depunerea ultimului strat se constată numai contractări cu valori maxime de pînă la - 0,45 %.

In ceea ce privește determinarea deformățiilor la proba din otel marca St 37-3, variația acestora este prezentată în fig.4.2.4.4.



mărimile probei sudată și după depunerea straturilor de sudură (placa IV din St 37-3)

In acest caz, se constată o asemănare în ceea ce privește alinarea curbei deformațiilor de la suprafață cu un maxim constant la segmentul P, respectiv alungirea pînă la + 0,45 %, iar la margini cu contracții, pînă la - 0,40 %. Deformațiile interioare sunt mai pronunțate după depunerea primelor trei șiruri și după al șaselea șir, contractile maxime fiind - 0,25 %. Obținerea acestor deformații din timpul executării îmbinării sudate s-a făcut în condițiile răcirii complete a materialului între depunerea straturilor avînd în vedere timpul necesar efectuării măsurărilor.

Pentru determinarea tensiunilor remanente au fost considerate segmente inclinate la  $45^\circ$  față de axa cusăturii sudate: segmentul B și D pentru probă din otel OL 37 și segmentele O și N pentru probă din St 37-3. Direcția acestor segmente este  $90^\circ$  unul față de altul.

Prin determinarea punctelor de intersecție a celor două direcții, se determină valoarea razei  $r_1$ , pentru fiecare probă. Construind un arc de cerc cu raza  $r_1$  și centrul determinat de intersecția celor două direcții ale segmentelor inclinate pe acest arc de cerc și la un unghi de  $135^\circ$  față de direcțiile segmentelor B și D pentru probă din OL 37 respectiv O și N pentru probă din St 37-3 au fost fixate segmentele S și R, cu baza de măsură tot de 20 mm. În acest caz au fost obținută o rozetă cu centrul determinat de intersecția direcției segmentelor inclinate la  $45^\circ$  față de axa cusăturii sudată cu segmentele de măsură decalate la  $90^\circ$  respectiv  $135^\circ$ . S-a măsurat valoarea acestor segmente după sudare (cu extensometrul mecanic sistem Pfender).

După aceea a fost determinată valoarea acestor segmente după execuțarea unor găuri, în centrul rozetei cu dimensiunile de 6,10,20 și 30 mm.

În tabelul 4.2.4.1 se prezintă deformațiile obținute după execuțarea găurilor indicate.

Tabelul 4.2.4.1.  
Deformațiile rezultate după efectuarea găurilor  
pentru eliberarea tensiunilor

Diametrul g (mm) al găurii	$r_1$	Probă din OL 37			Probă din St 37 - 3			
		B	D	S	$r_1$	O	N	R
6	18	0,002	0	0	20	-0,008	0	0
10		-0,010	0	0		-0,022	0	+0,004
20		+0,002	+0,002	0		-0,003	+0,009	+0,010
30		-0,005	+0,002	+0,002		+0,021	+0,015	+0,022

### Determinarea deformatiilor specifici după găurire

Pentru eliberarea tensiunilor remanente se execuție o găură cu diametru 2 și cu centru 1, distanță  $r_2 = r_1 + 20$  mm, unde 20 mm reprezintă lățea segmentului de măsură. Pentru probă din CL 37  $r_2 = 20$  mm, iar pentru probă din CL 37-3 cunoscuta a avut valoarea de 16 mm (tabelul 4.2.4.1).

Pentru stabilirea deformatiilor specifici după cele trei direcții după găurire ( $\varepsilon_{00}$ ,  $\varepsilon_{45}$ ,  $\varepsilon_{90}$ ) se folosesc relațiile 39:

$$\varepsilon_{00} = L \varepsilon'_0 + M(\varepsilon'_0 + \varepsilon'_{90})$$

$$\varepsilon_{45} = L \varepsilon'_{45} + M(\varepsilon'_0 + \varepsilon'_{90})$$

$$\varepsilon_{90} = L \varepsilon'_{45} + M(\varepsilon'_0 + \varepsilon'_{90})$$

unde:

$$L = \frac{R}{B'} \quad , \quad M = \frac{AB'}{2A'B'}$$

$$A = \frac{1 + \mu}{2} \quad B = \frac{1 + \mu}{2}$$

$$A' = \frac{1 + \mu}{2} \cdot \frac{\alpha^2}{r_1 r_2}$$

$$B' = \frac{\alpha^2}{r_1 r_2} \left[ -1 + \frac{1 + \mu}{4} \frac{r_1^2 + r_2^2 + r_2^2}{r_1^2 + r_2^2} \alpha^2 \right]$$

$$\mu = 0,3 \text{ (coeficientul lui Poisson).}$$

$\varepsilon'_{00}$ ,  $\varepsilon'_{45}$  și  $\varepsilon'_{90}$  sunt deformatiile specifici determinate prin măsurările efective cunoscute pe segmentele de referință aflate pe cele trei direcții.

Cunoscându-se valoarea deformatiilor specifici după găurire și sforțurile unitare principale se determină prin relațiile cunoscute.

Răsultatul obținut este prezentat în tabelul 4.2.4.2.

Prin aplicarea relațiilor pentru determinarea deformărilor principale în cazul creștării, după efectuarea răurilor cu diametrul de 30 mm, executate în scopul de a elibera tensiunile remanente în cazul cel mai eficace [3] se obține valoarea acestora.

În tabelul 4.2.4.2 se prezintă pentru cele două probe deformatiile specifice remanente, care vor stabili în cale din urmă rima tensiunilor remanente.

Tabelul 4.2.4.2  
Deformatiile specifice remanente

Proba su-	$\epsilon_0$	$\epsilon_{45}$	$\epsilon_{90}$	$\epsilon_0$	$\epsilon_{45}$	$\epsilon_{90}$
OL 37	0,00025	0,0001	0,0001	-0,00035	-0,00012	-0,000
St 37-3	0,001	0,0013	0,00075	-0,00133	-0,0015	-0,000

#### 4.2.5. Concluzii

Cercetarea efectuată a căutat să facă o investigație în ceea ce privește modul de evoluție a deformărilor care rezultă către procesul de sudare. Rezultatele obținute constituie un punct care justifică continuarea cercetărilor, având în vedere că diferită evoluție a deformărilor la suprafața plăcilor și în interiorul acestora.

#### 4.3. Consideraționi asupra deformărilor și tensiunilor din probe mici capătă după execuția din oel OL 37

##### 4.3.1. Prezentarea probelor

Au fost pregătite în vederea sudării două plăci notate cu și Y din tabla de oel la dimensiunile 500 x 3/0 x 15 mm.0,015 cm care au fost pregătite procedeul fest de calitate OL 37, STAS 90 [243]. Cele două plăci au avut marginile pregătite la 60° pe sudare cap la cap în V. Pe suprafața orizontală ridicinii cusăturii tă a plăcilor X și Y au fost plantate bile din oel cu diametrul 1/16", în vederea delimitării segmentelor, care să permită determinarea deformărilor, cu ajutorul extensometrului mecanic FICC, în figura 4.3.1.1.

Pe placă X au fost delimitate segmente de 20 mm, iar pe placă segmente de 40 mm. Modul de secare a biliilor este indicat în figura 4.3.1.1.

Din această figură rezultă că segmentele au permis determinarea deformărilor după două direcții față de axa cusăturii.

Sudarea s-a făcut prin depunerea a trei straturi, fiecare cutindu-se după o răcire a celui anterior.

44

	<i>E</i>	<i>E</i>	<i>G</i>	<i>H</i>	<i>I</i>	<i>P<small>U</small>CAx</i>	<i>K</i>	<i>L</i>	<i>M</i>	<i>N</i>	<i>O</i>	<i>P</i>	<i>Q</i>	<i>R</i>	<i>S</i>	<i>T</i>	<i>U</i>	<i>V</i>	<i>W</i>	<i>U<small>PUCAy</small></i>	<i>T'</i>	<i>S'</i>	<i>R'</i>	<i>Q'</i>	<i>P'</i>	
1	62.	63.	65.	66.	67.	68.	69.	70.	71.	72.	73.	74.	75.	76.	77.	78.	79.	80.	81.	82.	83.	84.	85.	86.	87.	
2	42.	43.	45.	46.	47.	48.	49.	50.	51.	52.	53.	54.	55.	56.	57.	58.	59.	60.	61.	62.	63.	64.	65.	66.	67.	
3	24.	23.	25.	26.	27.	28.	29.	30.	31.	32.	33.	34.	35.	36.	37.	38.	39.	40.	41.	42.	43.	44.	45.	46.	47.	
4	12.	13.	14.	15.	16.	17.	18.	19.	20.	21.	22.	23.	24.	25.	26.	27.	28.	29.	30.	31.	32.	33.	34.	35.	36.	37.
5	9.	10.	11.	12.	13.	14.	15.	16.	17.	18.	19.	20.	21.	22.	23.	24.	25.	26.	27.	28.	29.	30.	31.	32.	33.	34.
6	0.	1.	2.	3.	4.	5.	6.	7.	8.	9.	10.	11.	12.	13.	14.	15.	16.	17.	18.	19.	20.	21.	22.	23.	24.	25.
7	18.	19.	20.	21.	22.	23.	24.	25.	26.	27.	28.	29.	30.	31.	32.	33.	34.	35.	36.	37.	38.	39.	40.	41.	42.	43.
8	36.	37.	38.	39.	40.	41.	42.	43.	44.	45.	46.	47.	48.	49.	50.	51.	52.	53.	54.	55.	56.	57.	58.	59.	60.	61.
9	61.	62.	63.	64.	65.	66.	67.	68.	69.	70.	71.	72.	73.	74.	75.	76.	77.	78.	79.	80.	81.	82.	83.	84.	85.	86.
10	60.	61.	62.	63.	64.	65.	66.	67.	68.	69.	70.	71.	72.	73.	74.	75.	76.	77.	78.	79.	80.	81.	82.	83.	84.	85.

Fig. 4.3.1.1.  
Probă sudată cu poziția rozetelor

Stratul I s-a executat cu electrod EL 44 titanic, STAS 240 - 60, cu diametrul de 3,25 mm, polaritate directă, utilizându-se un curent de 140-150 A.

Stratul II - depus în 200 secunde, obținându-se zone cu culorări mari, precum și la stratul I (vezi tabloul 4.3.1.1).

Stratul III-lea a fost executat cu electrod basic Superbag, diametru 4 mm, polaritate inversă, utilizându-se un curent

Tabelul 4.3.1.1.  
Caracterizarea stratului I

Durata de depunere (s)	Lungimea de depunerii (mm)	Lățimea zonei cu culoare de revenire (mm)	Viteza de sudare (cm/s)
30	118	26	0,393
63	134	45	0,200
40	106	26	0,265
15	24	24	0,016
10	28	23	0,028
14	35	31	0,018
32	55	36	0,017
209	-	-	

de 180 A. Stratul a fost depus în 337 secunde cu o viteză de sudare medie 0,148 cm/s, după care s-au obținut o zonă cu culoare de revenire pe cca 2/3 din lungime cu lățimea medie de 41 mm, iar pe 1/3 cu lățime de 53 mm.

Stratul al III-lea a fost depus cu electrod bazic Superbaz, cu diametrul de 5 mm, polaritate inversă, folosindu-se un curent de 210 A. Durata depunerii acestui strat a fost de 225 sec., care corespunde unei viteze de sudare de 0,222 cm/s. Cusătura sudată nu a fost completată la rădăcină pentru a nu fi deteriorate bilele fixate.

După depunerea ultimului strat de sudură zona cu culoare de revenire s-a prezentat, pe lungimile și lățimile din tabelul 4.3.1.2.

Tabelul 4.3.1.2.  
Lățimea finală a zonei de revenire

Lungimea depunerii (mm)	Lățimea zonei de revenire (mm)
65	30 - 40
110	40
125	40 - 45
130	45 - 55
70	55

In secțiunea transversală cele două probe au prezentat o deformare unghiulară de 7°.

#### 4.3.2. Măsurarea deformatiilor

Măsurarea deformațiilor s-a făcut cu extensometrul mecanic [100, 163]. Măsurările au fost executate după depunerea fiecărui strat și în următoarele situații create :

- cazul I - valorile deformațiilor obținute după depunerea primului strat de sudură;
- cazul II - valorile deformațiilor obținute după depunerea celui de al doilea strat de sudură ;
- cazul III - valorile deformațiilor obținute după depunerea celui de al treilea strat ;
- cazul IV - valorile deformațiilor obținute după 72 de ore de la sudare ;
- cazul V - valorile deformațiilor obținute după executarea a 6 găuri cu diametrul de 6 mm în cusătura sudată (fig.4.3.1.1 și 4.3.2.1).
- cazul VI - valorile deformațiilor după executarea găurilor în zona influențată termic (fig.4.3.1.1 și 4.3.2.2)
- cazul VII - valorile deformațiilor după decuparea prin găurire a unei părți din probă sudată avind dimensiunile  $135 \times 190$  mm din plan X și de  $175 \times 190$  mm din plan Y (fig.4.3.1.1. și 4.3.2.3).

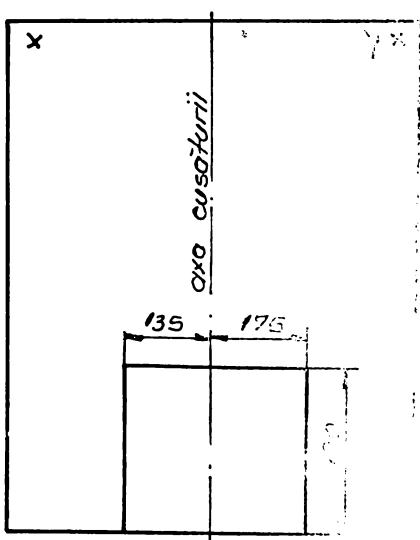


Fig.4.3.2.3. -  
timpul executării cusăturii sudate, după depunerea fiecărui strat.

In diagramele din fig.4.3.3.1 și 4.3.3.2 se prezintă pentru fiecare segment dinamică deformațiilor după depunerea fiecărui strat,

Pentru eliberarea tensiunilor din probă sudată au fost executate găuri în cusătura sudată (fig.4.3.2.1), în zona influențată termic (fig. 4.3.2.2) și în final a fost decupată printr-o găurire o placă sudată din probă, pentru cercetări ulterioare, conform fig.4.3.2.3.

#### 4.3.3. Interpretarea variatiilor de formații rezultante în timpul operatiilor de sudare

O problemă importantă este aceea de a se urmări deformațiile care se produc în

timpul executării cusăturii sudate, după depunerea fiecărui strat.

D

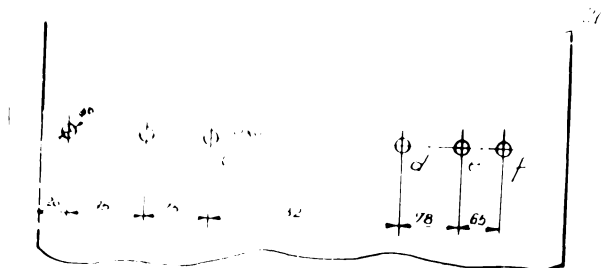


Fig. 2.1 Poziție găuri în cusătura de sudură

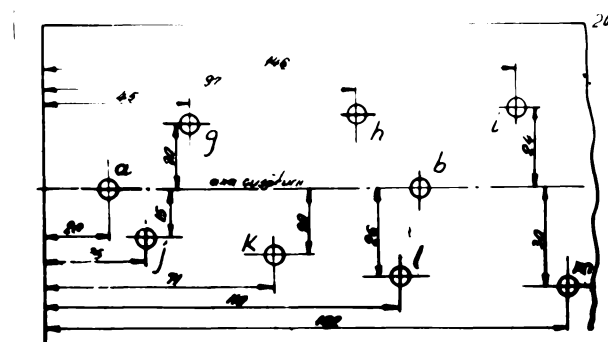


Fig. 2.2 Poziție găuri executate în zona de infișare  
termos o sudură

respectiv după executarea cusăturii sudate și după 72 de ore de la sudare. Deformațiile sunt prezentate pentru fiecare placă, rind și segment, valorile fiind exprimate în micrometri și cu sensul respectiv.

Analizând deformațiile se constată că după depunerea primului și celui de al doilea strat al deformațiilor segmentelor orizontale sunt mari pînă la o distanță de 90 mm de la axa cusăturii sudate, acestea reducîndu-se la o distanță de cca 190 mm de la aceasta. După depunerea ultimului strat de sudură deformațiile se reduc substanțial, în general valorile maxime se constată la capetele plăcilor la distanță de 30, respectiv 60 mm de la axa cusăturii.

De remarcat că după 72 ore de la sudare, deformațiile se accentuează în special pentru primul rind.

Dinamica deformațiilor în plan perpendicular la cusătura sudată arată că se obțin valori maxime la 160 mm de la capătul plăcii.

De asemenea în general deformațiile pe direcțiile perpendiculare la cusătura sudată prezintă valori mai mari, în comparație cu cele realizate în plane paralele la cusătură. Comparînd cu deformațiile obținute în placa X, se constată o comportare opusă în placa Y, ceea ce atestă că plăcile sudate s-au deformat ca o elice.

În planele orizontale la cusătură se constată că în ultimul rind ( $C_1 - C_1'$ ) se obțin valori mari ale deformațiilor, la o distanță de 145 mm de la axa cusăturii.

În planele verticale la cusătură se obțin valori maxime în planele  $Z - Z'$  și  $W - W'$ , în celelalte planuri deformațiile fiind mai mici.

Din analiza efectuată pe probă în timpul executării cusăturii rezultă următoarele :

- zona metalului de bază care este colorată cu aspect de revire, prezintă lățimea sensibil egală după depunerea fiecărui strat, ceea ce indică că sudarea a fost corect executată ;
- valoarea deformațiilor obținute este mare în zonele cercetate, însă modul de repartizare al acestora este diferit și aceasta din cauza cîmpului termic realizat la încălzire și la răcirea metalului, după fiecare strat ;
- mărimea deformațiilor diferă de la cîțiva micrometri pînă la zece de milimetri, ceea ce corespunde unor deformații specifice maxime de cca 0,4 % în ambele plăci sudate ;
- se constată segmente care prezintă același aliură a curbelor deformațiilor, pe fișii ale probei ca exemplu la placa X, ca-

zul segmentelor 8 și 48, 10 și 30 pe direcția orizontală, iar la placa Y cazul segmentelor 21 și 22, 49 și 50 pe aceeași direcție;

- deformații care depășesc valoarea de 0,2 % corespunzătoare limitei de curgere a metalului de bază se obțin dină depunerea stratului al doilea, ca ex. -  $63 \mu\text{m}$  la segmentul 29 pe rîndul II vertical la placa X și  $168 \mu\text{m}$  la segmentul 41 pe rîndul III vertical și de  $-109 \mu\text{m}$  la segmentul 42 pe același rînd însă orizontal.

După depunerea primului strat de sudură se constată aceeași situație la segmentul 6 rîndul I orizontal la placa X și la segmentul 45 pe rîndul III vertical.

#### 4.3.4. Analiza deformațiilor după executarea operațiilor tehnologice pentru eliberarea tensiunilor

După executarea operațiilor tehnologice din cusătura sudată din Z.I.T. așa cum s-a arătat în figurile 4.3.2.1 - 4.3.2.5 rezultă modificări ale deformațiilor.

In fig.4.3.4.1. se prezintă deformațiile în plane paralele la cusătura din placa X.

Se constată că după executarea găurilor în cusătura sudată (curba V) se produc deformații mari în planul A - A' aflat la 30 mm de la cusătură și cu schimbare de sens în comparație cu situația din fig.4.3.3.1.

Se constată de ex. că la segmentul 4 se obțin deformații de 0,6 %, iar la segmentul 8 de 0,7 %. De asemenea se constată o contractie pronunțată la segmentul 48 în valoare de  $-0,6 \%$ .

După executarea găurilor din Z.I.T (curba VI) se constată că acestea au efect în cazul segmentului 8 din planul A - A', ca și în segmentul 38 din planul B - B'.

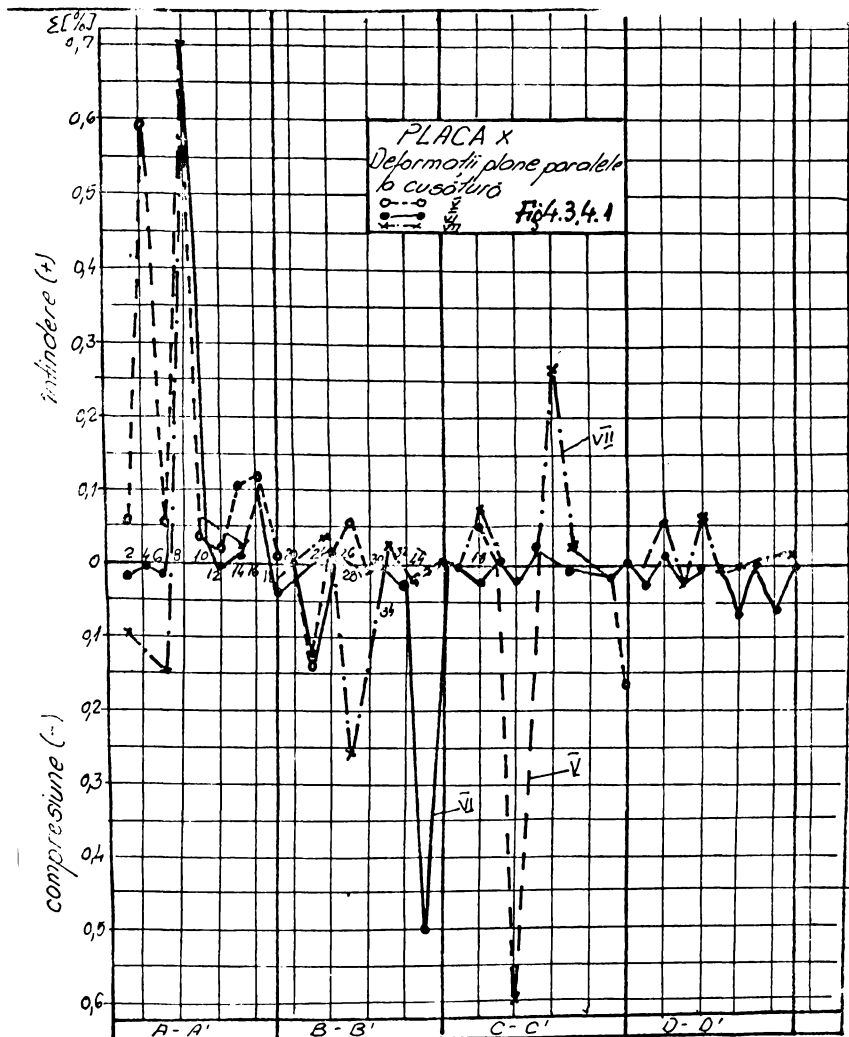
După decuparea plăcii (curba VII) se observă efecte mai însemnante la segmentul 8, cu aceeași valoare a deformației ca în cazul precedent, la segmentul 28 din planul B - B' o contractie de  $-0,25 \%$ , iar la segmentul 52 din planul C - C' o deformație de  $+0,27 \%$ .

Figura 4.3.4.2 prezintă cazul segmentelor perpendiculare din placa X. Se constată deformații mari la segmentul 7 din planul H-H' în toate cazurile curbelor V - VII, au valoarea de peste 0,4 %.

In planul I - I' se manifestă o contractie accentuată la curba V cu valoare de  $-0,4 \%$ . La segmentul 35 din planul L - L' se observă prin curbele V și VI o contractie de  $-0,3 \%$ .

In planul N - N' se constată de asemenea contractii mari de pînă la  $-0,5 \%$  la segmentele 19 și 59.

După decuparea plăcii (curba VII) se constată contractii mai



pronunțate la segmentele 27 și 47 din planul  $H - H'$  în valoare de  $-0,23\%$ , respectiv  $-0,35\%$ . La segmentul 15 din planul  $L - L'$  se constată o deformare de  $0,25\%$ .

In figura 4.3.4.3 se poate observa dinamica segmentului din placă Y în plane paralele la cusătură.

Se constată în general valori mici ale deformărilor cu excepția segmentului 36 din planul  $B_1 - B'_1$  după decuparea plăcii (curba

VII) se constată o contractie de - 0,2 %. De asemenea se constată că majoritatea segmentelor prezintă deformări apropiate în toate cazurile.

Figura 4.3.4.4. se referă la segmentale din placă Y perpendiculară pe cusătură. Se constată o contractie de - 0,25 % la segmentul 51 din planul Z - Z' (curba VI), în rest aceleasi observații ca în cazul precedent.

#### 4.3.5. Analiza deformărilor din placă decupată

Placa decupată din probă sudată conform fig.4.3.2.3. a fost analizată în ceea ce privește dinamica deformărilor.

În figurile 4.3.5.1 și 4.3.5.2 se prezintă deformarea specifică la proba prelevată din proba (X + Y) sudată. Analiza deformărilor specifice se face în cazurile I - IV după cum urmează :

- I - după sudare,
- II - după găurirea din cusătură ,
- III - după găurirea din Z.I.T.,
- IV - după decuparea probei mici din cea mare.

Analiza se face pentru fiecare rozetă în comparație cu situația după sudare (curba a) și față de cea inițială (curba b). Astfel se poate pune în evidență efectul operațiilor de găurire și decupare executate.

La rozeta (7,8) se constată deformări specifice mari ajungând pînă la 0,4 % la segmentul 7 și de maxim 1,0 % la segmentul 8.

La segmentul 48 se constată deformări specifice de maxim - 0,6 %.

Analizind curbele a și b obținute la fiecare segment după operațiile executate succesiv se deduc următoarele:

- suprapunerea celor două curbe la rozetele 2,3 parțial 23, 28, 43, 42, 44, 45, 47 și 48 ;
- aliura curbelor este asemănătoare în celelalte cazuri.

Din graficele prezentate se poate evidenția efectul fiecărei operații, comparativ cu situația după sudare, respectiv față de situația inițială.

#### 4.3.6. Analiza deformărilor specifice după sudare și executarea găurilor, respectiv a decupării

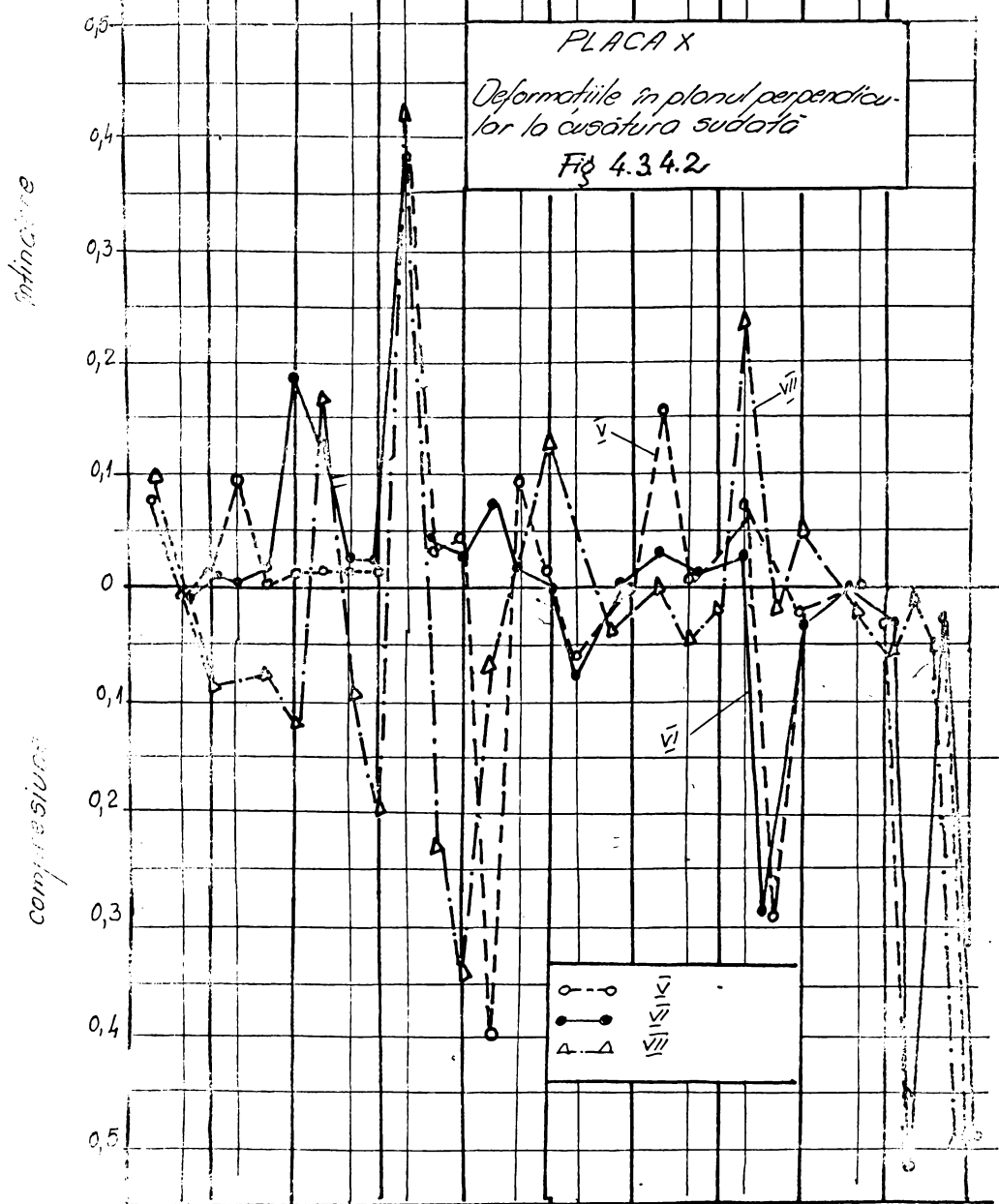
Analiza s-a făcut pe fizii paralele și perpendicularare, în stările rezultate după operațiile de găurire în cusătură, în zona influențată termic și după decupare prin găurire a unei părți din probă. A fost urmărită dinamica deformărilor specifice în cazurile prezentate.

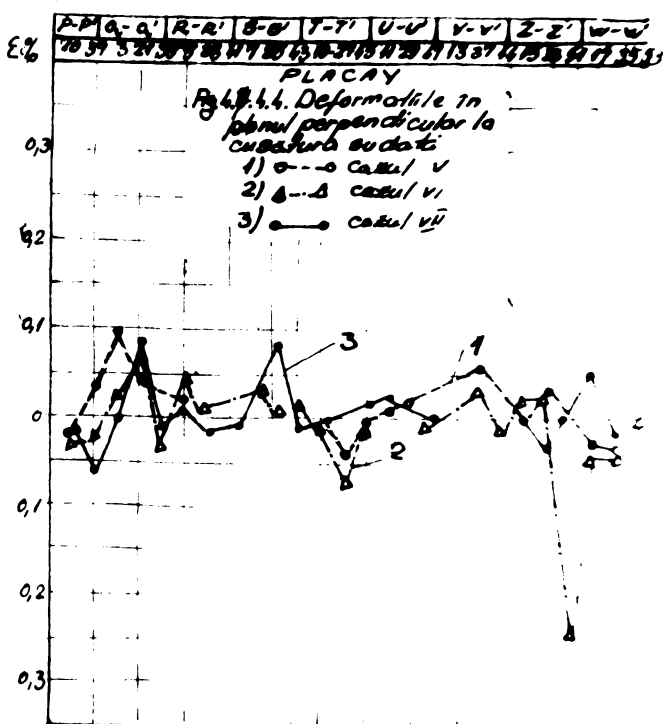
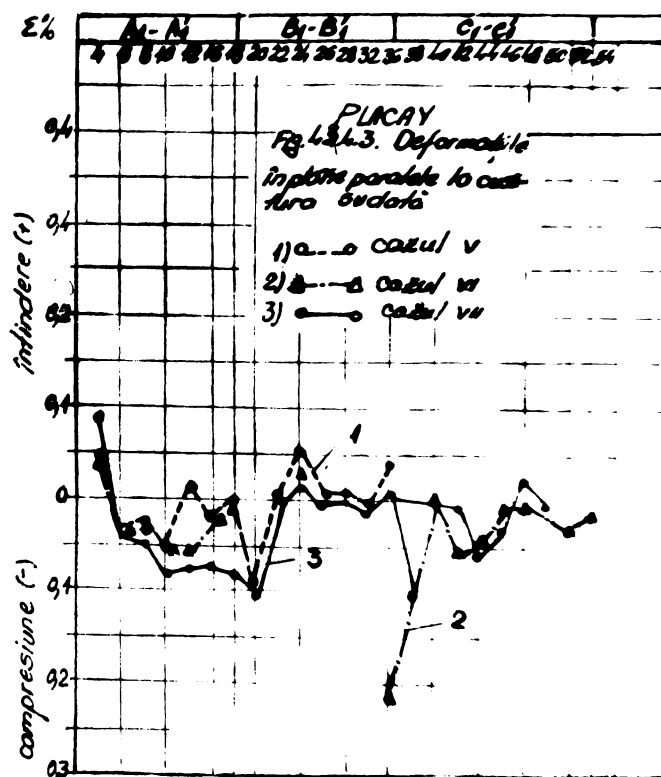
$E-E'$	$F-F'$	$G-G'$	$H-H'$	$I-I'$	$J-J'$	$K-K'$	$L-L'$	$M-M'$
1 21 41	3 23 43	5 25 45	7 27 47	9 29 49	11 31 51	13 33 53	15 35 55	17 37 57

## PLACA X

Deformările în planul perpendicular la direcția sud-est

Fig 4.3.4.2





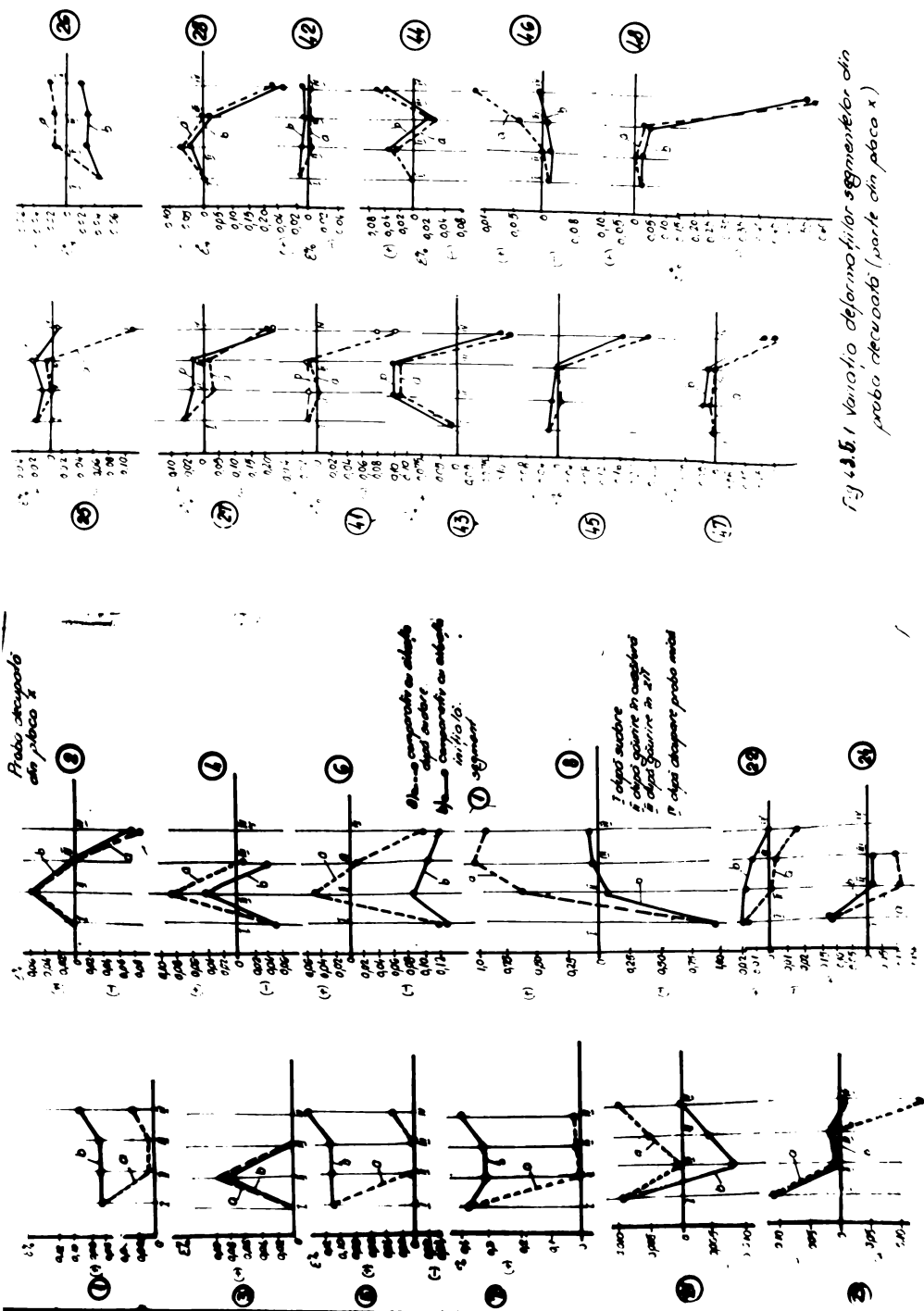


Fig. 4.35 / Variatia deformatiei segmentelor din proba decursoata (varsta din proba x)

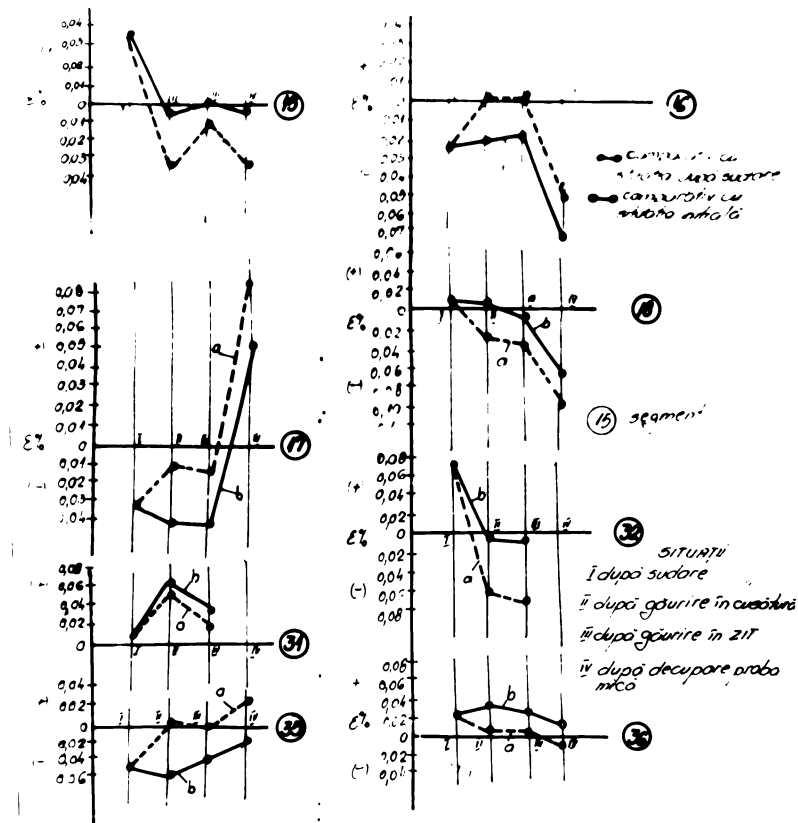


Fig. 4.3.12. Variatia deformatiilor segmentelor din proba decupata (partea din punct Y)

Analiza s-a făcut având în vedere cazurile prezentate la punctul 4.3.2.

a) Situatia din plăcile X si Y în plane paralele la cusătura sudată

După executarea celor șase găuri din cusătura sudată se produce în general o mărire a deformațiilor în comparație cu cazul precedent, lucru ilustrat în mod deosebit în planul A - A' din placă X, unde se obține o creștere maximă de 1,3504 % în dreptul segmentului 8. În placă Y în planul corespunzător A<sub>1</sub> - A'<sub>1</sub> acest lucru se manifestă în mai mică măsură.

Creșterea valorii deformațiilor indică prezența unor stări de tensiuni apreciabile în zona cea mai apropiată cusăturii sudate.

Comportarea diferită a segmentelor de măsură aflate în planele A - A' și A<sub>1</sub> - A'<sub>1</sub>, distanțate egal față de axa cusăturii sudate, poate fi explicată prin încălzirea neuniformă a marginilor celor două plăci în timpul sudării, ceea ce a condus la realizarea de viteză diferite ale variației de căldură în zonele examineate, lacca. 30 mm față de cusătura sudată [161, 243].

În planurile aflate la distanțe mai mari față de cusătura sudată se manifestă diferențe mai mici ca valori absolute. În aceste cazuri alungirile și scurtările respective prezintă modulări, dovadite prin schimbări de sens mai frecvente, ca și prin neschimbări ale situației precedente.

După executarea găurilor g - i din placă X și j - l în placă Y se constată în general variații mai mici ale deformațiilor, chiar în imediata apropiere a cusăturii (- 0,604 % la segmentul 4), caracterul acestora fiind ondulatoriu, prezintând multe schimbări de sens și situația neschimbată față de cea precedentă.

Faptul că executarea acestor găuri nu provoacă alungiri și contractii apreciabile chiar în zona din imediata apropiere a cusăturii (segmentele 2-8 din placă X și 16 - 18 din placă Y) se poate explica și prin faptul că prin efectuarea găurilor precedente din cusătura sudată au fost deja „eliberate” tensiuni importante.

Dacă efectuarea decupării părții din probă situația este caracterizată prin creșterea și micșorarea deformațiilor specifice din partea decupată și din restul probei sudate. În planele mai îndepărtate se manifestă mărimi ale deformațiilor cu schimbări de sens (micșări ondulatorii).

În restul plăcii se constată creșteri ale deformației prin alungiri, în special în placă X (la segmentul 52 se constată valo-

rea maximă de 0,2745 %).

b) Situatia din plăcile X si Y în planele perpendiculare la cusătura sudată

Pentru segmentele planelor care corespund E-E' cu W-W' și N-N' cu P-P', se constată că după executarea găurilor în cusătura sudată, deformațiile segmentelor respective se compensează (1 și 17, 19 X și 19 Y). În general se constată că alungirile și contractiile segmentelor se prezintă într-o proporție sensibil egală pentru placă X și Y. De asemenea se manifestă în multe cazuri și compensare în ceea ce privește alungirile și contractiile segmentelor aflate în același plan. Cea mai pronunțată contractie în placă X se constată la segmentele 7 (-0,3601 %) și 35 (-0,3073 %), iar creșterea alungirii se manifestă la segmentul 19 (+0,5117 %). În placă Y se găsește cea mai pronunțată contractie la segmentul 19 (-0,1704 %), iar cea mai mare creștere a alungirii la segmentul 13 (+0,1252 %).

După efectuarea găurilor g-i și j-l se constată că unele segmente nu prezintă nici o modificare în plus față de situația precedentă (segmentele 1, 43, 51, 33, 53, 59 din placă X și 7 din placă Y).

În placă X se menționează că în partea rămasă după decupare se manifestă o contractie pronunțată și la segmentul 61 (-0,5085 %) din cauza poziției la margine.

În aceeași placă se mai manifestă o creștere a alungirii în planul L-L' pentru segmentele 15 (+0,2139 %) și 35 (0,2728 %).

În rest, atât în placă X cât și în placă Y nu se constată modificări importante.

În cazul operațiilor tehnologice care conduc la modificarea deformațiilor existente anterior efectuării acestora, se va înțelege că mărimea deformațiilor se explică prin eliberarea unor tensiuni remanente de compresiune. De asemenea micșorarea deformațiilor după aceste operații înseamnă eliberarea unor tensiuni remanente de întindere. După variația valorilor deformațiilor care se produc după efectuarea acestor operații tehnologice (găuri, decupări) se poate aprecia efortul acestora în ceea ce privește mărimea și sensul tensiunilor remanente eliberate.

#### 4.3.7. Determinarea tensiunilor remanente

Pe baza măsurătorilor efectuate prin extensometria mecanică s-au determinat deformațiile specifice pentru fiecare placă a probelor sudate și după efectuarea operațiilor de găuri și debitare menționate, tensiunile fiind determinate prin relațiile cunoscute [39,100]

Inlocuind în relațiile cunoscute valorile corespondătoare di-

feritelor stări de tensiuni rezultă mărimea, sensul și orientarea acestora. Direcțiile principale s-au considerat a fi cunoscute, respectiv cele paralele și perpendiculare la cusătura de sudură.

In tabelul 4.3.7.1. se prezintă tensiunile principale normale pentru fiecare rozetă în trei situații distincte ale probei sudate [100].

Tabelul 4.3.7.1.  
Tensiunile principale din placă X  
în  $\text{daN/mm}^2$

Rin - Roze- dul	Roze- ta	După sudare		După găurirea în cusătură		În placă decu- pată	
		0	1	2	3	4	5
A-A <sub>1</sub>		2,1	6,4185	16,4258	14,0831	5,6519	
		4,3	-11,2036	- 2,6456	plastic	plastic	
		6,5	-22,2691	19,1864	11,8553	1,8827	
		8,7	plastic	plastic	plastic	plastic	
		10,9	plastic	plastic	plastic	plastic	
		12,11	- 4,5320	-16,794	5,5296	3,7882	
		14,13	-15,2755	3,1517	plastic	plastic	
		16,15	-29,6999	- 3,6808	plastic	plastic	
		20,19	plastic	plastic	3,4087	4,1794	
B-B <sub>1</sub>		22,21	3,8189	- 0,7822	0	0	-2,6495 -8,0288
		24,23	plastic	plastic	plastic	plastic	
		26,25	- 8,8110	1,1963	3,4278	1,1312	-3,7464 -20,6088
		28,27	2,2315	12,9520	21,0381	1,3791	plastic plastic
		30,29	1,4953	4,5780	4,5514	16,8359	
		34,33	- 1,9094	6,5334	- 0,3835	- 4,2061	
		36,35	2,6456	1,8634	plastic	plastic	
		38,37	plastic	plastic	- 0,7668	3,8265	
		40,39	19,7615	- 1,6794	2,6495	1,3788	
C-C <sub>1</sub>		42,41	4,5550	4,5550	0	0	-4,8928 -24,0626
		44,43	7,4997	22,7752	plastic	plastic	11,5751 -23,7527
		46,45	1,4953	10,7435	- 2,2396	- 6,7865	-14,003 plastic
		48,47	0,0230	3,0597	2,2623	6,8555	
		50,49	- 5,3602	2,3235	6,4836	1,1351	
		52,51	1,1043	9,5472	- 2,2586	- 9,9383	
		54,53	0,3911	1,9094	2,2775	0,7516	
		56,55	- 1,4953	- 4,5780	- 3,7180	-11,2726	
		58,57	plastic	plastic	plastic	plastic	
		60,59	plastic	plastic	plastic	plastic	

In tabelele respective nu figurează valorile tensiunilor care depășesc limita de curgere, considerind că legea lui Hooke este valabilă numai pentru starea de tensiuni elastice. S-a constatat că dacă suma  $\varepsilon_1 + \varepsilon_2 > 0,1\%$ , eforturile depășesc limita de curgere pentru GL 37. In aceste cazuri s-a trecut termenul "plastic".

Dacă deformațiile, respectiv tensiunile rezultate sunt permanente, însă în domeniul pînă la limita de curgere a materialului utilizat în structura sudată, va fi considerat ca un caz elasto-plastic și se va aplica legea lui Hooke. In această situație se află

majoritatea rozelor analizate.

Cind deformațiile, respectiv tensiunile devin nule după „eliberarea” tensiunilor remanente se consideră cazul elastic, după cum se poate observa la rozelor (22,21) și (42,41) după operația de giurire din axul cusăturii sudate.

O altă remarcă constă în faptul că valori mari se obțin și în zonele marginale ale probei sudate. Faptul că acestea sunt grupate și apropiate ca valori dovedesc corectitudinea metodei.

Pe baza deformațiilor obținute au fost determinate tensiunile remanente din placă Y în cazurile analizate, valorile tensiunilor remanente fiind prezentate în tabelul 4.3.7.2.

Tabelul 4.3.7.2.

Tensiunile remanente din placă Y  
(daN/mm<sup>2</sup>)

Rin- dul	Roze- tură	După giurire în cusătură	După giurire în Z.I.T.	După giurire ptr. decupare
A-A <sub>1</sub>	4,3	-21,6171	-32,7998	-22,4927
	6,5	- 8,6787	0,1208	-10,7740
	8,7	- 5,7210	3,1114	- 7,1547
	16,15	- 0,2588	14,8097	- 2,3466
				- 6,1137
				-23,0225
				-12,2101
B <sub>1</sub> -B <sub>1</sub>	22,21	14,7234	13,5788	13,4006
	24,23	0,4140	- 4,9979	5,5845
	26,25	- 0,0173	4,6126	1,7139
	28,27	9,1752	12,2618	12,0354
	32,31	29,4876	1,9839	4,6460
				15,7241
				5,6938
				9,5472
C <sub>1</sub> -C <sub>1</sub>	38,37	plastic	plastic	19,6465
	40,39	plastic	plastic	0,9778
	42,41	plastic	plastic	- 2,3531
	44,43	plastic	plastic	-12,2733
	48,47	plastic	plastic	0,9317
	54,53	plastic	plastic	4,3480
				3,4103
				21,5944
				3,0192
				- 0,1898
				- 1,8864
				- 4,2100
				5,4235
				-13,8606
				1,8174
				- 9,1733
				- 7,4940
				- 4,0086
				4,4112
				- 6,3396
				- 6,8095
				6,0274
				-
				-

Se constată că și în cazul plăcii Y sunt valabile cele constatate la placă X. Însă maximile constante la placă X sunt în zone invers amplasate în placă Y ca poziție față de cusătura sudată. În placă Y se prezintă variația tensiunilor remanente în trei cazuri succesive pentru eliberarea tensiunilor. În tabelul 4.3.7.3 se prezintă analitic influența fiecărei operații una față de alta în ceea ce privește „eliberarea tensiunilor”, comparativ cu starea creată după sudare.

Tabelul 4.3.7.3.  
Influenta operațiilor de detensionare una fată  
de alta în ceea ce privește tensiunile remanente  
( $\text{daN/mm}^2$ )

Rozeta	Găurirea în Z.I.T. fată de găurile din cu- sturi	Găurirea pentru decupare fată de găurile în Z.I.T.
4,3	0,1244	26,6861
6,5	- 2,0933	- 0,3495
8,7	- 1,4337	0,1898
16,15	- 2,0878	- 19,0715
22,21	- 1,3228	2,1453
24,23	5,1705	3,2438
26,25	1,7312	- 0,9662
28,27	- 2,8602	7,1143
32,31	5,1584	7,8966
38,37	-	-
40,39	-	-
42,41	-	-
44,43	-	-
48,47	-	-
		1,9479
		- 2,8642
		311,5275
		4,7793
		- 5,3939
		- 0,3911
		- 4,0202
		- 0,3911
		5,1647
		- 2,3983

Se constată că operațiile care conduc la detensionarea probei sudate influențează în ceea ce privește modificarea tensiunilor remanente. Cele mai substantiale modificări ale tensiunilor remanente se produc la rozetele (4,3) și (16,15).

#### 4.4. Măsurarea deformatiilor și a tensiunilor remanente din probele sudate cap la cap din oțel slab ciată și manzum

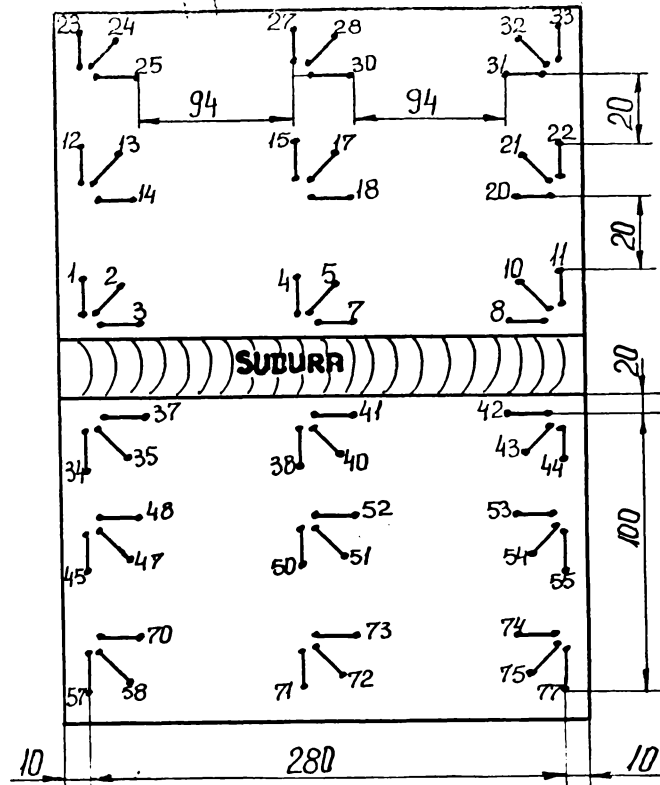
Cercetarea nivelului deformatiilor rezultate ca urmare a procesului de sudare prin topire cu arc electric a tablelor din oțel marca OL 52-3k STAS 500-80, utilizând extensometria mecanică [19].

Astfel din probele sudate din tablă de oțel marca OL 52-3k prezentate în cap. 2.6.2 au fost analizate sub aspectul variației deformatiilor rezultate după procesul de sudare la probele 3 și 4.

Tehnologia de sudare fiind aceeași, iar regimul de sudare prezentat în tabelul 2.3.3 al capitolului 2.3 a fost același pentru ambele probe, s-a urmărit în primul rînd influența procesului de preincălzire aplicat la proba 4.

Amplasarea rozetelor pe ambele probe s-a făcut identic conform figurii 4.4.1.

Folosind extensometria mecanică măsurările s-au efectuat și în cazul utilizării rozetelor alcătuite din trei direcții de măsurare decalate la  $45^\circ$  una față de alta, după cum se indică în fig. 4.4.1. În acest caz se consideră că nu sunt cunoscute direcțiile tensiunilor principale, care urmează a fi determinate.



SCHIMBUL ROZETE

**Fig.4.4.1.**  
Amplasarea rozetelor pe probele sudate  
Baza de măsură a segmentului a fost 20 mm.

Una din direcții este paralelă la axa cusăturii sudate, alta este perpendiculară pe acesta. În aceeași figură se arată și direcția principală decalată față de direcția cusăturii sudate, cu unghiul .

Măsurările au fost efectuate în următoarele faze :

- înainte de sudare ;
- după sudare ;
- după decuparea zonelor prevăzute cu segmente prin fișă cu lățimea de 50 mm ;
- după executarea unor găuri cu diametrul de 5,6 mm la mijlo-

ANEXA H<sub>1</sub>

Dinamica segmentelor care alcătuiesc rozetale  
pe probele 3 și 4 din CL 52-54, grosimea 21 mm

Nr. seg- ment	Probă 3 cu înmedială				Probă 4 cu înmedială			
	Luminări segmentelor				Luminări segmentelor			
	initial	dupa sudare	dupa decar- ge	dupa gheri- ere	initial	dupa sudare	dupa decar- ge	dupa gheri- ere
	1	2	3	4	5	6	7	8
stalon	493	491	489	488	493	491	489	488
1	20,165	20,154	20,161	20,160	20,175	20,169	20,169	20,168
2	20,161	20,056	20,067	20,068	20,119	20,109	20,121	20,120
3	20,125	20,109	-	-	20,185	-	-	-
4	20,155	20,131	-	-	20,167	20,140	20,131	20,131
5	20,100	20,100	20,105	20,108	20,060	20,060	20,069	20,061
7	20,099	-	-	-	20,077	20,075	20,072	20,071
8	20,217	20,213	-	-	20,127	-	-	-
10	20,183	20,078	-	-	20,192	20,180	20,191	20,192
11	20,100	-	-	-	20,085	20,084	20,078	20,078
12	20,162	20,157	20,151	20,149	20,171	20,087	20,063	20,061
13	20,087	20,081	20,081	20,078	20,076	20,068	-	-
14	20,097	20,098	20,101	20,103	20,087	20,087	20,094	20,094
15	20,232	20,270	20,273	20,274	20,059	20,053	20,059	20,050
17	20,099	20,056	20,065	20,053	20,154	20,159	20,157	20,156
18	20,115	20,110	20,122	20,122	20,101	20,097	20,107	20,108
20	20,163	20,161	20,164	20,165	20,066	20,068	20,067	20,068
21	20,047	20,041	20,047	20,047	20,193	20,190	20,194	20,198
22	20,129	20,125	20,119	20,114	20,141	20,138	20,137	20,132
23	20,211	20,229	20,195	20,193	20,084	20,082	20,079	20,079
24	20,103	20,091	20,093	20,090	20,109	20,108	20,096	20,094
25	20,173	20,160	20,182	20,181	20,198	20,107	20,107	20,106
27	20,095	20,095	20,093	20,099	20,123	20,125	20,123	20,123
28	20,093	20,089	20,103	20,102	20,113	20,107	20,103	20,105
30	20,118	20,110	20,120	20,120	20,145	20,141	20,129	20,122
31	20,083	20,082	20,086	20,086	20,190	20,184	20,189	20,188
32	20,101	20,098	20,092	20,089	20,208	20,208	20,202	20,199
33	20,146	20,144	20,143	20,140	20,125	20,125	20,122	20,120

	0	1	2	3	4	5	6	7	8
34	20,027	20,017	20,024	20,023	20,129	20,120	20,126	20,123	
35	20,199	20,192	20,200	20,198	20,198	20,190	20,204	20,205	
37	20,089	20,087	20,068	20,065	20,089	20,094	20,099	20,100	
38	20,171	20,230	20,174	20,176	20,194	20,101	20,192	20,192	
40	20,198	20,187	20,191	20,188	20,177	20,176	20,176	20,178	
41	20,230	20,221	20,213	20,213	20,216	20,216	20,161	20,177	
42	20,266	20,255	20,257	20,255	20,128	20,126	20,128	20,127	
43	20,222	20,217	20,228	20,229	20,137	20,129	20,146	20,145	
44	20,223	20,193	20,209	20,298	20,163	20,155	20,160	20,160	
45	20,169	20,165	20,160	20,157	20,116	20,120	20,113	20,107	
47	20,175	20,174	20,179	20,180	20,143	20,149	20,143	20,146	
48	20,193	20,200	20,203	20,204	20,084	20,089	20,093	20,093	
50	20,283	20,284	20,282	20,283	20,209	20,210	20,206	20,206	
51	20,250	20,244	20,249	20,252	20,182	20,176	20,183	20,183	
52	20,245	20,236	20,242	20,242	20,158	20,151	20,163	20,164	
53	20,164	20,166	20,162	20,162	20,194	20,194	20,192	20,191	
54	20,164	20,161	20,167	20,165	20,159	20,155	20,162	20,160	
55	20,084	20,082	20,076	20,076	20,115	20,112	20,106	20,103	
57	20,217	20,217	20,218	20,219	20,125	20,124	20,118	20,116	
58	20,235	20,234	20,227	20,225	20,134	20,153	20,127	20,126	
70	20,215	20,119	20,124	20,122	20,155	20,156	20,160	20,161	
71	20,515	20,512	20,410	20,402	20,157	20,157	20,156	20,155	
72	20,235	20,234	20,236	20,234	20,190	20,199	20,184	20,185	
73	20,215	20,209	20,225	20,222	20,158	20,169	20,169	20,168	
74	20,257	20,252	20,250	20,257	20,192	20,191	20,197	20,195	
75	20,157	19,846	20,144	20,140	20,188	20,178	20,171	20,170	
77	20,217	20,216	20,213	20,212	20,122	20,121	20,120	20,118	

Datelor din acest tabel constituie valori primare pentru  
tabelele 4•4•1 ( ref. proba 3 ) și 4•4•2 ( ref. proba 4 )

cul fiecărui segment.

Folosind rozeta cu trei direcții pentru măsurarea deformărilor se pot determina direcția tensiunilor normale principale  $\sigma_I$  și  $\sigma_{II}$ , tensiunea sursească și maximă ( $\sigma_{max}$ ) și unghiul  $\varphi$  dintre direcția orizontală la care s-a efectuat măsurarea deformărilor notate cu  $\Sigma_x$  și direcția principală maximă [100]. S-a utilizat calculatorul folosind schema logici pe baza legii lui Hooke generalizată:

In afărsit pot fi determinate la nevoie și deformările specifice pe direcțiile principale I și II folosind relațiile cunoscute (39, 100).

In cele ce urmează vor fi exemplificate cu ajutorul măsurărilor efectuate cu unele din rozetele amplasate pe proba din fig.4.4.1. In tabelul 4.4.1 se vor prezenta cîteva valori ale deformării segmentelor din unele rozete, ale cărui mărimi au fost urmărite în stadiile diferite de tensiuni analizate și care aparțin probei 3, sudată fără preincălzire. In tabelul 4.4.2 se arată același lucru pentru proba 4, care s-a sudat cu preincălzire. Este interesant că în ambele cazuri cele mai mari deformări specifice se obțin în cînd segmentul 38, ca și în zona rozetei (50,51,52).

Tabelul 4.4.1.

Variatia mărimii unor segmente ale probei 3  
din fig.4.4.1.

Rozeta	Posiția		Valoarea	%		
		(%)	după sudare	după decupare	după găurire	efectul găurii
12	90	- 0,0247	- 0,0297	- 0,0396	- 0,00099	
13	45	- 0,0298	0	- 0,0149	- 0,0149	
14	0	+ 0,0049	+ 0,0149	+ 0,0240	+ 0,0091	
15	90	+ 0,1678	+ 0,0143	+ 0,0197	+ 0,0049	
17	45	- 0,0149	+ 0,0443	+ 0,0349	- 0,0099	
18	0	- 0,0248	+ 0,0596	+ 0,0596	0	
38	90	- 0,2924	- 0,2768	- 0,2669	+ 0,0099	
40	45	- 0,0544	+ 0,0198	+ 0,0049	- 0,0149	
41	0	- 0,0444	- 0,0146	- 0,0325	- 0,0247	
42	90	- 0,0542	+ 0,0098	0	- 0,0098	
43	45	- 0,0247	+ 0,0544	+ 0,0593	+ 0,0049	
44	0	- 0,5933	+ 0,5272	+ 0,5223	- 0,0049	
50	90	+ 0,0049	- 0,0098	- 0,0049	+ 0,0049	
51	45	- 0,296	+ 0,0246	+ 0,0395	+ 0,0149	
52	0	- 0,0345	+ 0,0296	+ 0,0296	0	
74	0	+ 0,0049	+ 0,0296	+ 0,0246	- 0,0049	
75	45	- 1,5428	+ 1,5015	+ 1,4814	- 0,0191	
77	90	- 0,0040	- 0,0140	- 0,0197	- 0,0049	

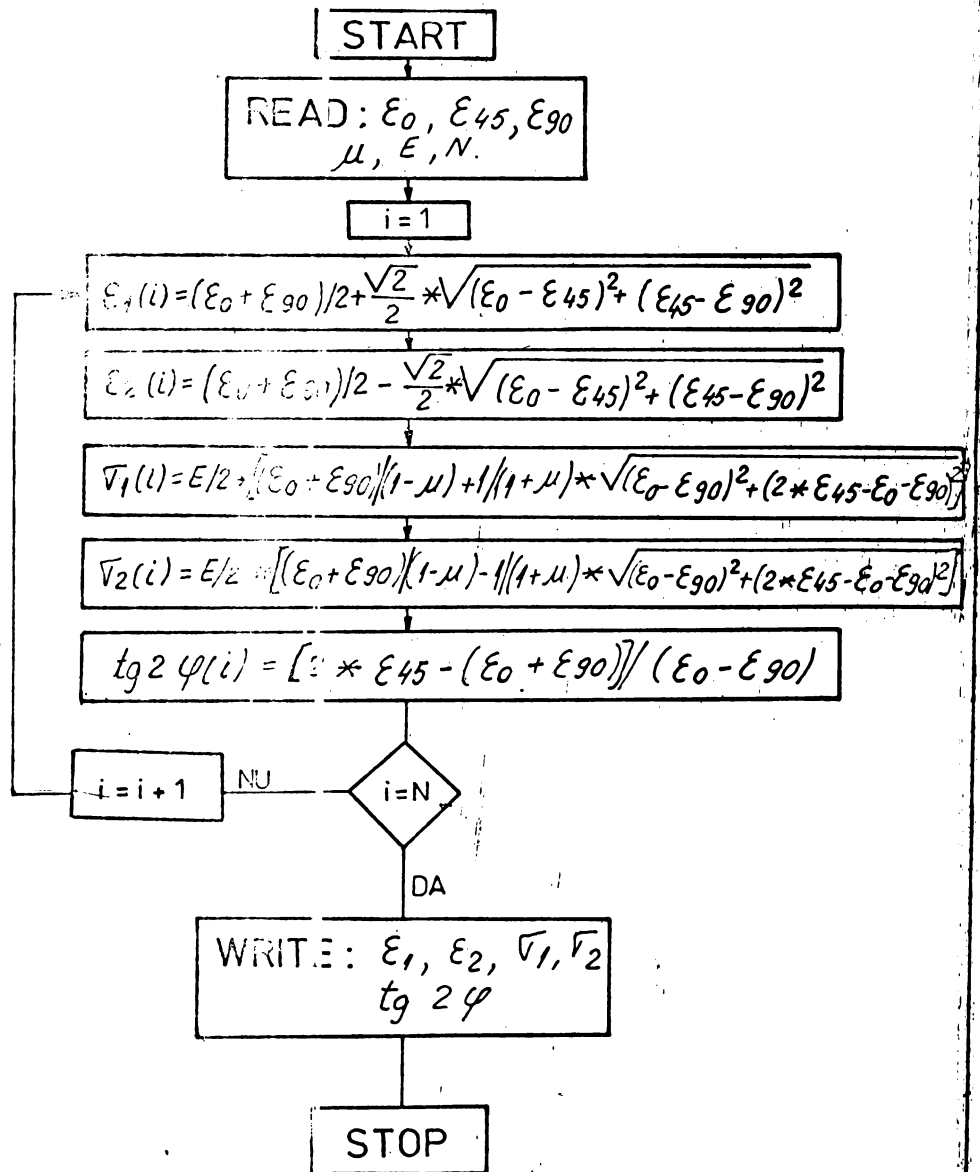
Aplicând relațiile pentru calculul tensiunilor normale principale, relația pentru tensiunea sursească și maximă ( $\sigma_{max}$ ) și pentru determinarea  $\tan 2\varphi$ , vor fi obținute mărimile  $\sigma_I$ ;  $\sigma_{II}$ ;  $\sigma_{max}$ ;  $\varphi$ .

De asemenea prin aplicarea formulelor pentru determinarea deformatiilor specifice principale se vor obtine aceste deformatii pe cele două direcții principale,  $\xi_1$  și  $\xi_2$ . În tabelul 4.4.2 se prezintă aceste valori pentru cazurile analizate.

Tabelul 4.4.2.

Variatia marimii unor segmente ale probei 4 din  
fig. 9.4.1.

Roze-	Pozi-	Valoarea %			
ta	tia	după sudare	după decupare	după găuri	efectul găurii
		(°)			
15	90	0,0199	- 0,0199	- 0,0149	0,0050
17	45	0,0298	- 0,0099	- 0,0148	- 0,0049
18	0	- 0,0198	0,0497	0,0547	0,0049
20	0	0,0099	- 0,0049	0	0,0049
21	45	- 0,0148	0,0198	0,0396	0,0198
22	90	- 0,0148	- 0,0049	- 0,0148	0,0099
23	90	- 0,0099	- 0,0149	- 0,0149	0
24	45	- 0,0049	- 0,0596	- 0,0696	- 0,0094
25	0	- 0,0049	0	- 0,0049	- 0,0049
27	90	0,0099	- 0,0099	- 0,0099	0
28	45	- 0,0298	- 0,0198	- 0,0099	0,0099
30	0	- 0,0198	0,0505	- 0,0505	0
31	0	- 0,0297	0,0247	0,0198	- 0,0049
32	45	0	- 0,0296	- 0,0445	- 0,0148
33	90	0	- 0,0149	- 0,0248	- 0,0099
34	90	- 0,0447	0,0298	0,0149	- 0,0149
35	45	- 0,0396	- 0,0693	0,0742	- 0,0049
37	0	0,0240	0,0240	0,0240	0,0049
38	90	- 0,4605	0,4527	0,4527	0
40	45	- 0,0049	0	0,0099	0,0099
41	0	0	0,2705	- 0,0206	0,0198
42	0	- 0,0099	0,0099	0,0049	- 0,0049
43	45	- 0,0397	0,0814	0,0794	- 0,0049
44	90	- 0,0396	0,0248	0,0248	0
45	90	0,0149	- 0,0347	- 0,0646	- 0,0298
48	45	0,0297	- 0,0247	- 0,0148	- 0,0148
47	0	0	0,0194	0,0199	0
50	90	0,0049	- 0,0197	- 0,0197	0
51	45	- 0,0198	0,0247	0,0247	0
52	0	- 0,240	0,0496	0,0545	0,0049
53	0	0	- 0,0099	- 0,0148	- 0,0049
54	45	- 0,0198	- 0,0347	0,0248	0,0099
55	90	- 0,0149	- 0,0298	- 0,0447	- 0,0149
57	90	- 0,0049	0,0298	- 0,0307	- 0,0099
58	45	- 0,0049	- 0,0298	- 0,0347	- 0,0099
70	0	0,0049	0,0198	0,0248	0,0049
71	90	0	- 0,0049	- 0,0099	- 0,0049
72	45	0,0445	- 0,0742	- 0,0693	- 0,0049
73	0	0,0545	- 0,0049	- 0,0049	0
74	0	- 0,0049	0,0297	0,0198	- 0,0098
75	45	- 0,0495	- 0,0346	- 0,0306	- 0,0099
77	90	- 0,0049	- 0,0049	- 0,0149	- 0,0100



SCHEMA LOGICA A PROGRAMELOR DE  
 CALCUL CONFORM LEGII HOOKE GENERALIZATA

Tabelul 4.4.3.

Tensiunile și deformațiile principale  
funcție de valorile din tabelul 4.4.1.

Rozeta	Fuziune	$\sigma_I$	$\sigma_{II}$	$\tau_{max}$	$\epsilon_I$	$\epsilon_{II}$	$t_f$	$2\varphi$	$2\varphi'$
$\text{daN/mm}^2$									
14	a	0,7935	- 6,8517	3,8226	0,0224	- 0,0421	1,3446	126°30'	
13	b	1,3573	- 5,8857	3,6215	0,0258	- 0,4065	0,3318	18°20'	
12	c	2,6356	- 7,4087	5,0227	0,0419	- 0,0605	0,2233	167°15'	
	d	4,2640	- 1,7826	3,0233	0,0225	- 0,0143	3,7572	105°	
*	13	a	plastic	2,8179	22,1186	0,2320	- 0,0690	0,8069	420°15'
*	17	b	15,0280	7,7361	3,6459	0,0706	0,0038	0,3393	18°32'
*	15	c	15,2927	8,9708	3,1609	0,0728	0,0065	0,2381	12°50'
	d	2,6903	- 1,1910	1,9407	0,0103	- 0,0054	5,0408	78°30'	
*	41	a	plastic	2,2021	plastic	0,3037	- 0,1157	0,7686	37°30'
*	40	b	-12,0648	plastic	plastic	0,0411	- 0,3327	1,2641	50°50'
*	38	c	-16,8584	plastic	0,0161	0,0106	- 0,3170	1,3905	54°20'
	d	0,6422	- 5,1705	2,9063	0,0180	- 0,0328	0,4335	23°30'	
*	42	a	-37,0027	plastic	plastic	0,0580	- 0,7055	1,1094	47°52'
*	43	b	plastic	29,5037	plastic	0,6116	- 0,0946	0,8207	39°30'
*	44	c	plastic	29,0294	plastic	0,5328	- 0,1105	0,7729	36°32'
	d	- 0,3233	- 4,1744	1,9256	0,0025	- 0,0183	4,9999	17°	
*	52	a	36,9707	plastic	plastic	0,1722	- 0,2018	14,2741	85°45'
*	51	b	6,8177	- 6,7595	3,7887	0,0380	- 0,0182	0,7462	36°30'
*	50	c	6,7367	- 1,1793	4,9580	0,0377	- 0,0130	1,5759	67°30'
	d	2,7054	- 1,2062	0,5558	0,0135	- 0,0086	- 5,0816	101°10'	
*	74	a	plastic	-	plastic	1,0974	- 1,0974	-	-
*	75	b	plastic	-	plastic	1,0487	- 1,0359	67,3018	89°32'
*	77	c	plastic	-	plastic	1,0530	- 1,0281	66,7697	89°22'
	d	6,6895	- 3,6480	2,1887	0,0051	- 0,0051	-	90°	

a, b, c, d - au semnificațiile indicate.

După cum rezultă din tabelul 4.4.3 la unele rozete s-au obținut deformații ale segmentelor mai mici de 0,2 %, lucru ce a permis să fie obținute valori corespunzătoare domeniului elastic.

În schimb acolo unde valorile deformațiilor pentru unul sau mai multe segmente ale rozelor s-au depășit această valoare au fost obținute valori pentru mărimele calculate, care dovedesc că determinarea acestora prin relații stabilite pe baza teoriei elasticității nu mai este valabilă. Aceste rezultate, în care în tabelul 4.4.3 s-a trecut mențiunea "plastic" au semnificația stabilite.

După cum rezultă din tabelul 4.4.3 la unele rozete s-au obținut deformații ale segmentelor mai mici de 0,2 %, corespunzător limitei de elasticitate, lucru ce a permis să fie calculate valori de tensiuni corespunzătoare, iar mențiunea "plastic" urmează a fi rezolvată pe baza teoriei plasticității. De remarcat că după cum era și de așteptat operațiile efectuate asupra probelor (decupări, găuri) - modifică sensibil starea de tensiuni.

In tabelul 4.4.4 se prezintă tensiunile și deformațiile prin-

cipale pentru proba sudată 4, ale căror deformații se prezintă în tabelul 4.4.2.

Tabelul 4.4.4.

Tensiunile și deformațiile principale  
funcție de valorile din tabelul 4.4.2  
(proba 4)

Ro- zeta za	Fa- za	$\sigma_I$	$\sigma_{II}$	$\tau_{max}$	$\varepsilon_I$	$\varepsilon_{II}$	$t \cdot 2\varphi$
0	1	2	3	4	5	6	7
18	a	6,836	5,310	0,793	0,00023	0,00016	-98,999
17	b	11,145	-2,027	6,187	0,00079	-0,00049	-0,7126
15	c	14,996	6,299	4,748	0,00075	-0,0005	-1,0050
	d	3,032	-0,6037	1,182	0,00022	-0,0002	126,928
20	a	1,942	-3,442	2,692	0,00022	-0,00027	-1,0
21	b	2,308	-5,7054	3,807	0,0001257	-0,000224	
22	c	5,069	-9,598	7,334	0,000225	-0,0037	6,351
	d	4,214	0,314	1,940	0,0001851	-0,00004	-4,96
25	a	-1,719	-2,469	0,545	-0,0001306	-0,0001094	1,0
24	b	5,840	-10,399	8,119	0,00036	-0,00057	-7,0
23	c	6,204	-12,263	9,234	0,00036	-0,0056	-11,94
	d	6,450	-1,658	1,208	0,000025	-0,00074	3,04
30	a	2,947	-5,977	4,482	0,00017	-0,00027	1,67
28	b	-6,158	-15,070	4,459	0,000102	-0,00079	-0,06
27	c	-5,211	-16,023	5,406	0,00015	-0,00024	-1,0
	d	1,526	-1,526	1,526	0,00007	-0,007	
31	a	-1,306	-7,780	3,237	0,00014	-0,00044	-1,0
32	b	7,630	-4,632	6,131	0,00052	-0,00043	-1,742
33	c	6,565	-8,095	7,329	0,00053	-0,0058	-1,083
	d	-1,060	-3,468	1,204	0,000044	-0,000152	-2,960
37	a	3,996	-10,085	7,041	0,00057	-0,00077	-0,853
35	b	14,007	2,698	5,694	0,00052	0,000029	14,64
34	c	14,912	-1,230	6,074	0,00055	-0,00011	6,96
	d	-0,0078	-3,056	1,526	0,00011	-0,00021	0,01
41	a	-20,791	plastic	plastic	0,00093	-0,00056	0,979
40	b	plastic	plastic	plastic	0,00098	0,00153	4,197
38	c	-12,675	plastic	plastic	0,00142	-0,00055	0,88
	d	4,555	1,593	1,526	0,00026	-0,000058	0
42	a	-7,325	-10,821	3,243	0,00005	-0,00055	-18,067
43	b	15,248	-4,630	9,939	0,00069	-0,00034	-8,597
44	c	14,011	-5,523	10,067	0,00069	-0,00039	-6,487
	d	-0,215	-1,234	0,534	0,000010	-0,00006	1,0
47	a	5,896	-1,337	3,617	0,00031	-0,00016	-2,98
48	b	3,169	-7,697	5,433	0,000448	-0,00059	-0,817
45	c	-0,223	-13,454	6,625	0,000422	-0,00087	0,15
	d	-2,262	-6,856	2,267	0,000086	-0,00038	0,0067
52	a	-11,817	plastic	24,150	0,001153	-0,0035	-0,798
51	b	10,112	-0,974	5,548	0,00067	-0,00037	0,281
50	c	11,152	-0,504	5,823	0,00074	-0,00039	0,197
	d	1,284	0,215	0,534	0,000074	-0,000024	-1,0
53	a	-0,056	-4,502	2,223	0,00010	-0,000250	-1,057
54	b	-3,318	-8,829	2,755	0,000026	-0,00042	-1,492
55	c	-0,384	-17,821	8,718	0,000053	-0,00065	3,649
	d	3,005	-8,987	3,148	0,000027	-0,000225	3,96
70	a	1,068	-1,068	1,068	0,000098	-0,000098	1,0
58	b	3,876	-6,936	5,406	0,000446	-0,000546	0,999
57	c	4,228	-8,787	6,508	0,000546	-0,000695	0,845
	d	0,848	-2,378	1,613	0,000123	-0,000171	1,0

Continuare tabel 4.4.4.

0	1	2	3	4	5	6	7
73	a	13,508	3,367	4,901	0,000664	-0,000119	0,633
72	b	9,182	-12,180	10,681	0,000441	-0,00540	
71	c	7,284	-11,813	9,548	0,000382	-0,00053	-24,760
	d	0,444	-1,944	1,194	0,0000245	-0,000074	3,0
74	a	5,375	-8,374	6,874	0,000266	-0,000364	
75	b	11,514	-3,926	7,719	0,00064	-0,000392	-2,717
77	c	7,761	-6,262	7,011	0,00051	-0,000462	-2,424
	d	-3,014	-3,045	0,015	-0,000097	-0,00010	0

Din tabelele 4.4.1 și 4.4.2 rezultă pentru oțel că pentru a se obține tensiuni principale în limita domeniului elastic se impune ca deformațiile obținute ca urmare a sudării să fie individual mai mici ca 0,2 %.

Tabelul 4.4.5.

Tensiunile remanente principale din probele sudate 3 și 4

Rozeta	Proba	Tensiunile remanente ( $\text{daN/mm}^2$ )					
		după decupare		după execuție seară		geuri	
		max.	min.	max.	min.		
14,13,12	3	-0,5638	-0,9560	-1,8621	0,5570		
	4	-	-	-	-		
18,17,15	3	plastic	-4,9182	plastic	-6,1529		
	4	-4,309	7,33	-8,160	-0,989		
20,21,22	3	-3,606	-0,892	-4,053	7,613		
	4	-0,366	1,864	-3,127	6,156		
25,24,23	3	42,883	43,309	45,793	45,202		
	4	-7,559	7,590	-7,923	9,454		
30,28,27	3	-18,035	-6,290	-18,811	-14,631		
	4	9,105	1,099	8,158	10,046		
31,32,33	3	-12,275	-20,756	-11,482	-16,990		
	4	-8,936	-3,148	-7,871	0,315		
37,35,34	3	-25,959	-34,990	-11,889	2,281		
	4	-10,011	-12,763	-10,916	-8,849		
41,40,38	3	plastic	plastic	plastic	plastic		
	4	-	-	-	-		
48,47,45	3	2,838	4,669	2,295	5,522		
	4	2,727	-6,119	6,119	+12,117		
52,51,50	3	32,1030	plastic	30,1840	plastic		
	4	-21,839	plastic	-22,969	plastic		
53,54,55	3	5,986	15,246	7,507	13,728		
	4	3,262	4,327	0,328	13,319		
70,58,57	3	-11,055	0,938	-11,285	2,699		
	4	2,804	5,872	-3,160	7,719		
73,72,71	3	4,321	-	9,464	-		
	4	4,226	15,547	6,024	15,180		
74,75,77	3	plastic	plastic	plastic	plastic		
	4	-6,139	-4,448	-2,386	-2,115		

Pe baza datelor din tabelele 4.4.3 și 4.4.4, în tabelul 4.4.5 se arată valoarea tensiunilor remanente comparativ cu aceleasi zone ale probelor 3 și 4, analizind aceleasi rozete.

Din valorile prezentate in tabelul 4.4.5 se deduc urmatoarele:

- efectele operațiilor tehnologice executate la probe după sudare, (respectiv decuparea în figuri și găurirea în mijlocul segmentelor care alcătuiesc rozeta) ;
- efectul procesului de preîncălzire, care este evident în cazul probei 4.

Dığı ca urmare a testării uzuale(a se vede cap.2+3) nu a rezultat necesitatea tratamentului de preîncălzire pentru sudarea tablei din etal marca OL 52 cu grosimea de 21 mm, prin analiza directă a tensiunilor remanente efectul acestui tratament este evident.

In tabelul 4.4.6. se prezintă valoarea tensiunilor remanente maxime rezultate la probele sudate și după operațiile efectuate.

Se poate deduce că în ceea ce privește tensiunile remanente din probele sudate efectul favorabil al preîncălzirii pentru toate grosimile analizate(exemplu probele 2b,4b,6b,8b, 11 și 12) probele sudate cu energie liniară mai mică conduce la tensiuni remanente mai mari(exemplu probele 5b în comparație cu 7b) 3c în comparație cu 4b).

În tută cîteva jumătate din liniile raportante rezultate sunt de compresiune și prin aceea că o parte din roțetă este amplasată îngă înălțăd și se încărcă, prin aceea că nu există biela de apăsare, (cum este cazul roțetelor(1,2,3), (4,5,7), (9,10,11) la probele 2 și 4). De consecință rezultă roțetelor să fie mult mai scăzute de la axa suportărilor cum probele 3a și 4a(4.4.1.1).

5. ANALIZA TERMICA DIFERENTIALA, METODA DE INVESTIGARE  
PENTRU DETERMINAREA DEFORMATIILOR SI TENSIUNILOR  
REMANENTE DIN METALE

5.1. Analiza termică diferențială

Ca urmare a procesului de sudare rezultă în metal deformații și tensiuni, care pot fi puse în evidență și cu ajutorul analizei dilatometricice.

Metalele la încălzire se comportă diferit și în tabelul 5.1. se prezintă valoarea coeficientului de dilatare termică liniară  $\alpha$  la anumite temperaturi.[88]

Tabelul 5.1.  
Variatia coeficientului  $\alpha$  cu temperatura [88]

Intra 20°C și (°)C	100	200	300	400	500	600
$\alpha \times 10^{-6} (1/^\circ C)$	11	12	13	13	14	14

Este indicată determinarea efectivă a valorii coeficientului de dilatare  $\alpha$  pentru anumite temperaturi, avind în vedere că acesta este influențat și de starea de tensiune a materialului.

Astfel în cazul imbinărilor sudate, caracterizate prin neomogenitatea chimică din cusăturuă, ca și caracteristicile tehnice diferite din zonele distincte ale imbinării, în prezența deformațiilor și a tensiunilor remanente prezintă un interes deosebit analiza termică dilatometrică.

Analiza termică diferențială pune în evidență nu numai punctele de transformare și sub influența căldurii se modifică și starea de tensiune prin creșterea mobilității atomilor din rețea cristalină.

Dată natura tensiunilor sub influența temperaturilor se vor produce măriri, respectiv micșorări de volum. Astfel în cazul prezenței tensiunilor remanente de întindere la temperaturile ridicate, metalul va suferi micșorări de volum, iar în cazul tensiunilor de compresiune, materialul își va mări volumul.

De asemenea la modificarea valorilor coeficientului de dilatare termică  $\alpha$  trebuie să se aibă în vedere că metalul de aport, provenit din sîrma electrodului topit, ca și metalul cusăturii participă într-o mică măsură la formarea contractiei imbinării[88].

Experimentările au fost efectuate cu dilatometru diferențial după Ulbricht al căruia principiu este prezentat în figura 5.1.

In figura 5.1.a., se prezintă modul de aşezare al epruvei în dilatometru, iar în figura 5.1.b., este arătat principiul de funcționare al dilatometrului utilizat.

Gradientul de creștere a temperaturii este diferit pe domenii ale temperaturii astfel:

- între 100 și 400°C gradientul de creștere a temperaturii este de cca 5°C/min ;
- între 400 și 700°C acesta este de cca 1°C/min ;
- între 700 și 900°C gradientul este de cca 0,8°C/min.

Coefficientul de dilatare termică liniară  $\alpha$  a fost determinat pe epruve cilindrice cu diametrul de 12 mm și lungimea de  $65 \pm 0,1$  mm. Relația pentru determinarea valorii acestui coefficient este :

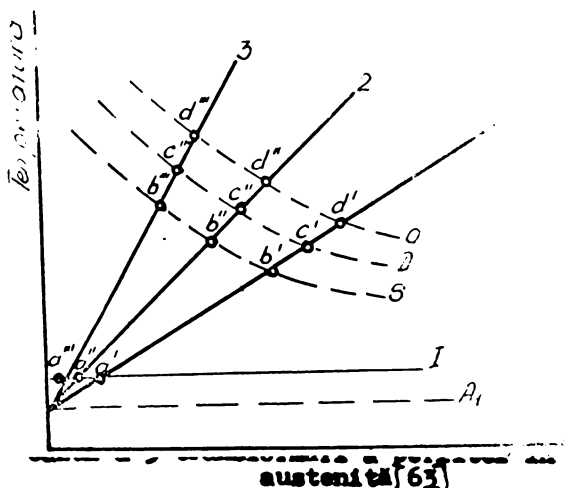
$$\alpha = \frac{\Delta l}{k \cdot l_0} + \frac{0,54}{10^6} \quad [1/\text{grad}] \quad (5.1)$$

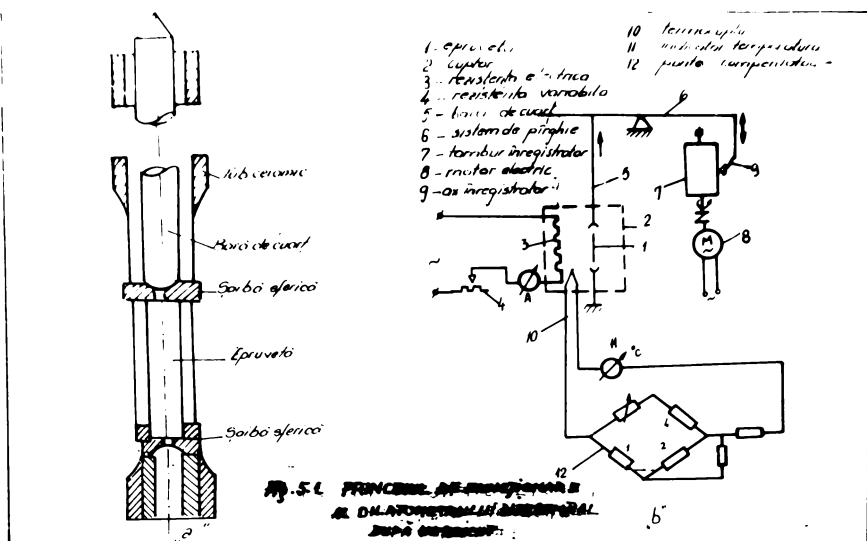
unde:

- $\Delta l$  = alungirea pentru temperatura dorită ;
- $k$  = factorul de amplificare al mecanismului pentru transmisie a alungirii și are valoarea de 200 și 400 ;
- $l_0$  = lungimea inițială a epruvei ( $65 \pm 0,1$  mm) ;
- $\Delta \theta$  = diferența de temperatură dintre valoarea temperaturii dorite și  $20^\circ\text{C}$  ;
- $\frac{0,54}{10^6}$  = corecția având în vedere alungirea barei de quart.

## 5.2. Fenomenele produse la încălzire și factorii care le influentează

Pentru același oțel transformarea perlitei în austenită este mult influențată de gradientul de temperatură la încălzire. În figura 5.2.1. se prezintă cazul a trei diagrame de transformare a perlitei în austenită, inclinările dreptelor 1,2 și 3 fiind determinate de viteza de încălzire [63]. Dreapta I reprezintă începutul transformării perlitei în austenită, iar curba S se referă la sfîrșitul acestei transformări. Curba D reprezintă sfîrșitul dizolvării carburilor, iar curba O se referă la sfîrșitul omogenizării.





Punctele a,b,c și d de pe dreptele 1,2 și 3 cu intersecția dreptei I și a curbelor S,D și O reprezintă temperaturile respective, care se realizează la tempi diferiți, funcție de regimul termic aplicat la încălzire.

Un rol important îl are structura efectivă la începutul transformării, în sensul că în cazul structurilor disperse temperatura  $AC_1$  este coborită și timpul de transformare al perlitei se reduce.

In cazul structurilor alcătuite din perlită și troostită palierul  $AC_1$  este coborit cu  $30 \dots 40^{\circ}\text{C}$ .

De asemenea mărimea grăuntelui influențează transformarea perlitei în austenită. În figura 5.2.2. se prezintă cazul a două șteuri unul cu granulație grosolană și altul cu granulație fină.

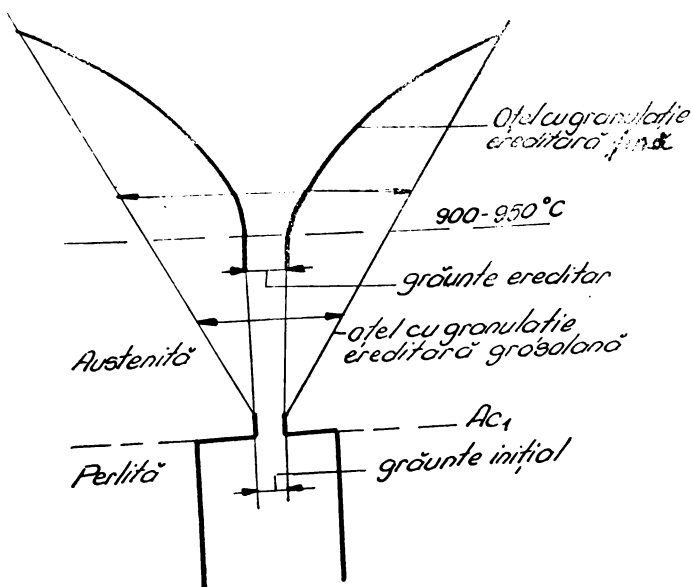


Fig.5.2.2.  
Cinetica creșterii grăuntelui la două șteuri  
cu granulație diferențiată [63]

### 5.3. Tensiunile remanente produse la procesele termice

Tratamentele termice sunt însoțite de tensiuni remanente produse de transformările care au loc simultan cu dilatărilor și contracților produse prin variația temperaturii. Tensiunile remanente pot fi termice și structurale. În figura 5.3.1. se prezintă în principiu schema producerii tensiunilor remanente care produc deformarea  $\Delta l$

La început creșterea grăuntelui este impiedicată de tendința sistemului de a-și măsura energia liberă.

După aceea se constată comportări mult diferite ale ștelurilor. Astfel ștelul cu granulație ereditară fină, nu se constată o creștere a grăuntelui pînă la temperatură de  $950 \dots 1000^{\circ}\text{C}$ , după care acesta începe să crească repid.

In schimb, ștelul cu granulație grosolană prezintă creșterea grăuntelui imediat.

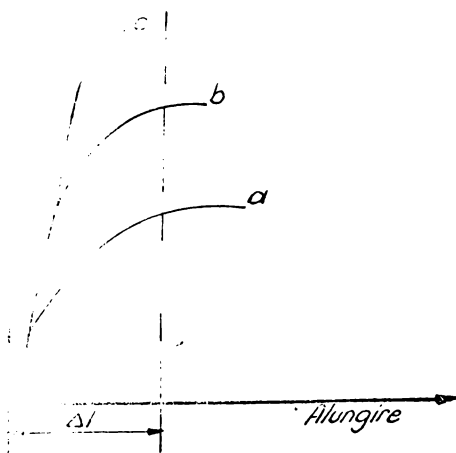


Fig.5.3.1.  
Schema producerii tensiunilor reziduale datorită deformării plastice [63]

La încălzire sub punctul critic nu există în etaj decât tensiuni termice și lipsesc cele structurale. La încălzirea peste  $A_C$ , vor fi prezente tensiunile structurale și cele termice.

Viteza de răcire influențează mult mărimea tensiunilor reziduale, în special asupra tensiunilor termice.

Eliminarea tensiunilor reziduale se face prin detensionare termică, cind nivelul tensiunilor este redus datorită curgerii plastice și a micșorării limitei de curgere, corespunzător temperaturii la care s-a efectuat tratamentul. Prin recocere vor fi reduse tensiunile reziduale a căror valoare depășește limita de curgere.

Detensionarea completă se realizează datorită relaxării prin flumuri, definit printr-o deformare constantă. Pentru spraveta solicitată la tensiune, care prezintă o deformare totală  $\epsilon$ , la o temperatură la care poate să se producă fluajul, se poate scrie relația:

$$\epsilon = \epsilon_e + \epsilon_p = \frac{\sigma}{E} + \epsilon_p \quad (5.3.1)$$

unde:

$\epsilon$  = alungirea totală;

$\epsilon_e$  = alungirea elastică;

$\epsilon_p$  = alungirea plastică.

În figura 5.3.2. se prezintă cazul detensionării prin flumuri, la care stările de tensiune  $T_1$ ,  $T_2$  și  $T_3$  determină regimul aplicat [44].

în materiale cu diferite proprietăți plastice. Curba „a” caracterizează materialele plastice, care se caracterizează printr-o stare tensională redusă.

Cazul nefavorabil este reprezentat prin curba „c” pentru materialele fragile, cind sub influența tensiunilor reziduale și a plasticității reduse s-a produs rupeerea materialului.

Curba „b” reprezintă cazul intermediar a materialului cu o plasticitate redusă și la care nivelul tensiunilor este mare [63].

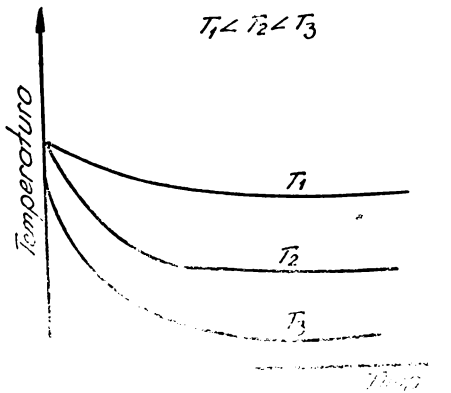


Fig.5.3.2.  
Detensionarea prin fluaj [44]

Pentru a cerceta fenomenele termice produse în cazul oțelului marca OL 37 STAS 500-80 au fost efectuate tratamente termice după cum se prezintă în tabelul 5.4.1. Acestea au fost încălzite la temperaturi diferite, iar răcirea s-a realizat în medii distințe, deci cu viteze de răcire diverse, ca referință luindu-se valorile coeficientului  $\alpha$  a oțelului în starea de livrare [135].

Tabelul 5.4.1.

#### Tratamentele termice pe probe din OL 37

Proba	Tratamentul termic aplicat	
	Încălzire ( $^{\circ}$ C)	Răcire
A	950	apă
B	950	ulei
C	950	aer
D	650	aer
E		starea de livrare

După cum rezultă din tabelul 5.4.1. s-a urmărit analizarea unor situații care vor fi regăsite datorită proceselor termice la sudare.

In tabelul 5.4.2. se prezintă valoarea coeficientului de dilatare termică liniară  $\alpha$  pentru probele cercetate.

Tabelul 5.4.2.

#### Coefficientul $\alpha$ la probele tratate termic din OL 37

Temperatură $^{\circ}$ C	A	Valoarea coeficientului $\alpha \times 10^{-6} / \text{grad.}$
0	1,50	5,64
1		
2		
3		5,54
4		5,54
5		4,55

0	1	2	3	4	5
200	5,55	9,80	9,14	13,54	7,50
300	8,52	13,79	11,40	16,74	10,92
400	12,50	16,40	14,74	17,30	13,63
500	17,39	18,34	17,44	17,44	17,45
600	18,64	18,64	18,40	17,84	18,25
700	18,24	17,64	17,64	18,04	18,07
800	16,54	17,54	16,34	16,54	15,72
900	15,04	17,20	14,11	15,14	13,90
1000	14,34	17,84	14,64	15,84	-

In figura 5.4.1 se prezintă curbele dilatometricale ale probelor A, B, C, D și E. Din analiza acestora și a valorilor coefficientului  $\alpha$ ,

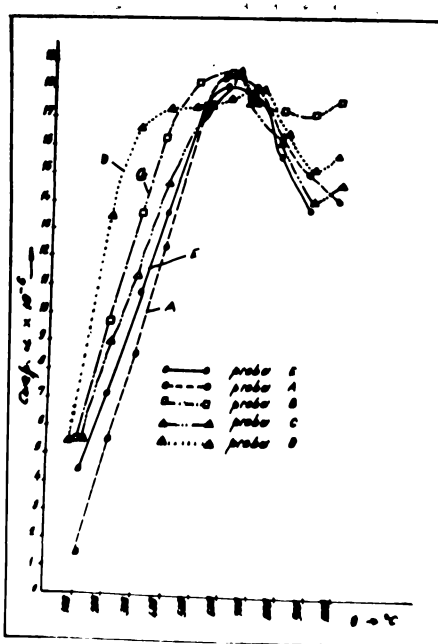


Fig. 5.4.1.  
Curbele dilatometricale ale probelor A, B, C, D și E  
rezultă următoarele :

- proba A are curba dilatometrică plasată sub cea a probei E, respectiv a otelului în starea de livrare pînă la temperatură de 500°C ;

- probele B,C și D au curbele dilatometrice plasate deasupra turbei probei E ;
- proba C normalizată are curba dilatometrică cea mai apropiată de proba E ;
- ca înclinare curba D este mult diferită în comparație cu celelalte.

Analizate pe domenii ale temperaturilor rezultă următoarele:

- la  $100^{\circ}\text{C}$  probele se comportă aproape identic, având valori apropriate ale coeficientului de dilatare termică liniară  $\alpha$ , excepție făcind proba A, care corespunde oțelului în stare călită în apă ;

- în domeniul temperaturilor  $200 \dots 500^{\circ}\text{C}$  probele prezintă comportări mai diferite în ceea ce privește valoarea coeficientului de dilatare termică liniară ;

- în domeniul  $500 \dots 800^{\circ}\text{C}$  valorile coeficientului de dilatare termică liniară  $\alpha$  devin convergente la toate probele ;

- la temperatura de  $900^{\circ}\text{C}$  valorile coeficientului de dilatare termică liniară sunt superioare în comparație cu valoarea oțelului în stare de livrare. Cea mai apropiată valoare de aceea a probei E, fiind constată pentru proba C din oțel normalizat ;

- la temperaturile de  $900$  și  $1000^{\circ}\text{C}$  se manifestă o dispersie a coeficientului de dilatare termică liniară.

Pe baza rezultatelor obținute pe probele din oțel supuse tratamentelor termice indicate se poate concluziona că acestea se comportă diferit pînă la temperatura de  $500^{\circ}\text{C}$ . Aceast lucru se poate explica numai prin faptul că probele prezintă stări de tensiune diferențiate, cauzate de tratamentele termice aplicate. Prin încălzire stăriile tensionale încep să fie modificate, constatindu-se că la  $500^{\circ}\text{C}$  toate probele se gîsesc la același nivel de tensiune. După cum se cunoaște prin încălzire, tensiunile remanente produse ca urmare a aplicării unor procedee tehnologice se „eliberează” ajungînd la starea de detensionare, adică la nivelul inițial al tensiunilor.

Efectul detensionării este influențat de nivelul tensiunilor remanente din material și temperaturii la care acesta s-a încălzit.

Comportarea identică a tuturor probelor analizate în domeniul temperaturilor  $500 \dots 800^{\circ}\text{C}$  atestă faptul că în acest domeniu oțelul a fost complet detensionat, sub acțiunea termică.

În sfîrșit comportarea diferențată a probelor pentru temperaturile superioare celei de  $800^{\circ}\text{C}$  se explică prin apariția transformărilor corespunzătoare punctului  $\text{AC}_3$ , ceea ce conduce la valorile diferen-

rite ale coeficientului  $\alpha$ .

Comportarea diferită pentru aceste domenii este justificată datorită faptului că structura oțelului din probele analizate este diferită, avind în vedere tratamentele termice aplicate acestora anterior.

Se poate reține că prin experimentarea efectuată au fost stabilite comportări diferite ale oțelului la încălzire, având în vedere următoarele :

- modificarea stării tensionale existente înaintea încălzirii metalului ;
- modificările structurale care se produc la schimbările de fază.

Dacă se analizează curbele dilatometrice ale probelor A,B,C,D în comparație cu cele ale oțelului în starea de livrare (proba E) se poate deduce următoarele [fig.5.4.2] :

- proba A - (încălzirea peste AC<sub>3</sub> și ricire în apă) tensiunile remanente sunt de întindere, având în vedere valorile coeficientului  $\alpha$  inferioare în comparație cu oțelul în starea de livrare și acesta pînă la temperatură de 500-600°C, cind se produce detensiunea;
- probele B,C și D - prezintă tensiuni remanente de contractie având în vedere că se obțin valori mai mari ale coeficientului  $\alpha$ , în comparație cu valorile acestui coefficient al probei E. Se constată aceiași temperatură cu efect de relaxare termică de 500-600°C la probele tratate termic.

Pentru a lăua în considerare și oțelul depus din electrodul berzic Superbaz cu diametrul de 4 mm, în tabelul 5.4.3., se prezintă valurile determinate ale coeficientului de dilatare termică liniară [131].

Tabelul 5.4.3.

Coeficientul  $\alpha$  la metalul depus din electrod  
Superbaz

Temperatura	100	200	300	400	500	600	700	800	900	1000
(°C)										
$\alpha \times 10^{-6}$	6.0	6.2	12.3	14.4	16.0	16.2	15.5	13.8	12.8	13.1

Comparind valurile coeficientului  $\alpha$  al metalului depus din electrod prin topire, în comparație cu cel al metalului de bază (proba E) din tabelul 5.4.2 se constată în general valori mai mici.

Acest lucru se explică prin faptul că metalul depus prin topire

pirea electrodului prezintă o neomogenitate structurală, fiind prezente atât structuri dendritice primare, cât și structuri transformate datorită temperaturii dezvoltată la depunerile în straturi succeseive.

În continuare interpretarea rezultatelor obținute prin experimentările efectuate au fost analizate aceste valori în comparație cu proba C, care corespunde unei structuri de normalizare și cu proba D, care reprezintă cazul recristalizării.

În ambele cazuri se ia în considerare și metalul depus din electrodul Superbaz, notat cu "S".

În figura 5.4.3 se prezintă diferențele valorilor coeficientului  $\alpha$  în comparație cu proba C, iar în figura 5.4.4 se arată același lucru în comparație cu proba D.

De remarcat că pînă la  $500^{\circ}\text{C}$  în comparație cu proba C diferențele cele mai însemnante ale coeficientului  $\alpha$  se obțin în cazul probei D(tensiuni de compresiune) și la proba A(tensiuni de întindere).

De asemenea în comparație cu proba D, pînă la temperatura de  $500^{\circ}\text{C}$  se constată că diferențele coeficientului  $\alpha$  sunt specifice în toate cazurile tensiunilor remanente de întindere, cele mai mari diferențe fiind cele pentru proba A, urmate de proba S din electrod și proba E, corespunzătoare otelului în stare de livrare. De aici rezultă efectul favorabil al relaxării termice.

### 5.5. Determinarea coeficientului de dilatare termică pe epruvetele prelevate din probă sudată cap la cap din OL 37

Cercetările au fost continuante pe epruvete prelevate dintr-o probă sudată cap în cap din otel OL 37, cu dimensiunile  $500 \times 340 \times 15$  mm. Pregătirea probei este prezentată în capitolul 4. Epruvetele au fost prelevate perpendicular și paralel la axa cusăturii sudate, care au cuprins elemente ale cusăturii sudate și din metalul de bază, paralel lă cusătura sudată și fără a conține elemente din cusătura sudată [136].

Epruvetele pentru analiza dilatometrică prezentate în figura 5.5.1 exprind în proporții diferite elemente ale cusăturii și s-au găsit la anumite distanțe de axa cusăturii sudate. Epruveta notată cu "h" mm a conținut elemente din cusătura sudată.

Variatia coeficientului de dilatare termică liniară se poate explica datorită neomogenității epruvetelor, având în vedere faptul că acestea conțin atât metal de bază, cât și elemente ale cusăturii sudate. De asemenea metalul de bază datorită influenței procesului

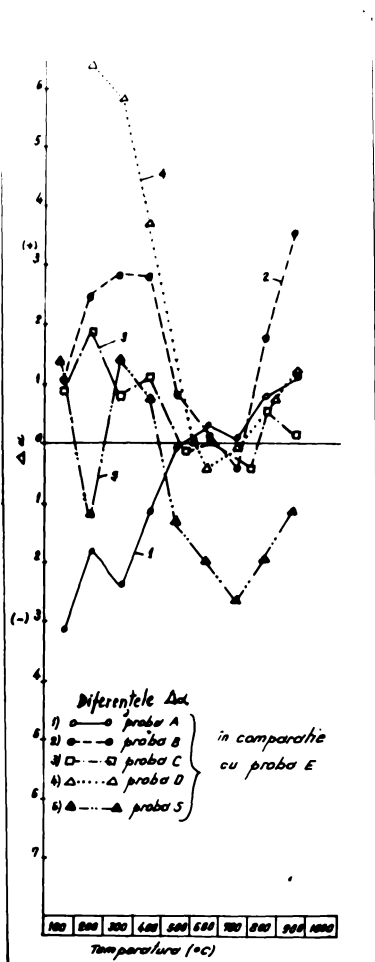


Fig. 5.4.2

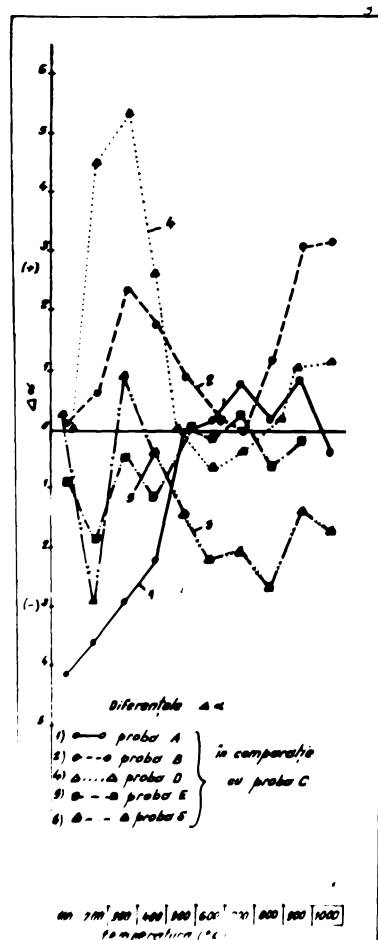


Fig. 5.4.3

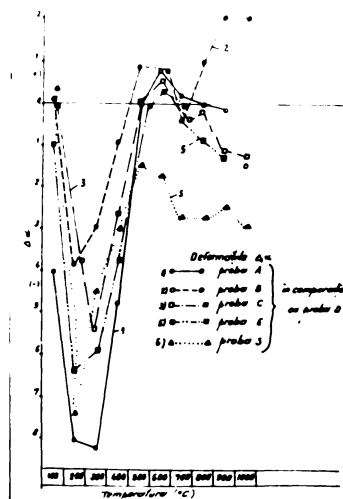


Fig. 5.4.4

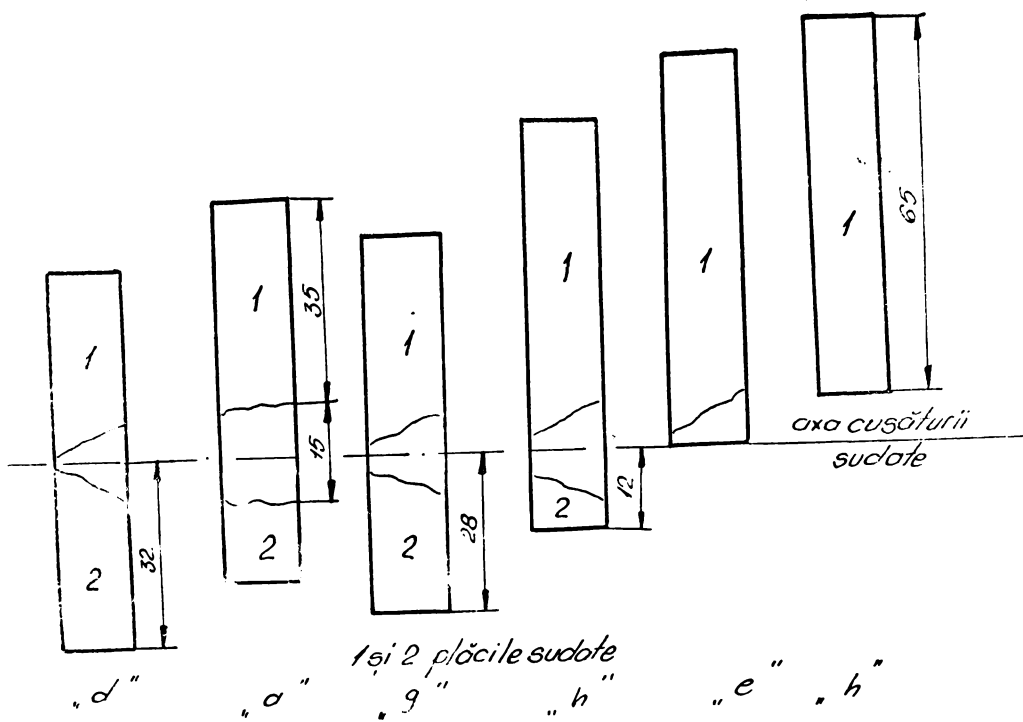


Fig.5.5.1.

termic la sudarea probei se comportă diferit în privința coeficien-  
tului de dilatare termică liniară.

In tabelul 5.5.1 se prezintă valorile obținute pentru coeficien-  
tul de dilatare termică liniară, atât pentru epruvetele prelevate  
perpendicular la axa cusăturii sudate, și paralel la aceasta.

Epruvetele prelevate perpendicular la cusătura sudată, cu ex-  
cepția epruvetei h, conțin toate zonele caracteristice unei imbinări  
sudate: zona cusăturii, Z.I.T și metalul de bază din ce în ce mai  
puțin influențat de procesul termic care totuși nu a fost lipsit de  
influența deformațiilor provocate prin procesul de sudare.

Tabelul 5.5.1.

Varietăția coeficientului  $\alpha \times 10^{-6}$  (1/grd) la epruvetele din  
proba sudată

nr	pozitia fâșii epruvei	de cusătură sudată	TEMPERATURA (°C)								observații
			100	200	300	400	500	600	700	800	
1	eprueta cu axa perpen- diculară la cusătura sudă- tă	6,03 8,14 5,12 9,15 8,40 6,03 3,70	9,15 8,15 7,30 9,15 11,45 9,15 7,30	12,45 11,36 10,63 12,54 11,45 9,43 9,43	16,65 24,43 14,43 14,43 14,43 14,43 14,43	18,89 18,47 18,87 17,14 16,56 16,56 17,91	16,75 17,52 18,07 17,54 16,71 16,71 18,14	18,07 18,07 18,07 17,52 16,71 16,71 18,04	15,63 12,04 16,10 15,33 14,52 14,52 16,19	14,34 18,02 15,50 17,52 16,70 16,70 16,19	13,12 13,12 13,12 13,12 13,12 13,12 13,12
2	eprueta cu axa paralelă la cusătura sudată	4,78 4,24 4,10 4,24	7,14 7,54 10,04	11,66 11,44 14,44	15,45 15,44 17,91	18,94 18,14 18,14	18,49 17,84 17,39	16,89 16,59 15,89	26,74 25,24 16,19	17,34 13,19 14,35	față metal de apărt

In figura 5.5.2 se prezintă variația coeficientului de dilatare termică liniară pentru epruvetele prelevate perpendicular la cusătura sudată, iar în figura 5.5.3 se arată același lucru pentru epruvetele prelevate paralel la cusătură.

Analizând valorile coeficientului de dilatare termică liniară pentru epruvetele prelevate perpendicular la cusătura sudată se constată următoarele:

- pentru temperaturile  $100\dots300^{\circ}\text{C}$  se constată dispersia cea mai mare a valorilor coeficientului  $\alpha$ ;

- de remarcat comportarea identică la temperatura de  $400^{\circ}\text{C}$  a tuturor epruvelor (exceptie epruveta h);

- domeniul temperaturilor  $500\dots700^{\circ}\text{C}$  este caracterizat prin dispersii relativ restrinse ale valorii coeficientului  $\alpha$ ;

Se pare că tensiunile aici fiind mai intense ca în cazul precedent, starea de tensiuni se

elimină la temperaturi mai joase, ceea ce este cunoscut din teoria tratamentelor termice.

- la temperatura de  $800^{\circ}\text{C}$  se constată dispersii acrezibile în ceea ce privește valoarea coeficientului  $\alpha$ ;

- de subliniat dispersia mai pronunțată a valorilor coeficien-  
tului  $\alpha$  la epruvetele încălzite la  $900^{\circ}\text{C}$  ;
- de remarcat comportarea identică a tuturor epruvetelor analizate pentru temperatura de  $1000^{\circ}\text{C}$

Analizând rezultatele obținute pe epruvetele prelevate perpendicular la axa cusăturii acestea sint în masură a evidenția influențele cauzate de neomogenitatea imbinării sudate, a transformărilor din Z.I.T. cît și a tensiunilor remanente produse la sudare.

De asemenea va trebui să aibă în vedere proporția participării cusăturii la volumul epruvetei respective, ca și poziția acesteia față de axa cusăturii sudate. În tabelul 5.5.1. epruvetele sunt ordonate tocmai avind în vedere criteriul enunțat, epruveta h, fără metalul de aport din cusătura sudată, iar celelalte cu diferențe procente ale metalului din cusătura sudată.

In figura 5.5.4. se analizează curbele dilatometricice ale metalului de bază în starea de livrare(proba E), a aceluiasi otel normalizat(proba C), a epruvetei h(fără metal al cusăturii) și a epruvetei executată exclusiv din metalul depus în electrozi Superbaz, cu diametrul de 4 mm, din care se deduc următoarele :

- pînă la temperatura de  $300^{\circ}\text{C}$  epruvetele analizate prezintă valori grupate ale coeficientului de dilatare termică liniară ;
- la temperaturile superioare celei de  $300^{\circ}\text{C}$  epruveta h prezintă creșteri mai pronunțate ale coeficientului  $\alpha$  pînă la temperatura de  $600^{\circ}\text{C}$ , cînd are loc o convergență pronunțată a valorilor acestui coefficient pentru epruvetele h,C și E, situație care se menține în continuare la temperaturile superioare ;
- peste temperatura de  $500^{\circ}\text{C}$  curba dilatometrică a epruvetei executată din metalul depus cu electrozi Superbaz, menținînd aceiasi aliură ca și curbele dilatometricice ale celorlalte epruvete analizate însă cu valori mult inferioare în comparație cu acestea.

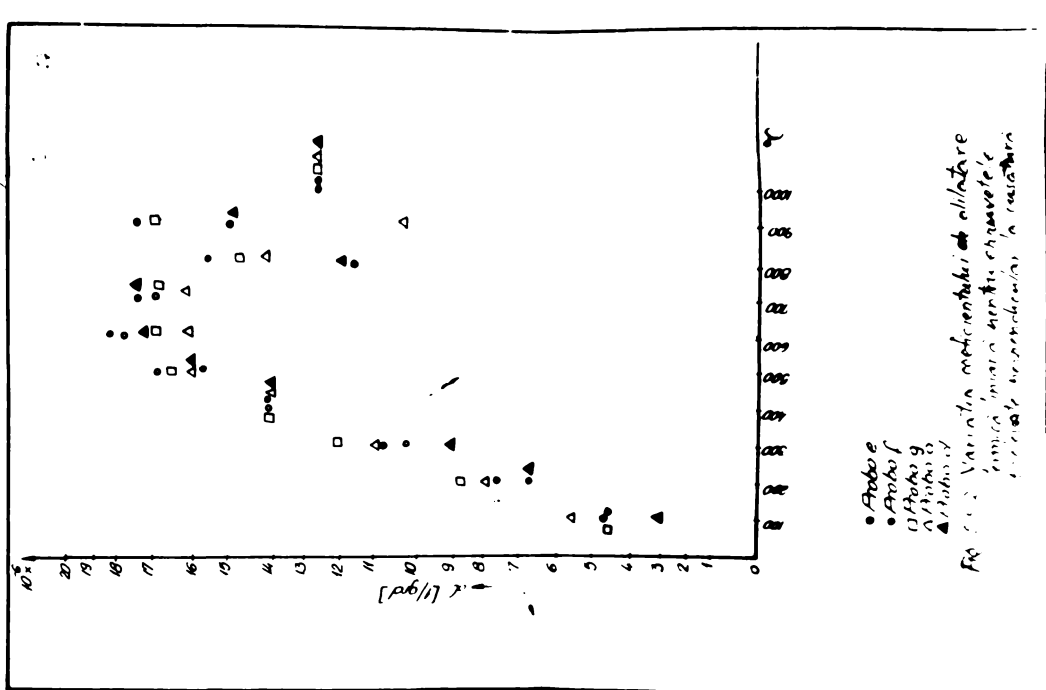
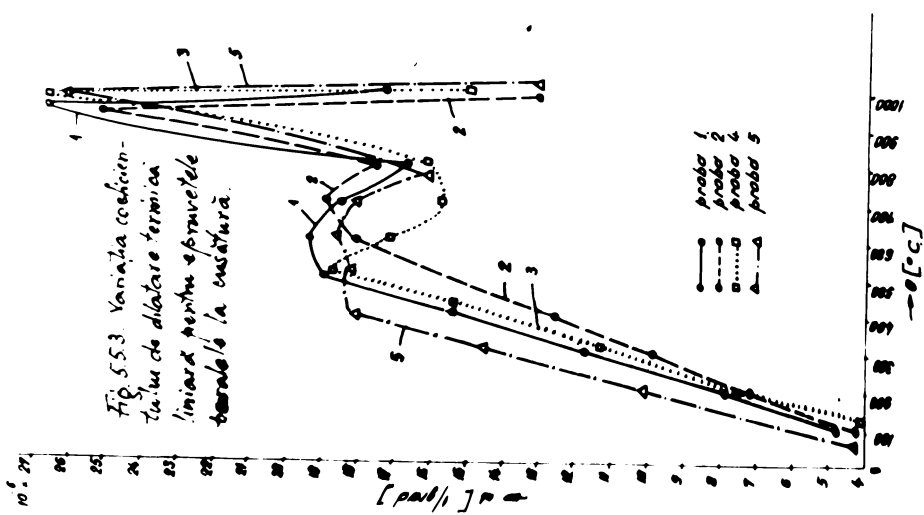
Analizînd cazul epruvetelor prelevate din proba sudată, cu axe paralele la cusătura sudată, ale căror curbe dilatometricice se prezintă în figura 5.5.3. se deduc următoarele :

- curbele epruvetelor executate prezintă aceiasi aliură cu inclinații diferite, manifestate mai vizibil la temperaturile mai mari de  $400^{\circ}\text{C}$ , fenomen mai evident la epruveta 5 ;
- se constată valori foarte mari ale coeficientului de dilatare termică liniară la temperatura de  $900^{\circ}\text{C}$ , lucru întîlnit la toate epruvetele cercetate.

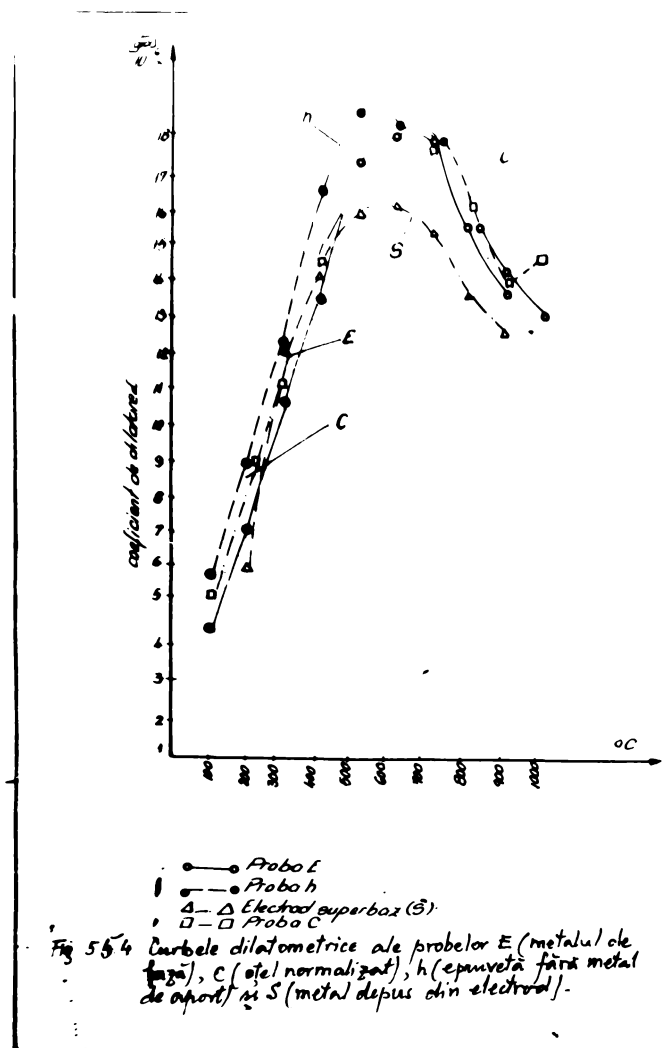
Structura epruvetelor 2 și 5 este poliedrică grosolană, ~~la~~



76



K



cazul epruvetei 4 structura este în șiruri și are o granulație mai fină.

Rezultă că epruvetele 2 și 5 au suferit influențe mai pronunțate datorită procesului de sudare, lucru ce a condus la creșterea granulației, ca urmare a recristalizării. De remarcat variația diferență a coeficientului și în cazul epruvetei 4, în comparație cu celelalte, în domeniul temperaturilor 500...800°C, lucru influențat de structura diferită a epruvetelor și de starea tensională provocată de structura grosolană.

În tabelul 5.5.2 se prezintă sintetic valoarea coeficientului pentru epruvetele prelevate din proba sudată, cu indicarea pentru fiecare domeniu al temperaturii valorile maxime medii și minime, ca și frecvența acestor valori.

Tabelul 5.5.2

Sinteza valorilor coeficientului  
 $\alpha \times 10^{-6}$  grd)

Temperatura (°C)	Probele		Epruvete la cusătura sudată		Epruvete la cusătura sudată				
	C	E	Maxim	medie	minim	epruv.	maxim	medie	minim
100	5,54	4,55	6,03/1	5,12/3	3,70/1	6,03	4,78/1	4,24/2	4,16/1
200	9,14	7,30	9,15/1	8,15/2	7,30/2	9,15	10,04/1	7,54/2	7,14/1
300	11,40	10,92	12,54/1	11,36/2	9,42/112,45	14,44/111,44/2	7,88/1		
400	14,70	13,63	-	14,43/5	-	16,45	17,91/115,44/2	12,55/1	
500	17,44	17,45	17,46/2	16,56/51	15,24/118,89	18,94/118,34/1	18,14/2		
600	18,40	18,25	18,87/2	17,54/216,61/118,75	19,04/1	-	17,39/1		
700	17,64	18,07	18,07/2	17,52/216,71/118,07	18,49/117,84/2	15,89/1			
800	16,34	15,72	16,10/1	15,33/212,04/215,63	16,89/116,59/1	16,19/2			
900	14,11	13,90	18,02/2	15,41/210,70/114,34	26,74/126,27/2	25,24/1			
1000	14,64	-	-	13,12/5	-	13,12	17,34/114,95/1	13,19/2	

Obs: Notația cu funcție la numărător valoarea coeficientului  $\alpha$ , iar la numitor numărul epruvetelor cu această valoare.

Metalul de bază, datorită procesului termic de sudare se comportă diferit, având în vedere cimpul termic și poziția zonei analizate față de cusătura sudată.

Pentru a avea o imagine a situației create prin procesul termic al sudării, comparativ cu cele existente în metalul de bază supus unor tratamente termice, care pot fi regăsite la proba sudată se vor analiza datele din tabelul 5.5.3.

În tabelul 5.5.3 se prezintă centralizat valorile coeficientului de dilatare termică liniară  $\alpha$  pentru toate cazurile analizate.

Notațiile se mențin după cum s-a indicat.

## Tabel B 5.3.3

T <sub>c</sub>	Voloerden coëfficiënten $\omega \times 10^{-6}$																	
	1	2	3	4	5	6	7	8	9	10	11	12	13	14	15	16	17	18
100	A	E	B,C,D,S															
	a		6,6, g	a,h														
			184,															
200	A	S	E	B,C									O					
				f,d	e,a,h,g													
				184,									5					
300	A	E	C	S	B								O					
			d	F	e,a,h,g													
			8			1,4							5					
400													A	E,S,C	B	O		
													5,5,					
														h				
500													2		1,4	5		
														5	4,50	8		
															5,5,e,g	6		
600																4,5,		
700																5	4,50	
800																	5	4,5
900																	5	4,5
1000																	5	4,5

Analizînd datele furnizate de tabelul 5.5.3. se poate deduce că există o comportare diferită a materialului pe cele două direcții perpendiculare față de axa cusăturii sudate, constatîndu-se o anizotropie în ceea ce privește comportarea termică a otelului. Din acest punct de vedere se pot evidenția cazurile epruvetelor prelevate din:

- probele sujuse unor anumite tratamente termice ;
- probele sudate ;
- metalul depus din electrodul topit.

De remarcat că epruvetele 1,2,4 și 5 prezintă valori ale coeficientului  $\alpha$  de 25 și  $26 \cdot 10^{-6}$ , care depășesc cadrul tabelului.

Analizînd cazurile prezentate în tabelul 5.5.3. se poate observa de exemplu epruvetele prelevate din proba sudată a căror valoare a coeficientului de dilatare termică liniară se suprapune peste valorile aceluiași coefficient ale epruvetei din probele tratate termic. Acest lucru este deosebit de important și oferă cazurile similare atît la metalul sudat, cît și la otelul supus anumitor tratamente termice.

De exemplu cu excepția epruvetei 2 prelevată din metalul de bază, paralelă la cusătura sudată la temperatura de  $300^{\circ}\text{C}$  se comportă termic la fel cu epruveta din proba A, călită.

In celalalte cazuri nu se întîlnesc identități cu valoarea coeficientului  $\alpha$  al epruvetei din proba A, pînă la temperatura de  $500^{\circ}\text{Celsius}$ . În domeniul temperaturilor  $500\dots 700^{\circ}\text{C}$  se constată o convergență a valorilor coeficientului  $\alpha$  ale tuturor epruvetelor cercetate. La temperatura de  $600$  și în special la  $900^{\circ}\text{C}$  se manifestă îar o dispersie a valorii coeficientului  $\alpha$ . La temperatura de  $1000^{\circ}\text{C}$  se constată îar o convergență a valorilor coeficientului  $\alpha$ .

#### 5.6. Aprecieri asupra deformatiilor și a tensiunilor care rezultă datorită proceselor termice

Experimental au fost determinate valorile coeficientului de dilatare termică liniară  $\alpha$  pentru cazurile cercetate, respectiv ale otelului încălzit și răcit în anumite condiții, care pot fi regăsite în timpul sudării prin topire cu arc ale acestuia.

De asemenea au fost stabilite valoările aceluiași coefficient pe epruvete prelevate perpendicular și paralel la cusătura sudată și care conțin sau nu elemente ale cusăturii.

Din literatura de specialitate au fost preluate valorile modulului de elasticitate longitudinală  $E$ , funcție de temperatură, prezentate în tabelul 5.6.1[28, 44].

Din tabelul 5.6.1. rezultă unele diferențe între valorile modu-

Tabelul 5.6.1.

## Variația modulului E cu temperatura

Temp. (°C)	20-200	300	400	500	600	Obs.
E kgf/mm <sup>2</sup>	21500	18500	17500	16500	15500	88
Temp. (°C)	20	205	425	540	650	
E daN/mm <sup>2</sup>	20500	18600	15500	13400	12400	44

lului E funcție de temperatură. Modulul de elasticitate, după cum rezultă din tabelul 5.6.1. este influențat la creșterea temperaturii, în sensul că valoarea acestuia scade odată cu creșterea acestuia. Modulul E este influențat în mică măsură de elementele de aliere ale otelului, de tratamentele termice și de deformarea plastică la rece.

Din literatură se poate deduce variația coeficientului de dilatare termică liniară  $\alpha$  pentru otel, funcție de temperatură. În tabelul 5.1. se prezintă aceste valori, care indică creșterea coeficientului funcție de temperatură [88].

Comparind valorile din tabelul 5.1. cu acelea obținute experimental în cadrul cercetării și prezentate în tabelul 5.4.2. se constată unele diferențe, mai ales pentru temperaturile mai scăzute și valori mai apropiate în domeniul temperaturilor 300 și 400°C pentru anumite cazuri analizate (cum este cazul probelor E și T°C).

Diferențele constatate pot fi explicate prin stările tensionale diferite, de precizia determinării, dimensiunile epruvetei, etc.

Datorită alungirii, respectiv a dilatării otelului sub acțiunea căldurii, se produc modificări dimensionale ale epruvetei.

Astfel alungirea  $\Delta l$  poate fi exprimată prin relația :

$$\Delta l = \alpha \cdot T \cdot l \quad (\text{mm}) \quad (5.6.1.)$$

unde:

$\alpha$  = coeficientul de dilatare termică liniară (1/grd) ;

T = temperatura (°C) ;

l = lungimea de referință (mm).

Tensiunea produsă datorită căldurii se exprimă prin relația :

$$G = \alpha \cdot T \cdot E \quad (\text{daN/mm}^2) \quad (5.6.2.)$$

unde  $\alpha$  și T au același semnificații ca în relația (5.6.1.), iar E este modulul lui Young .

Se constată că deformarea este dependentă de lungimea de referință initială, exprimată prin lungimea segmentului respectiv.

În tabelul 5.6.2. se prezintă deformațiile care se pot produce la segmente cu lungimea inițială de 20,40 și 100 mm, care au fost

Tabelul 5.6.2.

A  
Δ  
Deformatiile termice pentru lunginile de referinta  
20,40 și 100 mm utilizate în extensometria mecanică

(°C)	Probă A					Probă B					Probă C					Probă D					Probă E				
	20	40	100	20	40	100	20	40	100	20	40	100	20	40	100	20	40	100	20	40	100	20	40		
100	2,4	4,3	12,0	9,0	18	45	8,82	17,64	44,1	6,82	17,64	44,1	13,6	27,2	88	-	-	-	-	-	-	-			
200	10,1	20,2	50,5	19,2	38,4	96	33	66	165	49	98	245	26,3	52,6	132,5	-	-	-	-	-	-	-			
300	72,5	145	362,5	76,5	143	332,573	146	365	91	182	455	70	140	350	-	-	-	-	-	-	-	-			
400	97,5	195	467,5	104	208	520	112	224	560	128	256	640	104	208	520	-	-	-	-	-	-	-			
500	167,0	334	835	177	354	885	167	334	635	167	334	835	167	334	835	-	-	-	-	-	-	-			
600	197,0	394	985	197	354	985	205	410	1025	207	414	1035	210	420	1050	-	-	-	-	-	-	-			
700	250,0	500	1250	240	480	1400	240	480	1200	244	488	1220	245	490	1225	-	-	-	-	-	-	-			
800	255	516	1290	273	546	1355	275	510	1275	257	514	1285	245	490	1225	-	-	-	-	-	-	-			
900	265	530	1325	213	636	1390	250	500	1250	265	530	1325	258	516	1490	-	-	-	-	-	-	-			
1000	280	550	1400	350	760	1750	235	570	1425	310	620	1550	-	-	-	-	-	-	-	-	-	-			

utilizate în cadrul experimentărilor la extensometria mecanică, avind în vedere coeficientul de dilatare termică liniară determinat pentru probele A,B,C,D,E și pentru anumite temperaturi.

Se constată că pot fi obținute alungiri apreciabile de cca 1 % la temperatura de  $600^{\circ}\text{C}$ , respectiv 0,5 % la temperatura de  $400^{\circ}\text{C}$ , pentru segmentul de bază de 100 mm, se înțelege în cazul existenței posibilității de deformare liberă. Pentru a evidenția starea tensională ca rezultat al deformațiilor termice, în tabelul 5.6.3. se arată diferența valorilor coeficientului de dilatare termică liniară ale otelului în starea de laminare (probă E) și ale probelor A,B,C,D,S la temperaturile respective. În tabelul 5.6.4. se prezintă același lucru, însă luând ca bază starea otelului normalizată (probă C), și probele A,B,D,E,S, pentru a se evidenția efectul normalizării. În tabelul 5.6.5. se prezintă diferențele coeficientului și al epruvetelor din probele A,B,C,E și S, în comparație cu epruveta

din proba D. Se înțelege că din tabelele 5.4.3. - 5.4.5. pot fi ușor deduse stările tensionale rezultate ca urmare a aplicării tratamentelor termice respective, luându-se ca bază atât starea de livrare a oțelului (după laminare), cît și aceea după normalizare, știut fiind faptul că după laminare, ca după oricăruia altă operație tehnologică, există o stare tensională a materialului.

Tabelul 5.6.3.

Diferențele coeficientului  $\alpha$  la probele tratate termic și metalul depus în comparație cu metalul laminat (proba E)  
se vede figura 5.4.2

Proba	Temperatură °C								
	100	200	300	400	500	600	700	800	900
A	-3,05	-1,75	-2,40	-1,13	-0,06	+0,39	+0,17	+0,82	+1,14
B	+1,09	+2,50	+2,87	+2,77	+0,89	+0,39	-0,43	+1,82	+3,50
C	+0,99	+1,84	+0,48	+1,11	-0,01	+0,15	-0,43	+0,62	+0,21
D	+0,99	+5,34	+5,82	+3,67	-0,01	-0,41	-0,03	+0,82	+1,24
S	+1,45	-1,10	+1,38	+0,77	-1,45	-1,95	-2,57	-1,92	-1,10

Tabelul 5.6.4.

Diferențele coeficientului  $\alpha$  la probele E, A, B, D și S  
în comparație cu oțelul normalizat (proba C)  
se vede figura 5.4.3.

Proba	Temperatură °C									
	100	200	300	400	500	600	700	800	900	1000
E	-0,99	-1,84	-0,48	-1,17	+0,01	-0,15	+0,43	-0,62	-0,21	-
A	-4,04	-3,59	-2,88	-2,24	-0,05	+0,24	+0,80	+0,20	+0,93	-0,30
B	+0,10	+0,66	+2,39	+1,66	-0,90	+0,24	-	+1,20	+3,09	+3,20
D	-	+4,50	+5,34	+2,56	-	-0,56	-0,40	+0,20	+1,03	+1,20
S	+0,46	-2,94	+0,90	-0,34	-1,44	-2,20	-2,14	-2,54	-1,31	-1,54

Tratamentul de normalizare se aplică curent la materialele care au fost supuse unor operații de deformare plastică, printre altele urmărind și reducerea stării de tensiune rezultată ca urmare a procesului de deformare plastică.

Deforțarea rezultă ca urmare a procesului termic  $\Delta_1$ , care în oricăruia reprezintă o dilatare, respectiv o alungire, și în acest caz se poate considera că aceasta este mereu pozitiv ( $\Delta_1 > 0$ ).

Însă valoarea acestei alungiri este în fond nău mai efectul încălzirii, respectiv ( $\Delta_0$ ) ci și efectul stării de tensiune al epruvei, care poate fi tensiune de întindere ( $\sigma_t$ ) sau tensiune de comprimiere ( $\sigma_c$ ). De aici rezultă pentru coeficientul de dilatare termică liniară

$$\alpha = \Delta l = \Delta l_\theta + \Delta l_\sigma \quad (5.6.3)$$

adică deformarea finală va fi suma algebrică a deformației termice propriu-zisă ( $\Delta l_\theta$ ) și a celei provocată prin „eliberarea” tensiunilor interne din epruvetă datorită detensionării termice ( $\Delta l_\sigma$ ).

Tabelul 5.6.5.

Diferențele coeficientului  $\alpha$  ale probelor A, B, C, E, S în comparație cu proba D

Se vede figura 5.4.4

Proba	Temperatură °C									
	100	200	300	400	500	600	700	800	900	1000
A	-4,04	-8,09	-8,22	-4,80	-0,05	+0,80	+0,20	-	-0,10	-1,50
B	+0,10	-3,84	-2,95	-0,90	+0,90	+0,80	-0,40	+1,0	+2,06	+2,0
C	-	-4,50	-5,34	-2,56	-	+0,56	-0,40	-0,20	-1,03	-1,20
E	-0,99	-6,34	-5,82	-3,67	+0,01	+0,41	+0,03	-0,82	-1,24	-
S	+0,44	-7,44	-4,44	-2,90	-1,44	-1,54	-2,54	-2,54	-2,74	-2,74

Considerind că deformația termică  $\Delta l_\theta$  este independentă de structură [44] și pentru aceeași temperatură, rezultă că analizând cazul cu două epruvete din același material, însă care se găsesc în stări de tensiuni diferite ( $\sigma_1$  și  $\sigma_2$ ), având în vedere procesele termice la care au fost supuse, rezultă pentru coeficienții  $\alpha_1$  și  $\alpha_2$ , ai celor două epruvete :

$$\alpha_1 = \Delta l_\theta \pm \Delta l_{\sigma_1}, \quad \alpha_2 = \Delta l_\theta \pm \Delta l_{\sigma_2} \quad (5.6.4)$$

sau :  $\alpha_1 - \alpha_2 = |\Delta l_\theta \pm \Delta l_{\sigma_1}| - |\Delta l_\theta \pm \Delta l_{\sigma_2}|$

$$\Delta \alpha = \alpha_1 - \alpha_2 = \pm \Delta l_{\sigma_1} \mp \Delta l_{\sigma_2} \quad (5.6.5)$$

In cazul în care  $\alpha_1 = \alpha_2$ , rezultă că  $|\Delta l_{\sigma_1}| = |\Delta l_{\sigma_2}|$  sau aceste deformații sunt nule. În această situație fie că ne găsim în cazul particular, adică în valoare absolută stările tensionale provoacă aceeași deformație sau că starea de tensiune a devenit nulă, adică efectul căldurii a predus detensionarea completă a materialului din epruvete.

Pe baza relației (5.6.5) au fost întocmite tabellele 5.6.6 și 5.6.7. Diferențele din tabellele 5.6.3., 5.6.4. și 5.6.5. vor fi analizate pînă la  $600^\circ\text{C}$ , având în vedere că în ceea ce privește starea de tensiuni, această temperatură este suficientă pentru căsurile analizate și pentru a evita punctul de transformare AC 1.

folosind relația (5.6.2), modificată pentru a evidenția tensiunile remanente din material „eliberate” datorită procesului termic rezultă :

$$\Delta \sigma = \Delta \alpha \cdot E \cdot T \quad (5.6.6.)$$

\* În domeniul de temperaturi corectat de max.  $600^\circ\text{C}$ .

Valoarea  $\Delta\alpha$  va fi preluată din figurile 5.4.2 - 5.4.4), reprezentând diferența coeficientului de dilatare termică liniară a două epruvete din același otel și pentru același domeniu al temperaturii, însă supuse unor stări de tensiune diferite.

Valoarea modulului E pentru temperaturile respective vor fi luate din tabelul 5.6.1., însă cu valorile după Malisius 88, avind în vedere corespondența exactă a temperaturilor. În tabelul 5.6.6., se prezintă valoarea tensiunilor remanente evidențiate ca urmare a "eliberației" acestora prin procesul termic respectiv, luindu-se ca bază otelul în starea de livrare (după laminare prin proba B) sau în starea după normalizare (proba C). Tensiunile sunt exprimate în ( $\text{daN/mm}^2$ ). În același tabel este analizată și epruveta executată numai din metalul depus din electrozi Superba, având în vedere că la proba sudată va interveni și cusătura sudată.

Tabelul 5.6.6.

Valorile tensiunilor remanente în probele A, B,  
C, E și S ( $\text{daN/mm}^2$ )

pe baza tabelelor 5.6.3, 5.6.4, 5.6.5 și a relației 3.6.6

Proba	Temperatură (°C)						Fază de proba
	100	200	300	400	500	600	
A	+ 6,56	+ 7,53	+13,32	+ 7,91	+ 0,5	- 3,63	E
	+ 8,69	+15,54	+15,98	+15,68	+ 0,41	- 2,23	C
	+ 8,69	+34,79	+45,62	+33,6	+ 0,42	- 7,44	D
B	- 2,34	-10,75	-15,93	-19,39	- 7,39	+ 3,63	E
	- 0,22	- 2,84	-13,26	-11,62	- 7,47	- 2,23	C
	- 0,22	+16,51	+16,63	+ 6,3	- 7,47	- 7,44	D
C	- 2,13	- 7,91	- 2,66	- 7,77	+ 0,08	- 1,40	E
	-	+19,35	+29,58	+17,92	-	- 5,21	D
E	+ 2,13	+ 7,91	+ 2,66	+ 7,77	- 0,08	+ 1,40	C
	+ 2,13	+27,26	+32,30	+25,69	- 0,08	+ 3,81	D
S	- 3,12	+ 4,73	- 7,66	- 5,39	+ 12,04	+18,14	E
	- 0,99	+12,54	- 5,00	+ 2,38	+ 11,95	+20,46	C
	- 0,99	+31,99	+24,42	+20,3	+ 11,95	+15,25	D

Din tabelul 5.6.6. rezultă următoarele :

1 - Proba calității în apă (A) realizează detensionarea totală la  $500^{\circ}\text{C}$ , însă la temperatura de  $300-400^{\circ}\text{C}$  sunt "eliberate" tensiuni remanente de întindere apreciabile. Se poate remarka starea tensioană ca rezultat al călăririi în apă mai accentuată față de straturile lipite de tensiuni (revenirea parțială, normalizarea și starea după laminare).

2 - In cazul probei (B) călită în ulei, care prezintă结构uri de transformare intermediare, tensiunile remanente nu mai sunt de întindere, lucru apreciabil, însă "eliberarea" acestora depășește temperatura de  $600^{\circ}\text{C}$ . De reținut faptul că aceste tensiuni se modifică dacă se analizează situația comparativ cu etelul recopăt, detensionat. În acest caz domeniul de temperatură  $400\text{--}500^{\circ}\text{C}$  este acela în care tensiunile remanente se anulează;

- materialul în starea de livrare este detensionat la  $500^{\circ}\text{C}$ , comparativ și cu starea de normalizare, ca și în cazul recoacerii parțiale;

- metalul depus din electrod prezintă o comportare mai diferită și mai puțin pregnantă în comparație cu cazurile analizate, lucru ce poate fi explicat prin starea de tensiune a cusăturii și a neomogenității acesteia.

In tabelul 5.6.7. se prezintă temperatura la care  $\Delta\alpha = 0$ , adică eficiența încălzirii în privința reducerii tensiunilor reziduale.

Tabelul 5.6.7.

Temperatura la care  $\Delta\alpha = 0$

Din datele tabelelor 5.6.3, 5.6.4, 5.6.5

Proba	Comparativ cu starea din probă		
	B	C	D
A	500	500	500
B	600 ... 700	700	400 ... 500
C	500	-	500
D	500	500	500
E	-	500	500
S	400 ... 500	400	-

Din tabelul 5.6.7. rezultă următoarele în legătură cu eficiența detensionării termice pe probe din etel supuse unor tratamente termice :

- proba călită în apă este detensionată în toate cazurile la  $500^{\circ}\text{C}$ ;

- proba călită în ulei (transformări intermediare și cu structuri diferite), situație mai frecvent întâlnită în cazul sudării etelurilor obișnuite, greu călibile, prezintă un avantaj net, dacă etelul ar fi prealabil recopăt pentru recristalizare, temperatura pentru detensionare fiind coborâtă de la cca.  $600\text{...}700^{\circ}\text{C}$  la  $400\text{...}500^{\circ}\text{C}$ . De remarcat că tratamentul de normalizare nu satisfac scopului;

- metalul depus din electrozi necesită o temperatură mai scă-

zută pentru detensionare, respectiv  $400^{\circ}\text{C}$ , avind în vedere că prin depunerile succesive de straturi de metal topit acestea sint supuse unor tratamente termice de detensionare termică, pentru o parte din secțiunea transversală a cusăturii sudată.

Pe baza datelor obținute experimental în ceea ce privește coeficientul  $\alpha$  pentru oțelul în stare de livrare și după anumite tratamente termice și după determinarea analitică a tensiunilor eliberate se pot deduce anumite concluzii care să prezinte interes practic. Astfel în figura 5.6.1. se prezintă tensiunile obținute în cauzul probei din OL 37 călit în apă în comparație cu oțelul în starea normalizată și după recoacerea incompletă (de recristalizare).

In figura 5.6.2. se arată același lucru pentru oțelul OL 37 călit în ulei, iar în figura 5.6.3. cazul oțelului în starea de livrare (după laminare) în comparație cu starea normalizată și recristalizată a aceluiași oțel.

Din aceste grafice se pot deduce nu numai nivelul tensiunilor dar și temperatura care detensionează oțelul, care în general este corespunzătoare la  $500^{\circ}\text{C}$  în cazurile cercetate.

In figura 5.6.4. se prezintă starea din oțelul depus din elecrodul Superbaș și oțelul după laminare, după normalizare și după recristalizare.

În continuare cercetările au fost continuat pe epruvete din proba sudată, pentru a fi determinată starea de tensiune din diferite zone.

Pe baza valorilor coeficientului de dilatare termică liniară  $\alpha$  ale epruvetelor prelevate din proba sudată, perpendicular și paralel la cusătura sudată, prezentate în tabelul 5.5.1. au fost stabilite diferențele acestora în comparație cu metalul în starea de livrare. În tabelul 5.6.8. pot fi urmărite aceste diferențe în comparație cu proba E. În tabelul 5.6.9. se prezintă același lucru având ca element de comparație cazul oțelului în starea normalizată (proba C) iar în tabelul 5.6.10. încoacerea de recristalizare (față de proba D). Tensiunile rezultă pe baza datelor furnizate din tabelul 5.6.8. - 5.6.10. ca și aplicând relațiile (5.6.2) și (5.6.6) sint prezentate în tabelul 5.6.11., față de probele E, C și D ale metalului de bază.

Veloarea modulului de elasticitate E pentru anumite temperaturi au fost luate din tabelul 5.6.1., considerind valorile furnizate de Malisins [88].

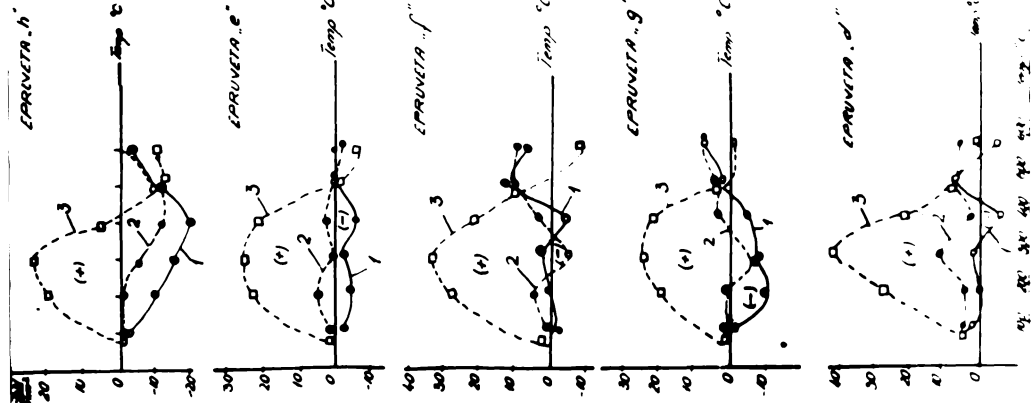
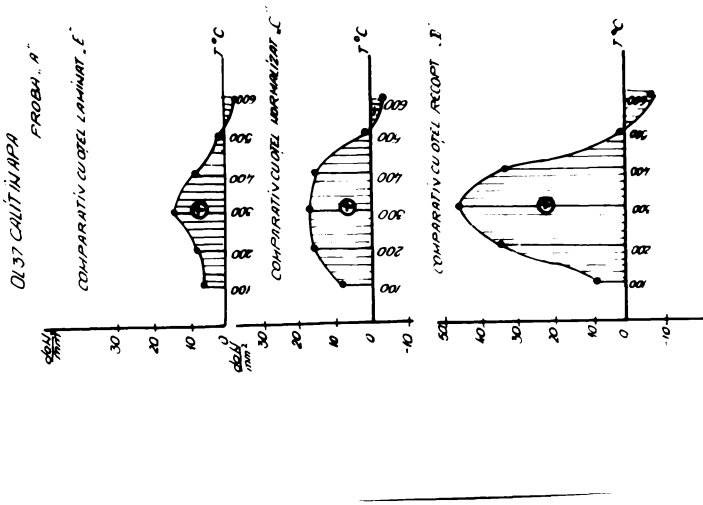


Fig. 561 Temperaturile din proba A în  
comparare cu cele lăsată în



1

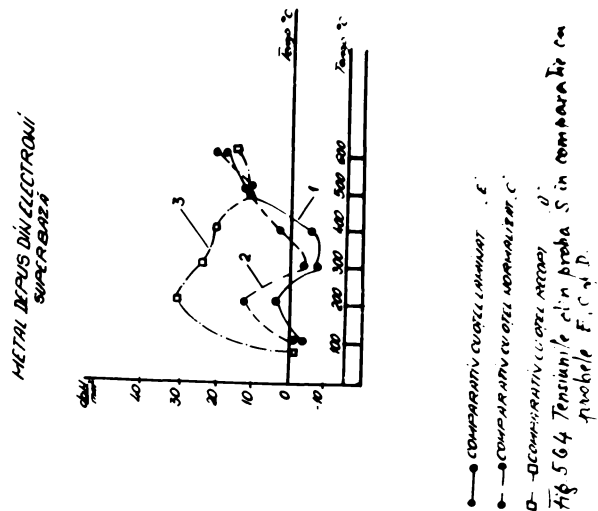
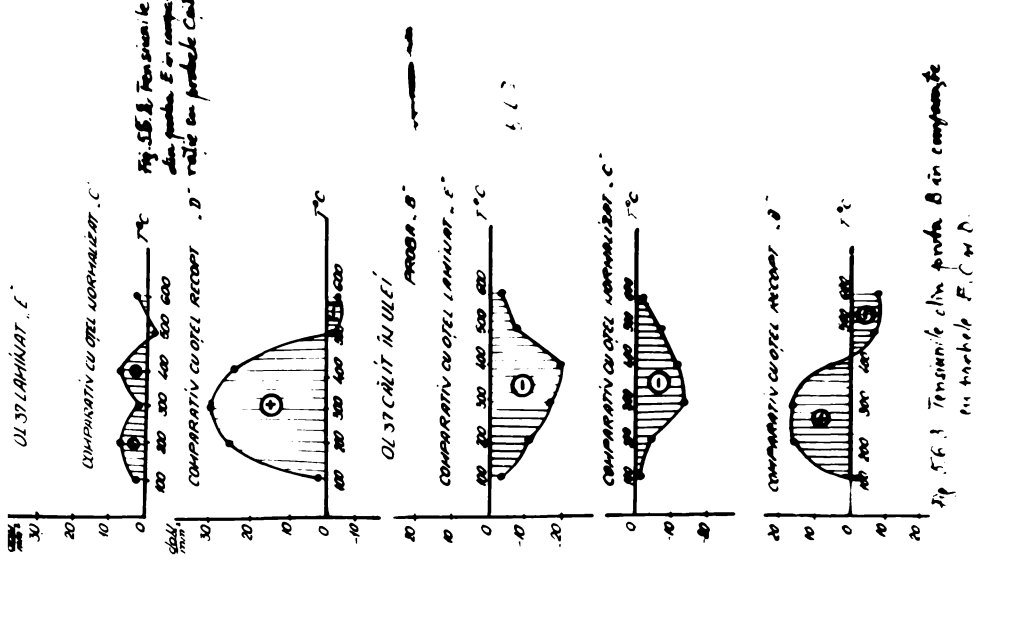
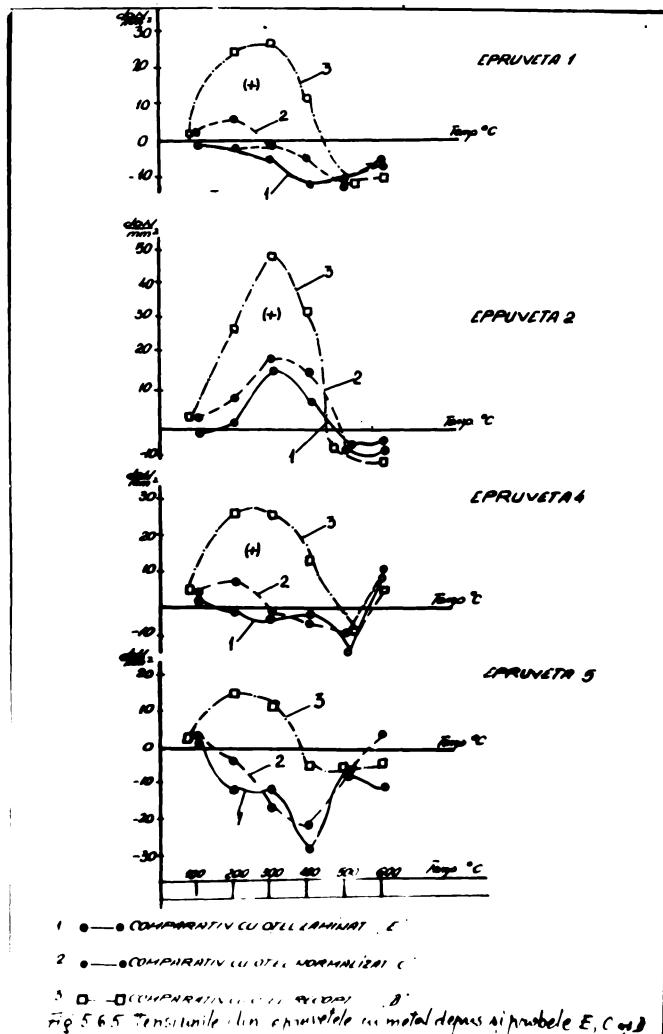


Fig. 5.65. Tensiunile la elan probă S în comparație cu probele F, C și D.



După cum se poate deduce din tabelul 5.6.11. rezultă că ceea ce determină temperatură necesară detensionării este nivelul stării de tensiune inițială al materialului. Astfel în cazul epruvetei h, care nu conține elemente ale cusăturii, însă metalul este într-o stare mult tensionată datorită procesului de sudare, se impune ca tratamentul de detensionare să fie făcut la temperatură mai înaltă, respectiv peste  $600^{\circ}\text{C}$ .

Tabelul 5.6.3.

**Stabilirea diferențelor  $\Delta\alpha$  ale epruvetelor din proba sudată în comparație cu metalul de bază (E)**

Epru-veta	Temperatură ( $^{\circ}\text{C}$ )									Observații
	100	200	300	400	500	600	700	800	900	
h	+ 1,48	+ 1,85	+ 2,53	+ 3,02	+ 1,44	+ 0,50	-	- 0,09	+ 0,14	Fără me-tal de aport
e	+ 0,59	+ 0,85	+ 0,44	+ 0,80	+ 0,01	+ 0,22	- 0,55	- 3,68	+ 4,12	Cu metal de aport
f	+ 0,57	0	- 0,29	+ 0,80	- 1,21	+ 0,62	-	+ 0,38	+ 1,60	- " -
g	+ 0,57	+ 1,85	+ 1,62	+ 0,80	- 0,31	- 0,71	- 0,55	- 0,39	+ 3,62	- " -
a	+ 1,48	+ 1,10	+ 0,53	+ 0,80	- 0,89	- 1,64	- 1,36	- 1,20	- 3,20	- " -
d	- 0,85	0	- 0,49	+ 0,80	- 0,89	- 0,44	- 0,11	- 3,38	+ 1,52	- " -
l	+ 0,23	+ 0,54	+ 0,74	+ 1,82	+ 1,49	+ 0,79	+ 0,82	+ 1,17	+ 12,84	Fără me-tal de aport
2	+ 0,31	- 0,16	- 3,04	- 1,08	+ 0,69	+ 0,65	- 0,23	+ 0,87	+ 11,34	
4	- 0,45	+ 0,14	+ 0,52	+ 1,81	+ 0,89	- 0,86	- 2,18	+ 0,47	+ 12,44	
5	- 0,31	+ 2,74	+ 3,52	+ 4,28	+ 0,69	+ 0,11	- 0,03	+ 0,47	+ 12,37	

Sunt cazuri când diferența dintre starea de tensiune a probeelor se realizează la temperaturi mai coborite, cum este cazul epruvetelor f și d, la care fenomenul acesta se produce la  $200^{\circ}\text{C}$ .

Din tabelul 5.6.11., rezultă starea de tensiune al epruvetelor prelevate din proba sudată, în comparație cu materialul în starea de livrare, normalizat și parțial recopț.

Pentru a evidenția mai bine comportarea ștelului din proba sudată, pe baza datelor experimentale obținute și determinarea analitică a tensiunilor în figura 5.6.5., se prezintă starea de tensiuni din epruvetele prelevate perpendicular și paralel la cusătura sudată, în comparație cu starea de tensiuni din ștelul de bază în stăriile caracteristice și anume în starea de livrare, după normalizare și după recristalizare.

Diferențele  $\Delta\alpha$  ale oprișorilor din proba sudată în comparație cu proba C normalizată

Tabelul 5.6.9.

Epru- vata	T - C - P - E - R - A - t - u - F - S (°C)						Observații
	100	200	300	400	500	600	
h + 0,49	+ 0,01	+ 1,05	+ 1,91	+ 1,43	+ 0,35	+ 0,43	- 0,71 + 0,23 - 1,92
o - 0,40	- 0,99	- 0,04	- 0,31	+ 0,02	+ 0,07	- 0,12	- 4,30 + 3,91 - 1,52
e - 0,42	- 1,84	- 0,77	- 0,31	- 1,20	+ 0,47	+ 0,43	+ 0,24 + 1,33 - 1,52
s - 0,42	+ 0,01	+ 1,14	- 0,31	- 0,30	- 0,86	- 0,22	- 1,01 + 1,22 - 1,52
a + 0,49	- 0,74	+ 0,05	- 0,31	- 0,88	- 1,79	- 0,93	- 1,82 - 5,41 - 1,52
d - 1,84	- 1,84	+ 1,97	- 0,31	- 0,88	- 0,59	+ 0,32	- 4,00 + 1,30 - 1,52
i - 0,76	- 1,30	+ 0,26	+ 0,71	+ 1,50	+ 0,54	+ 0,85	+ 0,55 + 12,63 + 2,70
2 - 1,30	- 2,00	- 3,52	- 2,19	+ 0,70	+ 0,50	+ 0,20	+ 0,25 + 11,13 - 1,45
4 - 1,44	- 1,60	+ 0,04	+ 0,70	+ 0,90	- 1,01	- 1,75	- 0,15 + 12,23 + 0,31
5 - 1,30	+ 0,20	+ 3,04	+ 3,17	+ 0,70	- 0,04	+ 0,46	- 0,15 + 12,16 - 1,45

Diferențele  $\Delta\alpha$  ale oprișorilor din proba sudată în comparație cu proba D

88

Epru- vata	T - E - M - P - E - R - A - t - u - F - S (°C)						Observații
	100	200	300	400	500	600	
h + 0,49	+ 0,49	- 4,29	- 0,65	+ 1,45	+ 1,11	+ 0,03	- 0,91 - 0,80
o - 0,42	- 1,34	- 4,38	- 2,87	+ 0,02	+ 0,63	- 0,32	- 4,50 + 3,12 - 2,72
e - 0,42	+ 0,49	- 6,11	- 2,87	- 1,20	+ 2,03	+ 0,03	- 0,44 + 0,36 - 2,72
s - 0,42	- 5,24	- 4,20	- 2,87	- 0,30	+ 0,10	- 0,20	- 1,21 + 2,38 - 2,72
a + 0,49	- 6,34	- 7,31	- 2,87	- 0,38	- 1,23	- 1,03	- 1,53 - 2,02 - 4,44 - 2,72
d - 1,34	- 6,50	- 5,08	- 2,87	- 0,48	- 0,03	- 0,20	- 0,45 + 0,35 + 0,27 - 2,72
i - 0,76	- 6,75	- 6,86	- 4,75	+ 1,92	+ 2,20	+ 1,06	- 0,20 + 0,05 + 11,60 + 2,50
2 - 1,30	- 1,30	- 4,70	- 2,30	+ 0,61	+ 0,60	+ 0,52	- 2,25 - 0,35 + 11,20 + 1,11
4 - 1,30	- 3,60	-	-	-	-	-	- 0,35 + 11,13 - 2,65

Tabelul 5.6.11.  
Stările de tensiune din proba sudată în  
comparatie cu materialul de bază în anumite stări

Epruveta	TEMPERATURA (°C)						Fată de proba
	100	200	300	400	500	600	
- 3,18	- 10,88	- 14,04	- 21,14	- 11,15	- 4,65		E
h - 1,05	- 0,04	- 5,63	- 13,57	- 12,04	- 5,26		C
- 1,05	+ 19,31	+ 23,61	+ 4,55	- 12,04	- 10,33		H
- 1,27	- 3,66	- 2,44	- 5,60	- 0,08	- 2,05		E
• + 0,86	+ 4,26	+ 0,22	+ 2,17	- 0,17	- 0,65		C
+ 0,86	+ 23,61	+ 24,31	+ 20,09	- 0,17	- 5,86		D
- 1,23	-	+ 1,61	- 5,60	+ 10,04	+ 2,77		E
• + 0,90	+ 4,26	- 6,33	+ 2,17	+ 9,96	+ 8,00		C
+ 0,90	+ 27,25	+ 33,91	+ 20,09	+ 2,96	- 9,58		D
- 1,23	- 10,88	- 8,99	- 5,60	+ 4,15	+ 6,60		E
g + 0,90	+ 0,04	- 8,99	+ 2,17	+ 2,49	+ 6,60		C
+ 0,90	+ 19,31	+ 23,31	+ 20,09	+ 2,49	- 0,90		D
- 3,18	- 4,73	- 2,94	- 5,60	+ 7,39	+ 15,25		E
a - 1,05	+ 5,18	- 0,28	+ 2,17	+ 7,30	+ 14,86		C
- 1,05	+ 22,53	+ 29,36	+ 20,09	+ 7,30	+ 11,44		D
+ 1,83	-	+ 2,72	- 5,60	+ 7,39	- 4,09		E
d + 3,96	+ 3,96	+ 10,93	+ 2,17	+ 7,30	+ 5,49		C
+ 3,96	+ 27,26	+ 40,57	+ 20,09	+ 7,30	+ 3,30		D
- 0,49	- 2,32	- 4,11	- 12,74	- 10,43	- 7,35		E
1 + 1,63	+ 5,59	- 1,44	- 4,97	- 12,45	- 5,92		C
+ 1,63	+ 24,94	+ 27,97	+ 12,95	- 12,45	- 11,16		D
- 6,67	+ 0,71	+ 16,87	+ 7,56	- 5,73	- 6,05		E
2 + 2,79	+ 8,60	+ 19,54	+ 15,33	- 5,81	- 4,65		C
+ 2,79	+ 27,95	+ 49,17	+ 33,25	- 5,91	- 9,86		D
+ 0,97	- 0,60	- 2,89	- 1,27	- 7,39	+ 8,00		E
4 + 3,10	+ 6,88	- 0,22	- 4,90	- 7,47	+ 9,39		C
+ 3,10	+ 26,23	+ 26,09	+ 13,02	- 7,47	+ 4,19		D
+ 0,67	- 11,78	- 11,54	- 29,96	- 5,73	- 10,23		E
5 + 2,79	- 3,87	- 16,87	- 27,19	- 5,81	+ 0,36		C
+ 2,79	+ 15,48	+ 12,77	- 4,27	- 5,81	- 4,84		D

Se constată altura asemănătoare a curbelor epruvetelor, după poziția acestora față de cusătura sudată, ca și particularitățile provenite în poziția acestora în proba sudată, respectiv nivelul tensiunilor din zona analizată.

Din această figură se deduce că starea otelului este mai avantajoasă, avind în vedere atât mărimea tensiunilor, cît și sensul în care acționează. Astfel după sudarea otelului rezultă tensiuni mari și de tractiune, în comparație cu otelul recopit după lemnare.

Din cele prezentate în literatura de specialitate ca și din datele obținute experimental rezultă că recristalizarea unui otel este dificil de a fi realizată, temperatura optimă depinzând de se- se parametrii, dintre care mai dificil de a fi stabiliți sint: mă-

rimea grăuntelui și după operația tehnologică, ca și de starea de tensiune înainte și după această tehnologie.

Epruveta 2 face excepție în sensul că în această zonă toate stările, tensiunile sunt de tractiune. Din aceeași figură rezultă că încălzirea la  $500^{\circ}\text{C}$  constituie temperatură optimă pentru detensiune.

### 5.7. Analiza dilatometrică a probelor sudate din oțel

Marca OL 52-76 cu grosimiile de 21, 35 și 52 mm

Din probele sudate prezentate în cap.2 au fost prelevate epruvete și pentru analiza dilatometrică [19,13].

În figura 5.7.1. se prezintă procentual volumul cusăturii din volumul total al epruvei și pentru analiza dilatometrică.

Figura 5.7.2. prezintă variația coeficientului  $\alpha$  pentru metalul depus cu electrozi Superbaz B. Epruvetele din probele sudate au fost

prelevate după cum urmează:

- din probele sudate din tablă de 21 mm - o singură epruvetă din grosimea acesteia;
- din probele sudate din tablă de 35 mm - cîte două epruvete din grosimea acesteia;
- din probele sudate din tablă de 52 mm cîte trei epruvete din grosimea probei.

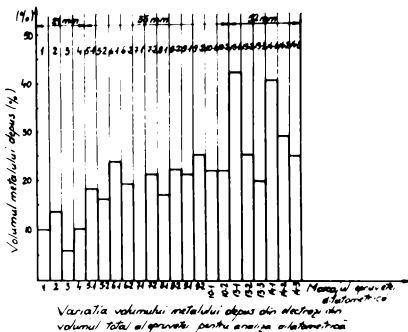
În figura 5.7.3. se

Fig.5.7.1.  
Procentul volumului metalului depus din  
electrozi din volumul total al epruvei  
ptr.analiza dilatometrică

rezintă variația coeficientului  $\alpha$  pentru probele din oțel cu grosimea de 21 mm, în starea de livrare (curba U) și probele sudate (probele 1 - 4).

Din figura 5.7.3. rezultă următoarele :

- pînă la temperatura de  $600^{\circ}\text{C}$  toate epruvetele din probele sudate prezintă valori ale coeficientului de dilatare termică  $\alpha$  superioare metalului de bază în starea de livrare. De aici rezultă că tensi-



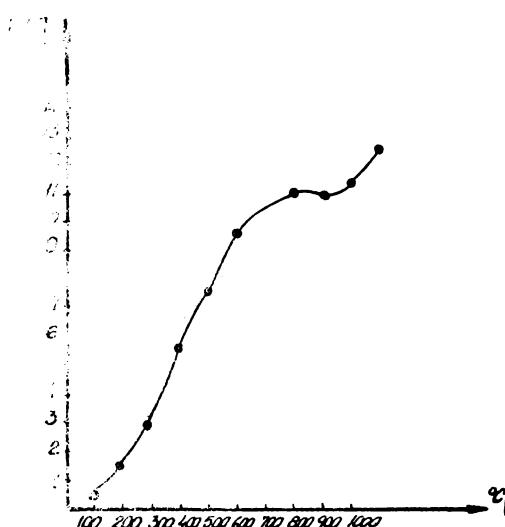


Fig. 5.7.2.  
Variatia coeficientului  $\alpha$   
pentru metalul depus  
din electrozi Superbaz B

unile ramenente eliberate sunt de compresiune ;

- pînă la temperatura de  $400^{\circ}\text{C}$  epruveta din proba sudată 1 are valorile coeficientului  $\alpha$  mai apropiate de cele ale metalului de bază, iar epruveta din proba sudată 4 prezintă diferențele cele mai mari în comparație cu materialul de bază.

Fină la această temperatură se constată de asemenea valori grupate ale coeficientului  $\alpha$  pentru epruvetele din probele sudate 1, 2 și 3, iar epruveta din proba sudată 4 prezintă valori mai dispuse, din care rezultă și valoarea corespunzătoare a tensiunilor ;

- la temperatura de  $400^{\circ}\text{C}$  are loc o convergență a valorilor coeficientului  $\alpha$ , situație care este întărită și la  $700^{\circ}\text{C}(\text{ACl})$  ;

- la temperatura de  $900^{\circ}\text{C}$  are loc din nou o dispersare a valorilor pentru coeficientul  $\alpha$  și o altă poziționare a acestora față de oțelul de bază, curba acestuia situindu-se între curbele epruvetelor din probele sudate ;

- nu se poate deduce influența metalului depus în cusături asupra valorilor coeficientului  $\alpha$  ;

- energia liniară și în special aceea utilizată la depunerea ultimelor straturi influențează asupra coeficientului de dilatare termică liniară, cum se constată la proba 4, la care energia liniară este mai mică în comparație cu celelalte probe.

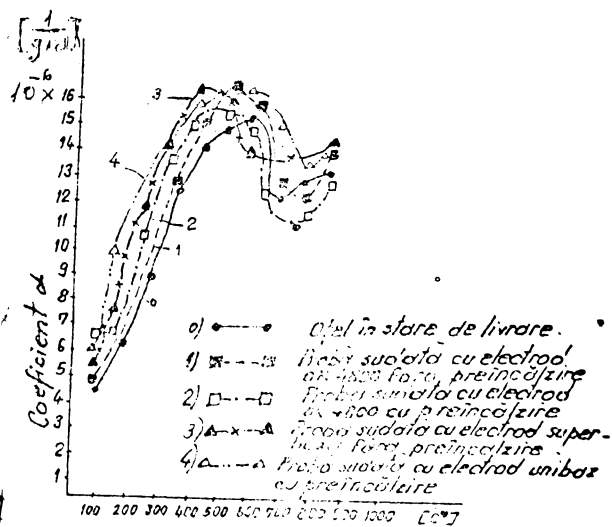


Fig. 5.7.3.  
Curbele dilatometrice la probele  
din oțel cu grosimea de 21 mm

Variatia coeficientului  $\alpha$ , ca valoare medie pentru probele din tabla cu grosimea de 35 mm se prezinta in figura 5.7.4. Dupa cum

rezulta din fig. 5.7.4, epruvetele prelevate din probele sudate cu grosimea de 35 mm prezinta un volum mai mare de metal depus din electrod, in general cca 20%, in comparatie cu epruvetele din probele sudate din tabla cu grosimea de 21 mm, care prezinta un volum mai mic de metal depus.

Din figura 5.7.4, rezulta in general, dispersii mai mari ale coeficientului  $\alpha$ , cu exceptia temperaturii de  $200^{\circ}\text{C}$ , care nu are semnificatie.

De asemenea coeficientul la probele sudate are valori in



Fig. 5.7.4.

Variatia coeficientului  $\alpha$  la probele din etel cu grosimea de 35 mm general inferioare in comparatie cu metalul de bază. Astfel la  $300^{\circ}\text{C}$  toate epruvetele din probele sudate prezinta valori ale coeficientului, inferioare metalului de bază, ceea ce denota că tensiunile ramanente sunt de intindere.

La temperatura de  $400 - 500^{\circ}\text{C}$  si la  $700^{\circ}\text{C}$  se constata ca epruvetele din proba 9 prezinta valori putin superioare fata de metalul de bază.

La temperatura de  $600^{\circ}\text{C}$  se constata o convergenta a valorilor pentru coeficientul  $\alpha$ . De remarcat ca pentru epruvetele din probele sudate se constata o grupare a valorilor coeficientului  $\alpha$ , insa totusi la o distanta de cel al metalului de bază.

In tabelul 5.7.1. se prezinta diferența  $\Delta\alpha$  a coeficientului al epruvetelor din probele sudate in comparatie cu metalul de bază.

Se constata efectul pozitiv al preincalzirii la  $150^{\circ}\text{C}$  in privinta diminuirii diferenței  $\Delta\alpha$  cu semnificatie aratată.

De asemenea comparind valorile  $\Delta\alpha$  obtinute in cazul probelor 9 si 10, rezulta influenta energiei liniară utilizata, in sensul ca aceasta este mai mica in cazul probei 10.

Din experimentarile efectuate rezulta ca la grosimea materialului de bază de 21 mm preincalzirea metalului nu este necesara.

Tabelul 5.7.1.

Diferența  $\Delta\alpha$  a epruvetelor din probele sudate cu grosimea de 35 mm în comparație cu materialul de bază

Epruveta	T	0	m	200	0	t	u	r	a (°C)	Observații
5.1-5.2	100 2,0 0,27	2,0 -1,00	300 -3,50	400 -2,05	500 -2,00	600 -1,00	700 -2,00	800 -2,15	900 -2,93	-3,60
6.1-6.2	+ 1,27	- 0,45	- 1,85	- 2,45	- 1,60	- 1,35	- 1,35	- 1,95	- 2,13	- 2,55
7.2.	- 1,73	- 0,50	- 1,25	- 0,35	- 0,25	- 0,50	- 0,75	- 1,65	- 2,98	- 2,90
8.1-8.2	- 0,23	- 0,55	- 0,25	- 2,45	- 1,90	- 1,65	- 1,72	- 2,45	- 2,43	- 2,55
9.2.	+ 1,27	+ 0,30	- 1,25	+ 0,45	+ 0,35	- 0,10	+ 0,95	- 0,15	- 0,68	-
10.1-10.2	- 0,73	- 0,12	- 1,52	- 1,35	- 1,70	+ 0,15	- 1,27	- 2,45	- 2,68	- 2,70

93

Tabelul 5.7.2.

Valoarea tensiunilor (daN/mm<sup>2</sup>) eliberate din probele sudate cu grosimea de 35 mm

Epruveta	T	0	m	200	0	t	700	800	r	a (°C)	Observații
5.1 + 5.2	+ 0,58	- 0,58	- 4,30	- 19,43	- 14,35	- 16,60	- 9,30	08	48,00	Măr preîncălzire	
6.1 + 6.2	- 2,73	- 2,73	- 1,94	- 10,27	- 17,15	- 13,28	- 11,66	OK	48,00	cu preîncălzire	
7.2	- 3,66	- 3,66	- 2,15	- 6,94	- 2,45	- 2,1	- 4,65	Unibaz fără preîncălzire			
8.1 + 8.2	- 0,92	- 0,92	- 2,37	- 1,75	- 17,15	- 15,77	- 15,35	Unibaz cu preîncălzire			
9.2	+ 2,70	+ 2,70	+ 1,29	- 6,94	+ 3,15	+ 2,91	- 0,93	Unibaz cu preîncălzire și deten-			
10.1 + 10.2	- 1,58	- 0,52	- 8,44	- 9,45	- 14,11	+ 1,4		sionare			

Pe baza datelor din tabelul 5.7.1. și aplicind relația 5.6.6., valoile modulului E fiind luate după Malisius [88], rezultă tensiunile reziduale din tabelul 5.7.2, eliberate prin încălzirile probelor pînă la  $600^{\circ}\text{C}$ .

Analizînd valorile obținute în această direcție se pot deduce următoarele :

- ca mărime aceste tensiuni sunt mai mici, sub limita de curgere a metalului de bază ;
- tensiunile sunt de compresiune în general și cele cu valori mai mari, ceea ce reprezintă un caz favorabil ;
- preîncălzirea metalului nu influențează în cazurile analizate, în ceea ce privește nivelul tensiunilor reziduale ;
- detensionarea termică după sudare are un efect mai însemnat asupra nivelului de tensiune, în care caz se constată o eliberare completă a tensiunilor în domeniul de temperatură  $500 \dots 600^{\circ}\text{C}$  ;
- regimul de sudare, respectiv vitezele de sudare mari, conduce la tensiuni reziduale mai mari, cum este cazul probelor 10 în comparație cu probă 9 ;
- utilizarea electrozilor cu învelis acid conduce în general la tensiuni ceva mai mari în comparație cu folosirea electrozilor bazici.

In figurile 5.7.5. - 5.7.7. se prezintă cazul epruvetelor din

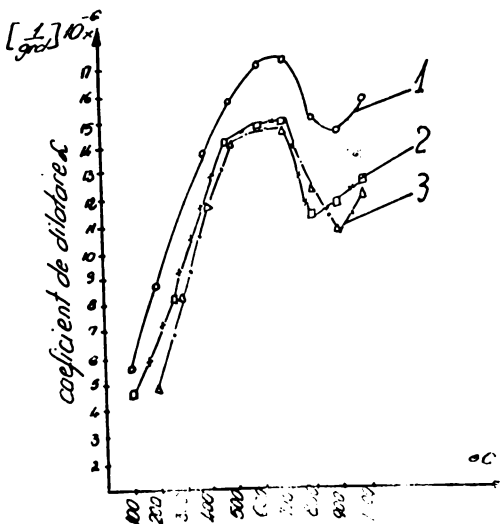


Fig. 5.7.5  
Variatia coeficientului  $\alpha$  din partea

tabla cu grosimea de 52 mm, prelevate din partea superioară, mediană și de la rădăcina cusăturii.

Se constată că epruvetele pentru analiza dilatometrii prelevate din probele sudate din tabla cu grosimea de 52 mm se caracterizează prin următoarele :

- probele sudate cu electrozi SuperbaZ în toate cazurile prezintă valori ale coeficientului  $\alpha$  mai mici în comparație cu metalul de bază, ceea ce atestă tensiuni eliberate de întindere ;

- probele sudate cu electrozi OK 48.00 prezintă în

cazul epruvetelor din zona superioară tensiuni eliberate de întindere, având în vedere valori mai mici ale coeficientului  $\alpha$ .

În schimb în cazul epruvetelor prelevate din zona mediană și de la rădăcina cusăturii pînă la 500 și 600°C Celsius tensiunile remainente sunt de compresiune. Se poate stabili o legătură între această comportare și energia liniară, în sensul că la primul strat energia liniară este mai mică în comparație cu proba sudată cu electrozii Superbaz.

În cazul epruvetelor prelevate din zona mediană și de la rădăcina cusăturii se manifestă o convergență a valorilor coeficientului de dilatare termică liniară pentru toate probele, ca urmare a faptului că după temperatură de 600°C curbele dilatometricice tind spre această convergență, ceea ce dovedește influența detensionării termice. În schimb după temperatură corespunzătoare punctului AC 3, se manifestă încă o divergență a valorilor coeficientului  $\alpha$ , care atestă rolul transformării feritei în austenită.

In tabelul 5.7.3 se pre-

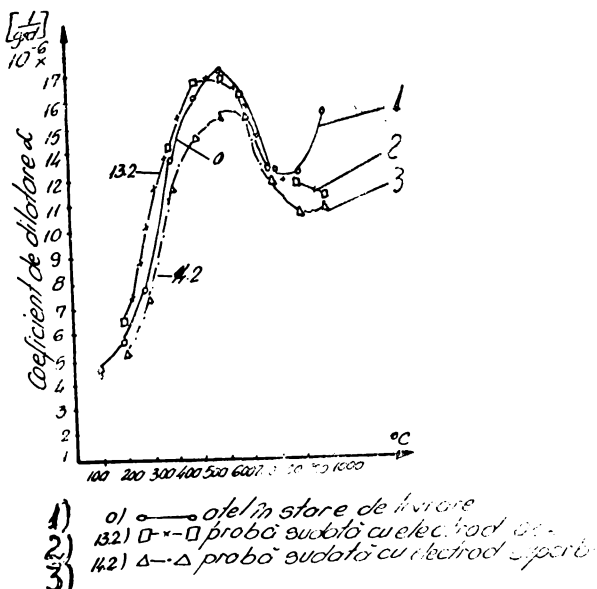
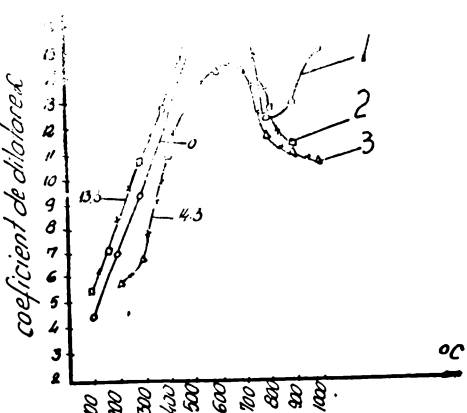


Fig. 5.7.6,  
Variația coeficientului  $\alpha$  din partea me-  
diană a cusăturii



Variatia coeficientului  $\alpha$  din par-  
tiala cusăturii

zintă diferențele dintre valorile coeficientului de dilatare termică liniară  $\alpha$  a metalului de bază și ale probelor sudate din tablă de otel marca OL 52-3k.

Tabelul 5.7.3.

**Valorile Adale probelor sudate din OL 52-3k  
52 mm ( $\times 10^{-6}$ )**

Probele su- date cu electrod	Zona	Temperatură (°C)					
		100	200	300	400	500	600
OK 48.00	S	- 0,9	- 3,4	- 2,6	- 2,2	- 1,6	- 2,5
	M	+ 1,2	-	+ 1,1	+ 1,3	+ 0,8	+ 0,5
	R	-	+ 1,0	+ 2,4	+ 0,2	+ 0,5	- 0,4
Superbaz	S	-	- 3,9	- 2,6	- 2,2	- 1,6	- 2,7
	M	-	- 1,4	- 2,6	- 1,7	- 2,1	- 1,2
	R	-	- 0,6	- 0,4	- 1,3	- 1,7	- 1,9

S - epruvete prelevate din partea superioară a cusăturii ;

M - epruvete prelevate din partea mediană a cusăturii ;

R - epruvete prelevate din zona rădăcinii cusăturii.

In baza datelor din tabelul 5.7.3., aplicind relația 5.7.4., valorile modulului E fiind luate după Malisius[88] rezultă tensiunile din tabelul 5.7.4., eliberate prin încălzirea lor pînă la 600°C.

Tabelul 5.7.4.

**Valorile tensiunilor eliberate din probele  
sudate cu grosimea de 52 mm**

Probele sudate cu electrod	Zona	Temperatură (°C)						$\text{daN/mm}^2$
		100	200	300	400	500	600	
OK 48.00	S	-1,935	-14,62	-14,43	-15,64	-14,85	-23,55	
	M	+2,58	-	+ 6,10	+ 9,1	+ 6,6	+ 4,65	
	R	-	+ 4,30	+ 13,32	+ 1,4	+ 4,125	- 3,72	
Superbaz	S	-	- 16,77	- 14,43	- 15,4	- 14,85	- 22,01	
	M	-	- 12,04	- 14,43	- 11,9	- 17,33	- 11,16	
	R	-	- 2,58	- 1,22	- 9,1	- 14,025	- 17,67	

**5.8. Cercetarea variației coeficientului de dilatare  
termică liniară  $\alpha$  pentru probe din OL 52-4k  
sudate cap la cap în atmosferă de  $\text{CO}_2$**

Materialul cercetat a fost otel marca OL 52-4k STAS 500-80 cu grosimea de 20 mm. Ca material de aport s-a utilizat sîrma S 11 M 2 S, STAS 1126-80 cuprată, cu diametrul de 1,2 mm.

Materialul de bază a fost analizat și încercat conform standardului și a corespuns în limitele impuse. Otelul încercat la sensibilitatea de îmbătrînire a corespuns, avind reziliență după îmbătrînire de peste 4  $\text{kgrm/cm}^2$ .

Restul probelor a fost pregătit în Y, cu unghiul de  $50^\circ$ . La proba 3 restul a fost pregătit prin aschiere și oxiacetilenic la proba 4.

Sudarea probelor s-a făcut cu o instalatie Micromatic TC-300 fabricatie Arcus. Regimul de sudare a fost tensiunea arcului de 26 Volti iar viteza de avans automat a sîrmei de 7,12 m/min. Debitul de  $\text{CO}_2$  a fost de 15-16 l/min. Viteza de sudare a fost de c,189-0,3 cm/s la proba 3 și de 0,187-0,341 la proba 4.

In figura 5.8.1. se prezintă variația elementului de bază din

cusătură, respectiv a elementelor componente metalul de bază, sîrmă-electrod și cusătura, ca și carbonul echivalent determinat prin relația lui Stout:

$$C_e = C + \frac{Mn}{4} + \frac{Si}{4}$$

(5.8.1)

Din probele executate au fost prelevate epruvete pentru încercarea la incoacere prin soc, folosind epruvete Charpy V.

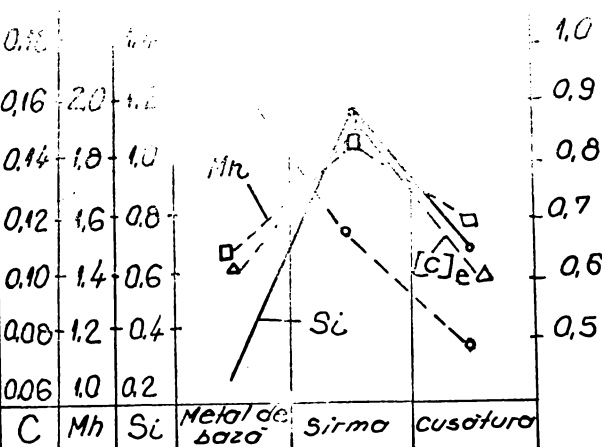


Fig.5.8.1.

Variatia elementelor in metalul de baza, electrod si cusatura sudata

- variatia continutului de carbon ;
- variatia continutului de siliciu ;
- variatia continutului de mangan ;
- Δ---Δ variatia carbonului echivalent.

In tabelul 5.8.1. se prezintă energia de rupere (KV) a imbinării sudate la temperaturile de încercare 20, -20 și  $-40^\circ\text{C}$ , epruvete Charpy V avind creșterea în Z.I.T.

Deși se constată o diminuare a energiei de rupere a imbinării sudate în comparație cu aceea a metalului de bază, valorile obținute pot fi considerate bune, media fiind suorioară cu 2,8 daJ.

In tabelul 5.8.2. se prezintă energia de rupere a metalului de bază din probele sudate, mările respective sint mai mult influente de procesul termic de la sudare, ca și de deformațiile produse ca urmare a sudării.

Tabelul 5.8.1.  
Energia de rupere (KV) a imbinării sudate

Proba	Temp. de incercare	Nr. de epruvete incercate	Energia de rupere daj			
				minimă	maximă	
					medie	
3	+ 20	3		7,1	12,4	9,5
	- 20	4		3,1	6,0	4,0
	- 40	4		2,1	4,1	3,2
4	+ 20	3		7,1	9,2	8,3
	- 20	3		4,1	4,4	4,2
	- 40	4		2,0	6,0	4,0

Tabelul 5.8.2.

Proba	Temp. de incercare	Poziția epruvetei	Energia de rupere daj			
				minimă	maximă	
					medie	
3	+20	3,2		4,9	7,4	5,8
	-20	3,3		3,1	3,7	3,4
	-40	3,2		3,1	5,7	4,3
4	+20	4,2		1,4	2,4	1,9
	-20	4,3		0,7	2,7	1,7
	-40	4,2		1,3	1,8	1,5
	+20	4,2		9,2	17,1	13,4
	-20	4,3		2,8	2,9	2,9
	-40	4,2		1,3	8,1	3,7
	+20	4,3		1,0	2,4	1,6
	-20	4,2		2,2	8,1	4,6
	-40	4,3		0,8	1,1	1,0

Din tabelul 5.8.2. în ceea ce privește energia de rupere la încovoiere prin soc(KV) a materialului de bază din proba sudată, în comparație cu aceea a materialului în starea de livrare, se constată o diminuare, mai evidentă la cele obținute pe direcția longitudinală. Dacă la aceasta se adaugă și creșterea rezistenței de rupere la tracțiune cu 106 ... 124 %, în comparație cu valorile obținute inițial, se poate aprecia că se constată o diminuare a tenacității și plasticității materialului datorită sudării.

Zonile din care au fost prelevate epruvetele pentru încercarea la încovoiere prin soc, se află la distanța de peste 50 mm de la ambele vârfuri ale sudării, ceea ce pledează că starea tensională și deformările produse au condus la imbătrînirea materialului (efect tango-mecanic).

Pe baza analizei dilatometrică executate au fost determinate

valorile coeficientului de dilatare termică liniară  $\alpha$ , pentru metalul de bază și a probelor sudate 3 și 4. În figura 5.8.2. se prezintă variația coeficientului  $\alpha$  din care se reține :

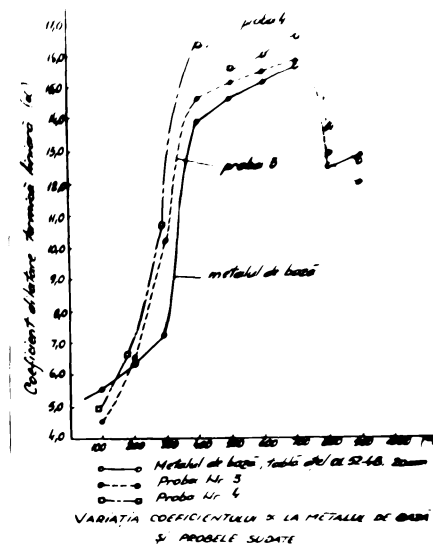


Fig.5.8.2.  
Curbele dilatometrice ale epruvetelor din  
probale sudate și metalul de bază

- la temperatura de  $200^{\circ}\text{C}$  are loc convergența valorilor pentru coeficientul  $\alpha$ ;
- la temperatura de  $300^{\circ}\text{C}$  se constată cele mai mari diferențe ale acestui coeficient;
- diferențe apreciabile se mențin și la temperatura de  $400^{\circ}\text{C}$ ;
- în domeniul temperaturilor  $500 \dots 700^{\circ}\text{C}$  se obține o îngur-

tare a dispersiei coeficientului  $\alpha$ , ca la  $900^{\circ}\text{C}$  acestea să prezinte o convergență;

- la temperatura de  $1000^{\circ}\text{C}$  se constată o ușoară împreștiere a coeficientului  $\alpha$ ;

- curba valorilor coeficientului ale metalului de bază se află sub curbele probelor sudate 3 și 4;

- proba 4 are valorile cele mai mari ale coeficientului  $\alpha$ .

In tabelul 5.8.4. se prezintă diferențele  $\Delta\alpha$  ale coeficientului de dilatare termică pentru temperaturile respective ale probelor sudate, în comparație cu materialul de bază, ca și tensiunile reziduale eliberate.

Tabelul 5.8.4.

Temperatura ( $^{\circ}\text{C}$ )	Valoarea $\Delta\alpha \times 10^{-6}$		Tensiunile remanente ( $\text{daN/mm}^2$ )	
	proba 3	proba 4	proba 3	proba 4
100	- 0,9	- 0,6	+ 1,94	+ 1,29
200	+ 0,1	+ 0,2	- 0,43	- 0,86
300	+ 3,1	+ 3,5	- 17,21	- 19,425
400	+ 0,8	+ 3,1	- 5,6	- 21,7
500	+ 0,3	+ 1,0	- 2,49	- 8,3
600	+ 0,4	- 0,8	- 3,72	- 7,44

Tensiunile reziduale au fost determinate pe baza relației (5.6.6), luând valoarea modulului de elasticitate E după Malisius 88.

Din tabelul 5.8.4. rezultă :

- tensiunile remanente sunt de compresiune și au valoarea sub limita de curgere ;

- în cazul probei 3 temperatura de detensionare la  $300^{\circ}\text{C}$  produce o relaxare importantă a materialului, iar la proba 4 același lucru este valabil pentru temperatura de  $400^{\circ}\text{C}$  ;

- încălzirile pînă la  $600^{\circ}\text{C}$  nu conduc la completa relaxare a materialului.

### 5.9. Concluzii

Analiza termică diferențială este o metodă utilă obținindu-se în primul rînd care este temperatura optimă pentru detensionarea termică a pieselor sudate.

Se înțelege că fiecare îmbinare sudată constituie un caz în sine în ceea ce privește nivelul tensiunilor care rezultă, în acestă privință regimul de sudare și modul în care se realizează efectiv casătura sudată va influența în cale din urmă asupra mărimi și sen-

cului de acționare al tensiunilor remanente.

După sinteza experimentărilor proprii efectuate în cazuri diferite se deduce că analiza dilatometrică permite să se facă aprecieri și măsurări cantitative cu privire la valoarea tensiunilor remanente și a sensului de acționare al acestora.

Se apreciază că prin prelucrările necesare prelevării epruvetelor, necesare analizei dilatometrice, în cazul experimentărilor efectuate având dimensiunile  $\phi 12 \times 65$  mm, (dimensiuni care diferă funcție de aparatul utilizat) nivelul tensiunilor remanente de ordinul I este influențat, sub aspectul reducerii acestora prin operația de prelevare a epruvetelor din îmbinarea sudată, ca și prin modificările provocate prin procesul de așchiere al acestora.

Din această cauză se apreciază că în mod deosebit prin analiza dilatometrică sunt evidențiate în mai mare măsură tensiunile remanente de ordinul II și III.

La fiecare probă sudată la care au fost efectuate analize dilatometrice au fost corelate rezultatele obținute prin această determinare, diferențele coeficientului de dilatare termică liniară față de metalul de bază pe domenii ale temperaturii.

Cercetările s-au referit și la utilizarea unor electrozi diferenți, ca înveliș și ea fabricație pentru a se urmări și influența metalului de aport în ceea ce privește caracterizarea îmbinării sudată.

De asemenea s-a experimentat și a rezultat avantajele în ceea ce privește sudarea în  $\text{CO}_2$  și sub aspectul tensiunilor remanente.

Astfel se pot concluziona următoarele :

- la probele sudate din oțel cu grosimea de 21 mm preîncălzirea nu este absolut necesară, deși tensiunile remanente sunt mai mici în cazul probelor sudate cu preîncălzire ;

- folosirea electrozilor cu înveliș acid nu este indicată sub aspectul tensiunilor remanente, în sensul că acestea prezintă valori superioare în comparație cu electrozii bazici. Această din urmă conduce la tensiuni remanente de compresiune care sunt avantajoase ;

- la sudarea tablelor cu grosimea de 21 mm detensionarea la temperatura de  $600^\circ\text{C}$  este acoperitoare ;

- la sudarea tablelor cu grosimea de 35 mm preîncălzirea este obligatorie, iar pentru diminuarea tensiunilor remanente este indicat tratamentul termic de normalizare, detensionare în jurul temperaturii de  $600^\circ\text{C}$  nefiind eficientă ;

- depunerea stratelor din electrod cu diametrul de 3 mm. la suprafața cușturii deși conduce la structuri grosolană, tip dendritic în aceste straturi, are un efect de normalizare a strukturii metalului depus în straturile anterioare. Aceleși lucru pozitiv se constată și prin operatia de completare la ridicarea cușturii.

Aceste fenomene nu s-au evidențiat în cazul corectirii pe epruve prelevate din zonele distincte ale cușturii U realizată la probele sudate din table cu grosimea de 52 mm.

Acest fenomen nu este evident în cazul cușturilor realizate cu răstul în X.

În cazul analizei dincazmetrice la epruvele prelevate perpendicular la suprafață, analiza stării de tensiune se referă global la întregul întindut suport, care conține elementele distincte ale cușturii, cu participarea în proporții diferite ale cușturii suante.

Din acest punct de vedere utilizarea transformatorilor prezintă avantajul că este o modul nedistructiv și permite a corecta secoligarea a diferențelor zone ale latimerii suante, pentru a evidenția înflamarea procesuală de către zăpada neverisității.

## 6. ANALIZA MODIFICARII CARACTERISTICILOR FIZICE SI MECANICE DATORITA PROCESULUI DE SUDARE PRIN FO- LOSIREA ENERGIEI ULTRASUNETELOR

Datorită procesului de sudare se produc în material deranja-mente ale rețelei cristaline, care au fost evidențiate cu ajutorul roentgen-structurii pe un volum restrins de material și cu o tehnică complicată.

Folosind energia ultrasunetelor, respectiv un montaj bazat pe un defectoscop ușor, pot fi determinate vitezele de propagare ale undelor longitudinale și transversale, cu ajutorul cărora pot fi determinate constantele elastice ale materialelor [8, 15, 20, 129, 135].

Pe baza literaturii și a propriei experiențe s-a urmărit să se evidențieze situația creată datorită fenomenelor care însotesc procesul de sudare, prin analiza parametrilor care definesc propagarea ultrasunetelor în stările create prin:

- deformarea plastică pe epruvete supuse la întindere;
- probe supuse unor cicluri termice, înălțite la anumite temperaturi și răcire efectuată cu anumite viteze de răcire;
- probe sudate.

Rezultatele obținute în aceste stări ale materialului sunt comparate cu celul în starea de livrare.

### 6.1. Determinarea constantei elastice ale materialelor cu ajutorul energiei ultrasunetelor

In ultima vreme cercetarea în domeniul plastic a devenit de actualitate, cu aplicarea directă în industrie, cu scopul de a întră în cunoștințele cu privire la folosirea materialelor.

Mai mult la proiectarea elementelor de mașini, se are în vedere și domeniul plastic, în locul celui elastic, acceptat unanim în trecut. În acest caz trebuie să se simtă în vedere că trebuie determinate efectiv, pentru fiecare grad de deformare plastică, constantele plastice ale materialelor [44].

Una din metodele nedistructive pentru determinarea experimentală a modulului longitudinal ( $E_p$ ) și transversal ( $G_t$ ) în domeniul plastic, funcție de deformare și de starea de tensiune corespunzătoare este bazată pe utilizarea energiei ultrasunetelor.

Este cunoscut din literatura de specialitate că prin determinarea vitezelor de propagare longitudinală ( $v_L$ ) și transversală ( $v_T$ ) ale fasciculului ultrasonic, care străbate un material pot fi de-

terminată o serie de proprietăți fizice ale acestuia. Pe liniile fap-  
tului că metoda este nedistructivă aceasta permite și folosirea de-  
fectoscopelor cu ultrasunete [82]. Au fost determinate constantele  
fizice ale materialelor în stare nedeformată [8] și în cazul solici-  
tării otelului în starea deformării plastică [15, 20, 129, 135, 171, 172,  
170].

Experimentările au fost executate cu aparatul tip USIP 10, fa-  
bricat de Kraukramer, folosind montajul din fig. 6.1.1.

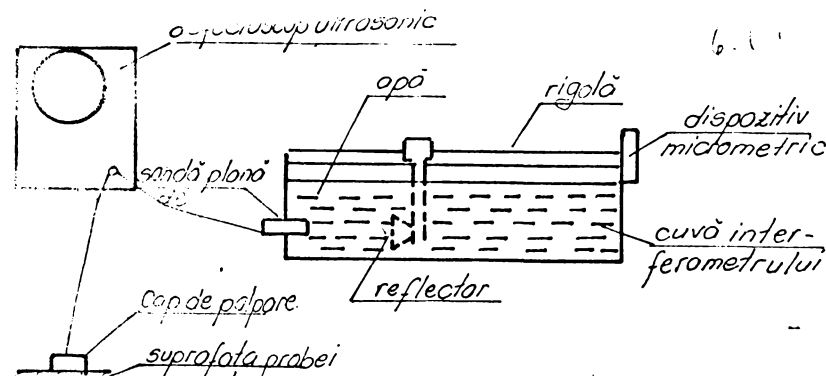


Fig. 6.1.1.  
Montajul ptr. măsurarea vitezelor de propagare ale  
ultrasunetelor în diverse materiale

Au fost utilizate capete de palpare normale cu cuart pentru unde longitudinale, fără protecție de 4 și 6 MHz (Q 4 și Q 6) și altele cu cuart Y pentru unde transversale cu frecvență de 4 MHz (Q 4 Y). După cum rezultă din fig. 6.1.1. s-a utilizat interferometrul pentru determinarea vitezelor de propagare ale ultrasunetelor.

Probele au fost prelevate din tablă de otel GL 37 cu grosimea de 12 mm, având formă și dimensiunea epruvetelor de tractiune conform STAS 200-76. Epruvetele au fost supuse la întindere, deformațiile fiind măsurate prin extensometria mecanică, folosindu-se segmente cu lungime de 100 mm. Deformațiile permanente ale epruvetelor au fost de 0,1; 0,2; 0,3; 0,4; 0,5; 1,0; 2,0 %.

Suprafața epruvetelor a fost rectificată pentru a se asigura condiții identice de acoplare, rugozitatea fiind  $R_a = 0,6$  (clasa 0,4..0,8). Determinarea vitezei de propagare a undelor s-a executat folosind metoda impuls-ecou de control, cu ecouri multiple.

Determinarea constantelor fizice funcție de viteza de propaga-  
re a undelor ultrasonice longitudinale ( $v_L$ ), respectiv a celor trans-

versale ( $v_T$ ) se realizează prin relațiile :

$$\mu = \frac{\frac{1}{2} v_L^2 - v_T^2}{v_L^2 - v_T^2} \quad (6.1.1)$$

$$c_G = \rho \cdot v_T^2 \quad (\text{N/m}^2 \cdot \text{s}^2) \quad (6.1.2)$$

$$E = 4 \cdot \rho \cdot \frac{\frac{1}{4} v_L^2 - v_T^2}{(\frac{v_L}{v_T})^2 - 1} \quad (\text{N/m}^2) \quad (6.1.3)$$

unde :

$\mu$  = constanta lui Poisson ;

$v_L, v_T$  = vitezele ultrasunetelor (m/s) ;

$\rho$  = densitatea materialului de cercetat ( $\text{kg/m}^3$ ) ;

$G$  = modulul de elasticitate transversal ;

$E$  = modulul de elasticitate longitudinal.

Pentru a determina vitezele necunoscute de propagare ale fasciculului ultrasonic care străbate un material cu o anumită grosime, aceasta se raportează la o grosime determinată a unui material, cu viteză de propagare cunoscută a ultrasunetelor.

Bineînțeles că totul se raportează la același timp în care ultrasunetele trec prin ambele materiale. În cazul analizat ca material cu viteză cunoscută a fost apă, care la  $20^\circ\text{C}$  are viteză de propagare a ultrasunetelor de  $1483,1 \text{ m/s}$ . În cazul temperaturilor diferite de temperatura de referință, pentru fiecare grad se scade la temperaturile sub  $20^\circ\text{C}$ , respectiv se insumează la cele care depășesc această temperatură, gradientul :

$$\frac{V}{t} = 2,5 \text{ m/s} \quad (6.1.4)$$

În timpul măsurărilor temperatura apei din interferometru a fost de  $18^\circ\text{C}$ , deci ținând seama de coeficientul de temperatură, viteză de propagare a ultrasunetelor în apă este  $1478,1 \text{ m/s}$ .

După cum se observă din fig. 6.1.1., ultrasunetele emise de sonda normală (8) de imersie se propagă în apă din interferometru (2), coloana de apă fiind limitată de poziția reflectorului metalic (6) care poate fi deplasat manual printr-un dispozitiv micrometric (4) cu o precizie de  $0,01 \text{ mm}$ . Impulsul dat de coloana de apă se suprapune peste ecoul sau după caz pe unul din ecurile multiple

corespunzătoare grosimii materialului de analizat. Pentru aceasta se modifică lungimea coloanei de apă cu ajutorul mecanismului gresier, respectiv fin al interferometrului. La momentul oportun se constată o modificare apreciabilă a formei impulsului. În acest moment se citează pe rigla gradată a interferometrului 3 lungimea coloanei de apă determinată de poziția reflectorului.

Cunoscindu-se grosimea pielei cercetate, viteza necunoscută ( $v_x$ ) de propagare a ultrasunetelor va fi determinată conform relației :

$$v_x = \frac{v_a \cdot d_x \cdot n}{d_a} \quad (6.1.5)$$

în care:

$v_a$  = viteza de propagare a ultrasunetelor în apă (m/s) ;

$d_x$  = grosimea materialului cu viteza de propagare a ultrasunetelor necunoscută ;

$n$  = numărul de ecouri succesive luate în considerare corespunzătoare unui multiplu de grosimi ale materialului respectiv ;

$d_a$  = lungimea coloanei de apă din interferometru determinată de poziția reflectorului .

Măsurarea lungimilor s-a făcut cu precizie de 0,01 mm. Determinarea experimentală a vitezelor de propagare ale undelor ultrasonice longitudinale și transversale, ca și valoarea constantelor  $\mu$ , și  $G$  pentru probele deformate plastic se prezintă în tabelul 6.1.1.

#### 6.2. Cercetări privind determinarea parametrilor care definesc propagarea ultrasunetelor în probele tratate termic

Din tablă de otel marea OL 37 STAS 500-80 și cu grosimea de 15 mm au fost prelevate probe cu dimensiunile 60 x 90 mm, care au fost supuse unor tratamente termice, executate la anumite temperaturi de încălzire și răcire în medi dinferite, astfel încât să se realizeze anumite viteze de răcire. În acest scop au fost utilizate aceleași probe ca cele folosite la analiza dilatometrică și tratamentele termice aplicate sunt prezentate în tabelul 6.2.1.

S-a avut în vedere ca să se urmărească consecințele încălzirii și răcirii probelor de otel cu regimuri diferite, astfel să se urmărească efectul acestor parametrii în apropierea punctelor  $AC_1$  și  $AC_2$ , pentru a fi în măsură de a cerceta modificările provocate în

metalul care a suferit transformări în stare solidă și în domeniul plastic de deformare.

Parametrii care definesc propagarea undelor ultrasonice în probele tratate termic au fost determinați cu aparatul tip USIP 10 fabricație Krautkramer în următoarele condiții :

- utilizarea capului de palpare miniatură tip MWB 45, cu emitera fasciculului ultrasonic sub unghiul de  $45^\circ$  ;
- asigurarea condițiilor de acoplare identice prin rectificarea suprafetei probelor, astfel să fie asigurată rugozitatea  $R_a = 0,6$  (clasa 0,4...0,8) STAS 5730-75. Ca mediu de acoplare s-a utilizat uleiul mineral.

Parametrii urmăriți la probele cercetate au fost:

- determinarea vitezei transversale de propagare a ultrasunetelor ;
- amplificarea necesară pentru a menține constantă amplitudinea de 70 mm a ecoului de control.

Pentru ca determinările efectuate să ofere rezultate cît mai comparabile, capul de palpare MWB 45 a fost amplasat ca în figura 6.2.1. Drumul parcurs de fascicolul ultrasonic în probele tratate

termic experimental reprezintă suma segmentelor AB + BC. Acesta a fost determinat analitic, măsurindu-se grosimea „d” a probei și considerind constantă valoarea unghiului  $\alpha = 45^\circ$ . În tabelul 6.2.2. se prezintă mărimea drumului parcurs de fascicolul ultrasonic determinată analitic pentru a mări precizia determinării, avându-se în vedere că aparatul folosit are valoarea ea mai mică a unei diviziuni de 1 mm pentru a măsura distanța parcursă de ultrasunete în material.

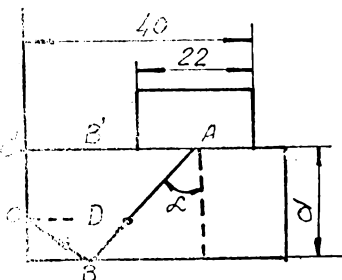


Fig.6.2.1.

Modul de așezare al capului de palpare și drumul ultrasunetelor în probă

Aparatul a fost reglat pentru domeniul de măsură de 50 mm, acoperitor pentru drumul parcurs de ultrasunete în material.

Tabelul 6.2.2.

#### Drumul parcurs de fascicolul ultrasonic în probe

Probă	6,29	6,11	6,2	6,3	6,11	6,12	6,13	6,15	6,15	5,17
Gros. mm	14,73	14,17	14,06	14,24	14,18	14,23	14,22	14,07	14,23	14,29
lung. mm	(AB+BC)	41,01	41,01	41,02	41,01	41,00	41,00	41,01	41,01	41,02
lung. mm										41,00

**Tabelul 6.1.1.**  
**Determinarea vitezelor ultrasonice și a constantelor**  
**probelor deformate**

Nr. Crea- reaza vor	Densitate densitate ver- tauri	Viteza Frec- ven- ta (MHz)	Viteza longitudinală Nr. distanță interf- uri (m)	Viteza transversală Nr. distanță interf- uri (m)	Constantă $v_T$ $\mu$	$\frac{(\mu)}{\text{m}^2}$	$\frac{(\text{N}/\text{m}^2)}{\text{daN}/\text{cm}^2})$	Constantă $\beta$ $\frac{(\text{daN}/\text{cm}^2)}{\text{daN}/\text{cm}^2})$
1. 11,09	0,1	6	10,81	6060,1	2	10,27	3192,7	0,305 2,1 .10 <sup>6</sup> 8,04.10 <sup>5</sup>
2. 11,09	0,2	6	10,87	6030,6	2	10,18	3222,3	0,31 2,13.10 <sup>6</sup> 8,04.10 <sup>5</sup>
3. 11,09	0,3	6	10,76	6089,7	2	10,00	3281,3	0,286 2,2 .10 <sup>6</sup> 8,5 .10 <sup>5</sup>
4. 11,11	0,4	6	10,97	5971,5	2	10,34	3317,9	0,271 2,17.10 <sup>6</sup> 8,55.10 <sup>5</sup>
5. 10,79	0,5	6	11,15	5882,8	2	9,78	3251,8	0,319 2,2 .10 <sup>6</sup> 8,33.10 <sup>5</sup>
6. 10,98	1,0	6	10,55	6311,5	9	10,09	3207,5	0,291 2,1 .10 <sup>6</sup> 8,04.10 <sup>5</sup>
7. 10,82	2,0	6	10,76	5941,9	2	10,14	3190,7	0,3 2,08.10 <sup>6</sup> 8,0 .10 <sup>5</sup>
		4	10,80	5912,4	4	9,96	3192,7	
		4	10,73	6045,4	4	9,93	3157,9	

**Tabelul 6.2.1.**

Probile analizate cu ultraseunete

Mediu de starea reală	Starea de li- vare	AER	ULTRI	APA	1000 repetat 1000	900	800	700	600	500	400	300	200	100	1000 repetat 1000
Temperatură (°C)	-700 -800 -900	1000 900 800	700 600 500	400 300 200	1000 900 800	700 600 500	400 300 200	1000 900 800	700 600 500	400 300 200	1000 900 800	700 600 500	400 300 200	1000 900 800	700 600 500
Prințul acoperit	6,29	6,8	6,35	6,21	6,18	6,17	6,18	6,13	6,12	6,16	6,12	6,12	6,12	6,12	6,12
Prințul acoperit	3	5	4,73	4,73	4,73	4,73	4,73	4,73	4,73	4,73	4,73	4,73	4,73	4,73	4,73
distanță HV-	6	1,5	2	1,8	1,9	1,9	1,9	1,6	1,6	1,6	1,6	1,6	1,6	1,6	1,6

Continuare tabel 6.2.2.

Probă	6.8	6.6	6.7	6.5	6.9
Grosimea d mm	14,29	14,52	14,53	13,65	13,04
(AB+BC) mm	41,00	41,01	40,99	41,02	41,01

Pentru caracterizarea otelului în probele analizate au fost efectuate următoarele determinări :

- analiza structurală ;
- mărimea grăuntelui ;
- duritatea Vickers.

Analiza structurală s-a făcut pe probe pregătite conform STAS 4203-80, atacul fiind executat cu nital 5 %.

Punerea în evidență și determinarea microscopică a mărimii grăuntelui s-a efectuat conform STAS 5490-80.

Duritatea a fost determinată după metoda Vickers, conform STAS 492-78, cu sarcina de 300 N.S-a utilizat această metodă pentru a pune în evidență variația de duritate produsă ca urmare a tratamentului termic executat în anumite condiții.

Rezultatele obținute au fost comparate cu caracteristicile tehnice ale otelului în starea de livrare (proba marcată cu 6.29). Strucatura otelului în starea de livrare indică că după laminare tabla nu a fost supusă unui tratament termic de normalizare, structura fiind lamelară și neomogenă.

Au fost analizate valorile pentru viteza transversală a ultrasonetelor ( $v_T$ ), duritatea Vickers, ca valoare și frecvență, ca și modulele longitudinale și transversale pentru fiecare probă.

Modulul transversal ( $G$ ) s-a determinat pe baza vitezei transversale ( $v_T$ ). Modulul longitudinal ( $E$ ) a rezultat analitic pe baza relației :

$$E = 2 G(1 + \mu) \quad (6.2.1)$$

unde  $G$  a fost determinat astă cum s-a arătat la cap. 6.1 și  $\mu = 0,33$  (coeficientul lui Poisson).

In figura 6.2.2., se prezintă procentual reducerea vitezei transversale la probele tratate termic, avind la bază viteza transversală a otelului în starea de livrare. De asemenea tot procentual se arată creșterea sau micșorarea amplificării, pentru a menține ecoul de control cu amplitudine maximă, avind în vedere amplificarea folosită la tabla în starea de livrare. De asemenea se indică și punctajul determinat conform STAS 5490-80.

Așa cum era de așteptat se constată influența pozitivă a unei granulații mai fine, în ceea ce privește atât reducerea vitezei transversale, cât și în privința transparentei(ex.probele 6.11, 6.1 6.7, 6.17).

De asemenea se poate observa influența transformării AC<sub>3</sub> cu răcire în apă și aer, cind se constată cele mai substanțiale modificări în ceea ce privește propagarea ultrasunetelor în otel.

Din cele prezentate rezultă următoarele:

- în ceea ce privește punctajul conform STAS 5490-80 situația cea mai nefavorabilă este la proba 6.15, cinci probe prezintă punctajul inițial, două probe au punctajul de 6, iar alte patru probe prezintă un punctaj de 7/8 ;

- dispersia maximă a durității Vickers e prezintă proba 6.2, la care a avut loc transformarea specifică călirii, proba 6.16 are o dispersie de asemenea apreciabilă asupra durității Vickers, urmată de proba 6.3 care din acest punct de vedere manifestă o dispersie mai mică în comparație cu celelalte ;

- reducerea vitezei de propagare a ultrasunetelor, cu unde transversale, se face maxim la proba 6.6, după care urmează proba 6.3 și probele 6.15 aproape cu aceeași reducere ;

- atenuarea produsă în ceea ce privește propagarea ultrasunetelor în probele analizate se constată a fi maximă la proba 6.8, urmată de proba 6.9, iar cazul cel mai favorabil se întâlnește la proba 6.6 ;

- în cazul celorlalte probe variațiile parametrilor tehnici analizați prezintă valori mai mici.

Analizând curbele din fig.6.2.2 se pot deduce în continuare următoarele :

- în cazul probei 6.8 reducerea vitezei transversale a ultrasunetelor este însotită și de o creștere a amplificării. Această situație se explică prin faptul că proba 6.8 are o structură lamelardă ;

- probele 6.11, 6.1, 6.7, 6.17, 6.3, 6.12 prezintă cele mai mici variații ale amplificării în comparație cu materialul în starea de livrare, deși aceste probe au suferit tratamente termice. Se poate deduce că o granulație de 5/6 asigură o transparentă bună a ultrasunetelor ;

- probele încălzite la AC<sub>3</sub> și răcite cu viteze diferite reduc otelul în starea de livrare în ceea ce privește viteză transversală a ultrasunetelor ;

- repetarea transformărilor la AC<sub>3</sub> cu răcire în aer(proba 6.9)

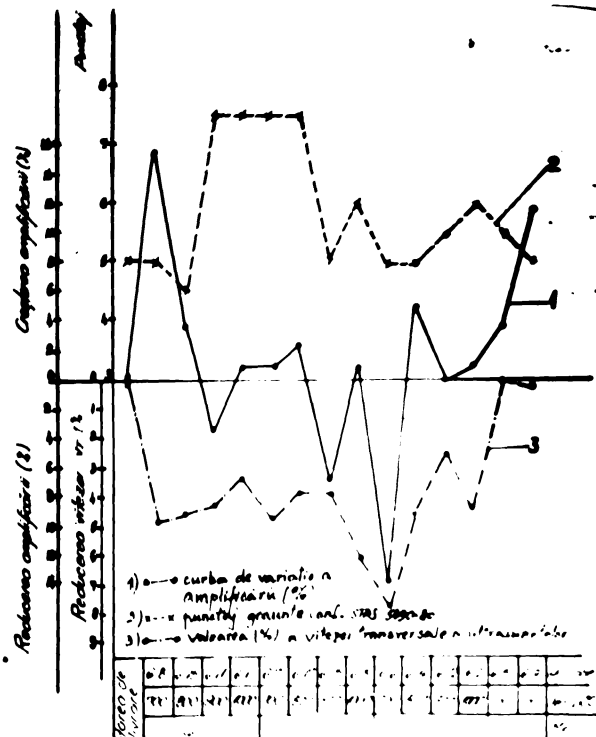


Fig. 6.1  
c/f

influenteză nefavorabil transparenta ultrasunetelor în otel.

Căutind explicație a celor prezentate, având în vedere și prevederile din STAS 2500/1-80, rezultă următoarele:

a) încălzirea otelului la punctele specifice transformărilor și anume  $AC_1$ , temperatura la care începe transformarea feritei în austenită, respectiv  $AC_3$ , temperatura la care se termină această transformare, produce modificări ale parametrilor care definesc propagarea ultrasunetelor în otel;

b) de asemenea se obțin modificări la răcirea otelurilor la temperatura  $Arl$  care are semnificația terminării transformării austenitei în perlită, respectiv  $Ar3$ , temperatura la care începe separarea feritei din austenită;

c) mărimea grăuntelui de asemenea influențează propagarea ultrasunetelor în otel.

Situată în cazul otelului răcit în apă (proba 6.2) conduce la reducerea cu 4,4 % a vitezei transversale a ultrasunetelor, fără o atenuare vizibilă a modului de propagare a acestora.

În schimb răcirea acestuia în ulei (proba 6.3) conduce la reducerea vitezei transversale cu 6 %, otelul prezentând o structură neomogenă cu separări de perlită lamelară mare. Atenuarea propagării ultrasunetelor în otel este neînsemnată.

Cea mai pronunțată reducere a vitezei transversale a ultrasunetelor de 7,8 % se constată la proba 6.6, încălzită la  $AC_1$  și răcitată în apă, fără atenuarea propagării ultrasunetelor.

În schimb atenuările cele mai accentuate ale ultrasunetelor se constată la proba 6.8 (încălzită la  $AC_1$  și răcitată în aer), și la proba 6.9, încălzită la  $AC_3$  și răcitată în aer, însă cu repetarea acestui tratament.

Influența mărimiții grăuntelui se constată la proba 6.15, unde reducerea vitezei transversale a ultrasunetelor este de 5,6 %.

Din cele expuse rezultă că procesele termice executate mai ales în condiții aleatoare pot să conducă la modificări în ceea ce privește caracteristicile tehnice ale materialului.

Se poate menționa că probele încălzite între  $700\ldots800^{\circ}\text{C}$  se produc transformări care influențează negativ propagarea ultrasunetelor în otelul analizat. De reținut că răcirea de la această temperatură cu viteze mai mici, în special în aer, influențează negativ parametrii care definesc propagarea fascicolului ultrasonic în metal. Pentru aceleasi temperaturi răcirea cu viteze mari, corespunzător efectului de răcire în apă, reduce rezistența de propagare a

ultrasunetelor în otel. În cazul sudării prin topire un volum apreciabil de otel va ajunge la aceste temperaturi și răcirea se va face cu viteze mici, datorită aportului de căldură la depunerea stratelor intermediare.

Dacă încălzirea la temperatura de  $1000^{\circ}\text{C}$  are un efect negativ mai puțin pronunțat în această privință, totuși prin repetarea ciclurilor de încălzire și răcire se mărește rezistența de propagare a ultrasunetelor în otel (cazul probelor 6.5 și 6.9).

Energia ultrasonoră contribuie într-o măsură apreciabilă la elucidarea fenomenelor care au loc în material, datorită influenței proceselor termice.

Aplicind relațiile cunoscute și pe baza vitezelor de propagare ale ultrasunetelor s-au determinat constantele fizice E și G pentru cazurile cercetate.

Se constată valori mult diminuate ale modulelor E și G, în comparație cu valorile otelului în starea de livrare determinate și anume:

$$E = 2056672,3 \text{ daN/cm}^2$$

$$G = 773185,08 \text{ daN/cm}^2$$

Cele mai mici valori ale acestor constante sunt obținute în cazul probelor 6.6, 6.3 și 6.2, la care modulul de elasticitate longitudinal are valori sub  $1.900.000 \text{ daN/cm}^2$  iar cel transversal mai mici de  $700.000 \text{ daN/cm}^2$ .

Aceste determinări sunt foarte prețioase având în vedere simplitatea metodei de investigare.

De reținut că în toate cazurile s-a considerat constantă densitatea și coeficientul lui Poisson.

### 6.3. Determinarea parametrilor care definesc propagarea ultrasunetelor în probele sudate

Probele cercetate cu dimensiunile  $110 \times 170 \text{ mm}$  au fost prelevate dintr-o probă sudată cu dimensiunile  $500 \times 300 \text{ mm}$  din otel marca CL37 STAS 500-80 și grosimea de  $15 \text{ mm}$ . Proba a fost sudată cap la cap, conform celor prezентate în capitolul 4.

Pentru delimitarea volumului de metal cercetat au fost executate două găuri, din care două amplasate în axa cusăturii sudate.

Amplasarea găurilor pe probă este prezentată în fig. 6.3.1. În aceeași figură este conturată și zona de recoacere la albastru.

Cercetările au fost efectuate pe aceeași probă în două situații: după sudare și după recoacere.

In figura 6.3.1. se prezintă direcțiile după care au fost ex-

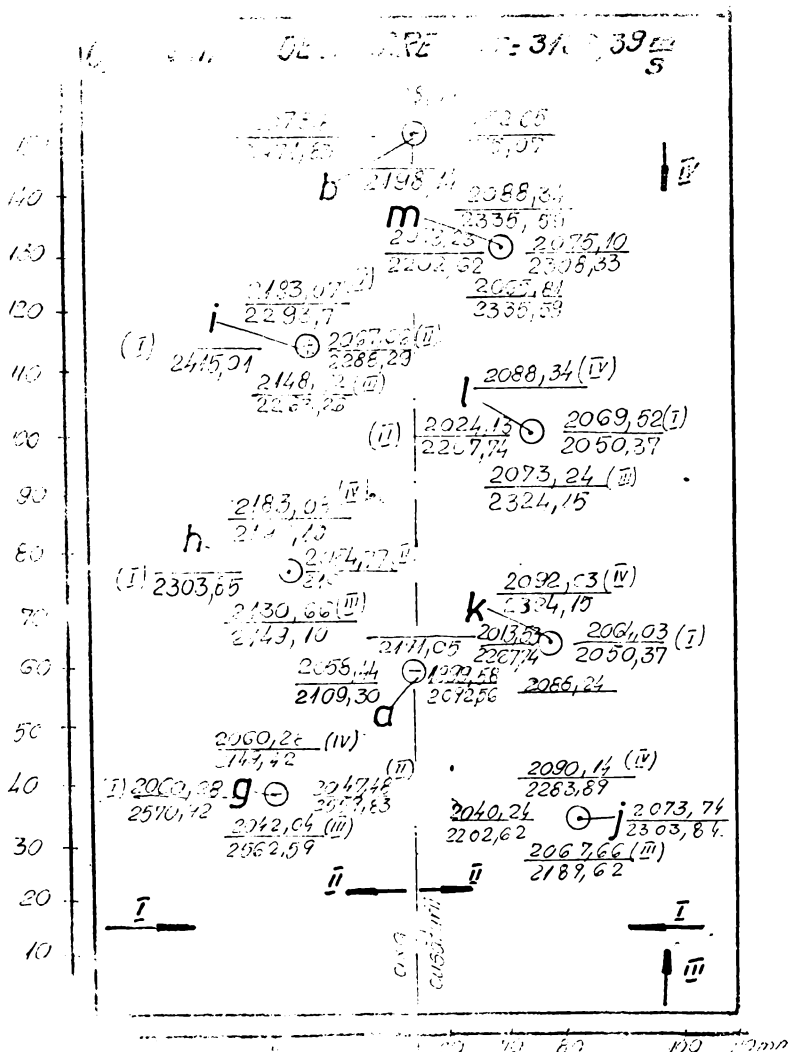


Fig.6.3.1.

Pozitia gaurilor, directiile de iradiere si viteza transversala a ultrasunetelor in proba sudata  
si de a evidenția modificările zonelor cercetate. Amplificarea a fost aleasă astfel încât să se obțină primul ecou de referință cu amplitudinea maximă de 70 mm.

De asemenea s-a urmărit si duritatea Vickers HV 50 in jurul g-

cutate iradiere-  
le(I,II,III si  
IV).

Cercetarea ultra-  
sonoră s-a efec-  
tuat utilizând  
capul de palpare  
miniatură tip  
MWB 45 și defec-  
toscopul tip  
USIP 10 fabrica-  
ție Krautkramer.  
Folosind monta-  
jul cu interfe-  
rometru a fost  
determinată vi-  
teza transversa-  
lă de propagare  
a ultrasunetelor.  
Pentru a avea o  
bază de compara-  
ție, toate măsu-  
rările au fost  
executate astfel  
încit drumul par-  
curs de fascico-  
lul ultrasonic  
să fie de cca. 11  
mm în toate ca-  
zurile.

Astfel s-a urmă-  
rit ca volumul  
de material ana-  
lizat să fie re-  
dus la minim pen-  
tru a fi în măsu-

urilor (fig. 6.3.2). În tabelul 6.3.1 se prezintă datele experimentale obținute pe proba sudată, iar valorile între paranteze se referă la situația după revenirea probei sudate.

Din analiza datelor experimentale obținute rezultă că procesul de sudare influențează în mare măsură proprietățile initiale ale oțelului.

Așa că la probele sudate au fost constatate următoarele, în comparație cu oțelul în stare de livrare:

- reducerea vitezei transversale de propagare a ultrasunetelor cu 30...36 %;
- creșterea atenuării ultrasunetelor, prin mărirea amplificării cu 16...65 %;

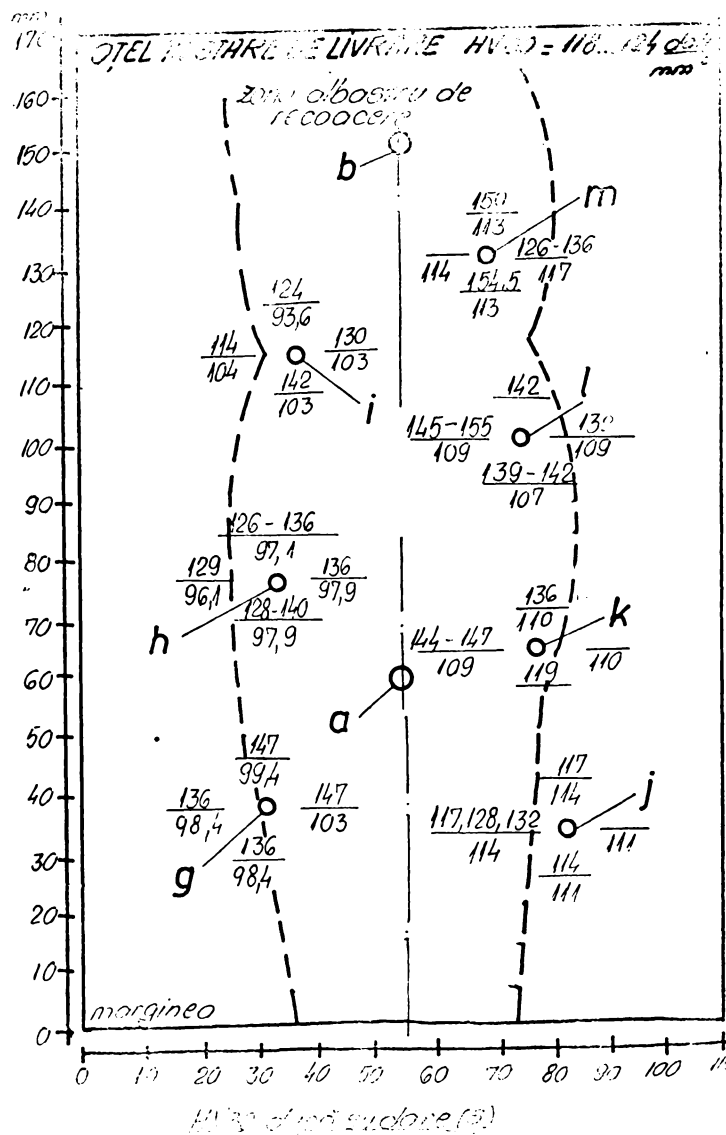


Fig. 6.3.2.

#### Duritatea HV 30 a probei sudate

- se constată o creștere și a durității, obținindu-se valori maxime de HV 30 = 145...155 daN/mm².

In cazul probei sudată și recocăptă aceleși proprietăți se modifică după cum urmează, în comparație cu oțelul în stare de livrare :

Tabelul 6.3.1.

Modul de propagare al ultrasunetelor în probă  
după sudare și după recoacere

Zona ex- tătă iradi- ere	Direc- tii de iradi- ere	Duritatea HV 50/15	Amplificare ptr. recarea maxima	Viteză trans- versală a ul- trasunetelor	Observații
		daN/mm <sup>2</sup>	db	vt(m/s)	
1	I	136(98,4)	107(92)	2060,28(2570,52)	La limita zo-
	II	147(103)	96(100)	2047,48(2559,83)	nei de revo-
	III	136(98,4)	97(93)	2042,04(2562,59)	nire
	IV	147(99,4)	97(96)	2060,28(2149,42)	
2	I	129(96,1)	108(106)	- (2303,85)	In interiorul
	II	136(97,9)	99(98)	2054,77(2191,77)	zonei de re-
	III	128-140(97,9)	99(98)	2130,66(2149,42)	venire.
	IV	126-136(97,1)	102(100)	2183,08(2196,10)	
3	I	114(101)	108(98)	- (2415,01)	In interiorul
	II	130(103)	94(100)	2067,66(2268,29)	zonei de re-
	III	142(103)	95(94)	2148,52(2263,26)	venire.
	IV	129(93,6)	102(94)	2183,07(2293,7)	
4	I	-	107(104)	2078,84(2471,83)	In axa cusătu-
	II	-	105(105)	2052,95(2375,07)	rri sudată.
	III	-	- (100)	- (2198,14)	
	IV	-	- (107)	- (2328,04)	
5	I	-	108(102)	2058,44(2109,50)	In axa cusătu-
	II	-	105(108)	1999,58(2092,56)	rri sudată.
	III	-	- (100)	- (2171,05)	
6	I	126-136(117)	93(101)	2075,1 (2308,33)	In interiorul
	II	- (111)	94(98)	2073,23(2292,62)	zonei de re-
	III	154(113)	99(102)	2065,81(2335,59)	venire.
	IV	150(113)	93(96)	2088,34(2335,59)	
7	I	132(109)	95(108)	2069,52(2050,37)	La limita zo-
	II	145-155(109)	99(98)	2024,13(2267,74)	nei de revo-
	III	143-159(107)	93(96)	2073,24(2324,15)	nire.
	IV	142(-)	93(96)	2118,93(-)	
8	I	- (110)	127(104)	2064,03(2050,37)	La limita zo-
	II	144-147(109)	127(100)	2013,53(2267,74)	nei de revo-
	III	119(-)	99(-)	2088,24(-)	nire.
	IV	136(110)	90(105)	2092,03(2324,15)	
9	I	- (111)	94(96)	2073,24(2303,84)	La limita zo-
	II	117,128,132(114)	107(100)	2040,24(2202,62)	nei de revo-
	III	114(114)	107(95)	2067,66(2189,62)	nire.
	IV	117(111)	92(95)	2090,14(2283,89)	

Valorile între paranteze sunt pentru cazul probei după recea-  
cere.

- reducerea vitezei transversale de propagare a ultrasunetelor cu 18...35 %, deci se constată o lărgire a domeniului de variație a acesteia și o îmbunătățire în această privință ;

- reducerea atenuării ultrasunetelor, prin micșorarea amplifi-  
cării pentru ecul maxim cu 19...40 %, deci cu o îngustare a do-  
meniului de variație a acesteia ;

- micșorarea duratății, neobținindu-se nici o valoare a aceste-

ia la nivelul durătăii minime a otelului în starea de livrare, duritatea maximă fiind HV 30 = 117 daN/mm<sup>2</sup>.

Comparând datele obținute pe proba sudată și recoaptă cu cele rezultate pe proba sudată se constată următoarele, ea valori limită :

- o creștere maximă a vitezei transversale de propagare a ultrasunetelor de maxim 25 % și minimă de 1 % ;
- o îmbunătățire a transparentei ultrasunetelor corespunzătoare reducerii amplificării între 0 și 27 % ;
- o micșorare a durătăii Vickers HV 30 între 16 și 18 %.

După cum rezultă din tabelul 6.3.1., tratamentul termic aplicat la proba sudată conduce la îmbunătățirea substanțială a parametrilor care definesc propagarea undelor ultrasonice în otel.

In tabelul 6.3.2. se prezintă variația procentuală a vitezei transversale de propagare a ultrasunetelor, a transparentei ultrasonice concretizată prin creșterea sau micșorarea amplificării și a durătăii HV 30, în cazurile analizate și anume:

- a probei sudate în comparație cu starea otelului la livrare;
- a probei sudată și recoaptă în comparație cu proba sudată;
- a probei sudate și recoapte în comparație cu situația otelului în stare de livrare.

Se constată din acest tabel că proba sudată și recoaptă în comparație cu proba sudată prezintă modificări mai esențiale în ceea ce privește transparenta ultrasonică.

Pentru a completa datele obținute au fost prelevate probe în vederea analizei structurale, inclusiv determinarea mărimiilor grăuntelei conform STAS 5490-80.

Tabelul 6.3.2.

Diferența procentuală a parametrilor care definesc propagarea ultrasunetelor și a durătăii

Zona	Dupa sudare fata de starea de livrare (%)	Dupa recoacerea probei sudata fata de proba sudata starea de livrare (%)											
		$\Delta v_T$	$\Delta \alpha_B$	$\Delta HV$	$\pm \Delta v_T$	$\Delta \alpha_B$	$\Delta HV$	$-\Delta v_T$	$\Delta \alpha_B$	$\Delta HV$	$+\Delta v_T$	$\Delta \alpha_B$	$\Delta HV$
		+	-	+	-	+	-	+	-	+	-	+	-
0	I	34	39	+12,4	+25	16	-12,4	18	19	-2,5	-2,5	-2,5	-2,5
	II	35	25	+21,5	+25	4	-21,4	18	30	-17,5	-17,5	-17,5	-17,5
	III	35	26	+12,4	+25	4	-12,4	18	21	-23	-23	-23	-23
	IV	34	26	+21,5	+4	1	-21,4	32	25	-22	-22	-22	-22
1	I	34	40	+6,6	+3	8	-34,2	27	38	-26	-26	-26	-26
	II	35	29	+12,4	+7	1	-38,9	30	23	-23,6	-23,6	-23,6	-23,6
	III	30	29	+10,7	+1	1	-36,8	32	23	-23,6	-23,6	-23,6	-23,6
	IV	30	32	+8,2	+1	2	-34,9	30	30	-24,6	-24,6	-24,6	-24,6

	0	1	2	3	4	5	6	7	8	9	10	11	12	13
I	31	40		-6,1	+1,1			10	-12,9	23	23		-19,8	
II	34	22		+7,4	+11	6			-26,2	27	30		-17,5	
III	32	23		+17,4	+5			1	-37,9	28	22		-17,5	
IV	30	22		+2,5	+5			8,5	-32,5	27	22		-29,2	
I	34	39		-	+19		2,9		-	21	35		-	
II	35	36		-	+16		-		-	24	36		-	
I	34	40		-	+2		5,9		-	28	32		-	
IV	36	36		-	+5	2,8			-	33	40		-	
I	34	21		+8,2	+11	8,6		-	-12	26	31		-3,4	
II	34	22		-	+6	4,3				30	23		-	
III	34	16		+27,7	+13	14,6			-39,2	26	32		-7	
IV	33	21		+24	+12	3,2			-32,7	26	25		-7	
I	34	23		+9,1	-1	13,7			-21,1	35	40		-11	
II	34	29		+24	+12		1		-36	28	23		-11	
III	34	21		+16,1	+12	3,2			-32,7	26	25		-13,1	
IV	34	21		+17,4	=	2				35				
I	34	65		-	1		17,6			35	35		-11	
II	34	65		-20,2	+13		27		-33,5	28	30		-11	
III	33	29		-1,6	+12					25				
IV	33	17		14,9	+11	16,7			-23,6	26	36		-11	
I	34	22		-	+10	2,1				27	25		-11	
II	35	39		+4,1	+8		7		-10,5	30	30		-6,1	
III	34	39		-6,1	+6		12,6		-	30	23		-6,1	
IV	33	19		-3,4	+9	3,2			-5,4	27	23		-11	

In tabelul 6.3.3. se prezinta analiza structurala din proba sudata si recoaptă.

Tabelul 6.3.3.

## Analiza structurala in zonele probei sudate

Proba	Distanța la axa eurăsăturii (mm)	Durata teare HV30 (daN/mm²)	Analiza structurală	Punctaj STAS-5490-80
Gaura 2	22	126-140	Structură poliedrică mare cu perlită la limita grăunților	4/5/6
Gaura 5	0	-	Structură poliedrică, neomogenă, parțial în siruri (materialul de bază), parțial struktură dendritică.	6/7,
Gaura 7	22	132-155	Structură cu ferită poliedrică, perlita în siruri (neomogenă)	6/7
Gaura 8	28	136-147		

Din analiza probelor sudate inclusiv după recoacere se constată că în volumul restrins al metalului, care a fost influențat de procesul de sudare nu sunt regăsite situațiile constatate la probele tratate termic, din același oțel.

Este de așteptat acest lucru având în vedere volumul restrins de metal care participă direct la realizarea imbinării sudate, ca

și marca otelului utilizat. Totuși parametri care definesc propagarea ultrasunetelor sint influențati într-o măsură așa cum se arată.

Pentru a extinde cercetarea pe un volum de metal mai mare (de cca. 2 ori mai mult decât în cazul precedent), s-au debitat transversal probe care au fost investigate în același mod ca și cele lalte. În tabelul 6.3.4. se prezintă rezultatele obținute pe aceste probe, în comparație cu otelul în starea de livrare din care se pot deduce următoarele:

- în cazul probei 2, la care reducerea vitezei de propagare a ultrasunetelor este de 4 %, situație care se regăsește la probele tratate termic ca 6,7; 6,16; 6,17; 6,11; 6,13;

- în cazul probei 3 la care reducerea vitezei de propagare a ultrasunetelor este de 8 % situația poate fi asimilată cu proba tratată termic 6.6.

Din cele două cazuri rezultă că se poate lua în comparație, cazul experimental obținut prin încălzire la  $AC_1$  și obținerea unor viteze de răcire aer-apă sau apă-ulei.

În restul probelor sint regăsite reducerile corespunzătoare obținute anterior pe proba sudată și recoaptă.

Ca transparentă se constată o îmbunătățire în ceea ce privește probele 2 și 6 în comparație cu celelalte, însă care sunt totuși inferioare materialului în starea de livrare.

Din tabelul 6.3.4. rezultă modificări spectaculoase din cusătura sudată, avind în vedere neomogenitatea acesteia. Acest lucru este mai evident pentru probele transversale având în vedere că în acest caz este inspectat un volum mai mare al cusăturii, cu caracterul neomogen al acesteia. În materialul care nu a fost influențat de procesul de fuziune aceste variații sunt mai puțin evidente și mai corelate între ele (ex. probele 4,5,6,7 și 8).

Pe baza relațiilor existente între viteză transversală a ultrasunetelor și constantele elastice ale materialului, în figura 6.3.3 se prezintă valorile modulului transversal ( $G$ ) pentru probele sudate ( $S$ ) și a probelor sudate și recoapte ( $R$ ), pentru zonele examineate în raport cu poziția găurilor din cusătură și Z.I.T.

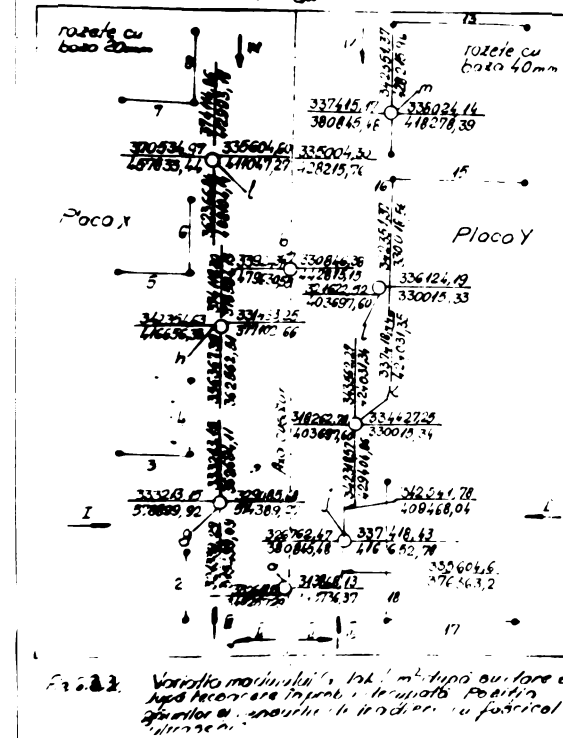
Se constată în cazul probei sudată că vor fi obținute următoarele valori limită ale modulului transversal:

$$G = 321339,29 \dots \dots \dots 374114,86 \text{ daN/cm}^2$$

și longitudinal:

$$E = 870722,51 \dots \dots \dots 995145,52 \text{ daN/cm}^2$$

1.2. roata  
 1.3. sensul de roatare și fizionomia ultrasonică  
 O... = gata  
 ○ = unde se măsoară la  
 Gazeon (3) după centura și după recocere  
 Grecocere  
 Ghidul = 773485,68  $\frac{\text{cm}}{\text{cm}}$



**Tabelul 6.3.4.**  
**Definirea parametrilor care definesc propagarea ultrasunetelor**  
**în probe sudată**

Probă	Distanță la axa cusăturii	Duritatea HV 30	Analiza structurală	Punctaj STS 5490-80	Viteză tra- nsversală a ultrasunete-ecou- lor V <sub>t</sub>	Amplifi- catorul a care păr. ultrasunete-ecou amplitudinea maximă (dB)
1	cusătură	204	Structură dendritică, neomo- genă	5/6/7	2524,20 (50,5)	(+ 33,7) 103 Partea super- saturată a cu- lurilor
2	cusătură	160 -172	Structură de normalizare fe- rito-perlitică, fină, (globuli- zată).		3024,14 (96,5)	(+11,7) 88 Partea cen- trală a imbi- nării
3	adacentă cusături	152 -156	Structură nonhomogenă, parțial transformată, fină, parțial lamelară și în sîruri.		2893,18 (92,3)	102 (+32,7)
4	material de bază	118 -124	Structură lamelară	5	3138,39	67
5	16	118 -125	structură poliedrică	5/6	2635,15 (83,7)	100 (+30,0)
6	22	126 -144	Structură cu ferită polie- drică și perlită în sîruri	6/7	2631,06 (83,6)	82 (+ 6,5)
7	39	107 -114	structură lamelară	5/6	2553,25 (81,3)	94 (+ 22,1)
8	44	119 -135	structură poliedrică	7	2621,41 (83,4)	102 ( 32,7)

OBS: Valorile în paranteze se referă la diferența procentuală față de otelul în starea de livrare.

De reținut că la cusătură se obțin valori și mai mici, anume  $G = 313868,13 \text{ daN/cm}^2$  respectiv  $E = 834389,22 \text{ daN/cm}^2$

In cazul probei sudată și recoaptă vor fi obținute valori superioare ale constantelor elastice și anume :

$$G = 362562,51 \dots\dots 514389,27 \text{ daN/cm}^2$$

$$E = 964416,21 \dots\dots 1368215,4 \text{ daN/cm}^2$$

La aceeași probă în cusătură vor fi valorile minime pentru constantele elastice:  $G = 343736,37 \text{ daN/cm}^2$  și  $E = 914338,73 \text{ daN/cm}^2$

Din cele de mai sus rezultă că procesul de sudare influențează într-o măsură mai însemnată parametrii care definesc propagarea undelor ultrasunete în oțel, în comparație cu situația creată prin aplicarea tratamentelor termice.

Din tabelul 6.3.2. rezultă și influența tratamentului de recoacere a probei sudate, constatăndu-se următoarele în ceea ce privește valoarea modulului G :

- există zone în care tratamentul de recoacere majorează substanțial valoarea modulului G după sudare și anume cca 55...60 % în zona găurii 1, cu 20 ... 28 % în zona găurilor 2,3,6,7,9 ;
- sunt zone unde creșterea valorii modulului G este mai moderată cu 10...15 %, cum este cazul găurilor 1,2,3,6,9;
- sunt zone unde se constată variații neînsemnante ale valorii modulului G în cazul găurilor 2 după direcțiile III și IV ;
- se constată și cazuri în care modulul G după recoacere prezintă valori mai mici în comparație cu acelea după sudare cum este cazul anumitor zone ale găurii 7.

Aceasta atestând că tratamentul de recoacere nu are un efect în acele zone.

Cercetările au continuat pe sudarea cap la cap a două plăci din oțel cu dimensiunile  $60 \times 90 \text{ mm}$ , din aceeași tablă. La distanțe diferite față de cusătura sudată au fost executate găuri cu diametrul de  $4 \text{ mm}$ . Pe fișile  $A_1 \dots A_5$  și  $B_1 \dots B_5$  au fost determinate duritateile Vickers HV 30, lucru indicat în fig.6.3.4.

Valoarea duratăilor este mai mică decât în primul caz, valorile maxime obținindu-se pe fișa  $B_5$ . Această placă s-a executat iradieri cu capul de palpare MWB 45, ca și în cazul anterior, pe direcția indicată în figură.

In figura 6.3.5. se prezintă rezultatele obținute pe proba sudată din figura 6.3.4. și următoarele situații :

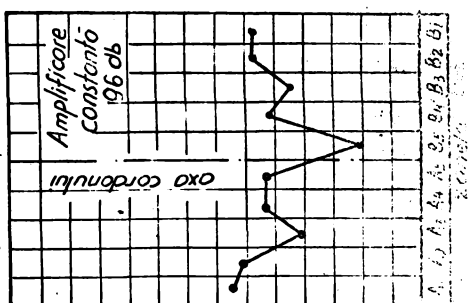
a) amplificarea necesară pentru a menține amplitudinea maximă a eșoului de referință ;

directie de iradiere									
U.S.									
$A_1$	$A_2$	$A_3$	$A_4$	$A_5$	$B_5$	$B_4$	$B_3$	$B_2$	$E$
110	115	114	117	111	127	107	108	107	104
110	116	114	119	117	127	107	108	112	115
109	116	114	118	117	129	106	108	109	116
110	119	117	118	119	130	116	108	129	116
110	115	110	118	119	130	114	105	130	116
○	○	○	○	○	○	○	○	○	○
110	119	114	120	119	123	118	119	122	107
110	116	114	117	119	123	114	113	118	113
115	117	114	115	121	125	116	109	108	113
115	117	116	115	127	127	118	107	108	116
115	114	115	116	127	125	114	116	108	114
113	115	116	121	127	119	116	104	107	107

cusotura sudată

x-x Axo cusoturii

Fig. 6.3.4.  
Variația durătării la proba  
sudată



Amplitudinea ecoului [mm]

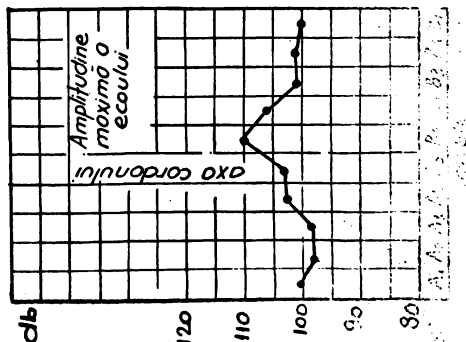


Fig. 6.3.5.  
Propagarea ultrasunetelor în proba  
din fig. 6.3.4.

b) amplitudinea și  
ului de referință  
căruia se referă  
constantă a ampli-  
tudinii respectiv  
db.

De remarcat că  
în  $B_5$  se constată  
cele mai pronunțate  
modificări, în ce-  
sul pă se obțin varia-  
riile ale durătării  
cu 15 % mai mari,  
încreșterea amplitudinii  
maximă a ecoului  
referintă cere o  
jumătate de propaga-  
re cu 10 %, iar  
în  $B_3$  și  $B_2$  se constată  
variații de 10-15 %.

Amplificare constan-  
tă de 96 dB. În figura  
dinca ecoului de  
referință se micșorează cu  
Din cele prezentate se poate  
observa că variații rela-  
tive mici ale durătării, însă  
dificultile datorită sudă-  
rii influențează mai substan-  
țial propagarea ultrasunetelor  
ceea ce trebuie avut în  
dăre la stabilirea para-  
metrului care definește ecoului  
cu ultrasunete a fini-  
rilor sudate.

#### 6.4. Concluzii

Din cercetările efectua-  
te pe probe supuse la  
tindere (identice cu ele-  
tele pentru înregistrare  
tracțiune) s-a constat  
modificări ale vitezei  
propagare ale undelor tr-

probele ultrasonice după cum se prezintă în tabelul 6.4.1. Determinările au fost executate cu sonde normale cu curent Y.

Tabelul 6.4.1.1.

Variatia procentuala a vitezei transversale a ultrasunetelor in functie de deformare

nr. nuvătă	Deformația (%).	Variatia procentuala a vitezei $v_T$	Observații
1	0,1	+ 1,01	In stare de livrare
2	0,2	+ 1,91	metadul a avut
3	0,3	+ 6,10	$v_T = 3160,5 \text{ m/s}$
4	0,4	+ 5,0	
7	0,5	+ 1,15	
5	1,0	+ 1,82	
3	2,0	+ 0,47	

Din acest tabel rezultă că deformațiile la tragere axială și produce creșteri ale vitezei de propagare ale undelor transversale ultrasonice, cel mult de 5 % la o deformație de 0,4 %.

6.4.2. Pe probele supuse tratamentei termice se pot obține diminuări ale aceleiași viteze pînă la maxim 7,8 %.

6.4.3. Probă sudată cu dimensiunile 100x170 mm, prelevată dintr-o altă probă mai mare cu dimensiunile 300x500 mm, sudată cu lățimea prin topire este caracterizată prin modificări esențiale în rîvîntă parasechilor care definesc propagarea undelor transversale, obținîndu-se o diminuare a vitezei de propagare de maxim 36 %, sau care se justifică prin neomogenitatea produsă nu atât prin procesele termice, care în cazul otelului CL 37 experimentată structurală sunt limitate și neînsomnate, însă accentuată datorită deformărilor și tensiunilor renanente produse prin sudare.

#### modificarea constituentilor structurnali și mecanici

Tratamentul de recocere aplicat pe aceeași probă deși aduce modificării în acastă privință nu a fost în măsură de a anula proprietatea elastică și durată prin topire cu aer. Această situație se poate începe tocmai prin diferențele stării zonale (neomogenitate) din împrejurimile procesului de sudare.

6.4.4. Se poate uza o probă cu dimensiuni mai reduse 60x90 mm, conducre la modificări mai puțin importante ai parametrilor care definesc propagarea undelor ultrasonice transversale, ceea ce se justifică tocmai prin existența unor deformații și tensiuni renanente permanente.

## 7.CERCETARI EFECTUATE PE MODELE LA MARIME NATURALA ( SCARA 1 : 1 )

Cercetările au fost executate în continuare pe modele la la mărime naturală (scara 1 : 1), care au fost predate în unele cazuri și de cercetari efectuate pe modele transparente în lumină polarizantă. Aceste experimentări s-au efectuat pentru a completa rezultatele obținute pe probe de laborator.

### 7.1. Stabilirea pe model a nivelului tensiunilor din profilul I sudat utilizat ca lonjeroni la scheletul metalic inferior al locomotivelor

La locomotivele magistrale se utilizează la scheletul metalic inferior profilul greu laminat I cu dimensiunile  $15 \times 10 \times 330 \times 300$  mm, din St 37-3 DIN 17100, procurat din import relația vest 245 .

Pentru evitarea importului acestui profil laminat, s-au cercetat posibilitățile realizării acestuia în construcție sudată, folosind pentru elementele componente tablă din oțel R 3 STAS 2883/2-70 cu grosimea de 8 și 10 mm.

In fig.7.1.1. se prezintă variantele dimensionale experimentate, menținindu-se constante grosimea înimii și a tălpii, de 8 și respectiv 10 mm, ca și înălțimea profilului, variind lățimea b a acestuia cu valorile de 120, 140, 200 și

250 mm, după necesitățile de utilizare. Rosturile îmbinărilor au fost în  $K_{\frac{1}{2}}$  și fără prelucrare.

Cusăturile sudate s-au executat sub flux, folosind ca material de adaos sîrma de sudare SIOMI aliată cu mangan cu diametrul de 2 mm, fluxul fiind acid FSM37.

Sudarea s-a executat în starea liberă a profilului, urmărindu-se în raport cu regimul de sudare mărimea deformărilor rezultate. Regimul de sudare a urmărit realizarea cusăturilor cu înălțimea de 5 mm. Prealabil de sudare elementele au fost fixate prin hafturi de sudură. Ordinea realizării cusăturilor sudate se prezintă în fig.7.1.2., iar în fig.7.1.3. se arată modul de execuție al cusăturilor. Regimul de sudare se prezintă în tabelul 7.1.1.

Înfigia liniară s-a stabilit prin relațiile din literatură 122 și prezentate în anexa 14.

Cusăturile sudate avînd rostul în K sau  $\frac{1}{2}$ -V au prezentat în timpul sudării curgere de metal la rădăcină, ceea ce a creat condi-

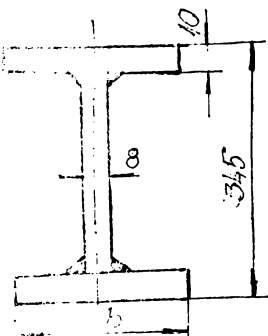


Fig.7.1.1.  
Dimensiunile profilului I sudat

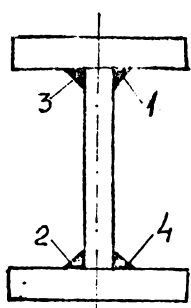


Fig. 7.1.2.  
Ordinea realizării cusăturilor sudate

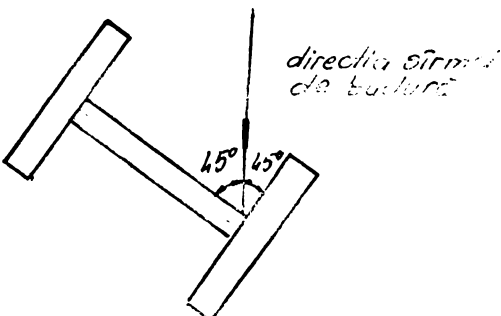


Fig. 7.1.3.  
Modul de execuție al cusăturilor sudate

Tabelul 7.1.1.  
Regimurile de sudare ale modelelor

Nr.	Tensiunea cusături arcului $U_a(V)$	Curent de sudare $I(A)$	Viteza de sudare $v_s(m/min)$	Viteză sîrmei (m/min)	Energia liniară $J/cm$
1	32 - 35	275	0,38	2,6	8437
2	32 - 35	275	0,38	2,6	8437
3	32 - 35	275	0,39	2,6	8307
4	32 - 35	280	0,39	2,6	8330

ții necorespunzătoare realizării depunerilor următoare. În schimb imbinările fără pregătirea rostului nu s-a constatat acest neajuns, în care sens s-a acceptat această soluție tehnologică.

După sudarea modelului cu lungimea de 1200 mm s-a efectuat în primul rînd verificarea dimensională a acestuia, constatăndu-se o săgeată de 4 mm constată pe toată lungimea acestuia, cum se prezintă în fig. 7.1.4. În fig. 7.1.5. se prezintă variația dimensională a dimensiunilor cusăturii sudate.

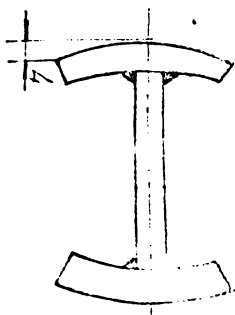


Fig. 7.1.4.  
Sägeata modulului sudat

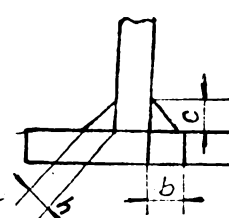


Fig. 7.1.5.  
Dimensiunile cusăturii sudate

125

Măsurarea deformării s-a făcut folosind extensometria tradițională, în care sens au fost utilizate rozete din segmente la  $45^\circ$  unul față de altul. Segmentele au avut baza de 100 mm pe înalțimea profilului, modul de amplasare fiind prezentat în fig. 7.1.6., iar pe lângă două talpi latice a fost de 40 mm, amplasarea rozetelor fiind indicată în fig. 7.1.7. Măsurarea segmentelor s-a efectuat înainte

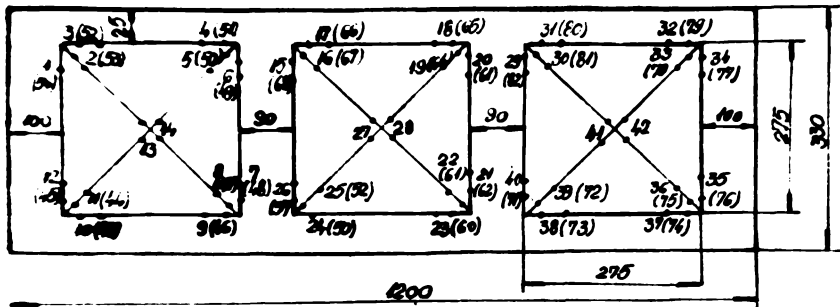


Fig. 7.1.6.  
Modul de amplasare și rozetelor pe înălțimea  
profilului.

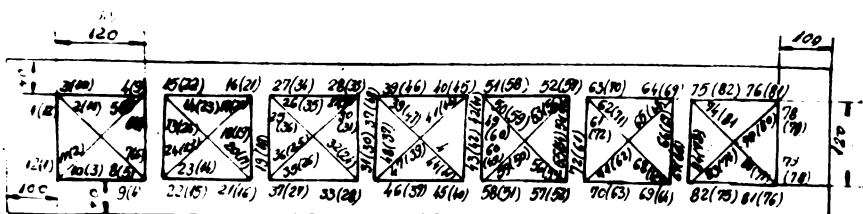


Fig. 7.1.7.  
Modul de amplasare al rozetelor pe talpile  
profilului

după sudare. În tabelele 7.1.2, 7.1.3 și 7.1.4 se prezintă valori de deformări specifice după sudare pentru fiecare segment, iar ca relație lui Hooke generalizată au fost determinate pentru care tensiunile normale principale  $\sigma_I$  și  $\sigma_{II}$ , ca și unde este direcția principală în comparație cu direcții criticașă a sistemului stabilit inițial.

Tabelul 7.1.2

Tabloul 7.1.2.

Situatia pe talpa I a profilului

pozitie	Deformare	$\sigma_I$	$\sigma_{II}$	$\operatorname{tg} 2\varphi$		
		1	2	3	4	5
C	+ 0,000425		0	0	0	0
v	- 0,000325					
d	- 0,001025					
C	+ 0,00015		- 5,92	- 32,16	- 0,0016	
v	- 0,000125					
d	- 0,000925					
O	+ 0,000025		8,03	- 21,53	0,0345	
d	- 0,000025					
v	+ 0,00055					
v	- 0,00005		3,19	- 22,09	- 0,011	
d	- 0,00025					
C	- 0,00045					
O	- 0,00075		4,42	- 20,70	- 0,488	
d	- 0,00045					
v	- 0,000175					
v	- 0,0003		12,18	- 20,05	- 0,288	
d	- 0,000375					
C	- 0,00075					
O	- 0,000725		7,04	- 17,54	- 0,028	
d	- 0,0006					
v	- 0,000025					
v	+ 0,000325		3,67	- 15,75	- 0,061	
d	- 0,0002					
C	- 0,000425					
v	+ 0,00045		5,35	- 16,70	- 0,667	
d	- 0,00045					
O	- 0,000175					
C	+ 0,000725		0,83	- 16,61	0,402	
d	+ 0,0004					
v	- 0,000375					
v	- 0,00025		13,41	- 16,15	- 0,250	
d	+ 0,000275					
O	+ 0,000375					
O	+ 0,000675		16,15	- 5,80	0,257	
d	- 0,000025					
v	- 0,000125					
v	- 0,00025					
d	+ 0,00025		38,73	- 15,14	- 0,707	
C	+ 0,000375					
O	+ 0,000475					
d	- 0,00015		16,27	- 4,77	- 0,750	
v	- 0,00075					
v	- 0,00025					
d	+ 0,00015		13,02	- 4,77	0,091	
C	- 0,0004					
O	+ 0,000625					
d	+ 0,000375					
v	- 0,0003		17,01	- 10,71	- 1,81	
v	- 0,0003					
d	+ 0,00095		8,40	- 11,03	0,027	
O	+ 0,00095					
C	+ 0,000525		17,96	6,55	0,200	
d	- 0,000025					

0	1	2	3	4	5
60	v	+ 0,0001			
61	v	- 0,000175	25,39	- 11,74	0,01
62	d	+ 0,000375			
63	o	+ 0,000575			
64	o	+ 0,00085	14,07	- 0,945	- 0,0135
65	d	+ 0,000325			
66	v	- 0,000525			
67	v	+ 0,00015	12,89	- 4,49	0,467
68	d	+ 0,000875			
69	o	+ 0,000175			
70	o	+ 0,0006	18,25	- 11,42	0,236
71	d	+ 0,00025			
72	v	- 0,00015			
73	v	+ 0,0003	18,38	- 11,53	0,0057
74	d	0			
75	o	- 0,00055			
76	o	- 0,000825	12,62	- 3,17	0,667
77	d	- 0,000225			
78	v	+ 0,00055			
79	v	+ 0,000225	6,68	- 11,93	- 0,294
80	d	+ 0,00005			
81	o	- 0,0007			
82	o	- 0,000475	11,67	- 17,44	0,127
83	d	- 0,000275			
84	v	- 0,000075			

Tabelul 7.1.3.  
Situatia pe talpa 2 a profilului

Segment	Pozitie	Deformatie	$\sigma_I$	$\sigma_{II}$	$\operatorname{tg} 2\varphi$
0	1	2	3	4	5
1	v	0,00043	0	0	0
2	d	-0,0002			
3	o	-0,0012			
4	o	-0,00163			
5	d	-0,00018			
6	v	-0,00013			
7	v	-0,00008	9,47	-25,63	- 0,227
8	d	-0,00025			
9	o	-0,00098			
10	o	-0,00103			
11	d	0			
12	v	-0,00028			
13	v	0,00013			
14	d	+0,00048	2,10	-29,60	- 0,017
15	o	-0,00073			
16	o	-0,00075			
17	d	-0,00028	12,40	-25,00	- 0,018
18	v	+0,00023			
19	v	-0,00005			
20	d	-0,00033			
21	o	-0,00083			
22	o	-0,0007			
23	d	-0,00063			
24	v	0,0001			
25	v	0,0003			
26	d	-0,00038	4,59	-17,19	0,825

0	1	2	3	4	5
27	0	-0,00073			
28	0	-0,00058	6,94	-15,87	+ 0,320
29	d	-0,00018			
30	v	-0,00015			
31	v	-0,00048	1,71	-13,62	- 0,860
32	d	-0,00035			
33	o	-0,00033			
34	o	-0,00063	6,55	-10,46	+ 0,733
35	d	-0,00023			
36	v	0			
37	v	0,00013	0,83	-18,26	- 0,446
38	d	-0,00015			
39	o	-0,00063			
40	o	-0,00088	3,00	-13,50	- 0,263
41	d	-0,00008			
42	v	-0,00018			
43	v	-0,0007	0,842	-23,10	+ 0,013
44	d	+0,00005			
45	o	-0,00081			
46	o	-0,00083	1,09	-32,80	- 0,0015
47	d	-0,00033			
48	v	-0,00015			
49	v	+0,0001	2,38	-18,18	- 0,470
50	d	-0,00033			
51	o	-0,00083			
52	o	-0,00063	2,15	-17,46	- 0,076
53	d	-0,00013			
54	v	+0,00005			
55	v	-0,00108	1,80	-13,98	0,470
56	d	-0,00033			
57	v	-0,00098			
58	v	-0,0009	6,89	-36,37	0,0014
59	d	-0,00023			
60	v	-0,00040			
61	v	+0,00015	2,38	-23,91	- 1,68
62	p	-0,0001			
63	o	-0,00081			
64	o	-0,00085	4,25	-18,11	- 0,477
65	d	-0,00058			
66	v	+0,00013			
67	v	-0,00068	2,72	-18,84	0,419
68	d	-0,0006			
69	o	-0,0011			
70	p	-0,00088	11,17	-26,21	- 0,014
71	p	-0,00013			
72	v	-0,00081			
73	v	+0,00033	2,71	-32,78	- 0,002
74	d	-0,00043			
75	o	-0,00068			
76	o	-0,00091	8,20	-15,55	+ 0,504
77	p	-0,0005			
78	v	+0,00086			
79	p	-0,00033	20,57	-21,62	+ 0,537
80	p	-0,00081			
81	o	-0,00093			
82	o	-0,00093	5,88	-20,58	+ 0,6
83	d	-0,00025			
84	v	-0,00085			

Tabelul 7.1.4.

Situatia pe inima profilului

Numar	Pozitie	Deformatia	$\sigma_I$	$\sigma_{II}$	$\operatorname{tg} 2\psi$
0	1	2	3	4	5
1	v	+0,00012	3,17	-11,76	-0,416
2	d	-0,00035			
3	o	-0,00053			
4	o	-0,00063	6,04	-14,44	-0,535
5	d	+0,00003			
6	v	+0,00023			
7	v	+0,00024	5,17	-13,36	+0,172
8	d	-0,00012			
9	o	-0,00063			
10	o	-0,00062	2,66	-13,16	-0,187
11	d	-0,00032			
12	v	+0,00012			
15	v	+0,00010	2,20	-16,27	-0,149
16	d	-0,00027			
17	o	-0,00077			
18	o	-0,00073	5,57	-16,09	-0,395
19	d	-0,00006			
20	v	+0,000213			
21	v	+0,00023	4,84	-13,66	-0,454
22	d	-0,00019			
23	o	-0,00065			
24	o	-0,00056	13,42	-19,51	-0,0160
25	d	+0,00052			
26	v	+0,00027			
29	v	-0,00012	2,02	-16,93	-0,0164
30	d	+0,00003			
31	o	-0,00059			
32	o	-0,00057	6,37	-12,88	-0,469
33	d	-0,00035			
34	v	+0,00026			
35	v	+0,00017	3,78	-15,33	-0,213
36	d	-0,00037			
37	v	-0,00072			
38	o	-0,00064	5,97	-13,95	-0,333
39	d	-0,00004			
40	v	+0,00026			
43	v	+0,00016	3,48	-12,64	-0,105
44	v	-0,00026			
45	d	-0,0006			
46	p	-0,00058			
47	p	-0,00002			
48	p	+0,00018			
49	v	+0,00019	3,99	-9,24	-0,0159
50	p	-0,00012			
51	p	-0,00044			
52	p	-0,00051	1,47	-10,71	0
53	p	-0,00022			
54	p	+0,00007			
57	p	+0,0001	2,10	-13,24	-0,0411
58	p	-0,00028			
59	p	-0,00063			
60	p	-0,00041			
61	p	-0,00033			
62	v	+0,00023			

0	1	2	3	4	5
63	v	+0,00015	7,56	-15,75	-0,0126
64	d	+0,00063			
65	o	-0,00054			
66	o	-0,00071	3,85	-14,98	-0,124
67	d	-0,00021			
68	v	+0,00018			
71	v	+0,00023	15,32	-23,09	+0,196
72	d	+0,00063			
73	o	-0,0006			
74	o	-0,00092	3,59	-19,34	-0,0642
75	d	-0,00041			
76	v	+0,00017			
77	v	+0,0001	5,89	-9,46	1,70
78	d	-0,0004			
79	o	-0,00027			

In fig. 7.1.8. se prezintă variația deformațiilor din înima profilului sudat. Analizând aceste valori rezultă că segmentele verticale prezintă deformații de întindere (un singur caz fiind o contractie și au valori care ajung pînă la  $20 \mu\text{m}$ , ceea ce înseamnă deformații specifice de 0,02%). În schimb segmentele orizontale ale rozelor indică contractie (un singur caz prezintă întindere) cu valori mai mari, pînă la maxim  $100 \mu\text{m}$ , ceea ce corespunde la o deformație specifică de 0,1%.

Dacă se analizează tensiunile normale principale rezultă următoarele :

- în înima profilului I sudat rezultă tensiuni de întindere cu valori relativ mici, cu excepția rozelor (24, 25, 26) și (70, 71, 72), regiuni cu valori ale tensiunilor de 13,42 și respectiv 15,32 daN/mm<sup>2</sup>. Tensiunile de compresiune ale înimii profilului prezintă valori mai mari în general, obținîndu-se un maxim de -23,09 daN/mm<sup>2</sup> tot la rozeltele (70, 71, 72);

- tălpile profilului prezintă stări de tensiuni mai mari, cum era de așteptat, avînd în vedere și săgeata măsurată pe lungimea profilului. Pe una din tălpi conform tabelului 7.1.2. se constată tensiuni de întindere cu valori mai mari de la 11,41 pînă la maxim 38,73 daN/mm<sup>2</sup>, în zona cu rozeltele (37, 38, 39), (40, 41, 42), (43, 44, 45), (46, 47, 48), (49, 50, 51), (52, 53, 54) și apoi o altă zonă definită prin rozeltele (58, 59, 60), (61, 62, 63), (64, 65, 66), (67, 68, 69), (70, 71, 72), (73, 74, 75) și (76, 77, 78), cu tensiuni de întindere avînd valori de la 12,62 la 25,39 daN/mm<sup>2</sup>. Tensiunile de compresiune cu valori mari se găsesc în partea opusă, în zona delimitată de rozeltele (7, 8, 9), (10, 11, 12), (13, 14, 15), (16, 17, 18), (19, 20, 21), (22, 23, 24), (25, 26, 27), (31, 32, 33), (34, 35, 36), (37, 38, 39), (43, 44, 45).

Se constată o compensare a stării tensionale în sensul că la tensiuni de întindere cu valori mari se obțin stări mai mici dñe tensiunilor de contractie ;

- talpa cealalaltă ale căror tensiuni sunt prezentate în tabelul 7.1.3. este caracterizată prin stări de tensiune de întindere cu valori mici în general, excepție făcind rozeta (79,80,81) în zona de capăt. În schimb tensiunile de contractie sunt mai mari pe întreaga suprafață a tălpiei, ceea ce nu periclitează construcția sudată.

Cercetarea a fost continuată prin analiza macro -i micro structurală a probelor prelevate din profilul sudat.

In general s-a constatat o geometrie corespunzătoare a cusăturilor sudate, asigurîndu-se și o pătrundere bună a acestora. Zona influențată termic din talpa profilului este cuprinsă între 1-2 mm, iar în inima acestuia aceasta este mai extinsă ajungînd pînă la 3-4 mm, avînd în vedere grosimea mai mică a acesteia. Sub aspectul durității Vickers, executată cu sarcina de 5 kgf, rezultă valori în general cuprinse între 175 pînă la 188, cu excepția unei zone cu valori ceva mai mari (203-223 HV 5), care însă nu indică prezența în zona influențată termic a unor constituente duri și fragili.

Din cercetarea efectuată pe modelul sudat al profilului I rezultă că tehnologic pentru realizarea acestora este stabilită și poate înlocui profilele grele obținute numai prin laminare.

Avîndu-se în vedere fabricația de serie a acestor profile sudate trebuie să se aibă în vedere rezolvarea următoarelor probleme tehnice :

- sudarea în dispozitiv a elementelor de bază(modul) care să aibă secțiunea dorită însă lungimea limitată pînă la 2 m ;

- asigurarea unei predeformări înainte de sudare care să împiedice obținerea unor săgeți după sudare cu valoarea de cca 4 mm.

Valoarea predeformării(C) poate fi stabilită cu ajutorul relației lui Kloppel exprimată după cum urmează :

$$C = \frac{l \cdot a}{30 \cdot t} \quad (7.1.1.)$$

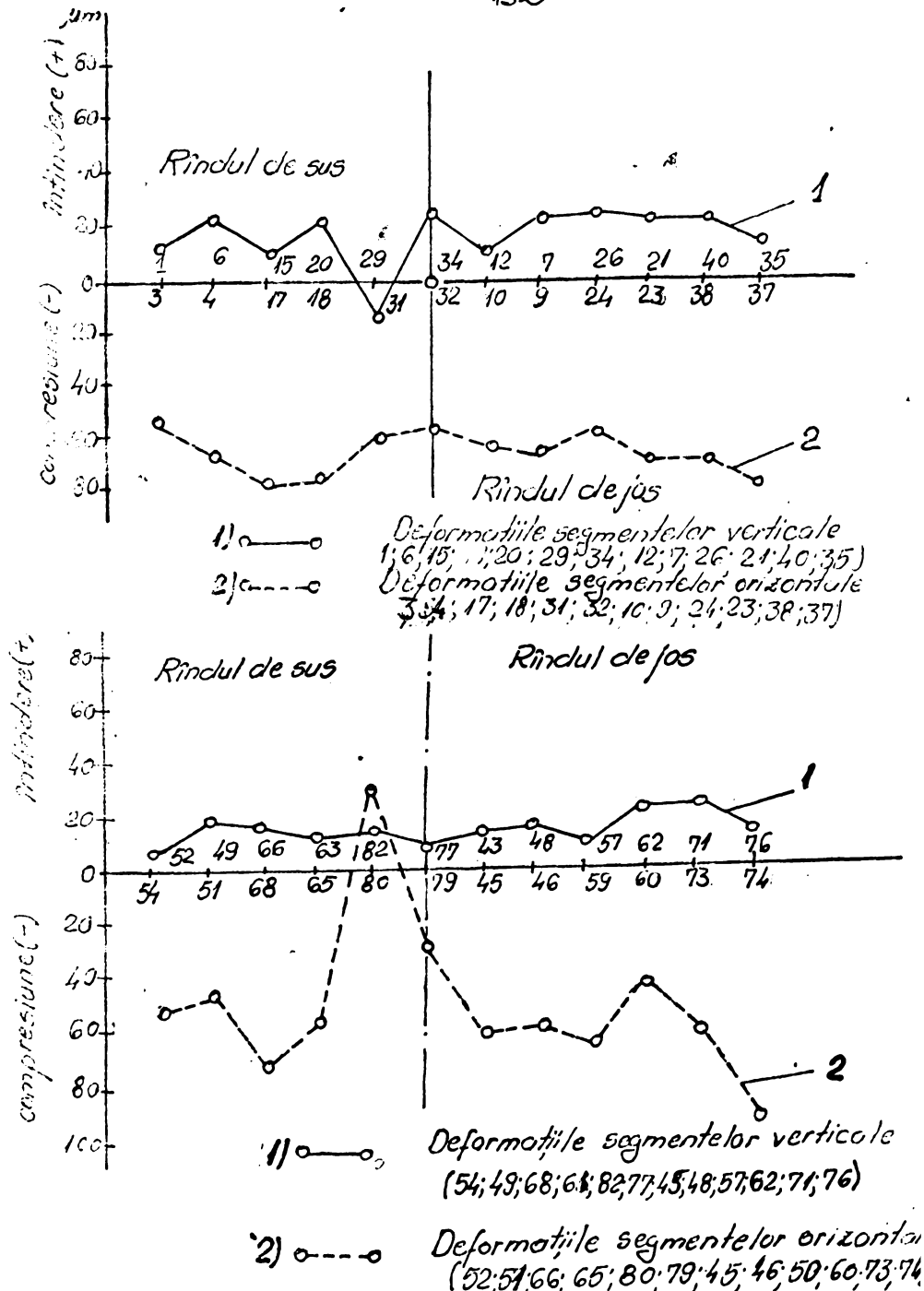
unde:

$l$  = lățimea tălpiei profilului ;

$a$  = grosimea sudurii ;

$t$  = grosimea tălpiei.

Avînd în vedere lățimea variabilă a profilului, celelalte dimensiuni rămînind constante, rezultă valorile c ale predeformării conform tabelului 7.1.5.



Variația deformărilor din înălțime

Fig. 7.1.8.

Tabelul 7.1.5.

Valoarea predeformării  $\epsilon$  (mm)

b	120	140	200	250
c	2,0	2,3	3,3	4,2
h	349	349,6	351,6	353,4

Principiul dispozitivului pentru sudarea profilului I este prezentat în fig. 7.1.9, care trebuie să asigure posibilitatea reglării distanței dintre cele două grinzi datorită modificării înălțimii h a profilului, conform dimensiunilor prezentate în tabelul 7.1.5.

Grinda superioară e va fi mobilă, față de grinda inferioară f, cu înălțimea utilă h, care are în vedere predeformările necesare pentru fiecare variantă a profilului sudat.

Grinda superioară e va fi mobilă, față de grinda inferioară f, cu înălțimea utilă h, care are în vedere predeformările necesare pentru fiecare variantă a profilului sudat.

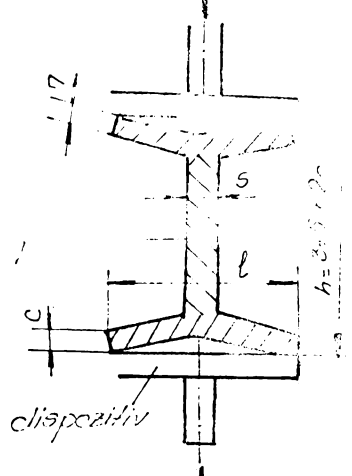


Fig. 7.1.9.  
Principiul dispozitivului  
pentru sudarea profilului  
I

Modelul și-a propus de a analiza imbinarea sudată de la LDE 2100 CP, care se referă la sudarea plăcii frontale cu lonjeronii de la LDE 2100 CP.

Modelul și-a propus de a analiza imbinarea sudată de la LDE 2100 CP, care se referă la sudarea plăcii frontale cu lonjeronii de la LDE 2100 CP.

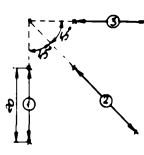
Modelul și-a propus de a analiza imbinarea sudată de la LDE 2100 CP, care se referă la sudarea plăcii frontale cu lonjeronii de la LDE 2100 CP.

Scheletul metalic inferior al locomotivei este alcătuit din doi lonjeroni consolidati prin două traverse pivot și traverse intermedii. Intreg sistemul trebuie să fie apt pentru a prelua greutatea tuturor agregatelor din sala mașinilor, din care partea principală e constituie grupul diesel-generator. De asemenea scheletul metalic inferior la care se sudează plăcile frontale din postul de conducere I și II trebuie să transmită forța de tractiune a tremului, în regimul specific de exploatare al vehiculelor feroviare [246].

Lonjeronul este alcătuit dintr-un profil greu laminat cu lungimea de livrare 16 m, iar secțiunea transversală I 330x300x10x16 mm, din oțel ST 37-3 DIN 17100. Placa frontală este din tablă de oțel OL-37-4k STAS 500-80 cu grosimea de 20 mm.

Modelul a constat din sudarea unei bucăți din profilul I cu lungimea de 190 mm, placa de bază avind dimensiunile 330x330 mm.

Pentru măsurarea deformațiilor pe profilul laminat I și pe placă frontală au fost fixate segmente cu baza de 20 mm delimitate prin bile din oțel cu diametrul de  $1/16"$ , care au format rozete rectangulare, poziția segmentelor fiind la  $45^\circ$  unul față de altul (fig. 7.2.1)

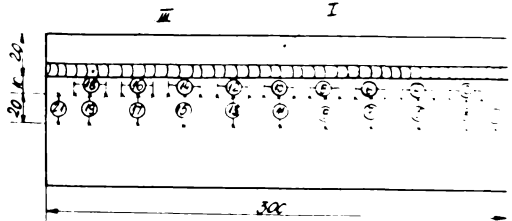


Distanța rozetă

Măsurarea deformațiilor s-a executat prin urmărirea variației lungimii inițiale a segmentelor, cu ajutorul unui extensometru mecanic, cu diviziunea de  $1 \mu\text{m}$ , corecția de temperatură fiind făcută cu un etalon din invar [100,111,153,163].

Pozitia segmentelor pe talpa profilului I este prezentată în fig. 7.2.2., iar pe inima acestuia în figura 7.2.3.

Fig. 7.2.1.  
Rozeta formată din seg-



I Tabă de oțel  $\varnothing 37$  și  $55 \times 30 \times 20$   
II Oțel profilul I  $38 \times 38 \times 20$   
III Porosură de sudură  
Fig. 3 Poziția rozelor de pe talpa profilului I

Fig. 7.2.2.  
Poziția rozelor pe talpa  
profilului I

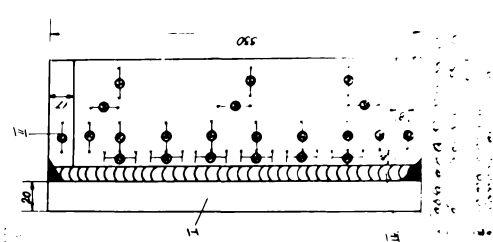


Fig. 7.2.3.  
Poziția rozelor pe inima  
profilului

Poziția rozelor pe placă frontală este prezentată în figura 7.2.4. Modul de realizare al modelului se prezintă în figura 7.2.5 ca și reprezentarea cusăturilor de colț I, (II, II'), (III, III'), (IV, IV'), V. Regimul de sudare este prezentat în tabelul 7.2.1.

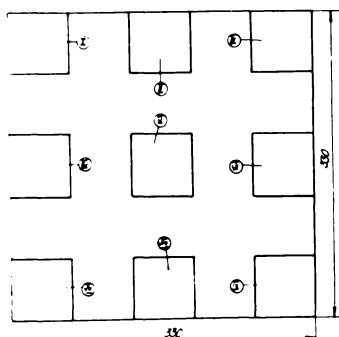
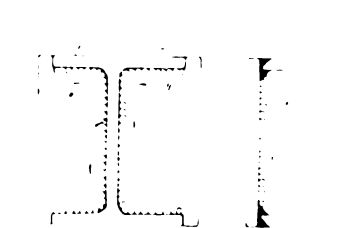


Fig. 7.2.4.  
Poziția rozelor pe placă fron-  
tală a modelului

Energia liniară a fost determinată conform relațiilor [122]. Așa cum rezultă din tabelul 7.2.1. ordinea de execuție a sudurilor a fost următoarea:

- cusătura I, cu straturile 1,2,3,4;
- cusătura II și II' cu straturile 1,2;
- cusăturile III și III' cu stratu-



**Fig. 7.2.5.**  
Modelul sudat din profil I(1) și placă frontală(2).  
Pe talpa (3) și pe înima (4) au fost fixate segmentele pentru măsurarea deformațiilor.

Tabelul 7.2.1.

Regimul de sudare aplicat la model

Cusătură sudată	Electrodul folosit		Strat de sudură	Viteză de sudare	Energia liniară
	Tip	Diametrul (mm)			
I	Unibaz	3,25	1	0,22	8553
	Supertit T	4,0	2	0,21	11700
	Supertit T	4,0	3	0,23	11100
	Supertit T	5,0	4	0,27	9140
II	Unibaz	3,25	1	0,18	18450
	Supertit T	4,0	2	0,19	10520
II'	Unibaz	3,25	1	0,26	7570
	Supertit T	4,0	2	0,31	7200
III	Unibaz	3,25	1	0,28	7260
	Supertit T	4,0	2	0,30	7120
III'	Unibaz	3,25	1	0,27	8520
	Supertit T	4,0	2	0,20	12100
IV	Unibaz	3,25	1	0,32	6380
	Supertit T	4,0	2	0,37	3570
	Supertit T	4,0	3	0,31	4820
IV'	Unibaz	3,25	1	0,31	6120
	Supertit T	4,0	2	0,36	6030
	Supertit T	4,0	3	0,30	5050
V	Unibaz	3,25	1	0,24	7080
	Supertit T	4,0	2	0,26	9750
	Supertit T	4,0	3	0,26	8500
	Supertit T	4,0	4	0,27	8900

rile 1,2 ;

- cusăturile IV și IV', cu straturile 1,2 ;
- cusătura V cu straturile 1,2,3,4.

După execuțarea succesivă a cusăturilor sudate au fost efectuate măsurări ale lungimii segmentelor, urmărindu-se astfel variația acestora. Ca urmare acestor măsurători au fost obținute deformațiile

specifice indicate în tabelul 7.2.2. pentru placă frontală și în tabelele 7.2.3 și 7.2.4. pentru profilul I, după efectuarea cusăturilor sudate. Măsurarea segmentelor s-a efectuat după executarea cusăturilor sudate, grupate după cum se arată în tabele și la 24 ore după sudare. Pe baza rezultatelor experimentale obținute se determină deformațiile specifice după executarea cusăturilor sudate și se indică de asemenea influența fiecărei imbinări sudate executate în comparație cu imbinarea efectuată anterior pentru a evidenția modificările survenite.

Din tabelul 7.2.2. rezultă că în placă frontală cele mai mari deformații se obțin în zona rozetelor I, III, IV, VII și VIII. Se constată și două cazuri în care deformațiile specifice sunt nule, ale segmentelor 5 și 19, după executarea imbinării sudate V. În mod deosebit merită să fie evidențiate deformațiile mari care depășesc chiar 0,5 %, care rezultă după executarea imbinărilor sudate, obținindu-se și cel mai pronunțat efect al detensionării în timp a sudurilor, respectiv după trecerea a 24 de ore de la terminarea executării tuturor cusăturilor sudate.

Rozeta simetrică (VII) prezintă deformații mari, dar nu chiar la aceeași zonă definită prin rozeta IV. Ceea ce caracterizează ambele zone este faptul că deformațiile sunt alungiri. De reținut că efectul cel mai pronunțat al detensionării în timp, caracterizat prin cele 24 de ore trecute după terminarea operațiilor de sudare se manifestă în cazul segmentului 5 al rozetei II, efectul fiind de 0,1%.

Dacă analizăm efectul unei cusături, comparativ cu situația anterioară merită să fie evidențiate următoarele:

- după executarea cusăturilor (II, II') și (III, III') se obțin efecte maxime și anume +0,119 % la segmentul 3 al rozetei I și de +0,184 % la segmentul 21 din rozeta VII ;

- după sudarea imbinărilor (IV și IV') în comparație cu situația precedentă s-au obținut -0,112 % la segmentul 4 al rozetei II, și -0,212 % la segmentul 24 al rozetei VIII ;

- după realizarea imbinării V s-au obținut valorile de -0,144% la segmentul 10 din rozeta IV și de -0,125 % la segmentul 20 al rozetei VII ;

Deformațiile de pe tanță profilului I sudat la placă frontală prezintă în general valori mai mari, în mod deosebit segmentele perpendiculare la cusătura sudată de asamblare. În mod deosebit segmentul 1 prezintă contractări pronunțate cu valori cuprinse între -0,87% pînă la -1,032 %, după executarea imbinărilor sudate I, (II, II') și

**Tabelul 7.2.2.**  
**Deformările specifice (%) ale segmentelor de pe placă**

Seq- uent	In comparație cu situația inițială după execuțarea ensișturilor	Re- zeta				Față de situația executării ensăturii precedente			
		III, IV, V	IV-IV'	V	La 24 ore după sudare	(III, III')	IV-IV'	V	La 24 ore după sudare
1	+0,099	+0,125	+0,079	+0,035	-0,065	+0,026	-0,046	-0,044	-0,030
2	-0,244	-0,199	-0,214	-0,264	-0,239	I	+0,045	+0,015	-0,023
3	+0,050	+0,274	+0,269	+0,254	+0,279	+0,119	-0,073	-0,015	+0,025
4	+0,050	+0,055	+0,057	+0,085	-0,070	+0,035	-0,12	-0,028	+0,015
5	+0,025	+0,039	+0,010	0	-0,010	II	+0,049	-0,10	-0,100
6	+0,020	+0,015	+0,065	+0,025	+0,025	-0,015	+0,059	-0,049	-0,043
7	+0,029	+0,119	+0,124	+0,169	+0,140	+0,080	+0,005	+0,045	-0,030
8	+0,025	+0,025	+0,045	-0,001	-0,004	III	0	+0,020	+0,003
9	+0,035	+0,050	+0,060	+0,085	+0,070	+0,015	+0,015	+0,025	+0,015
10	0	+0,025	+0,015	+0,029	+0,010	+0,010	+0,025	+0,010	+0,029
11	+0,390	+0,395	+0,356	+0,320	+0,355	IV	+0,085	-0,039	+0,036
12	+0,300	+0,592	+0,597	+0,512	+0,590	+0,092	+0,005	+0,035	+0,070
13	+0,001	+0,020	+0,012	+0,065	-0,040	+0,035	-0,062	+0,063	+0,025
14	+0,015	+0,050	+0,019	+0,025	-0,003	V	+0,025	-0,021	+0,044
15	+0,049	+0,395	+0,035	+0,010	+0,010	+0,055	-0,060	+0,025	0
16	+0,015	+0,055	+0,045	+0,195	+0,180	+0,050	-0,020	+0,150	-0,015
17	+0,020	+0,035	+0,035	-0,075	-0,080	VI	+0,015	-0,040	-0,070
18	+0,050	+0,095	+0,095	+0,045	+0,030	-0,040	-0,050	+0,045	+0,020
19	+0,050	+0,030	+0,030	+0,040	+0,020	+0,025	+0,055	+0,125	-0,020
20	+0,003	+0,040	+0,034	+0,296	+0,350	VII	+0,184	+0,016	-0,044
21	+0,140	+0,324	+0,065	+0,240	+0,045	+0,005	+0,045	+0,045	+0,005
22	+0,035	+0,040	+0,070	-0,100	-0,070	+0,035	-0,120	-0,030	-0,030
23	+0,035	+0,057	+0,070	-0,120	-0,126	VIII	+0,027	-0,222	+0,025
24	+0,030	+0,075	+0,050	+0,035	+0,035	+0,025	-0,040	-0,006	-0,010
25	+0,040	+0,050	+0,040	+0,030	+0,035	+0,080	-0,020	+0,005	+0,025
26	+0,030	+0,020	+0,040	+0,015	+0,025	+0,045	+0,060	+0,025	+0,010
27	+0,025	-0,020	-0,020	-0,020	-0,020	-0,020	-0,020	-0,020	+0,010

**Tabelul 7.2.3.**  
**Deformările specifice (%) ale segmentelor de pe talpa**  
**profilului I sudet la**  
**placa frontală**

Seq. ment	In comparație cu situația inițială cuașturilor	La 24 ore după execuțarea			Față de situația executării cuașturii precedente			OBS.
		II, III, IV, III,	V	VI	IV-VII	VIII	IX	
1	-1,032	-0,903	-0,998	-0,965	-0,156	+0,129	-0,393	-0,062
2	+0,263	+0,076	+0,116	+0,136	-0,207	+0,040	0	+0,020
3	+0,176	+0,065	+0,073	+0,053	+0,171	+0,058	-0,020	+0,027
4	+0,308	+0,364	+0,445	+0,400	+0,056	+0,070	-0,045	-0,123
5	+0,248	+0,134	+0,114	+0,100	+0,129	+0,020	+0,014	+0,029
6	+0,100	+0,025	-0,025	+0,032	+0,025	+0,125	+0,014	+0,044
7	+0,283	+0,165	+0,199	+0,145	+0,180	+0,118	+0,034	+0,044
8	+0,245	+0,080	+0,140	+0,130	+0,165	+0,165	+0,060	+0,035
9	+0,205	+0,165	+0,149	+0,126	+0,124	+0,044	+0,024	+0,036
10	+0,205	+0,055	+0,121	+0,105	+0,150	+0,066	+0,015	+0,060
11	+0,050	+0,055	+0,050	+0,025	+0,070	+0,065	+0,025	+0,045
12	-0,015	-0,010	-0,015	-0,014	-0,015	-0,015	+0,012	+0,012
13	-0,010	-0,010	-0,016	-0,015	-0,135	-0,125	+0,085	+0,025
14	-0,020	-0,020	-0,012	-0,012	-0,124	-0,114	+0,044	-0,026
15	-0,040	-0,040	-0,080	-0,080	-0,149	-0,134	+0,035	+0,035
16	-0,053	-0,053	-0,055	-0,055	-0,197	-0,190	+0,044	+0,056
17	-0,030	-0,030	-0,075	-0,075	-0,105	-0,025	+0,130	+0,030
18	-0,050	-0,050	-0,115	-0,115	-0,120	-0,110	+0,055	+0,020
19	+0,005	+0,005	+0,020	+0,020	+0,065	+0,045	+0,030	+0,025
20	+0,150	+0,070	+0,080	+0,080	+0,020	+0,080	+0,010	+0,062

Tabelul 7.2.4.

**Reformații specifice (%) ale segmentelor de pe înălțime  
profilului I sudat la placă frontală**

Segment	In comparație cu situația inițială după execuțarea cusăturilor			Fată de situația executării cusăturii precedente			Dupa 24 ore de la su- dare	Dupa 24 ore de la su- dare	OBS.
	I	II, III, IV	V	După 24 ore de la sudar- re	II, III, și (III, III')	IV-IV, (III, III')			
43	+0,033	+0,034	+0,076	+0,034	+0,055	-0,001	+0,042	-0,042	+0,021
45	-0,020	+0,035	+0,050	+0,040	+0,065	+0,015	-0,010	+0,025	-0,025
47	+0,040	+0,015	+0,050	+0,035	+0,075	-0,025	+0,035	-0,015	+0,040
44	+0,005	0	-0,045	-0,030	-0,025	-0,005	-0,045	+0,015	-0,005
46	+0,032	+0,032	+0,060	+0,025	-0,090	0	+0,028	-0,035	-0,115
48	+0,040	0	-0,001	-0,035	-0,005	-0,040	-0,001	-0,034	+0,030

Eforturile unitare principale din profilul I (daN/mm) Tabelul 7.2.5.

Segment	După sudarea cusăturilor sudate făță de situația inițială			La 24 ore după sudare	Eforturi unitare normale principale
	I	II, III, IV	V		
43, 44	8,423	7,846	14,423	5,769	11,208
45, 46	5,307	10,292	17,307	10,961	8,769
47, 48	11,00	3,461	11,460	5,654	16,962
43, 44	3,576	2,354	-5,123	-4,569	0,803
45, 46	-4,707	9,808	15,692	8,538	-16,239
47, 48	11,00	1,038	3,230	-5,654	4,038
43, 44	2,70	2,75	7,50	3,46	4,90
45, 46	3,23	2,54	2,58	2,62	7,45
47, 48	2,27	1,21	4,05	3,68	6,15

(III, III'), menținându-se ridicate și după celelalte cusături sudate (peste -0,9 %) și chiar după detensionarea de 24 ore a ansamblului sudat. Se înțelege că în această zonă și influența realizată de fiecare cusătură sudată este apreciabilă în comparație cu situația precedentă și anume cu valori în jurul a -0,1 %.

De reținut că în cazul celorlalte segmente verticale la cusătura sudată deformațiile sunt în general pozitive, ceea ce înseamnă că se produc alungiri, cu excepția a trei situații (2 la segmentul 11 și una la segmentul 21). De asemenea trebuie subliniat faptul că aceste deformații ale segmentelor verticale indică valori mai mari după executarea cusăturii I. Influența executării cusăturilor sudate în comparație cu situația creată anterior se concretizează de asemenea prin deformații cu valori apreciabile în special după executarea cusăturilor (II, II') și (III, III'), care sunt contractări în general (cu excepția segmentului 7 care este pozitivă). În schimb după executarea cusăturilor (IV, IV'), se constată că influențează în general prin deformații pozitive, situația anterior creată, cu excepția segmentului 9 care este negativă și nulă la segmentul 11, valoarea acestora fiind însă mai mică. După executarea cusăturii sudate V, influența este caracterizată prin deformații negative, cu excepția segmentului 3 care este nulă și cea a segmentului 11 care este pozitivă, cu valori de asemenea mici. Detensionarea după 24 de ore de la sudarea completă a modelului indică o influență pozitivă a deformațiilor, cu excepția segmentului 1,7 și 11, unde se constată valori negative ale acestora.

Valori mai substanțiale se constată în cazul segmentelor 1 și 7.

Segmentele paralele la cusătura sudată indică în general contractări cu valori mai apreciabile la segmentul 8, care ajung pînă aproape de -0,5 %, după executarea fiecărei cusături sudate. În cazul celorlalte segmente se constată valori mai mici, după executarea cusăturii sudate I, și cu valori mai mari după efectuarea celorlalte cusături sudate, influența acestora fiind în același sens, față de situația precedentă.

Segmentele aflate pe grosimea tălpiei indică în general deformații pozitive și cu valori mai mari la segmentul 25 după sudarea cusăturii I.

Pentru a urmări mai bine dinamica deformațiilor segmentelor de pe talpa profilului I se prezintă în fig. 7.2.6. variația segmentelor perpendiculare la cusătura sudată, iar în fig. 7.2.7. același lucru pentru segmentele paralele la acesta.

Din figurile 7.2.6 și 7.2.7 se constată că aliure curbelor care

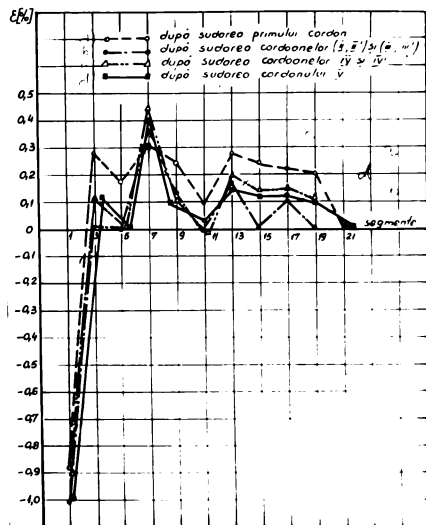


Fig. 7.2.6.

Variatia deformatiilor specifice ale segmentelor perpendiculare la cusatură, după executarea imbinărilor sudate

[116, 168, 98, 70, 44, 39, 111 100]. De reținut că așezarea segmentelor pe inima profilului în apropierea imbinărilor IV și IV' nu a permis efectuarea măsurării deformatiilor după realizarea etapizată a imbinărilor sudate, lucru ce a fost posibil numai pentru segmentele 43-48, aflate pe rîndul următor.

Au fost stabilite eforturile normale principale maxime și minime, ca și cele tangențiale prezentate în tabelul 7.2.5.

In fig. 7.2.8. se prezintă variația eforturilor unitare normale principale maxime de pe talpa profilului I după sudarea succesivă a imbinărilor sudate, iar în fig. 7.2.9. se arată variația în aceleși cazuri a eforturilor normale principale minime. Se constată că rozeta (6,7) prezintă eforturi normale principale care depășesc  $40 \text{ daN/mm}^2$ , fiind considerate ca zone cu deformații plastice, iar rozetele (8,9) și (12,13) manifestă același lucru pentru eforturile normale principale minime. Din fig. 7.2.8. rezultă că eforturile normale principale sunt în general de întindere după executarea imbinărilor succesive,

indică variația deformațiilor este aceeași pentru fiecare segment și după executarea succesiivă a imbinărilor sudate respective, ceea ce corespunde unei comportări logice, modificându-se numai valoarea deformațiilor.

Din tabelul 7.2.4. rezultă că deformațiile care se află pe inima profilului I au valori mai mici. Se constată valori relativ mici ale eforturilor unitare normale principale maxime și ale celor tangențiale, stabilită analitic pe baza legii lui Hooke, cu deformații după două direcții perpendiculare

[116, 168, 98, 70, 44, 39, 111]

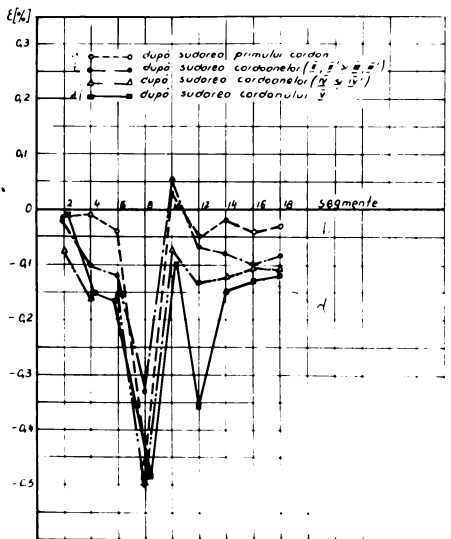


Fig. 7.2.7.  
Variația deformatiilor specifice ale segmentelor paralele la cusătură, după execuțarea imbinărilor sudate

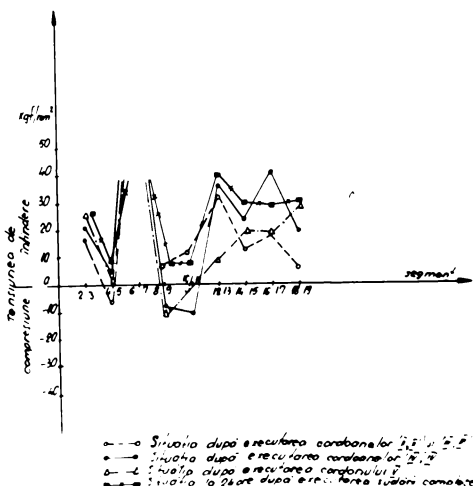


Fig. 7.2.8  
Variația eforturilor principale normale maxime de pe talpa profilului I după execuțarea succesivă a imbinărilor sudate

cu excepția zonei rezetelor (8,9) și (10,11) după executarea imbinărilor sudate (II, II') și (III, III'), ca și după sudarea cusăturii V. Din Fig. 7.2.8 rezultă că eforturile principale normale minime sunt de compresiune în general, exceptie făcind zona rezetelor (10,11) și (12,13) în situația după 24 ore de la sudarea completă a modelului, cînd acestea sunt pozitive, însă cu valori mici. În situațiile care fac excepție de la comportarea generală a rezetelor, trebuie să se reconsideră semnificația alungirilor specifice în relațiile care definesc eforturile normale principale maxime și minime.

In fig. 7.2.10 se prezintă variația eforturilor tangențiale maxime de pe talpa profilului I după executarea succesivă a cusăturilor sudate.

Se constată tensiuni pînă la  $40 \text{ daN/mm}^2$  în zona rezetelor (8,9), iar valori minime în cazul rezetei (10,11).

Pentru determinarea tensiunilor unitare în plana frontală au fost utilizate relațiile care definesc legea lui Hooke generalizată [39, 44, 70, 98, 100, 111,

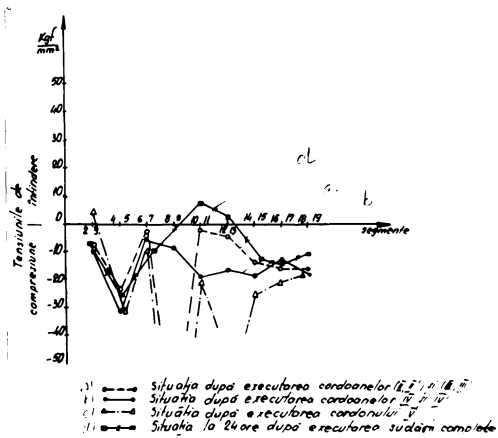


Fig. 7.2.9.

Variatia eforturilor principale normale minime de pe talpa profilului I după efectuarea succesiivă a imbinărilor sudate

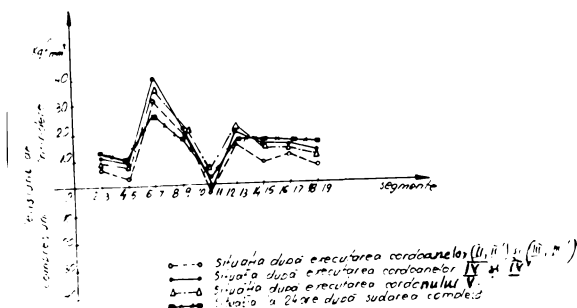


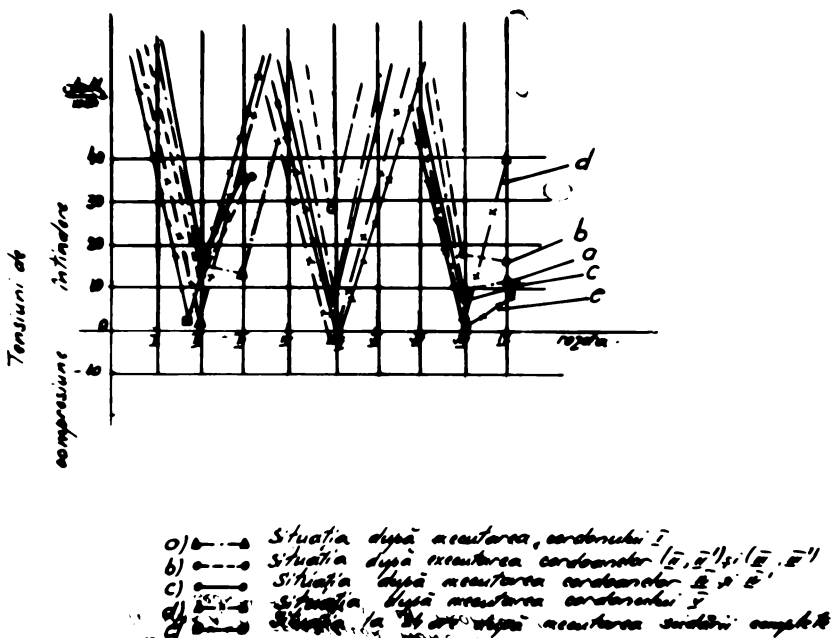
Fig. 7.2.10.

Variatia tensiunilor tangențiale maxime de pe talpa profilului I  
toate cazurile, iar curbele prezintă același aliură. Se constată va-

116, 118) avind în vedere că rozetele sunt alcătuite din 3 segmente așezate la  $45^\circ$  unul față de altul.

Deformația specifică  $\xi_0$  se consideră ca fiind pe direcția paralelă la căstura sudată dintre tălpile profilului și placă frontală, deformațiile specifice  $\xi_{45}$  și  $\xi_{90}$  fiind pe direcții la  $45^\circ$ , respectiv la  $90^\circ$  față de prima. În fig. 7.2.11. se prezintă curbele variației eforturilor principale normale maxime din placă frontală sudată cu profilul I, după execuțarea imbinărilor sudate successive.

Se constată tensiuni numai de întindere în



**Fig. 7.2.11.**  
 Variatia eforturilor principale normale maxime pe  
 placă frontală sudată la profilul I

lori minime ale acestor tensiuni la rozetele II, V, VIII, zone rigidizate datorită inimii profilului I. Zonele cu rozetele I, IV și VII prezintă valori maxime, care depășesc  $40 \text{ daN/mm}^2$  fiind în domeniul plastic. Aceste rozete se găsesc la marginea, aşezate una sub alta. Marginea opusă oferă tensiuni în jurul a  $40 \text{ daN/mm}^2$ .

Analizând curbele de variație ale eforturilor principale normale minime din placă frontală, prezentate în fig. 7.2.12. se constată următoarele:

- + rozeta I prezintă în toate cazurile tensiuni numai de compresiune;
- rozetele III, IV și VII prezintă tensiuni numai de întindere;
- rozetele II, V, VI, VIII și IX prezintă în anumite cazuri tensiuni de întindere și de compresiune;
- rozeta IV prezintă dispersia cea mai pronunțată a valorilor, după sudarea imbinărilor (II, II') și (III, III') și (IV, IV'). Aceste valori depășesc  $40 \text{ daN/mm}^2$ , care se micșorează după executarea cusăturii a V-a. Această rozetă prezintă valori mari și în cazul tensiuni-

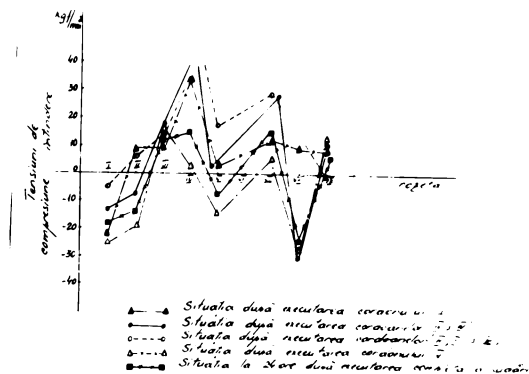


Fig. 7.2.12.

Variatia eforturilor principale normale minime pe placă frontală sudată la profilul I .

lor principale normale maxime. In fig. 7.2.13 se prezintă variația eforturilor tangențiale în cazurile create după executarea imbinărilor sudate succeseve. Se constată următoarele :

- valori care depășesc  $40 \text{ daN/mm}^2$  în cazul rozelor I și IV, iar pînă la  $40 \text{ daN/mm}^2$  rozeta VII ;
- valori minime și grupate prezintă rozeltele II, V și VIII, care se găsesc una sub alta și corespunde inimii profilului I sudat.

Rozeta IX prezintă de asemenea o grupare a valorilor ; - toate tensiunile sunt pozitive. În tabelul 7.2.6. se arată variația valorilor pentru unghiul  $\varphi$  la fiecare rozetă și în cazurile create după executarea cusăturilor sudate succesive. Unghiul  $\varphi$  reprezintă direcția eforturilor principale normale maxime, față de direcția deformațiilor  $\varepsilon_0$  initiale.

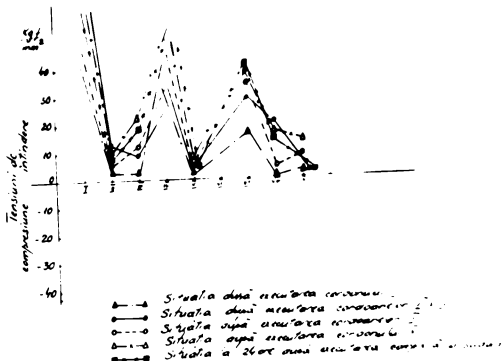


Fig. 7.2.13.  
Variația eforturilor principale tangențiale din placa frontală sudată la profilul I

Tabelul 7.2.6.

Variata unghiului  $\varphi$  în cazurile analizate

Rozeta	Valoarea unghiului I	$(II, II') + (III, III')$	după executarea cusăturilor (IV+IV')	V
I	48°25'25"	39°30'34"	38°5'	37°59'30"
II	28°9'6"	5°40'	6°30'	30°30'12"
III	40°15'16"	28°30'25"	27°20'45"	35°30'37"
IV	6°30'43"	8°30'	4°30'23"	11°24'
V	82°7'30"	43°22'	3°30'32"	1°30'42"
VII	31°30'30"	28°30'46"	18°17'	26°10'57"
VIII	22°30'30"	55°30'18"	86°26'16"	71°35'
IX	9°12'30"	77°20'37"	54°13'30"	60°29'15"

Se constată zone în care variația unghiului este mai puțin evidentă cum este cazul rozetelor I și IV.

In schimb în cazul celorlalte rozete se constată modificări esentiale ale unghiului  $\varphi$  ca în cazul rozetelor II, V, VIII, IX. Valori mici ale unghiului  $\varphi$  are semnificația că direcția eforturilor normale principale maxim sint mai aproape de direcția segmentelor nota-

te cu  $\Sigma_0$  inițiale. De asemenea se observă zone ca exemplu cea corespunzătoare rozetei I, cînd după efectuarea cusăturilor sudate succeseive nu se produc modificări esențiale a direcției efectelor principale maxime. În schimb în zona rozetei II se constată o modificare mai esențială a acestei direcții, după executarea cusăturii I, ca după efectuarea celorlalte cusături sudate această direcție să se apropie de direcția inițială a deformațiilor specifice.

In aceeași zonă după realizarea imbinării sudate V, situația să revină aproape ca aceea după executarea cusăturii I.

In continuare cercetarea a fost continuată pe un alt model realizat în mod similar, însă fără a se mai efectua întreruperi ale sudării pentru măsurarea deformațiilor după fiecare strat.

Modul de amplasare al segmentelor pe talpa profilului I laminat se prezintă în fig. 7.2.14, iar în fig. 7.2.15 se arată același lucru pentru inima profilului. Bază de măsură a segmentelor este 20 mm, di-

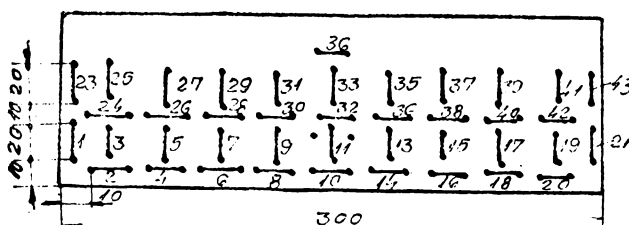


Fig. 7.2.14.

Amplasarea segmentelor pe talpa profilului I

Amplasarea segmentelor pe inima profilului I

namica deformațiilor fiind stabilită cu ajutorul extensometriei mecanice. Pe placa frontală au fost fixate patru rozete notate I-IV în colțurile acesteia, iar alte segmente au fost amplasate pe direcțile axelor de simetrie ale acesteia (vezi fig. 7.2.16). Rozetele I-IV sunt rectangulare cu aceeași bază de măsură.

Măsurarea segmentelor s-a efectuat înainte și după completa sudare. Tehnologia de sudare și modul de realizare al cusăturilor sudate au fost ca în cazul precedent. Regimul de sudare este prezentat în tabelul 7.2.7.

Se înțelege că în acest caz modul de executare al cusăturilor

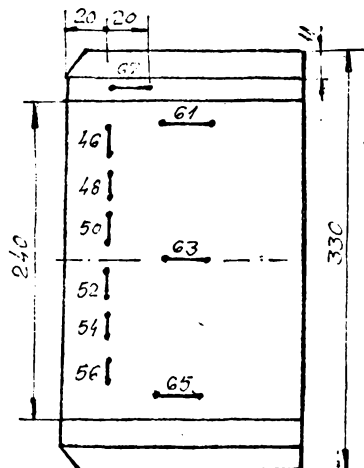


Fig. 7.2.15.

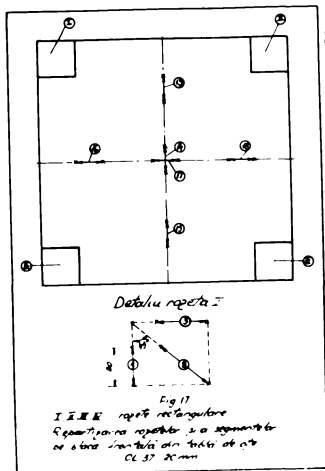


Fig. 7.2.16.

Modul de amplasare al rozelor I-IV și a segmentelor singulare pe placă frontală  
pe care se obține un maxim la segmentul 39 cu valoarea de +0,496 %, iar segmentul 31 are deformăția specifică de +0,244 %.

sudate s-a putut desfășura în mod normal, ne mai fiind întrerupt prin timpul afectat pentru efectuarea măsurărilor deformațiilor suferite de segmentele amplasate pe elementele sudate.

In fig. 7.2.17 se prezintă deformația specifică pentru segmentele perpendiculare la cusătura sudată, care se află pe talpa profilului I. In ceea ce privește segmentele de pe primul rînd prezintă deformații specifice mai mari ca 0,2 % la segmentul 9, care ajunge pînă la +1,162 % iar în al doilea rînd se ob-

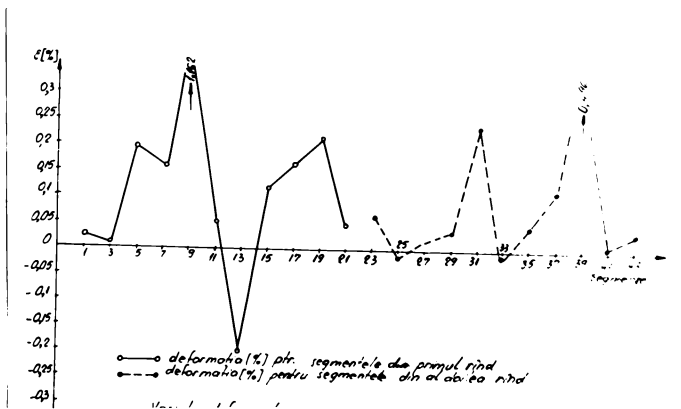
ține un maxim la segmentul 39 cu valoarea de +0,496 %, iar segmentul 31 are deformăția specifică de +0,244 %.

Tabelul 7.2.7.

## Regimul de sudare al modelului

Imbi-narea	Electrodiul	Strat	Viteză de su-dare	Energia liniară
	Tip	Diametru de su-dare	(cm/s)	(J/cm)
I	Unibaz	3,25	1	0,210
	Supertit T	4,0	2	0,300
	Supertit T	4,0	3	0,200
	Supertit T	5,0	4	0,240
II	Unibaz	3,25	1	0,250
	Supertit T	4,0	2	0,209
II'	Unibaz	3,25	1	0,214
	Supertit T	4,0	2	0,207
III	Unibaz	3,25	1	0,292
	Supertit	4,0	2	0,300
III'	Unibaz	3,25	1	0,307
	Supertit T	4,0	2	0,279
IV	Unibaz	3,25	1	0,333
	Supertit T	4,0	2	0,350
	Supertit T	4,0	3	0,333
IV'	Unibaz	3,25	1	0,322
	Supertit T	4,0	2	0,362
	Supertit T	4,0	3	0,324
V	Unibaz	3,25	1	0,181
	Supertit T	4,0	2	0,208
	Supertit T	4,0	3	0,224
	Supertit T	5,0	4	0,248

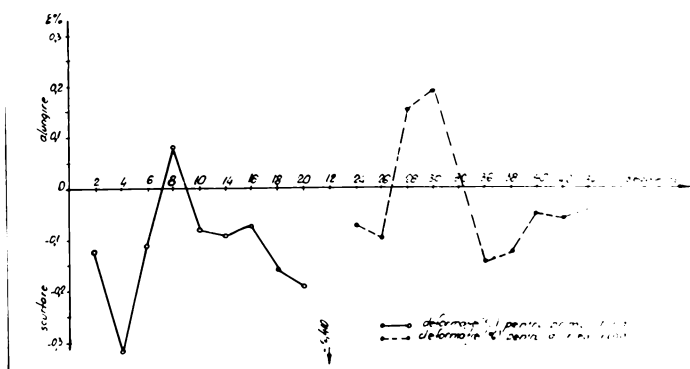
De remarcat că segmentul 31 corespunde intr-o zonă situată în prelungirea celei definite de segmentul 9. De asemenea trebuie remarcat faptul că toate deformațiile specifice sunt de întindere, cu excepția segmentului 13 la primul rînd, cu o valoare de -0,2 %.



**Fig. 7.2.17**  
**Variatia deformatiilor specifice a segmentelor de pe talpa profilului I, perpendicular la curatura sudurii**

Segmentul 25 cu o valoare mai mică de -0,01 % și segmentul 35 cu o valoare foarte mică de -0,00995 %.

In figura 7.2.18 se arată variația deformatiilor specifice ale



**Fig. 7.2.18**  
**Variatia deformatiilor specifice ale segmentelor de pe talpa profilului I paralel la curatura sudaturii**

segmentelor de pe talpa profilului I paralelă la cusătura sudată. În acest caz se constată că deformațiile specifice sunt în general de contractie, exceptie făcind segmentul 8 de pe primul rînd care este pozitivă avînd valoarea de +0,0805 %, iar la rîndul al doilea segmentele 28 și 30 prezintă deformații pozitive cu valorile de +0,15%, respectiv +0,185 %. De reținut că segmentul 8 corespunde cu segmentul 9, iar segmentul 30 corespunde cu segmentele 8 și 9 din primul rînd.

Deformația specifică cea mai pronunțată este la segmentul 4 din primul rînd, cu valoarea de -0,326 %. Celelalte deformații specifice sunt de compresiune cu valori pînă la -0,2 %.

In fig. 7.2.19 se arată variația eforturilor normale principale

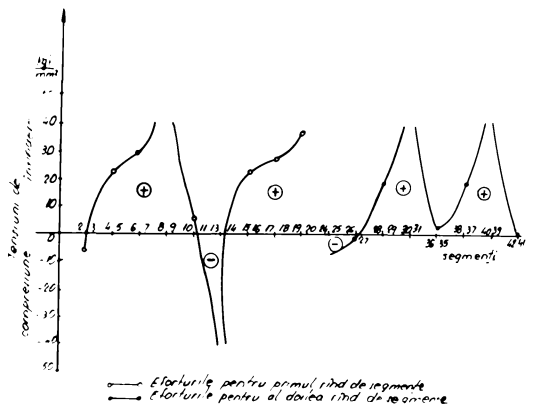


Fig. 7.2.19  
Variația eforturilor principale normale maxime  
de pe talpa profilului I

maxime din talpa profilului I. Se constată comportări plastice în cazul rozetelor (8, 9), care indică eforturi de întindere, ca și în cazul rozetei (13, 14) care se găsește în cazul tensiunilor negative.

In rîndul al doilea comportări plastice se constată la rozetele (30, 31) și (40, 39) ambele în domeniul tensiunilor pozitive. In general tensiunile sunt de întindere, cu excepția rozetei (2, 3) cu o valoare negativă sub  $-10 \text{ daN/mm}^2$  din primul rînd, iar în al doilea rînd se găsesc tensiuni negative la rozetele (24, 23) și (26, 27) cu valori de asemenea mici sub  $-10 \text{ daN/mm}^2$ . In același rînd se constată valori minime la rozetele (36, 35) și (42, 41).

Dacă se analizează tensiunile normale principale minime de pe

talpa profilului I se constată eforturi în general de compresiune fig.7.2.20.

Se constată în domeniul tensiunilor negative o comportare plastică la rozeta(4,5), iar în domeniul tensiunilor pozitive același lucru pentru rozeta(8,9), de altfel singura în acest domeniu. În rîndul al doilea se constată stări plastice în cazul rozelor(26,29) și (30,31). Se mai constată valori pozitive ale tensiunilor și în cazul rozetei(39,40). Aceste comportări sunt în corpondanță cu cele prezentate în ceea ce privește tensiunile normale principale maxime.

Cazul tensiunilor tangențiale principale din talpa profilului I este prezentat în figura 7.2.21. Se constată valori ale tensiunilor

care se referă în domeniul plastic cazul rozetei (8,9) din primul rînd. În primul rînd tensiunile tangențiale principale sunt de întindere în general, exceptie fiind cazul rozelor(10, 11) și(13,14)

care sunt în domeniul eforturilor negative.

În rîndul al doilea se constată valori mici la rozelor(24, 25), (28,29) și(42,41), iar rozeta (26,27) pre-

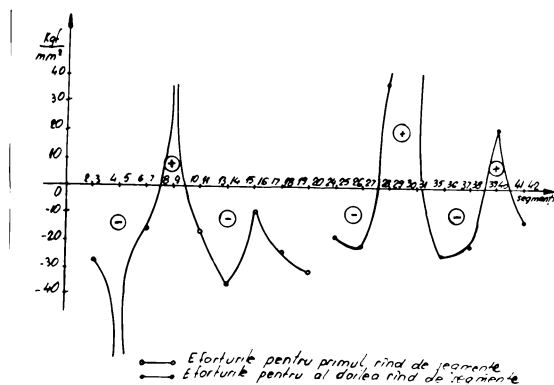


Fig. 7.2.20.  
Variatia eforturilor normale principale minime de pe talpa profilului I

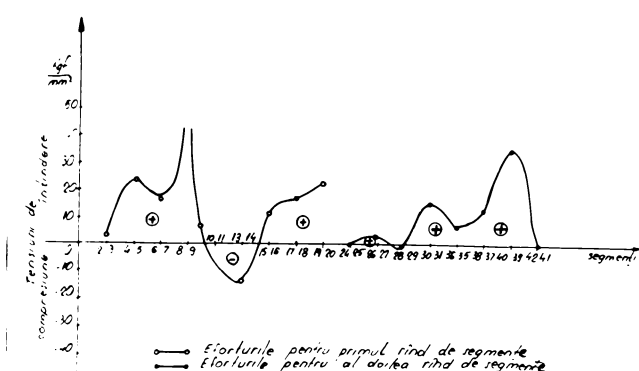


Fig. 7.2.21.  
Variatia eforturilor tangențiale principale din talpa profilului I

zintă valori sub  $5 \text{ daN/mm}^2$ . În rest tensiuni pozitive cu valoarea maximă la rozeta (40,39).

Pe inima profilului se constată deformații specifice și tensiunile din tabelul 7.2.8.

În tabelul 7.2.9. se prezintă variația deformațiilor și a eforturilor unitare principale pentru placă frontală cu grosimea de 20 mm și sudată cu profilul laminat I.

Tabelul 7.2.8.

**Variația deformațiilor specifice și a eforturilor unitare din inima profilului I**

Segmentele perpendiculare la cusătură			Segmentele parallele la cusătură		
Segment	Deformație specifică (%)	Efort unitar ( $\text{daN/mm}^2$ )	Segment	Deformație specifică (%)	Efort unitar ( $\text{daN/mm}^2$ )
61	+0,1192	+25,03	46	-0,020	-4,20
63	+0,055	+11,55	48	-0,613	-
65	+0,020	+ 4,20	50	+0,070	+14,70
67	+0,115	+24,15	52	-0,050	-10,50
			54	-0,052	-10,92
			56	-0,100	-21,00
			62	+0,492	-
			64	-0,623	-
			66	+0,002	- 0,42

Segmentele sunt singulare și eforturile unitare se calculează folosind relația :

$$\sigma = E \cdot \epsilon$$

Se constată deformații specifice cu valori mari în cazul segmentelor 48 și 64, care sunt negative cu valoarea de -0,6 %, iar segmentul 62 prezintă o alungire specifică mare de 0,5 %.

Tabelul 7.2.9.

**Variația deformațiilor specifice și eforturile unitare principale din placă frontală**

Segment (rozeta)	Deformație specifică (%)	Eforturile unitare principale ( $\text{daN/mm}^2$ )		Unghiul $\varphi$
		maxime	minime	tangentială
1	+0,508	domeniul plastic		$\varphi$
2 (I)	+0,040			
3	-0,1865			
4	-			
5 (II)	-0,115	domeniul plastic		
6	-0,1395			
7	-0,0204	-5,985	-17,745	5,655
8 (III)	-0,005			$54^\circ 30' 45''$
9	+0,067			
10	-0,354	domeniul plastic		
11 (IV)	0			
12	+0,0352			

Segment (rezeta)	Deformatia specifica (%)	Eforturile unitare principale	Unghiul $\varphi$
		maxime normale	minime tangentială
			(daN/mm <sup>2</sup> )
13	+0,261	+54,81	
14	-0,015	- 3,15	
15	+0,0717	+ 4,56	S-a aplicat relația
16	+0,0583	+12,24	$\sigma = E \cdot \varepsilon$
17	-0,0735	-15,43	Baza de măsură 60 mm
18	-0,0835	-17,54	

Din tabelul 7.2.9. rezultă că în zonele definite prin rozetele I, II și IV deformațiile sunt în domeniul plastic. În schimb numai rozeta III are deformații specifice mai mici decât 0,2 %, ceea ce a permis aplicarea legii lui Hooke generalizată. Celelalte segmente individuale cu baza de măsură de 60 mm așezate după direcția axei de simetrie orizontală (segmentele 16, 17, 18) prezintă în general deformații specifice mai mici decât 0,2 %, cu excepția segmentului 13. De reținut că în zona centrală a plăcii (segmentele 14 și 17) deformații specifice sunt negative după ambele axe de simetrie, situație normală.

Dacă se compară rezultatele obținute pe cele două modele se constată că în colțuri se obțin în general stări plastice de deformare, existând numai unul din acestea în domeniul elastic. În zona centrală se găsesc deformații minime în ambele cazuri.

Din compararea rezultatelor obținute în cele două cazuri, pe două modele diferite, realizate în principiu după aceeași tehnologie însă se înțelege că regimuri de sudare nu identice se poate deduce că sunt obținute rezultate comparabile. Regimul de sudare este mult influențat de viteza de sudare, prin faptul că la sudarea manuală este dificil de a se realiza efectiv aceleasi viteză de sudare, menținindu-se relativ constante tensiunea arcului și curentul de sudare. Prin variația vitezei de sudare se modifică energia liniară, respectiv căldura introdusă în metal. Se cunoaște influența căldurii introduse atât la încălzire, cât mai ales la obținerea anumitor viteză de răcire [161].

Cu toate acestea se poate arăta că sunt obținute deformații și respectiv eforturi unitare comparabile ca valori, deși repartizarea lor pe elemente nu este chiar aceeași, pentru motivele arătate mai sus. Trebuie avut în vedere că și cusăturile sudate la cele două modele au fost realizate în condiții deosebite, în sensul că la primul

caz, imbinările sudate intermediare au fost executate după un timp indelungat necesar măsurării deformațiilor tuturor segmentelor, ceea ce a permis răcirea completă a metalului. La al doilea model nu s-au mai întîlnit aceste situații, avind în vedere că măsurarea deformațiilor s-a efectuat după sudarea completă a tuturor imbinărilor.

Urmărirea deformațiilor după executarea imbinărilor sudate intermediare permite să se determine valoarea limită a acestora, permitând să se cunoască starea de tensiune creată în situațiile intermediare, de a stabili zonele rigide(plastice), cele elasto-plastice și elastice.

Cunoscind aceste stări limite se poate face aprecieri interesante asupra zonelor care prezintă pericol în ceea ce privește solicitarea mai severă, respectiv pericolul rupeșterii materialului de bază sau al imbinărilor sudate.

Cunoscind valoarea unghiului  $\varphi$  al direcției eforturilor normale principale se poate aprecia cum se modifică acestea în diferite situații, în comparație cu sistemul de referință initial.

Rezultatele obținute pe modele prezintă interes și elucidează o serie de probleme, însă acestea nu elimină continuarea cercetărilor pe construcțiile sudate.

### 7.3. Analiza deformațiilor și a tensiunilor la partea frontală a locomotivei Diesel-electrice LDE 1250 C.E.

Problema a fost să se determine experimental valoarea deformațiilor și a tensiunilor la partea frontală a locomotivei diesel-eiectrice L.D.E.1250 C.P.

Deformațiile au fost măsurate folosind extensometria mecanică prezentată în cap.4. Rozetele au fost alcătuite din segmente perpendiculare între ele, baza de măsură a acestora fiind aleasă cu valoarea de 20,60 și 100 mm. Lungimea segmentelor a fost delimitată prin bile de otel cu diametrul de  $1/16"$ . Măsurarea lungimii segmentelor s-a executat cu extensometrul mecanic sistem Pfender.

Cercetarea s-a executat pe un model la mărimea naturală, deformațiile segmentelor fiind determinate în mai multe situații și anume:

- starea inițială a fost considerată aceea cind elementele componente ale subansamblului au fost prinse în suduri scurte(hafturi);

- starea finală s-a considerat ca după sudarea completă a subansamblului și eliberarea din dispozitivul de sudare.

Condițiile de sudare au fost identice conform tehnologiei de sudare a subansamblului. Lucrarea s-a executat manual, în dispozitiv.

După sudarea completă și eliberarea subansamblului din dispozitiv nu au mai fost executate operații suplimentare pentru eliberarea roșetelor, prin aceasta împrimindu-se măsurătorilor un caracter nediagnostic.

Subansamblul sudat al placii frontale este prezentat în figura 7.3.1. Modul de amplasare ai segmentelor care alcătuiesc roșetele și măsurarea deformărilor se prezintă în fig. 7.3.2. pentru părtele stângă exterior(3) și interior(4) și în figura 7.3.3 pentru părțile drepte stânga și dreapta, exterioare și interioare(1,2,5 și 6).

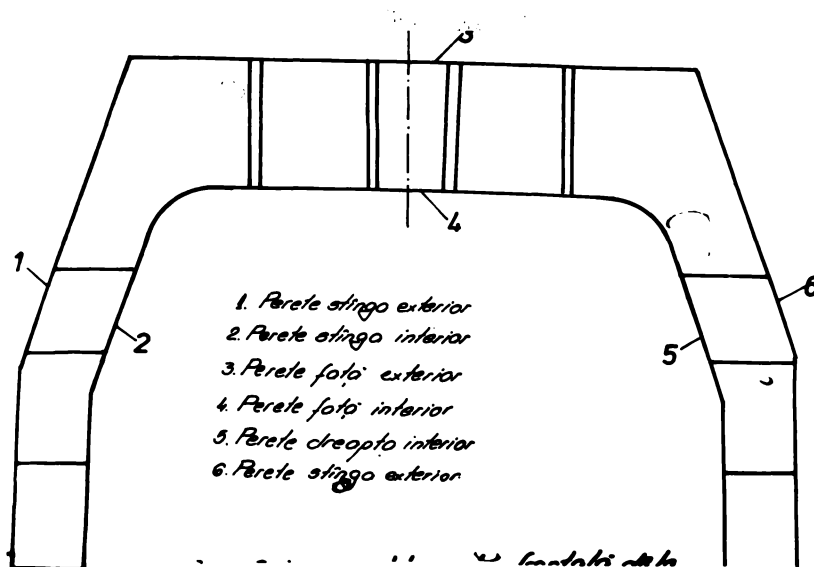


Fig. 7.3.1.  
Subansamblul plăcii frontale

In tabelul 7.3.1. se prezintă valoarea lungimii segmentelor truie care roșetă în stare inițială, după sudarea și eliberarea ansamblului sudat din dispozitivul de sudare.

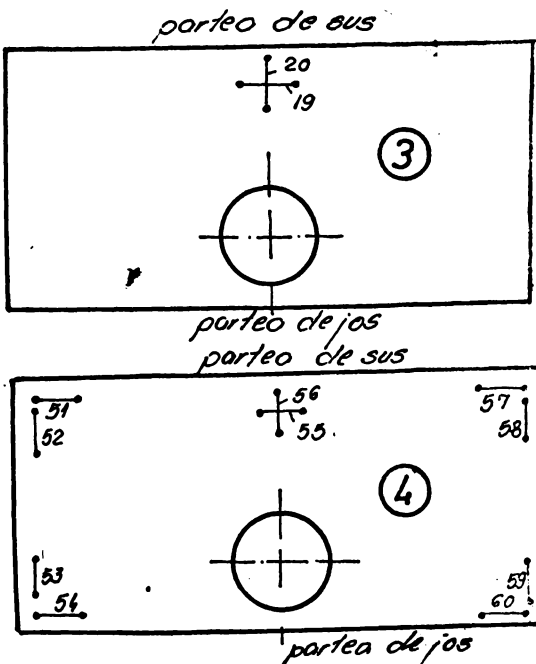


Fig. 7.3.2.  
Modul de amplasare al segmentelor pentru  
măsurarea deformărilor la peretele față

perpendicularare pe primele, respectiv verticale.

Scheletul metalic inferior al locomotivei diesel-electrice LDE 1250 C-a fost cercetat în ansamblu prin modelare fotoelastica.

Placa frontală ca parte componentă a scheletului metalic inferior a fost cercetată prin modelarea fotoelastica.

Pentru studiul tensiunilor să se aplică metoda înghețării sfaturilor, bazată pe fructizirea și repolimerizarea răsinii, din care s-a executat modelul. Astfel starea de tensiune creată în model prin solicitarea mecanică la acestuia este "înghețat".

Sensibilitatea optică  $S = 0,44 \text{ Kgf/cm}$  ordin. Modelul fotoelastic a fost executat din răsină cu întărire la rece Araldit D și întăritorul HY 951, în proporție 10:1.

Plăcile componente ale modelului fotoelastic au avut grosimile de 0,5; 0,8; 1; 1,2; 1,5; 2 și 4 mm.

Valorile izocromatelor au fost măsurate într-o instalație de lumină polarizată cu radiație albă și monochromatică ( $\lambda = 5893 \text{ Å}$ ) cu compensație după Seignerion.

Din tabelul 7.3.1. rezultă următoarele date:

- deformăția segmentului în  $\mu\text{m}$ ;

- deformății specifice (%) .

Pe baza legii lui Hooke în cazul tensiunilor plane

au fost determinate și tensiunile remanente din subansamblul sudat, considerind starea de tensiune initială (după haftuirea elementelor componente și după eliberarea din dispozitivul de sudat. Valoarea acestora se prezintă tot în tabelul 7.3.1.

Segmentele notate cu "o" sunt orizontale, iar cele notate cu "v" sunt

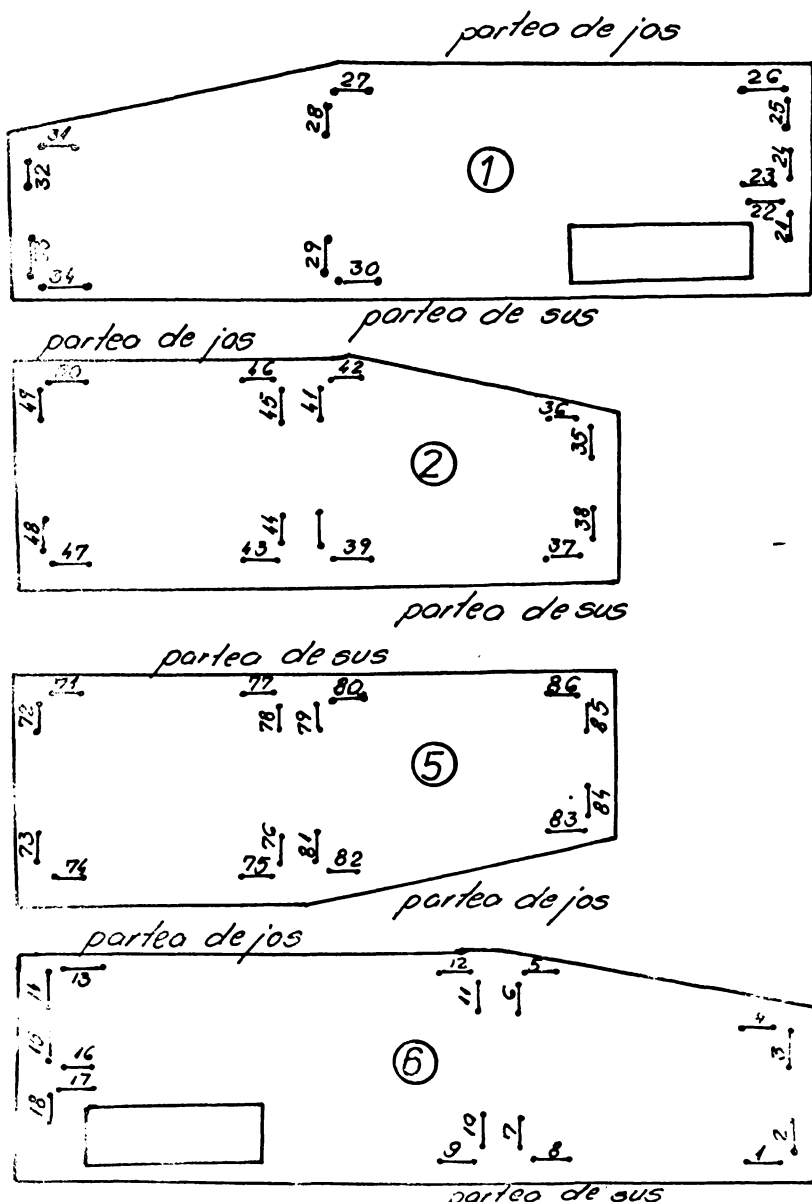


Fig. 7.3.3.  
Modul de amplasare al rozelor pentru peretii  
exteriori laterali stanga si dreapta

Prin studiul fotoelastic al părții frontale au fost obținute datorită geometriei acesteia și a solicitărilor mecanice statice, tensiuni ca ordin de mărire după cum se prezintă în tabelul 7.3.2.

Tabelul 7.3.1.

Deformațiile segmentelor rozetelor de pe partea  
frontală a locomotivei LDE 1250 C.P.

Segment	Pozitie	Starea initială	După sudsarea și eliberarea din dispozitiv	Deformația ( $\pm \mu m$ )	$\varepsilon (\%)$	Eforturile principale ( $daN/mm^2$ )
0	1	2	3	4	5	6
1	0	20,254	20,195	-59	-0,292	plastic
2	v	20,111	20,113	+2	+0,009	-22,29
3	v	20,094	20,120	+26	+0,129	
4	o					
5	o	59,978	59,653	-325	-0,543	plastic
6	v	59,917	59,834	-83	-0,139	plastic
7	v	99,927	99,962	+35	+0,035	-21,8
8	o	100,008	99,923	-85	-0,084	+13,8
9	o	99,984	100,041	+57	+0,057	+16,6
10	v	99,880	99,629	-51	-0,031	-15,71
11	v	59,955	59,961	+26	+0,043	-30,20
12	o	59,927	59,856	-71	-0,118	+18,09
13	o	99,952	99,842	-110	-0,115	-36,44
14	v	100,014	100,159	+145	+0,143	+40,96
15	v	100,066	99,993	-73	-0,073	-6,44
16	o	100,137	100,131	-6	-0,006	-17,26
17	o	100,046	100,039	-7	-0,007	-13,87
18	v	100,068	199,890	-178	-0,177	-41,33
19	o	100,020	99,940	-80	-0,080	-21,78
20	v	100,020	99,972	-48	-0,048	-16,62
21	v	99,919	99,904	-15	-0,017	+8,09
22	o	100,065	100,095	+30	+0,030	-6,00
23	o	100,083	100,116	+33	+0,035	+13,36
24	v	99,829	99,746	-83	-0,083	-21,44
25	v	100,251	100,158	-93	-0,093	-26,98
26	o	99,916	99,828	-88	-0,089	-27,62
27	o	99,938	99,849	-89	-0,089	-21,99
28	v	100,033	100,054	+21	+0,021	+11,00
29	v	100,164	100,146	-18	-0,018	-5,63
30	o	99,856	99,837	-19	-0,019	-5,47
31	o	100,136	100,065	-71	-0,071	-19,94
32	v	99,996	99,968	-8	-0,008	-6,76
33	v	100,063	99,945	-120	-0,120	plastic
34	o	100,062	99,878	-184	-0,184	plastic
35	v	100,007	99,995	-12	-0,012	-13,75
36	o	100,052	99,996	-56	-0,056	-6,65
37	o	100,027	99,855	-172	-0,172	-42,05
38	v	100,159	100,125	-34	-0,034	-19,75
39	o	99,971	99,998	+27	+0,027	+17,72
40	v	100,032	99,866	-166	-0,166	-40,18
41	v	100,125	100,078	-47	-0,047	-28,41
42	o	100,049	99,940	-109	-0,109	-18,79
43	o	99,937	100,039	+102	+0,102	
44	v	99,992	-	-	-	
45	v	100,153	100,153	-	-	-1,20
46	o	100,170	100,018	-152	-0,152	-35,6
47	o	100,171	99,971	-200	-0,200	plastic
48	v	100,090	99,893	-197	-0,197	plastic
49	v	99,992	99,662	-330	-0,330	-38,08
50	o	100,266	100,200	-66	-0,066	plastic

0	1	2	3	4	5	6
51	0	100,052	100,035	+ 3	+0,003	+ 6,78
52	v	100,003	99,915	- 88	-0,088	-20,52
53	v	100,133	100,097	- 36	-0,036	+ 6,18
54	0	99,960	99,985	+ 16	+0,016	- 9,42
55	0	100,075	99,729	-246	-0,246	-12,74
56	v	99,792	99,690	-102	-0,102	-25,24
57	0	99,928	-	-	-	-
58	v	100,019	99,873	-146	-0,146	
59	v	100,102	100,061	- 41	-0,041	
70	0	99,976	-	-	-	-
76	v	59,893	59,849	- 44	-0,044	
77	0	99,940	100,042	+102	+0,102	+29,22
78	v	99,883	99,801	- 82	-0,082	-25,98
79	v	100,135	100,117	- 18	-0,018	+10,94
80	0	99,863	99,905	+ 42	+0,042	- 7,06
81	v	100,105	99,923	- 82	-0,082	plastic
82	0	100,344	100,021	-323	-0,323	-41,29
83	0	100,145	100,103	- 42	-0,042	-10,25
84	v	100,136	100,144	+ 8	+0,008	+ 4,75
85	v	99,820	99,783	- 37	-0,037	plastic
86	0	100,127	99,924	-203	-0,203	-22,59

Tabelul 7.3.2.

Domeniile tensiunilor normale și tangențiale determinate pe modelul fotoelastic pentru partea frontală de la LDE 1250 C.P.

daN/mm<sup>2</sup>

Zona cercetată	Tensiunea normală minimă	Tensiunea normală maximă	Tensiunea tangențială minimă	Tensiunea tangențială maximă
Placa de bază a plăcii frontale-exterior	2,18	13,08	3,27	8,17
Idem - interior	2,18	19,00	2,70	8,72
Placa superioară a plăcii frontale-exterior	0	15,26	0	6,54
Idem - interior	2,18	14,17	0	8,17

Greutatea modelului fotoelastic al scheletului metalic inferior a fost de 2,85 kg, în comparație cu greutatea aceluiași schelet la mărime naturală și executat din oțel care este de cca. 9500 kg.

Tensiunile rezultate pe model, susceptibile de o eroare de cca. 10 %, au la bază geometria modelului fotoelastic, determinată pe baza similarității și solicitărilor mecanice indicate de proiectant.

Se înțelege că aceste tensiuni nu au în vedere tensiunile permanente ca urmare a procesului de sudare. Valoarea acestor tensiuni este prezentată în tabelul 7.4.1. și au fost determinate prin măsurarea experimentală a deformațiilor.

Așind în vedere rezultatele obținute se pot deduce următoarele concluzii:

- tensiunile determinate prin modelarea fotoelastică sint in general mici, avind in vedere solicitările statice ale scheletului metalic inferior. In total pentru partea frontală au rezultat 15 valori ale tensiunilor normale peste  $10 \text{ daN/mm}^2$ , din care 3 de compresiune, restul fiind de întindere ;

- majoritatea deformațiilor sint contractii și anume 71,8 % pentru segmentele orizontale și 79,7 % pentru cele verticale ;

- valorile deformațiilor specifice sint in general mici, sub 0,05 % pentru ambelor direcții. Numai 6 valori depășesc valoarea de 0,2 %, care corespunde domeniului plastic, ceea ce reprezintă numai 0,09 %. Celelalte valori ale deformațiilor specifice confirmă că acestea se găsesc în domeniul elastic ;

- tensiunile normale principale in domeniul plastic se găsesc la colțurile peretilor lateralii și prezintă in general simetrie. Valoarea acestor tensiuni depășește  $30 \text{ daN/mm}^2$ .

#### 7.4. Cercetarea tensiunilor remenente din traversă utilizată la ridicarea în porturi a locomotivelor magistrale

Tinând cont de exportul de locomotive magistrale, întreprinderea Electropuțere a avut obligația de a asigura o traversă care să asigure ridicarea locomotivelor de la sol pe navele maritime de transport.

In fig.7.4.1. se prezintă ansamblul traversei pentru ridicarea locomotivelor în porturi.

Pentru optimizarea proiectării constructive s-a apelat la modelarea fotoelastică.

Modelul fotoelastic a fost executat din răsină Araldit D la scară dimensiunilor  $\alpha = 10$ . Sensibilitatea materialului din model a fost de  $0,3 \text{ daN/cm.ordin}$ . Modelul a fost solicitat static, funcție de solicitarea traversei în două cazuri :

- pentru  $FU_1 = 176.000 \text{ daN}$ ,  $\beta = 100.000$  ;

- pentru  $FU_2 = 126.000 \text{ daN}$ ,  $\beta = 73.000$ .

Pe baza cercetărilor efectuate pe modelul fotoelastic au rezultat următoarele:

- in placa superioară tensiunile tangențiale nu au depășit  $1500 \text{ daN/cm}^2$

- in peretele lateral tensiunea maximă a fost de  $1420 \text{ daN/cm}^2$

- in talpa superioară valoarea tensiunilor nu a depășit  $1280 \text{ daN/cm}^2$

- in talpa inferioară nivelul tensiunilor nu a depășit  $1700 \text{ daN/cm}^2$

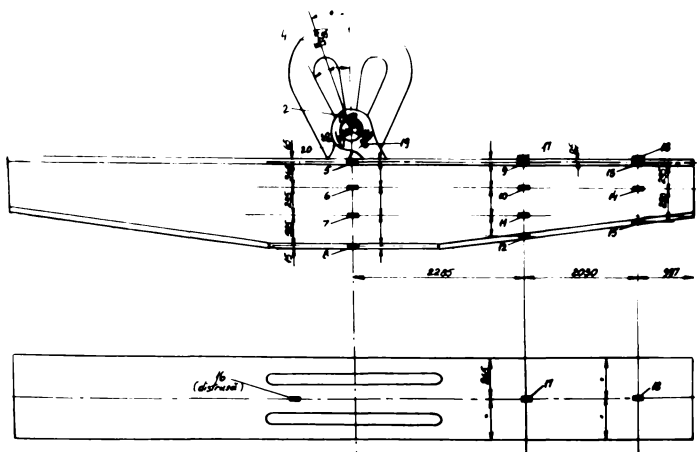
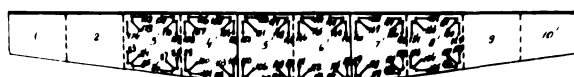
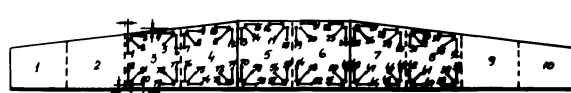


Fig. 7.8.1. Traversă pentru ridicarea locomotivelor magistrale.



Datări raportate



o - segment orizontal  
d - segment diagonal  
v - segment vertical

Fig. 7.8.2. Secțiunile elementelor principale ale traversăi și mediul de amplasare al răsăritelor

Nivelul tensiunilor din elementele componente ale traversei se referă la solicitările statice indicate de proiectant.

In continuare, luând în considerare principiile proiectării constructive-tehnologice s-a cercetat nivelul deformațiilor rezultate ca urmare a procesului de sudare.

Măsurarea deformațiilor s-a făcut pe baza extensometriei mecanice. In acest scop cele două perete laterali ai traversei au fost împărțiti în 10 sectoare notate cu 1 ... 10 pentru o față, respectiv 1' ... 10' pentru cealaltă față.

Suprafața plană superioară a traversei a fost de asemenea divizată în zece zone notate cu I ... X pentru partea corespunzătoare peretelui lateral cu sectoarele notate cu 1 .... 10, respectiv I'...X' pentru celălalt perete lateral cu zonele 1' ... 10' (fig.7.4.2).

In fig.7.4.2. se prezintă și rozeta rectangulară, având segmentele decalcate la  $45^\circ$ , care au fost utilizate pentru măsurarea deformațiilor pe peretei laterale, în sectoarele 3 ... 8, respectiv 3' ... 8'. Pe talpa superioară plană a traversei au fost așezate segmente pe direcțiile paralele, de-a lungul traversei. Fiecare măsurare a fost precedată de etalonarea extensometrului, cu ajutorul unui etalon din invar. Mai întâi segmentele au fost măsurate în starea inițială, înainte de sudare, apoi după efectuarea completă a acestei operațiuni. Se înțelege că între măsurători s-a scurs un timp apreciabil, din care cauză s-a folosit extensometria mecanică, care nu a perturbat succesiunea firească a operațiilor tehnologice de sudare.

In sfîrșit măsurarea deformațiilor s-a făcut și după încărcarea, respectiv descărcarea traversei.

Pe baza măsurărilor făcute au fost determinate deformațiile specifice și anume cele rezultate după sudarea completă a traversei cu:

$\varepsilon_{es}$  - deformațiile după direcția orizontală ;

$\varepsilon_{ds}$  - deformațiile după direcția la  $45^\circ$  față de direcția orizontală ;

$\varepsilon_{vs}$  - deformațiile după direcția verticală, respectiv la  $90^\circ$  față de direcția orizontală.

Deformațiile specifice rezultate în final după încărcarea și descărcarea traversei au fost notate cu  $\varepsilon_o$ ,  $\varepsilon_d$  și  $\varepsilon_v$  după cele trei direcții ale rozetei: orizontală, la  $45^\circ$  și verticală.

In fig.7.4.3 se prezintă diferențele dintre deformațiile specifice ale segmentelor care formează rozetele respective, în cele două cazuri limită și anume după sudarea completă și după încărcarea-descărcarea traversei.

In fig. 7.4.3.a și 7.4.3.b se prezintă aceste diferențe pentru rozețele de pe peretii laterali ai traversei, iar în fig. 7.4.4 pentru talpa superioară a acesteia. După determinarea deformărilor re-

zultate la rozețele de pe peretii traversei, pot fi determinate tensiunile principale normale cu ajutorul relațiilor lui Hooke generalizate:

De asemenea poate fi determinat și unghiul dublu format de direcția segmentului orizontal al rozezelor și direcția tensiunii principale  $\sigma_1$ .

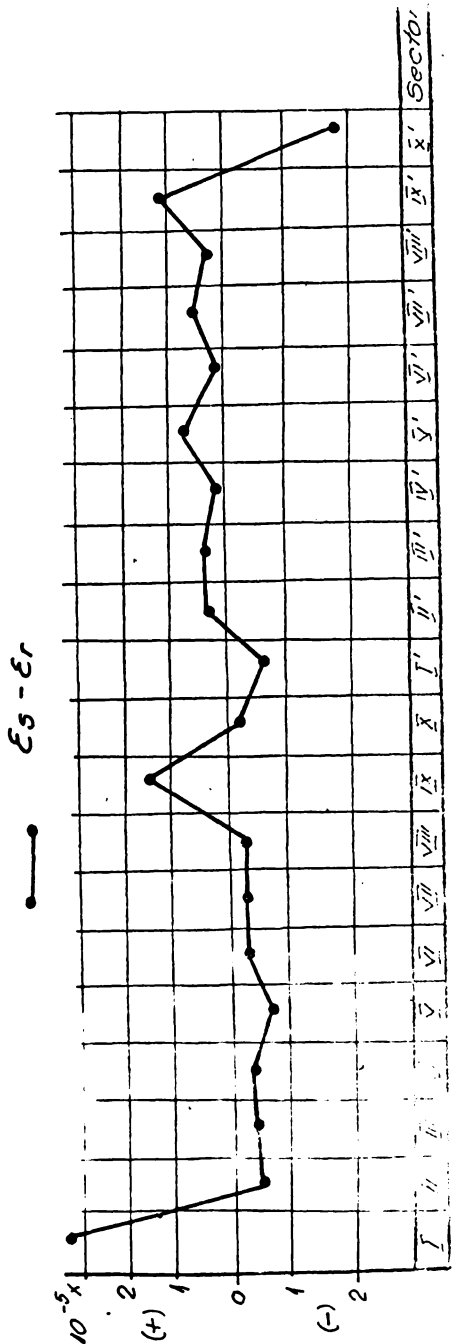
Se înțelege că mărimele din relațiile lui Hooke generalizate pot fi determinate pentru toate rozezelor în cele două eazări limită: după sudarea completă a traversei, respectiv după încărcarea și descărcarea traversei.

In tabelul 7.4.1. se prezintă tensiunile remanente care au fost determinate analitic, având la bază determinările experimentale făcute pe baza extensometriei mecanice pe cei doi pereti laterali.

In tabelul 7.4.2. se prezintă tensiunile din talpa superioară a grinzi.

Din cele 12 sectoare examineate din punctul de vedere al tensiunilor remanente, existente în peretii laterali ai traversei, prin cele 48 rozeți și 96 valori determinate rezultă situația statistică din tabelul 7.4.3.

In același tabel se prezintă și situația rezultată pe talpa superioară a traversei.



Care mările elențe de deformări specifice pentru tipul traverselor  
înțelegând secolul și incercarea obiectivă

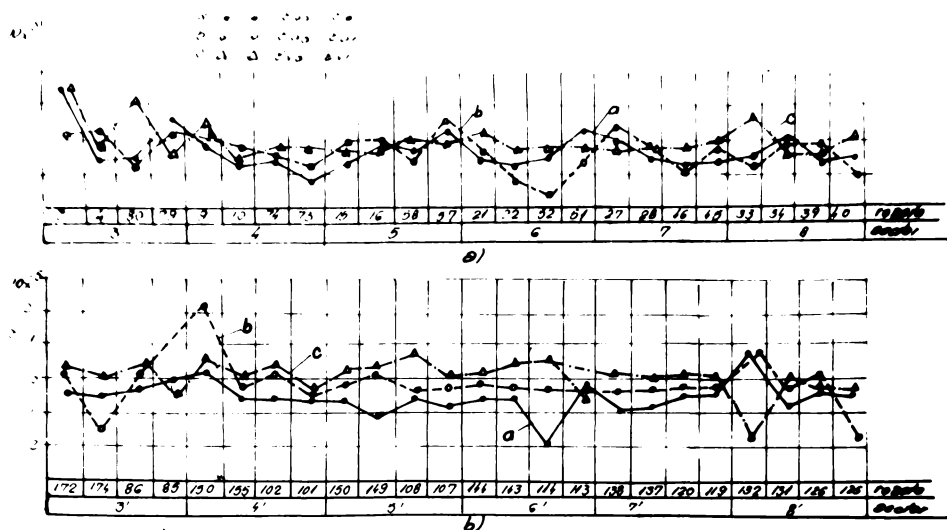


Fig. 7.2.3. Diferențele dintre deformatiile specifice din pereti laterali și transversali după sustracție și după încărcare - încărcarea analitică.

Tabelul 7.4.1.

Sector	Rezeta	Tensiuni remanente		$\delta_{2\varphi}$	
		$\delta_I$	$\delta_{II}$	după suda-rea comple- tă	după încăr- care-descăr- care
0	1	2	3	4	5
	1, 2, 3	3,66	3,30	37°50'	25°
3	4, 5, 6	-0,62	-1,26	176°30'	2°28'
	80, 81, 82	-0,48	2,34	168°40'	8°25'
	<b>79,78,77</b>	<b>1,16</b>	<b>-0,53</b>	<b>152°20'</b>	<b>151°5'</b>
	9, 8, 7	0,75	-0,13	10°10'	11°40'
4	10, 11, 12	-17,72	-19,89	2°20'	11°45'
	74, 75, 75	-0,84	0,21	159°35'	168°10'
	<b>73,72,71</b>	<b>-2,76</b>	<b>-1,32</b>	<b>178°50'</b>	<b>2°</b>
	15, 14, 13	-1,92	-1,52	39°35'	47°5'
5	16, 17, 18	-8,46	-2,52	1°15'	15°15'
	58, 59, 70	-0,57	-0,06	165°55'	23°55'
	<b>57,56,55</b>	<b>0,78</b>	<b>0,48</b>	<b>162°5'</b>	<b>163°20'</b>
	21, 20, 19	0,46	-1,10	28°	27°5'
6	22, 23, 24	-1,23	-1,28	174°15'	162°25'
	52, 53, 54	-1,20	-0,05	7°55'	15°55'
	<b>51,50,49</b>	<b>-0,05</b>	<b>-0,88</b>	<b>154°40'</b>	<b>159°10'</b>
	27, 26, 25	1,50	0,80	29°50'	30°45'
7	28, 29, 30	-0,45	-1,12	40°35'	40°25'
	46, 47, 48	-1,66	-1,16	159°35'	171°25'
	<b>45,44,43</b>	<b>-17,54</b>	<b>-17,83</b>	<b>177°10'</b>	<b>96°25'</b>
	33, 32, 31	2,12	-1,17	78°5'	84°40'
8	34, 35, 36	-0,57	-0,37	18°50'	19°5'
	39, 38, 37	-1,65	-0,86	164°25'	162°5'
	<b>40,41,42</b>	<b>-0,16</b>	<b>-0,77</b>	<b>146°57'</b>	<b>155°10'</b>
	172, 173, 174	-0,51	0,51	90°	123°45'
3'	171, 170, 169	-1,20	0,59	174°35'	26°30'
	86, 87, 88	0,77	-0,17	11°15'	13°10'
	<b>85,84,83</b>	<b>-1,31</b>	<b>-0,56</b>	<b>29°50'</b>	<b>31°30'</b>
	156, 157, 158	0,58	3,86	144°50'	132°15'
4'	155, 154, 153	-0,13	-1,13	161°35'	161°35'
	102, 103, 104	1,88	-1,88	153°15'	164°40'
	<b>101,100, 89</b>	<b>-0,52</b>	<b>-1,05</b>	<b>7°5'</b>	<b>6°5'</b>
	150, 151, 152	0,36	-0,36	48°5'	63°
5'	149, 148, 147	-2,20	0,63	127°5'	127°45'

	0	1	2	3	4	5
5°	108,109,110	2,41	- 0,53	23°35'	24°	
	107,106,105	0,21	- 1,15	156°30'	152°50'	
6°	144,145,146	- 0,58	0,27	91°5'	94°15'	
	143,142,141	0,28	0,76	126°5'	117°55'	
	114,115,116	0,31	- 4,07	155°25'	151°25'	
7°	113,112,111	- 0,40	- 0,19	10°10'	9°35'	
	138,139,140	0,41	- 1,05	139°5'	156°45'	
	137,136,135	- 0,54	- 0,44	157°10'	158°30'	
	120,121,133	- 0,49	- 0,76	7°10'	8°5'	
8°	119,118,117	- 0,09	- 0,53	38°25'	38°20'	
	132,133,134	4,15	4,01	125°25'	132°35'	
	131,130,129	- 1,40	- 0,58	107°35'	113°10'	
	126,127,128	- 0,48	- 0,11	17°5'	19°12'	
	125,124,123	0,22	- 2,41	37°5'	23°55'	

Tabelul 7.4.2.

Segment	Tensiune remanență daN/mm <sup>2</sup>	Segment	Tensiune remanență daN/mm <sup>2</sup>
I	+ 6,93	I'	- 1,26
II	- 0,84	II'	+ 0,84
III	- 0,84	III'	+ 9,03
IV	- 0,84	IV'	+ 0,21
V	- 0,84	V'	+ 1,68
VI	- 0,42	VI'	+ 0,21
VII	- 0,42	VII'	+ 1,05
VIII	- 0,21	VIII'	+ 0,63
IX	+ 0,315	IX'	+ 2,1
X	- 0,42	X'	- 4,2

Tabelul 7.4.3.

Domeniul tensiunilor remanente(daN/mm <sup>2</sup> )	Pereți laterali număr	%	Talpa superioară număr	%
subunitare	53	52,2	13	65,0
1 ... 5	38	39,6	5	25,0
5 ... 10	1	1,02	2	10
10 ... 15	-	-	-	-
15 ... 20	4	4,18	-	-

Se mai poate remarca și faptul că în peretii lateralii ai traversei din cele 96 valori pentru tensiunile remanente au fost 50 tensiuni remanente de întindere și 66 de compresiune.

In talpa superioară a traversei din cele 20 valori ale tensiunilor remanente au fost 50 % de întindere, respectiv 50 % de compresiune.

Lucrarea a prezentat modul de rezolvare a proiectării construc-tiv-tehnologice a unei traverse, care prin destinația sa constituie o construcție de mare importanță.

Datele experimentale obținute prin extensometria mecanică au indicat existența unor deformări sub 0,2 %. De asemenea tensiunile remanente sunt sub  $20 \text{ daN/mm}^2$ , majoritatea fiind tensiuni de compresiune. Toate cele patru valori ale tensiunilor remanente cuprinse între  $15 \dots 20 \text{ daN/mm}^2$  sunt de compresiune.

#### 7.5. Cercetarea modelului unei cuve pentru transformator cu dispozitivul de ridicare

S-a modelat o parte dintr-o cuvă a unui transformator de mare putere și înaltă tensiune (400 MVA, 400 KV) conform fig. 7.5.1.

Peretele cuvei a fost executat din tablă de oțel marca OL 44-4k STAS 500-80, cu grosimea de 10 mm. Pentru nervuri și dispozitivul de ridicare s-a folosit tablă de oțel marca OL 52-4B STAS 500-80, cu grosimea de 20 mm. Modelul a avut suprafața plană de  $2500 \times 2550 \text{ mm}$  și s-a executat la scara 1:1 [29,30].

La sudarea plăcii de bază a modelului din tabla de oțel marca OL 44-4k cu grosimea de 10 mm, cu peretei verticali ale centurilor și ale nervurilor din același material, sudarea s-a executat fără pre-încălzire. În schimb la sudarea plăcii de bază din oțel OL 44-k cu peretei verticali ale centurilor și ale nervurilor din oțel marca OL-52-4B cu grosimea de 20 mm s-a folosit preîncălzirea la  $250\text{--}300^\circ\text{C}$ .

Sudarea plăcilor cu grosimea de 10 mm s-a făcut cu electrod Unibaz cu diametrul de 3,25 mm și printr-un singur strat. În schimb sudarea elementelor cu grosimea de 10 mm cu cele având grosimea de 20 mm s-a făcut în două straturi.

In tabelul 7.5.1. se prezintă regimul de sudare și energiile liniare utilizate la sudarea modelului din figura 7.5.1. Din datele cuprinse în tabelul 7.5.1. se constată că sudurile executate fără preîncălzire energia liniară, respectiv regimul de sudare, variază în limite mai largi.

Pentru măsurarea deformărilor s-a utilizat extensometria mecanică, în care sens s-au amplasat pe model rozete rectangulare, alcătuite din segmente așezate la  $45^\circ$  unul față de altul, cu baza de 20 mm. Delimitarea segmentelor s-a făcut cu ajutorul bilelor din oțel cu diametrul de  $1/16''$ . Au fost folosite 99 de rozete cu 127 de segmente, amplasate pe model conform figurii 7.5.2. Variatia bazei de măsură a segmentelor a fost urmărită cu ajutorul extensometrului mecanic, cu diviziunea de 1 mm [100,163].

Tabelul 7.5.1.

**Regimul de sudare și energiile liniare folosite la modelul sudat al cuvei de transformator**

Diametru electrod (mm)	Modul cum s-a realizat cuzătura sudată	Regimul de sudare			Energia liniară
		Ua	Ia	Va	
3,25	fără preincalzire	25	110	0,211	6520
				0,563	2440
	cu preincalzire	32	145	0,211	11001
				0,563	4123
5,0	fără preincalzire	25	135	0,211	7640
				0,286	5870
	cu preincalzire	29	120	0,211	7920
				0,286	6087
7,0	fără preincalzire	27	250	0,275	9205
				0,648	3906
	cu preincalzire	33	280	0,275	12600
				0,648	5345
4,0	fără preincalzire	30	250	0,237	11867
				0,290	9698
	cu preincalzire	37	270	0,237	15807
				0,290	12918
5,0	fără preincalzire	30	200	0,279	8065
				0,668	3368
	cu preincalzire	35	190	0,279	8065
				0,648	3735

Măsurarea segmentelor s-a făcut în mai multe etape successive și anume:

- după executarea cusăturilor sudate orizontale ;
- după sudarea cusăturilor sudate verticale din interiorul centurilor și al nervurilor, însă numai pe partea superioară a modelului, acolo unde deformațiile au fost mai pronunțate ;
- după eliberarea modelului din dispozitivul în care a fost sudat ;
- după efectuarea unor găuri cu diametrul de 4 mm amplasate în mijlocul segmentului aflat pe direcția de  $45^{\circ}$  ;
- după decuparea cu flăcără a zonelor centrale ale modelului, în care se găsesc rozetele 29 ... 44 și 54 ... 78.

După cum s-a arătat mai sus programul a urmărit dinamica deformațiilor după executarea operațiilor respective.

După sudare s-am evidențiat deformații apreciabile la marginile modelului și anume la partea superioară a acestuia s-a produs o săgeată de 7 mm pe o lungime de 320 mm în partea stingă, iar în dreapta s-a produs o săgeată de maxim 10 mm pe o lungime de 1000 mm.

La partea inferioară a modelului în partea stingă și dreapta au rezultat deformații egale de 7 mm pe o lungime de 620 mm. Pe marginile

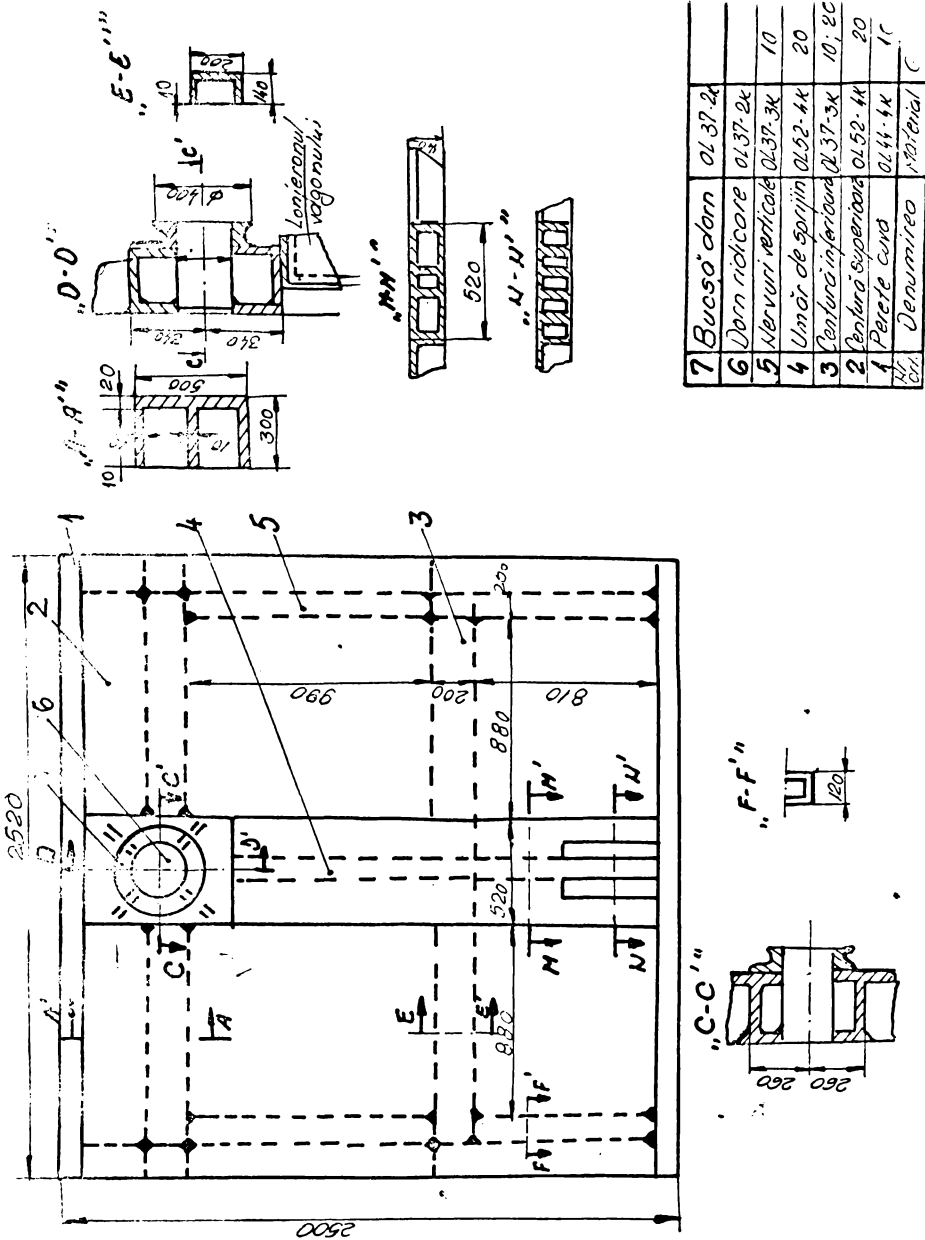
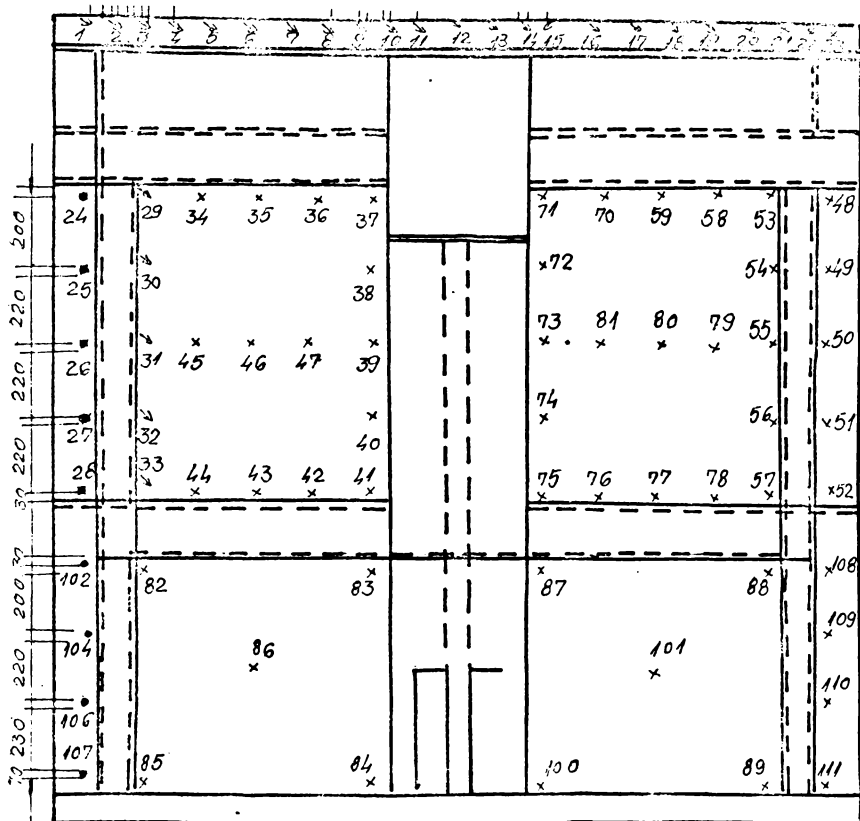


Fig. 7.5.1. Model curv cu dispozitiv de ridicare pentru transformator 100 MVA; 100 kV.



Detaileaza roata

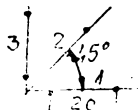


Fig. 15.2. Modul de amanajare a rotoarelor

modelului, în afara centurilor și a nervurilor,, deformațiile care au rezultat după sudare și eliberarea modelului din dispozitivul de sudare au fost mai pronunțate existind libertatea de deformare a materialului, obținindu-se valori de maxim de cca.1,3 %, un caz izolat fiind de 2,128 %. În zonele centrale ale modelului limitate de cadre și nervurile respective, deformațiile maxime ajungând abia pînă la 0,6 %

Analizînd statistic deformațiile obținute care depășesc valoarea 0,2 % se poate prezenta situația din tabelul 7.5.2., în care s-au marcat deformațiile de întindere(alungire) cu semnul(+), iar contractiile cu (-).

Tabelul 7.5.2

Situatîa statistică a deformațiilor rezultate  
care depășesc valoarea de 0,2%

Nr. total segmente	După sudarea cusăturilor				După sudarea	
	orizontale		verticale		totală	
	(+)	(-)	(+)	(-)	(+)	(-)
96	13	30	14	39	9	35
din care în zonele centrale						
17	4	10	2	1	-	13
din care în zonele marginale						
79	9	20	12	38	9	22

Din tabelul 7.5.2. rezultă următoarele:

- după executarea cusăturilor intermediare metalul este deformat mai pronunțat ;
- deformațiile mai pronunțate sunt de contractie ;
- deformațiile mai pronunțate sunt în zonele marginale, în comparație cu zona centrală mai bridată ;
- după sudarea completă a modelului, mărimea deformațiilor se micșorează apreciabil, cu cca.54 %. Efectul este mai puțin evident în zona centrală mai rigidizată, în comparație cu zonele marginale cu grade mai mari de libertate.

Analizînd deformațiile obținute, rezultă că valorile acestora sunt sub 1,5 %, cu excepția cazului singular arătat, chiar în zonele marginale, ceea ce este acoperitor avînd în vedere indicațiile din literatură [56].

Pe baza deformațiilor măsurate și folosind relațiile lui Mocke generalizate [39, 44, 70, 98, 100, 11, 116, 168] au fost determinate tensiunile normale principale maxime și minime în următoarele situații :

- după sudarea completă a modelului și eliberarea acestuia din dispozitivul de sudare ;

- după efectuarea găurilor cu diametrul de 4 mm pe direcția la  $45^\circ$  a rezetelor;

- după decuparea zonei centrale care a cuprins rozetele 29-44 și 54-78.

In fig.7.5.3. se prezintă tensiunile normale principale maxime, iar în fig.7.5.4. cele minime.

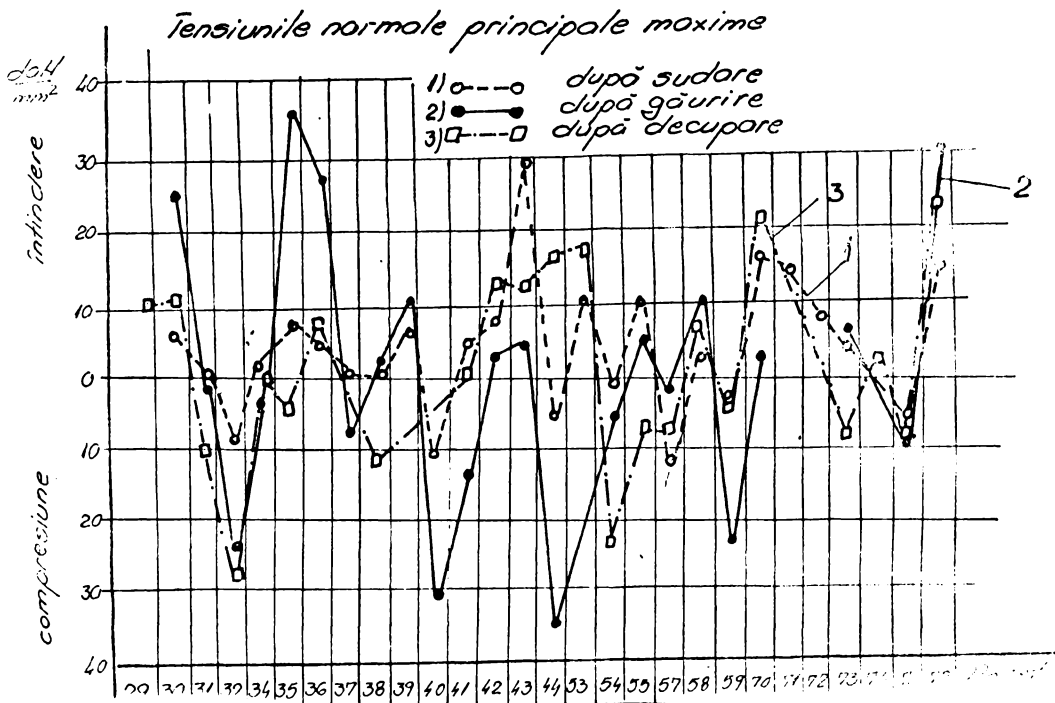


Fig.7.5.3.  
Variatia tensiunilor normale principale maxime  
a rozetelor din zona centrală a modelului în  
cazurile analizate.

Cercetările au fost continuante pentru a caracteriza imbinările sudate. În acest scop au fost comparate rezultatele obținute pe probe de laborator, executate în condiții similare ca și modelul și pe probe prelevate din imbinările acestuia.

Pentru caracterizarea imbinărilor sudate de colț au fost executate probe sudate conform STAS 5976-71.

In tabelul 7.5.3 sunt prezentate regimurile în care au fost realizate aceste probe.

Probele sudate au fost realizate în condițiile care să reproducă situația modelului, în sensul că elementele sudate au fost executate din mărcile de oțel și cu grosimea folosită la model, astfel că

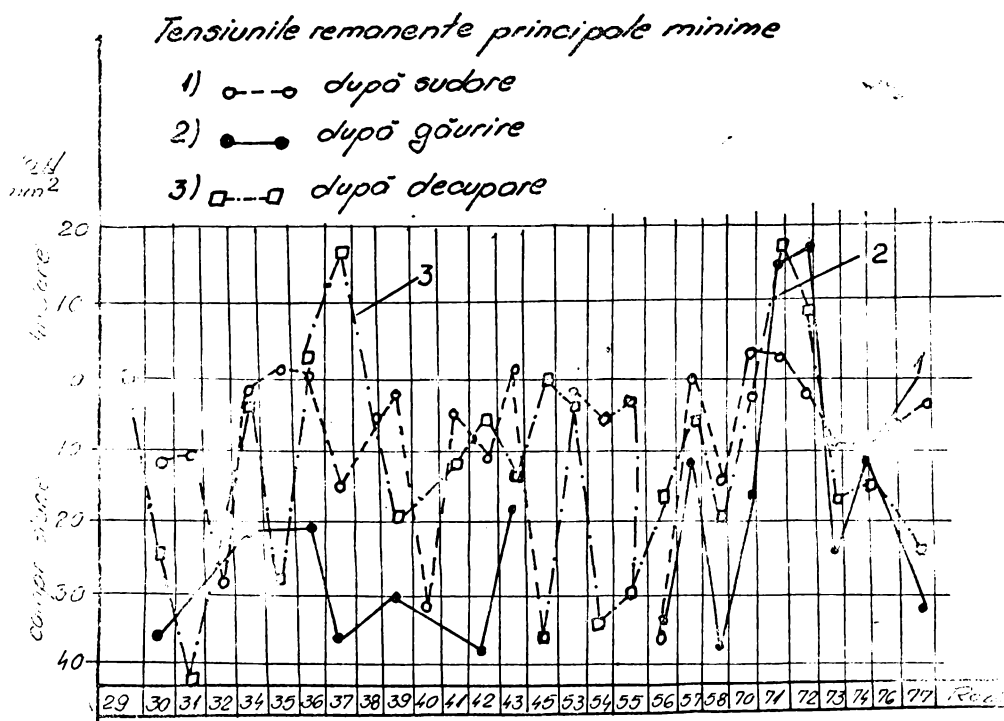


Fig. 7.5.4.  
Variația tensiunilor normale principale minime  
a rozelor din zona centrală a modelului în  
cazurile analizate

rezultatele obținute să fie comparabile cu cele ale modelului.

Proba 1 a fost realizată fără preîncălzire, iar proba 2 s-a sudat cu preîncălzire la aceeași temperatură ca la model.

Din probele sudate au fost prelevate epruvete pentru incercarea la tracțiune. Conform Instrucțiunilor pentru autorizarea sudurilor C 9, încărcarea minimă a rezistenței de rupere la tracțiune se încadrează pentru ambele mărci de oțeluri numai la proba 1, sudată fără preîncălzire. În schimb la proba 2 sudată cu preîncălzire se produce o micșorare a rezistenței de rupere pentru OL 52-4B, obținindu-se valori acoperitoare numai pentru OL 44-4K.

Probele au fost verificate și sub aspectul durității Vickers cu sarcini NJ ci, anume cu sarcina de 5 kgf(HV 5), obținindu-se în zonele distincte ale imbinării sudate valorile următoare:

152 ... 200 daN/mm<sup>2</sup> la proba 1 fără preîncălzire;

155 ... 190 daN/mm<sup>2</sup> la proba 2 cu preîncălzire.

Valorile maxime ale durității au fost obținute în zonă influențată termic a elementului din OL 52-4B.

Tabelul 7.5.3.

Regimul de sudare al probelor cu fimbinări de oțel

Nr. probă	Dimensiunile plăci- lor (mm)	Strat cătu- re	Ma- su- metru elec- trod (mm)	Ua (V)	Ia (A)	Va (cm/s)	Iner- gia lini- ară J/cm
	200x150x150 10x30x200						
1 OL 52-4B OL 44-4k	1	I	3,25	24	145-	0,311	5597
		II			150	0,347	5189
		III				0,295	6104
		IV				0,328	4116
2 OL 52-4B OL 44-4k	2	I	5,0	30	250	0,392	9570
		II				0,375	10004
		III				0,350	10420
		IV				0,360	7612
3 OL 52-4B OL 44-4k	3	I	4,0	26	200	0,311	8363
		II				0,360	7225
		III				0,400	6502
		IV				0,360	5417
2 OL 52-4B OL 44-4k	1	I	3,25	24	145-	0,321	5422
		II			150	0,321	5609
		III				0,327	5506
		IV				0,346	5902
2 OL 52-4B OL 44-4k	2	I	5,0	30	250	0,327	11472
		II				0,315	11909
		III				0,324	11232
		IV				0,327	8601
3 OL 52-4B OL 44-4k	3	I	4,0	26	200	0,335	7811
		II				0,375	6936
		III				0,346	7517
		IV				0,360	5417

Aceste valori ale durității și ambele cezuri infirmă existența unor constituenți duri și fragili.

În continuare investigațiile au fost executate pe probe din fimbinările sudate ale modelului, prin secționarea acestora în anumite zone.

Dacă se compară rezultatele obținute pe probele prelevate din model, în comparație cu probele de laborator se pot deduce următoarele :

- structural au fost puse în evidență pe probele din model existența unor structuri de supraîncălzire, ca și prezenta unor structuri transformate, tranzitice în zona influențată termic a oțelului mare OL 52-4B ;

- duritatea Vickers(HV5) în elementele sudate din tabă cu grosimea de 10 mm și din oțel mare OL 44-4k a ajuns la valoarea maximă de 190-290 daN/mm<sup>2</sup>. Duritatea HV 5 în elementele sudate din oțel mare OL 52-4B cu grosimea de 20 mm este cuprinsă între valorile 227 ~

286 daN/mm<sup>2</sup>, iar în anumite zone limitate aceasta ajunge pînă la 321 daN/mm<sup>2</sup>.

Din cele prezentate se constată că cercetările efectuate pe modelul sudat, au permis nu numai a se stabili mărimea și sensul deformațiilor în diferite zone ale îmbinărilor sudate, iar pe baza acestora să fie determinate și starea de tensiune respectivă, dar acestea ar conduce la evidențierea unor proprietăți ale îmbinărilor sudate, care nu mai sunt în concordanță cu caracteristicile tehnice stabilite pe probe de laborator.

De aici rezultă că o necesitate de a se apela în cazul construcțiilor sudate de mare răspundere, la modelarea fizică, la scara 1:1 avînd în vedere că prin aceasta se evidențiază modificările metabolismice.

## 8. MASURI PENTRU PREVENIREA SI REDUCEREA DEFORMATIILOR SI TENSIUNILOR REMANENTE

8.1. Ca urmare a procesului de sudare se produc așa cum a rezultat din lucrare deformări cu caracter plastic, ceea ce scade capacitatea de încărcare a construcției sudate.

In cazul solicitărilor statice situația este mai puțin gravă, dar la solicitările oscilente tensiunile remanente influențează asupra variației amplitudinii, în cazul insumării acestora la solicitările exterioare.

Avind în vedere că materialul de bază își modifică caracteristicile datorită tensiunilor remanente se impune evitarea tensiunilor remanente de tracțiune.

Tinind cont de aceste neajunsuri se impune a fi luate măsuri pentru prevenirea și limitarea deformărilor și tensiunilor remanente.

### 8.2. Măsuri care trebuie luate înainte de sudare

Pentru optimizarea soluțiilor constructiv-tehnologice se consideră ca oportunitățile adaptarea următorului program:

a) proiectarea constructivă pentru dimensionarea construcției sudate, prin stabilirea materialului utilizat, a geometriei și a dimensiunilor elementelor importante. Pentru optimizarea acestei situații este indicată folosirea modelării matematice ;

b) verificarea soluțiilor constructive prin modelarea fizică, în special prin utilizarea fotoelasticității statice și dinamice, care oferă posibilitatea optimizării geometriei și a dimensiunilor elementelor ;

c) în continuare urmează optimizarea proiectării tehnologice care se verifică numai prin modelarea la mărime naturală a subansamblelor sudate sau a întregii construcții. Pe această cale sunt stabilite regimurile tehnologice de sudare, măsurarea deformărilor și determinarea tensiunilor remanente rezultate, analiza defectelor rezultate din cauze conceptive sau de execuție stabilită pe cale nedestructivă sau distructivă ;

d) definitivarea soluțiilor constructiv-tehnologice care pot fi verificate la prototip sau seria zero, sau chiar pe produse unicate prin metode nedistructive ca măsurarea deformărilor după sudare sau în condițiile lor de exploatare (stabilitate dimensională) în special prin extensometrie mecanică, determinarea constantelor elastice și plastice cu ajutorul ultrasunetelor, verificarea durătății, prefe-

rabil prin metoda Vickers cu sarcini mici de 5 sau 10 kgf, contralul nedistructiv, verificarea comportării construcției sudate în condițiile reale de exploatare, etc.

In etapele emunțate se vor avea în vedere respectarea principiilor de proiectare a construcției sudate [168] și verificarea materialelor folosite sub aspectul sudabilității în sprijinul recomandărilor I.I.S [185, 186]. Așa cum prevăd standardele naționale ca STAS 500-80, care se referă la mările oțelurilor cercetate în lucrare, sudabilitatea unei mărci de oțeluri nu trebuie să fie considerată numai în limita analizelor și încercărilor care definesc marca respectivă, dar se impune extinderea acestora în condițiile reale în care va fi solicitat materialul în cadrul construcției sudate.

Se impune să fie reținut, că pentru același subansamblu sudat sau construcție sudată, deformarea și tensiunile remanente sunt mult influențate de la caz la caz, de la tensiunile existente în metalul de bază în starea de livrare și prelucrările pregătitoare, a regimului efectiv de sudare.

### 8.3. Măsuri cu caracter tehnologic

#### 8.3.1. Măsuri tehnologice cu privire la metalul de bază și cel depus.

Oțelurile experimentate în lucrare se încadrează în STAS 500-80 și sunt destinate construcțiilor sudate. Acestea sunt cu granulație fină ceea ce asigură o tenacitate și temperaturi de tranziție mai scăzute.

Din mările de oțeluri analizate, oțelul OL 52 prezintă pericolul de incindire în zona temperaturilor de supraîncăldare din Z.I.T., între izotermă  $AC_3$  și metalul topit. Din această cauză în timpul răciri se pot produce fisurări sub cusătură, din cauza procesului complex de solicitare, datorită construcției metalului și deformării de alungire provocată de transformarea martensitică. Fenomenul poate fi mult accentuat de prezența hidrogenului din metalul depus.

Trebuie să se cerceteze tendința de fisurare și de propagare a fisurilor pentru oțelul utilizat la construcțiile sudate de mare răspundere.

Din cercetările efectuate a rezultat că oțelurile românești sunt comparabile cu cele din import, încadrindu-se la testările cele mai exigeante. Același lucru se poate afirma și despre electrozii indigeni, care așa cum a rezultat se comportă chiar mai corespunzător ca cei din import similari.

Pe liniile testul la energia de rupere la încovoiere prin soc la

temperaturi pozitive și mai ales negative, se recomandă folosirea metodelor de încercare de severitate termică, mai ales cu complicităile făcute și încercarea Jominy, care oferă informații în plus asupra tendinței de fisurare.

O problemă importantă o constituie tratamentul termic de preîncălzire. Se recomandă o încălzire la o temperatură cu puțin peste  $100^{\circ}\text{C}$  care să asigure îndepărțarea umidității din zona rostului de sudare. Tratamentul termic de preîncălzire este indicat a fi aplicat în cazul oțelurilor folosite, respectiv oțelurile carbon nealiate și a celor aliante, la care C > 0,4 % și grosimea materialului depășește 20 mm.

Temperatura de preîncălzire să nu depășească în general temperatura de transformare martensitică ( $M_s$ ). De asemenea trebuie să se aibă în vedere efectul favorabil al preîncălzirii asupra difuziei hidrogenului. Din literatura de specialitate rezultă că la oțelurile nealiante hidrogenul difuzează la cca  $150^{\circ}\text{C}$ , iar la oțelurile slab aliante acest fenomen are loc în domeniul  $180\text{--}300^{\circ}\text{C}$ .

Din lucrare s-a arătat pe baza datelor experimentale etiț prin încercările de laborator, că și ca urmare a măsurării deformărilor influență preîncălzirii pentru grosimi diferite ale materialului.

În acest fel au fost obținute informații globale cu privire la sudabilitatea oțelurilor cercetate.

Pentru a evita introducerea gazelor în cusătura sudată se vor respecta riguroșe indicațiile furnizorului de electrozi pentru uscarea acestora, în special a celor cu învelis bazic higroscopic, ca și ferirea acestora de umezeală pînă la utilizare.

### 8.3.2. Măsuri tehnologice cu privire la execuția cusăturilor sudate

Măsurile care trebuie să fie luate la execuția cusăturilor se referă la evitarea fisurării și la obținerea unor structuri dure și fragile.

În acest scop o importanță o are executarea sudurilor de prindere (hafturi), care pot fi locul de predilecție al existenței fisurilor.

În cazul executării sudării la temperaturi sub  $5^{\circ}\text{C}$  se va stabili un regim de sudare care să corespundă acestei situații.

La executarea cusăturilor vor fi evitate formarea craterelor și a scobiturilor, iar ultimul strat să fie realizat prin treceți multiple, mai ales în cazul utilizării oțelului marca OL 52.

Executantul trebuie să respecte cu strictețe toate indicațiile

proiectării constructiv-tehnologice pentru asigurarea imbinărilor sudate de calitate.

La oțelul OL 52 se vor executa treceri cu secțiunea metalului topit de minim  $25 \text{ mm}^2$  și cu lungimea minimă de 100 mm. Este recomandabilă la sudarea acestei mărți de oțel utilizarea unor electrezi cu diametrul mare și cu intensități mari de curent.

De asemenea în cazul utilizării oțelului OL 52 se va evita sudarea peste cap(plafon) sau în cazul imposibilității evitării acestei situații se va aplica obligatoriu preîncălzirea materialului.

Pentru a evita aportul de gaze în cusături este bine ca marginile pieselor care urmează a fi sudate să fie polizate pentru îndepărțarea oxizilor metalici de pe suprafața metalului.

In timpul sudării se va avea în vedere ca temperatura metalului să nu scadă sub  $5^\circ\text{C}$  și ca operația de sudare să nu se execute în curenti de aer. Este recomandabil ca la utilizarea oțelurilor OL 52 și aliate, în cazul că temperatura metalului este între 0 și  $5^\circ\text{C}$  se vor executa probe în vederea stabilirii regimului de sudare.

Executantul trebuie să respecte în întregime toate indicațiile din proiectul și din tehnologia elaborată, având obligația de a avea inițiative care să asigure imbinări sudate de calitate.

Pentru evitarea deformațiilor pronunțate se vor lua măsuri la execuție prin [145] :

a) reglarea acțiunii termice la sudare astfel încât să fie micșorată energia liniară, utilizarea preîncălzirii în vederea reducării deformațiilor plastice din cauza contractiei sau a măririi zonei de repartizare a deformațiilor ;

b) mărirea deformațiilor plastice de alungire fie la răcirea metalului sau după sudare prin deformare plastică suplimentară(laminare, forjare, întindere, vibratii etc);

c) compensarea deformațiilor prin predeformare în sens invers față de deformațiile care ar rezulta după sudare;

d) utilizarea dispozitivului în care se execută imbinările sudate.

Stăpînirea procesului termic de sudare este o condiție deosebită, mai ales la sudarea manuală. Urmărirea și respectarea permanentă a parametrilor care definesc regimul de sudare și în primul rînd viteza de sudare, sunt condiții care asigură regimul termic de sudare. Este indicată măsurarea temperaturii între straturi și limitarea

energiei liniare utilizată la sudare.

Pentru uniformizarea structurii metalului din cusături este recomandabil ca în timpul sudării respectiv în timpul procesului de solidificare, să se utilizeze surse vibratoare la frecvențe joase sau cu ultrasunete, ceea ce contribuie la întunecătirea proprietăților mecanice.

O importantă deosebită o prezintă folosirea ordinei răționale la asamblarea și sudarea construcției. În această direcție se va avea în vedere separarea construcției pe elemente individuale, astfel alese încât să asigure un număr restrins de suduri de montaj, încât deformațiile rezultate la sudarea elementelor separate să fie diminuate la asamblarea finală.

O altă soluție este asigurarea unei rigidizări a secțiunii transversale a construcției sudate, concepută astfel încât sudarea să înceapă numai după ce un număr de elemente care formează secțiunea transversală au fost asamblate.

Reglarea deformațiilor prin actionarea asupra caracteristicilor fizice și structurale conduce la modificarea caracteristicilor mecanice ale metalului din zona sudării. Utilizarea la construcțiile sudate a materialelor cu proprietăți dilatometrice diferite în anumite condiții, permite realizarea sudurilor fără deformații.

În această privință prezintă interes rezultatele obținute în cadrul încercărilor la fisurabilitate pe probe executate din elemente din OL 52 și OL 37 și cu grosimi diferite, care se găsesc în capitolul 2.

Deformarea plastică a zonei imbinării sudată realizează reducerea deformațiilor plastice de contractie, lucru ce se obține prin întinderea piștelor în timpul sudării.

Realizarea deformațiilor inverse celor de la sudare se asigură prin fixarea construcției în dispozitivele care sunt concepute astfel încât să țină cont de modificările geometrice care pot să apară ca urmare a sudării. În acest caz rezultă condiția ca deformațiile să fie foarte bine stabilite și executarea sudării cu respectarea riguroasă a regimului de sudare. Această metodă este aplicată în mod deosebit la construcțiile sudate cu gabarit mare, acolo unde îndreptările post-sudare sunt dificil de a fi realizate.

Mecanizarea operațiilor de sudare ca și sudarea în  $\text{CO}_2$ , oferă posibilitatea stabilirii parametrilor de sudare, care să optimizeze procesul de sudare și sub aspectul deformațiilor, ca și asigurarea condițiilor de reglare și control a acestor parametrii în timpul executării cusăturilor.

#### 8.4. Măsuri luate după sudare

După sudare vor fi luate măsuri pentru corectarea consecințelor nedorite ale deformațiilor în ceea ce privește geometria construcțiilor sudate, și reducerea tensiunilor remanente. Deși consecință a acestora, a repartizării neuniforme ale acestora, e problemă deosebită e prezintă stabilitatea dimensională în timp a construcțiilor sudate.

Ca o primă măsură pentru înălțurarea efectului deformațiilor e constituie executarea unor operații de îndreptare la rece sau la cald după cum este cazul, operație care trebuie executată cu multă grijă.

Pentru reducerea tensiunilor remanente vor fi executate următoarele operații :

- ciocânrarea materialului în zona îmbinării sudate ;
- vălvuirea sau laminarea ;
- încărcarea provocată pe anumită durată a construcției sudată ;
- încălzirea prin anumite procedee a diferitelor zone, operație care trebuie să se execute cu grijă deosebită pentru a nu introduce noi tensiuni și deformații ;
- reducerea tensiunilor în exploatare ;
- detensionarea termică și mecanică ;

Stabilizarea constituenților de fază nestabili se asigură prin [234] :

- modificarea în constituenți strucțurali prin descompunerea acestora sau stării allotropice, datorită proceselor termice de normalizare sau călărie. Aceste modificări conduc implicit la redistribuirea tensiunilor remanente ;
- modificarea epurei tensiunilor remanente prin operații de relaxare.

Vibrările mecanice produc întinderi în zona deformată, iar încălzirile locale crează deformații plastice de contractie în zona îmbinării, astfel că se realizează corectarea geometriei pieselor sudate.

O altă metodă constă în încălzirea locală a unei zone, în răcirea fortată a altora.

Astfel pentru deformarea plastică, respectiv alungirea la sudare a tablelor din oțel este suficientă încălzirea unei zone din apropierea îmbinării sudată cu lățimea de 150-200 mm, urmată de răcirea locală folosind un răcitor de contact cu azot lichid.

Pentru reducerea deformațiilor și a tensiunilor remanente prin

revenirea la temperatură înaltă a pieselor fixate în dispozitivele de strângere, metodă cunoscută sub denumirea de termofixare.

Metodele cele mai uzuale pentru reducerea deformărilor și tensiunilor remanente se bazează pe tratamentele termice executate în diferite condiții.

Tratamentul termic trebuie să asigure :

- relaxarea optimă a tensiunilor remanente ;
- restaurarea optimă a durabilității materialelor fragile ;
- degradarea minimă a proprietăților mecanice ale zonelor nefragilizate.

In anexa 4/1 se prezintă indicațiile pe bază de standarde ștîrine a tehnologiei de relaxare termică ca temperatura de încălzire și viteză de încălzire, timpul de menținere, viteză de răcire, ca și temperaturile la introducerea și la scoaterea pieselor din cupitor.

#### 8.4.1. Detensionarea după sudare

La construcțiile sudate la care se impune asigurarea unei stabilități dimensionale, ca și reducerea tensiunilor remanente se aplică obligatoriu cel puțin tratamentul termic de detensionare.

Această tehnologie prezintă o serie de dezavantaje economice, necesitând cuptoare pentru detensionare, ca și consumuri importante de energie electrică sau combustibil. Detensionarea termică este dificil de a fi aplicată construcțiilor sudate cu gabarit mare, care amplifică considerabil aspectele negative prezentate anterior.

In plus după cum se arată în anexa 8 detensionarea termică se impune a fi realizată cu deosebită grijă, respectându-se gradientul de creștere al temperaturii la încălzire, temperatura și durata de menținere, ca și descreșterea controlată a temperaturii, în funcție de marca otelului și a grosimii elementelor utilizate.

La construcțiile sudate cu gabarit mare, încălzirea prin anumite procedee cu flacără sau cu rezistențe electrice, se impune a fi bine determinată și controlată harta temperaturilor realizată la încălzirea și răcirea pieselor, în caz contrar se pot obține efecte nedorite datorită încălzirilor și răcirilor neuniforme, surse de deformări și tensiuni remanente suplimentare.

Încă un aspect al problemei îl constituie prezența structurilor de supraîncălzire (Widmanstätten) destul de frecvente la imbinările sudate, cu efectele nedorite cunoscute.

O altă problemă la detensionarea termică este „fragilitatea la albastru” a otelurilor. Sub acțiunea deformării la temperaturi

diferite ductibilitatea oțelului se micșorează la eca  $200^{\circ}\text{C}$ , în funcție de viteza de deformare, cind rezistența acestuia devine maximă. Fenomenul este condiționat de conținutul de carbon și de azot.

Fenomenul de „fragilitate la albastru” este specific oțelurilor carbon nealiate și se manifestă în domeniul temperaturilor  $450$  și  $700^{\circ}\text{C}$ , cind oțelul prezintă o plasticitate redusă la trațiune și o reziliență mică. În acest domeniu al temperaturilor, oțelul prezintă o sensibilitate la o viteză de deformare minimă și o îmbătrînire maximă, ceea ce atestă o îmbătrînire mecanică accelerată. În plus la tratamentul termic de detensionare termică este posibilă și precipitarea carbonitrurilor.

Având în vedere acest lucru, mai ales în cazul oțelurilor slab aliate cu mangan sau cu conținut mai mare de carbon, este recomandabil utilizarea unui tratament termic de normalizare, care deși realizată la o temperatură mai înaltă ( $\text{AC}_3 + 50^{\circ}\text{C}$ ), faptul că răcirea se face în afara cuptorului, în aer liniștit prezintă un avantaj economic. Normalizarea conduce și la eliminarea straturilor de supraîncălzire și uniformizarea caracteristicilor mecanice ale îmbinării sudate.

În capitolul 5 pe baza analizei dilatometrice se prezintă temperaturile optime pentru detensionarea termică, rezultând necesitatea normalizării în cazul oțelului marca OL 52.

În ultimul timp se apelează tot mai frecvent la detensionare mecanică, prin vibratii.

Reducerea tensiunilor la vibrare se realizează prin crearea tensiunilor variabile în piesa sudată. Sub acțiunea vibratiilor tensiunile trebuie să depășească un anumit nivel. Piesa este vibrată la frecvența de rezonanță pentru o anumită durată, definită de greutatea și de rigiditatea piesei, de tipul îmbinărilor sudate, de compozitia chimică a oțelului [250, 251, 252, 253].

Mărimea tensiunii oscilante pentru detensionare este determinată de nivelul tensiunilor remanente de la sudare. Suma celor două tensiuni suprapuse trebuie să depășească limita de curgere a oțelului în condițiile ciclului de încărcare [254].

Durata de reducere a tensiunilor remanente este mică de  $20\text{--}25$  min., durată care poate fi redusă prin mărirea amplitudinii tensiunilor.

Efectul detensionării prin vibratii este urmărit prin valoarea intensității curentului consumat de motorul de antrenare care crează condițiile de vibrare. Astfel scăderea intensității curentului este de  $25\text{--}30\%$  la construcțiile sudate - turmate, de  $20\text{--}25\%$  la construc-

Tabelul 1 V  
Specificații privind relaxarea termică după anumite standarde

Standard	Temperatură de introducere a piesei (°C)	Viteză de încălzire (°C/h)	Temperatură de meninere (°C)	Viteză de răcire (°C/h)	Temperatura de scoatere din cuptor (°C)
BS.1113-1969	2	500-620	2,5 min	400	
Reacționalizat 30.02.1981					
a) Stål C și C cu conținutul de C < 0,25%	300				
b) Stål C și C cu C > 0,25 și > 3,5% Cr					
Frigid (1956) pressure vessels zone- real application Rezultat 1968	300	200 °C/h $\frac{220}{t}$ °C/h	600-650 575 550 525 300 475	1h/25mm 1,5h/25mm 2,5h/25mm 2,75h/25mm 6h/25mm 12h/25mm	max. 250 2,5-3 E.I. min. 50 min. G > 0,25%
BS 3915(1965)	300	250 °C/h	580-620	$t + \frac{1}{h} + \frac{1}{t}$	Grosime pînă la 1 25mm -250 °C 250 600/620 °C 575/600 550/600 575/600
Reacționalizat 30.06.1983					

Tabloul 1 (continuare)

	1	2	3	4	5	6	7
ISO 831-68 protocol tip 52 cu grosimea > 20mm							
PIN 17155							
A 37: 42							
A 600/620							
A 40/620							
A 52/620							
Alte	310	max. 205°C/h	505	1h/25mm	max. 235	310	
		205°C/h					
			540	2h/25mm	235		
			570	5h/25mm			
			590	10h/25mm			
			610	15h/25mm			
Orde chaladurarie (Franta)	340	500°C/h	580-650	2-12/h	150 la 300		
Technicaz (Franta)	2h la 400-600°C la 1h 600-640°C	600+10	2h	1 h la 550-640°C 3 h la 600-400°C			
Tratament al constructiilor de casane	80-100°C pînă la 300°C 60-80°C/h pînă la 300-650°C	650	1h/25mm	80-100°C pînă la 300°C			

t = grosimea în inch  
e = grosimea în mm  
h = durata în ore

tile sudate-forjate și de cca 15 % la laminatele sudate [256]. Utilizarea detensionării prin vibrare în regimul de rezonanță impune un calcul dificil. Avind în vedere că o mărire bruscă sub formă de salturi a amplitudinii oscilațiilor poate provoca apariția fisurilor în cazul pieselor executate din materiale cu plasticitate redusă și cu o sensibilitate accentuată la concentratorii de tensiune. De aceea aplicarea tratamentului prin vibrații la frecvențele de rezonanță se recomandă la materialele cu plasticitate bună și care nu prezintă tendință la fisurare [255].

Eficiența economică la detensionarea prin vibrații în comparație cu cea prin vibrații este evidentă.

Astfel după A. Rappen rezultă că detensionarea prin vibrații a batiurilor sudate pentru prese executate din CL 37, cu grosimea de 6-30 mm, greutatea de 1 tonă, au fost obținute abateri dimensionale în medie de 0,1-0,2 mm, față de 0,4 mm la cele nevibrante.

Reducerea maximă a fost de 30 %, iar media de 7 %. Costul tratamentului termic al unei piese cu greutatea de 0,1-100 tone costă 2-1800 ruble, iar pentru aceleasi piese tratamentul prin vibrare ajunge la 0,5-10 ruble [256].

Se înțelege că detensionarea prin vibrații nu este în măsură de a reface structurile de supraîncălzire, ca și detensionarea termică. De asemenea nu este indicată de a fi aplicată în cazul structurilor cu plasticitate redusă și a celor cu constituenți duri și fragili, în care caz există pericolul de fisurare.

Rezultatele proprii în problema utilizării acestei tehnologii în comparație cu detensionarea termică sunt publicate în lucrările [247, 260, 261].

## 9. CONCLuzII SI CONTRIBUTII PERSONALE

### 9.1. Concluzii

9.1.1. Cercetări pentru fundamentarea utilizării otelurilor cu granulatie fină marca CL 37 și CL 52 la fabricația de locomotive Diesel-electrice și de transformatoare de mare putere și locomotive electrice. Pe baza optimizării tehnologiilor de sudare folosind aceste oteluri și electrozi de sudură indigeni s-a confirmat și competitivitatea soluțiilor adoptate [11, 12, 16, 19, 23, 24, 25, 26, 27, 28, 32, 127, 130, 133, 236, 238, 241].

9.1.2. Având în vedere responsabilitatea ensemblelor sudate analizate, s-a acordat o atenție deosebită testelor care reliefa-

ză fixarea imbinărilor sudate, în special la oțelurile slab aliațe cu mangen marca UL 52, la care se cunoaște că există mai prezent această tendință. Metodele de încercare au fost completate și diversificate de autor [14,19,21,243].

9.1.3. În cea mai mare parte, cercetările efectuate de autor cuprind metodele de investigare și de determinare a deformărilor și tensiunilor prin metode clasice, cunoscute, însă cu o diversificare a posibilităților de investigare și aplicare. Au fost folosite metoda extensometriei electrice și mecanice, a dilatometriei, ultrasonică, etc. Rezultatele acestor măsurări au confirmat posibilitatea de investigare corelată din punct de vedere al mărimilor stabilită, a preciziei și a reproductibilității [10,13,17,19,30,31,47,100,128, 132,134,136,163,208,236,246,247,260,261,263].

9.1.4. O parte din cercetările [13,19,36 și 47] experimentate s-au referit la urmărirea dinamică, respectiv în evoluție în timpul executării imbinărilor sudate și după aceea.

Informațiile tehnice prețioase pentru industria constructoră de mașini bazată pe subensamble sudate au fost obținute prin cercetarea acestor deformări și tensiuni în evoluția lor, adică în timpul sulării pe straturi, după sudare, după detensionare și după eliberarea parțială a tensiunilor prin prelucrări mecanice. Aceste date se aliniază cu cele din literatură [13,14].

9.1.5. Cercetările pentru determinarea tensiunilor din ensambluri sudate au fost exacte și pe cunoșterea că mai reală a tensiunilor termice care apar la sudarea acestor oțeluri.

Pentru obținerea acestor determinări s-au folosit cicluri de încălzire și răcire normale și intensificate artificial pentru cunoașterea stării de tensiune. Aceste cicluri diferențiate au produs la rîndul lor diferite stări de tensiune.

Metodele de analiză pentru determinarea acestor stări de tensiune, ca urmare a procesului de sudare au fost cel mai bine acurate în evidență prin analiza termică diferențială [10,19,34,31,136,236, 237,262,263,265].

9.1.6. Ciclurile de încălzire specifice proceselor de sudare conduc la importante imperfecțiuni ale rețelei cristaline ale metalelor, evidențiate global cu ajutorul ultrasunetelor.

Cercetările efectuate selectiv pe probe deformate plastic prin întindere după o direcție, pe probe supuse unor cicluri de încălziri

re și răcire diferențiate, ca și pe probe sudate au evidențiat modificările provocate în privința parametrilor care definesc propagarea ultrasunetelor prin material. Acestea au fost corelate cu alte determinări cu duritate și mărimea granulației pentru completarea investigațiilor cu ajutorul ultrasunetelor.

Prin metodă nedistructivă au fost stabilite experimental modulele de plasticitate în zonele diferite ale imbinării sudate, ca o metodă simplă și practică [8,9,15,20,129,135,165].

9.1.7. Cele mai evidente rezultate au fost obținute prin cercetările efectuate pe modele la mărime naturală. În unele cazuri rezultatele obținute pe modelele la mărime naturală au fost corelate cu rezultatele limitate furnizate de modelarea fotoelastică.

In cercetarea pe modele la scară naturală s-a folosit numai extensometria mecanică, care se pretează mai bine condițiilor de atelier.

Autorul a avut posibilitatea de a constata diferențieri în ceea ce privește nivelul tensiunilor, mai mare decât cele constatate pe subensemblele nerigidizate și pe ansamblele rigidizate.

De asemenea distructiv, pe zonele modelelor au fost puse în evidență uneori caracteristici diferențiate ale imbinărilor sudate, în comparație cu datele obținute pe probe de laborator, s-au dovedit consecințele nefavorabile ale prezentei unor defecțiuni de execuție, cu rol de concentrator de tensiune și de obținerea unor valori ale durătății de cca 360 HV 5, care au condus la fisurarea la probe sudate și bridate [16,29,31,134,236,244,245,246,258].

#### 9.2. CONTRIBUȚII PERSONALE

Ca urmare a cercetărilor efectuate, contribuțiile teoretice și practice ale lucrării pot fi evidențiate în ceea ce urmează.

9.2.1. Optimizarea tehnologiilor de execuție a imbinărilor sudate de la locomotivele diesel-electrice și ulterior și pentru locomotivele electrice, respectiv. pentru transformatoarele de mare putere fabricate la întreprinderea Electropuțere Craiova, utilizând materiale de bază și de adăug din țară, obținindu-se rezultate competitive pentru export.

9.2.2. Optimizarea metodelor pentru determinarea tendinței de fisurare a imbinărilor sudate din OL 37 și OL 52, folosite simultan și de secțiuni diferite.

9.2.3. Stabilirea unei metode pentru determinarea prin utili-

zarea extensometriei mecanice și electrice pentru cunoașterea stării de tensiune superficiale și de adâncime.

9.2.4. Stabilirea unei metode pentru urmărirea dinamică a deformatiilor și tensiunilor rezultate în timpul sudării și după efectuarea anumitor operații tehnologice.

9.2.5. Optimizarea unei metode pentru determinarea stării de tensiune pe probe cu diverse cicluri termice și pe probe din diferite zone ale îmbinării sudate, folosind analiza dilatometrică.

9.2.6. Stabilirea unei metode pentru evidențierea separată a modificărilor produse pe probe deformate plastic unidirectional, pe probe supuse unor cicluri termice diversificate, ca și pe zonele distințe ale pieselor sudate, folosind ultrasunetele și analiza influenței acestor stări asupra parametrilor care definesc propagarea ultrasunetelor.

9.2.7. Cercetarea deformatiilor și a tensiunilor pe subansamblu și ansamble rigidizate, reprezentând modele la mărime naturală.

9.2.8. Elaborarea unor normative pentru atelier referitoare la măsurile care trebuie luate înainte de sudare, la pregătirea și nominalizarea materialelor în vederea reducerii la minim a tensiunilor și deformatiilor la construcțiile sudate de răspundere, la fabricația de locomotive și transformatoare de mare putere.

9.2.9. Definitivarea măsurilor luate după sudare în vederea cercetării consecințelor deformatiilor în ceea ce privește geometria structurilor, sudate și reducerea tensiunilor, remanente prin operații de relaxare (vibrări mecanice) și încălziri locale, cu eventuală răcire forțată a altor zone.

9.2.10. Cercetarea posibilității înlocuirii la scheletul metalic inferior al locomotivelor diesel-electrice de 2100 CP, al profilului greu laminat I cu dimensiunile 330x300x15x10 din oțel ST 37-3 DIN 17100 provenit din import pe D.L prin realizarea acestuia în construcțiile sudate folosind oțel și electrozi din țară.

9.2.11. Problemele tehnice din teză reprezintă rezultatele cercetărilor științifice și aplicative efectuate de autori verificate la proiectarea locomotivelor și transformatorelor de putere la Electreputere (ex. cap. 2,7 și bibliografia). În plus rezultatele prezentate în teză au aplicabilitate în oricare întreprindere concesionată de mașini.

BIBLIOGRAFIE SELECTIVA

- 1 x x Directivele Congresului al XIII-lea al Partidului Comunist Roman cu privire la dezvoltarea economico-socială a României în cincinatul 1986-1990 și orientările de perspectivă pînă în anul 2000.
- 2 Ceaușescu, Nicolae - Cuvîntare la Congresul al III-lea al Frontului Democratiei și Unității Socialiste (8 febr. 1965).
- 3 Ceaușescu, Elena - Cuvîntare la încheierea lucrărilor Congresului Științei și Învățămîntului, 29 nov. 1965.
- 4 Adams, C.M., Jr. - Vitesses de refroidissement et températures du crete en soudage par fusion. Welding Journal, USA (1958), vol. 37, nr. 5. Research Suppl. pag. 210-215.
- 5 Băltănoiu, M., Sontea, S. - Determinarea constantelor fizice F, G și u prin utilizarea ultrusunetelor. Lucrare prezentată la a XI-a sesiune științifică a cadrelor didactice I.P.T.V., 1964 și publicată în revista Metrologia Aplicată nr. 4, aprilie 1964.
- 6 Băltănoiu, M., Sontea, S. - Verificarea mărimii defectelor detectate prin controlul ultrasonic cu ajutorul metalografiei la probele lăinătice utilizate la uzinele Electroputere Craiova. Lucrare prezentată la a IV-a sesiune de comunicări științifice I.C.M. București, 1964.
- 7 Băltănoiu, M., Sontea, S., Diaconu, Vl. - Determinări de tensiuni remanente pe îmbinări sudate cap la cap din tabla de oțel OL 38. Lucrare prezentată la a V-a Conferință de sudură și încercări de metale. Timișoara, 1965 și publicată (în lucrările același conferințe) partea II-a, Încercări de metale.
- 8 Băltănoiu, M., Sontea, S. - Considerații asupra comportării oțelurilor carbon obisnuite la temperaturi scăzute. Lucrare prezentată la a IX-a Sesiune științifică a I.P. București, 28-30 mai 1965.
- 9 Băltănoiu, M., Sontea, S. - Observații privind reziliența oțelurilor S.M. calmate și necalmate. Lucrare prezentată la a IX-a Sesiune științifică a I.P. București, 1965, și publicată în revista Metalurgia nr. 7, 1965.
- 10 Băltănoiu, M. - Contribuții asupra determinării cîmpului termic și a tensiunilor corespunzătoare la îmbinările din oțel sudate cap la cap. Lucrare prezentată la Conferința de Mecanică Tehnică, București, 30-30 oct. 1967.
- 11 Băltănoiu, M., Stancoveanu, Gh., Temirov, Vl., Sontea, S. - Cercetări privind tendința de rupere fragilă a oțelurilor folosite în construcții metalice sudate cu aplicare la locomotive. Cercetare executată la IEPC, 1968.
- 12 Băltănoiu, M. - Considerații asupra vitezelor de propagare ale ultrusunetelor datorită modificărilor provocate de tensiunile remanente. Lucrare prezentată la a II-a Conferință de ultra-acustică aplicată a Comisiei de Acustică a Academiei RSR, București, 11-13 aprilie, 1968.
- 13 Băltănoiu, M. - Cercetare pe modele sudate frontal dintre profilul I și tablă de oțel. Lucrare prezentată la a XIII-a Sesiune științifică a I.P.B., 22-24 mai, 1970.
- 14 Băltănoiu, M., Temirov, Vl. - Considerații asupra determinării experimentale a tensiunilor în metale cu ajutorul lacurilor casante. Lucrare prezentată la Sesiunea științifică, Universitatea din Craiova, mai, 1970.

- 18 Baltănoiu, M - Consideratiumi asupra comportării la sudabilitate a oțelurilor slab aliate cu mangan, utilizate la construcția metalică a transformatoarelor de putere. Lucrare prezentată la a II-a Sesiune de comunicări științifice, Universitatea din Craiova-GUAMEC CCP-Craiova, 3-4 dec., 1971.
- 19 Baltănoiu, M - Cercetări privind sudabilitatea, lipirea și acoperirea protecțoare la oțeluri și aliaje nefervoase. Prescripții tehnologice. Lucrare de cercetare efectuată la CCP-GUAMEC Craiova, 1970.
- 20 Baltănoiu, M - Änderung der Kennwerte der Ultraschall-kontrolle infolge Modifizierung einiger Prozesse. Lucrare prezentată și publicată la IV Nationale Wissenschaftlich-Technische Konferenz über zerstörungsfreie Wirkstoffprüfung 23-25 Iunii 1972, organizat de Wissenschaftlich-Technischer Verband Maschinenbau Sektion Zerstörungsfreie Werkstoffprüfung, Varna, Bulgaria.
- 21 Baltănoiu, M - Consideratiumi asupra incercării de fisurabilitate a oțelurilor slab aliate cu mangan. Lucrare prezentată la a XIV-a Sesiune științifică organizată de Ministerul Forțelor Armate-Academia Militară, București, 16-17 mai 1972.
- 23 Baltănoiu, M., Popovici, Vl., Haydu, I. - Consideratiumi privind comportarea unor imbinări sudate din oțeluri carbon și slab aliate în condiții de temperaturi scăzute. Publicată la Simpozionul "Rezistența imbinărilor sudate" I.P. Iasi, 27-29 sept. 1973, vol. II, pg. 255-265.
- 24 Baltănoiu, M., Popovici, Vl., Sontea, S. - Consideratiumi privind comportarea oțelurilor utilizate în construcții sudate în condiții de temperaturi scăzute. Publicată în Cursuri de perfectionare în domeniul sudării, organizată de CNIT, MICM și IPTV Timișoara, vol. 10, 1972, pag. 197-222.
- 25 Baltănoiu, M - Consideratiumi asupra sudării pieselor din oțel carbon cu granulație fină folosite la fabricația de locomotive. Lucrare prezentată la Sesiunea organizată de ICPEI, Regita, 17-18 oct., 1975.
- 26 Baltănoiu, M - Cîteva probleme tehnice care pot conduce la economisirea de metal. Lucrare prezentată la Sesiunea științifică cu prilejul a 10 ani a existenței Universității din Craiova, 12-13 noiembrie, 1976.
- 27 Baltănoiu, M - Unele consideratiumi asupra comportării la sudare a oțelurilor slab aliate cu mangan și granulație fină. Lucrare prezentată la a XII-a Sesiune Jubiliară ICPE București, 4-6 nov., 1976.
- 28 Baltănoiu, M - Unele consideratiumi tehnico-economice cu privire la utilizarea oțelurilor aliate și cu granulație fină. Publicată în Comunicări tehnice, Electropuțere, Craiova, 1978, nr. 8, pg. 24-27.
- 29 Baltănoiu, M - Corelarea proprietăților mecanice obținute pe epruvete și pe modele sudate. Publicată la al II-lea Simpozion Național de Tensiometrie, cu participare internațională, Cluj-Napoca, 11-14 iunie, vol. B, pg. 339-345.
- 30 Baltănoiu, M - Experimentări pentru evidențierea stăriilor de tensiune. Publicată la al II-lea Simpozion Național de Tensiometrie, cu participare internațională, Cluj-Napoca, 11-14 iunie, 1980, vol. B, pg. 331-338.
- 31 Baltănoiu, M - Cercetarea deformărilor rezultante pe o probă sudată din oțel prin măsurători efectuate la suprafață și în adâncimea probei. Lucrare prezentată la a VIII-a Sesiune de comunicări științifice a Academiei Militare, București, 18-19 noiembrie, 1980.

- 32 Băltănoiu, M - Preocupări majore în domeniul cercetării materialelor utilizate la într. Electropuțere în scopul optimizării tehnologiilor de fabricație. Revista de comunicări Electropuțere, număr festiv la a XX-a aniversare a INPC, CCSIT Iep. Craiova, 1979.
- 33 Băltănoiu, M - Criteriile care trebuie avute în vedere la utilizarea ratională a otelurilor. Publicată la a 3-a Conferință Triboteknica '82, Ploiești, 22-24 oct. 1982, vol. II pag. 183-193.
- 34 Băltănoiu, M - Cercetarea probelor sudate prin dilatometria diferențială. Publicată la al III-lea Simpozion Național de Tensometrie cu participare internațională, Timișoara, 29 sept.-1 oct. 1983, organizat de Comisia Centrală de Tensometrie, ICPIIT București și IITV Timișoara, vol. II, pag. 179-185.
- 38 Brown, A.J., Brown, R.T., Masubuchi, K. - Recherche fondamentale sur le soudage sous l'eau. Rapport intermédiaire M.I.T. 15 febr. 1973.
- 39 Buzdugan, Gh., Blumenfeld, M. - Tensometria electrică rezistivă. E.T. București, 1966.
- 42 Criciotoiu, El., Băltănoiu, M., Slapciu, Gh. - Determinarea experimentală a regimului optim de vibrare în cazul tratamentului de stabilizare a tensiunilor interne la piese turnate din fontă cenușie. Publicată la a IV-a Conferință de vibrații, în Construcția de mașini, Timișoara, 26-27 noiembrie, 1982.
- 44 Dieter, G. Jr. - Metalurgie mecanică (Traducere din l. engleză) (SUA), Ed. Tehnică, București, 1970.
- 47 Florigantă, Gh., Băltănoiu, M., Sontea, S. - Contribuții la determinarea tensiunilor remanente la îmbinările sudate. Lucrare prezentată la prima sesiune de comunicări științifice, Universitatea Craiova, 25-26 mai, 1968.
- 51 Fujita, Y., s.a. - A study on stress relaxation due to heat treatment. Doc X-697-73, IIS.
- 52 Fujita, Y., Nomoto, J., Ohtsuka, M. - On transient stress-strain problems during welding. Doc X-804-76, IIS.
- 53 Fujita, Y., Nomoto, J., Soto, K. - Thermal stress analysis based on inherent strain. Doc X-855-77, IIS.
- 54 Fujita, Y. - Thermal stress analysis based on initial strain method. Doc X-926-79, IIS.
- 55 Gorbeaux, H. - Observations et reflexions concernant le soudage. Soudage et Techniques cinnexes, nr. 5-6, 1964.
- 57 Geru, N. - Teoria structurală a proprietăților metalelor. Ed. Didactică și Pedagogică, București, 1960.
- 58 Granjon, H., Rozenzweig, J. - Etude expérimentale sur la soudabilité des aciers avec hant resistance, utilisés dans les constructions haéronautiques. Soudage et Techniques Connexes, no. 5-6, 1960.
- 61 Granjon, H. - Cold cracking in welding of steels. Doc IX-748/71, IIS.
- 62 Granjon, H., s.a. - Possibilités et perspectives du traitement intercritique entre Al et A3 des assemblages et ensembles soudés en acier. Soudage et Techniques connexes, 1977, nr. 5-6, pag. 165.
- 63 Gulaev, P.A. - Tratament termic al otelului. Traducere din limba rusă, București, E.T., 1962.
- 66 Haidu, I., Popovici, Vl., Sarli, C., Rastell, O., Triff, I., Băltănoiu, M., Pîrvulescu, J., Vasilescu, I. - Studiul comportării mecanice a unor îmbinări sudate confectionate cu electrozi de durată indigeni, comparativ cu a celor obținute cu elec-

- trozi din import. Lucrare prezentată la Conferința de sudură și încercări de metale, privind probleme ale realizării și controlului sudurii, organizată de IPTV și CSIO Timișoara, 6-8 sept. 1971.
- 69 Hanah, H., Krebs, J. - Eingangsspannungen und Schrumpfungen in Schweißkonstruktionen, VEB Verlag Technik, Berlin, 1961.
- 70 Heindhofer, K. - Evaluation of residual stress. New-York, Mc Graw-Hill, 1948, pag. 113-114.
- 71 Hrivnak, J. - Metallurgy of heat treatment of welded joints. Doc IX-1307-83, IIS.
- 74 Imahito, A., Papazoglu, V., Masubuchi, K. - Annotated bibliography on numerical analysis of stresses, strains and other effects due to welding stress, 1981, Doc. X-796-81, IIS.
- 75 Jeseusky, M., Lombardini, J. - Decrease of internal stress praks by mechanical over-loading, Doc X-958-80.
- 76 Kihara, H., Masubuchi, K., Matsuyama, Y. - Effets de la séquence de soudage sur le retrait transversal et les contraintes résiduelles. Rapport nr. 24 de l' Institut de Recherche Technique des Transports, Tokio, 1958.
- 82 Krentkramer, J., Krentkramer, H. - Werkstoffprüfung mit Ultraschall, Springer Verlag, Berlin/Göttingen/Heidelberg, 1961.
- 84 Leclerc, P., Rousseau, P. - Caractéristiques des aciers à 2% utilisées dans la construction des Ponts-Rennes soudés. Etude de la Commission de Siderurgie, Soudage et Techniques connexes, nr. 3-4, 1964.
- 85 Leymonie, C., Bouverot, R., Hennion, J. - Contributions à l'étude des traitements thermiques après soudage d'aciers faiblement alliés. Doc X-596-70, IIS.
- 87 Macherauch, E., Wolfahrt, H., Wolfstieg, U. - Zur zweckmassigen Definition von Eigenspannungen. Sonderdruck aus "Harterei-Techmische Mitteilungen", 28(1973), Heft 3/sept, pg. 201-211.
- 88 Malisius, R. - Schrumpfungen, Spannungen und Risse beim Schweißen, 2 erweiterte Auflage, Deutsche Verlag für Schweistechnik, G.m.b.H., Düsseldorf, RFG, 1960.
- 89 Masubuchi, K., Ogura, Y., Ishihara, Y., Hoshino, I. - Etude des mécanismes de l'origine et méthodes de réduction de la déformation des tôles de coque lors du soudage des navires. International shipbuilding progress(1956), vol. 3, nr. 19, pag. 123-133.
- 91 Masubuchi, K., Ichijo, N., T. - Analyse par ordinateur du degré de bridage des assemblages bout à bout. Welding Journal(USA), (1970), vol. 49, nr. 4, Research Suppl. pag. 166-176.
- 92 Masubuchi, K. - Techniques d'analyse des contraintes résiduelles pour l'étude des assemblages soudés. Résumé du H.I.T. Doc X-675-72, IIS.
- 93 Masubuchi, K., Andrews, J. B., Urushihara, A. - Analyse par la méthode des éléments finis de la déformation thermo-elasto-plastique en soudage bout à bout. Doc X-692-73, IIS.
- 95 Masubuchi, K. - Rapport sur l'état des connaissances de l'analyse numérique des contraintes, des déformations et des autres effets du soudage. Soudage et Technique connexes, no. 7-8, 1976, pag. 301-309.
- 96 Masubuchi, K. - Similarities among theories of residual stress joint restraint and fracture mechanics. Doc IX-1054-77, IIS.
- 97 Masubuchi, K. - Annotated bibliography on numerical analysis of stresses, strains and other effects produced by welding. Doc X-859-77, IIS.
- 98 Miklosi, C., s.a.: Sudarea metalelor, E.T., București, 1965.

- 99 Mocanu, D., R., Buga, M., Georgescu, C. - Determinarea experimentală unitară. Editura Transporturilor și Telecomunicațiilor, București, 1966.
- 100 Mocanu, D., R., s.a. - Analiza experimentală a tensiunilor, vol. II, E.T., 1977.
- 101 Mryka, J. - Static and vibrational stress relief, Doc X-858-77, IIS.
- 102 Muller, E., A. - Handbuch der zerstörungsfreies Material prüfung, R. Oldenburg, München, 1970, pag. 511-513.
- 103 Murachi, T., Masubuchi, K. - Analyse thermique de l'expérience M 552 pour le traitement des matériaux dans l'espace. Rapport final du M.I.T., 1973.
- 104 Murachi, T., Masubuchi, K. - Analyse thermique de l'expérience M 551 pour le traitement des matériaux dans l'espace. Rapport final du M.I.T., 1973.
- 105 Myers, P., S., Uyehara, O., A., Borman, G., L. - Principes fondamentaux de l'écoulement de la chaleur en soudage, Welding Research Council Bulletin, USA, no. 123 (1967), pag. 1-46.
- 107 Naka, T. - Repartition de la température en cours de soudage. Journal of the Japan Welding Society (1941), vol. II, nr. 1, pag. 4-6.
- 108 Naka, T., Masubuchi, K. - Repartition de la température dans les tôles soudées. Journal of the Japan Welding Society (1947), vol. 16, nr. 7 și 12, pag. 281-290 și 374-378.
- 110 Nazarov - Defectoscopia nedistructivă a materialelor, traducere din limba rusă, E.T., București, 1964.
- 112 Nădășan, St., s.a. - Încercări și analize de metale. ET, București, 1965.
- 112 Neitzel, M., Malting, A. - Evaluarea defectelor în suduri prin încercarea la obosale prin vibrații. Traducere din Schweissen u Schneiden, 18, nr. 3, martie 1966, Sudura nr. 12, dec. 1966.
- 113 Nichols, R., W. - Conference Houremont 1976. La fiabilitate des constructions soudées. Quelques contributions de la Comission X de l'IIS, Soudage et Techniques connexes-sept-oct., 1976, pag. 361-374.
- 115 Nibbering, P., V. - Plastic deformations at notches in welds of mild steel plates. Part. II, Doc. X-536-71, IIS.
- 116 Nicolaev, G., A. - Construcții sudate. Traducere din limba rusă. E.T., București, 1955.
- 117 Nicolaev, G., A. - Raschet svarnih soedinei i prochenestv svarnih konstruktsii izdatelstvo Vbisaiia skola, Moscva, 1965.
- 118 Nippes, E., F., Merrill, L., L., Savage, W., F. - Vitesse du refroidissement des soudures à l'arc sur toile de 25,4 mm d'épaisseur. Welding Journal(USA), (1949), vol. 28, nr. 11, Research Suppl. pag. 556-564.
- 119 Nippes, E., F., Savage, W., F., Allio, R., J. - Etudes de la zone thermiquement affectée des soudures sur acier T-1, Welding Journal(USA) (1957), vol. 36, nr. 12, Research Suppl, pag. 531-540.
- 120 Nippes, E., F., Nelson, E., C. - Evaluation de la microstructure de la zone thermiquement affectée des soudures d'après les données de transformation en refroidissement continu, Welding Journal(USA) (1958), vol. 37, nr. 7, Research Suppl, pag. 289-294.
- 123 Okerblom, N., D. - Proiectarea constructiv-tehnologică a constructiilor sudate. Traducere din l. rusă, IDT, București, 1965.

- 125 Parlante, A, J - Residual stresses in thick weldments a review of contemporary measurement techniques.Doc X-992-78, IIE.
- 127 Popovici, Vl, Băltănoiu, M, Sontea, S - Examinări asupra influenței modului de prelevare a rostului pentru sudare. Lucrare publicată la Comunicările celei de a V-a Conferință de Sudură și Încercări de metale, Timișoara, 1965 și în Construcția de Mașini, nr. 6-7, 1965.
- 128 Popovici, Vl, Băltănoiu, M - Considerații asupra deformărilor și tensiunilor rezultate în piesele sudate cap la cap. Lucrare prezentată la a VI-a Sesiune de Comuni - cări ITCM, București, 9-10 oct. 1969.
- 129 Popovici, Vl, Băltănoiu, M - Aprecieri asupra influenței transformărilor produse la sudarea prin topire a oțelurilor cu privire la parametrii de propagare ale ultrasunetelor, publicată la Conferința de sudură și încercări de materiale privind probleme ale realizării și controlului sudurii, organizată de IPTV Timișoara și CSID Timișoara, 6-8 sept. 1971, pag. 390-401.
- 130 Popovici, Vl, Băltănoiu, M - Considerații asupra interpretării duratăii probelor sudate, publicată la Conferința de sudură și încercări de metale privind probleme ale realizării și controlului sudurii, organizată de IPTV Timișoara și CSID Timișoara, 6-8 sept. 1971, pag. 373-377.
- 131 Popovici, Vl, Băltănoiu, M - Considerații asupra variației coeficientului de dilatare termică liniară pe probe sudate din oțel slab aliat cu mangan. Lucrare prezentată la Sesiunea de comunicări a lucrărilor științifice de colaborare cu producție, organizată în cîstea semicanicularului PCR a IPTV Timișoara, 24-25 aprilie, 1971.
- 132 Popovici, Vl, Băltănoiu, M - Determinarea experimentală a deformărilor la imbinările sudate. Lucrare prezentată la a XIV-a sesiune științifică organizată de Ministerul Forțelor Armate-Academia Militară, București, 16-17 mai, 1972.
- 133 Popovici, Vl, Băltănoiu, M - Considerații privind comportarea unor imbinări sudate din oțel carbon și slab aliat în condiții de temperaturi scăzute. Lucrare prezentată la Simpozionul "Rezistența imbinărilor sudate", organizată de M.E. I. I.P. Gh. Asachi-Iași, IPTV Timișoara, CNIT-Comisia de sudură, Iași, 27-29 sept. 1973.
- 134 Popovici, Vl, Băltănoiu, M - Cercetarea deformărilor și aprecieri asupra tensiunilor produse prin model sudet din oțel slab aliat cu mangan. Lucrare prezentată la Simpozionul "Rezistența imbinărilor sudate", organizat de MEI, IP-Gh. Asachi Iași și IPTV Timișoara, CNIT-Comisia de sudură, Iași, 27-29 sept. 1973.
- 135 Popovici, Vl, Băltănoiu, M - Influenta unor procedee tehnologice aplicate oțelurilor laminate asupra parametrilor care definesc controlul nedistructiv cu ultrasunete, publicată la Prima Conferință de control nedistructiv la creșterea calității, a siguranței în exploatare și a competitivității produselor, organizată de CNIT Comisia de control nedistructiv și Inspectoratul general de Stat pentru controlul calității produselor, București, 10-11 iunie 1974, pag. 175-183.
- 136 Popovici, Vl, Băltănoiu, M - Efectul detensionării termice a imbinărilor sudate determinat prin coeficientul de dilatare termică. Lucrare prezentată la a XXV-a Sesiune de comunicări științifice a ICEN, Buc., 8-10 sept. 1982.

- 137 Procter, E, Beanly, EM - The effect of differential thermal expansion on residual stresses in a welded joint.Doc X 777-75, IIS.
- 140 Rosenthal, D - Théorie mathématique de la répartition de la chaleur lors du soudage et du courrage.Welding Journal, USA (1941), vol 20, nr. 5, pag. 220-234.
- 142 Rikalin, N, N - Calcul du processus thermique en soudage, Edit. Moscova (URSS), 1960..
- 144 Sagalevitch, V, M - Geometric dimensions stability in welded structures.Doc. X-1020-82, IIS.
- 145 Sagalevitch, V - Metodii ustranenia cvaroscintii deformatii i napriajenii, Moskva, Masinostrojenie, 1974.
- 147 Satoh, K, Nakamura, H - Transient thermal stress of weld heat-affected zone with particular reference to weld cracking in high strength steel.Doc. IX-793-72, IIS.
- 148 Satoh, K, Ueda, Y, Kihara, H - Tendances recents des recherches sur les contraints et deformations dues au bridage en liaison avec la fissuration des soudures.Doc. IX-788-72 și X-659-72, IIS.
- 149 Satoh, K, Ueda, Y, Matsui, S - Revue de la litterature publiee on Japan en 1972-73 sur les contraintes et les deformations dues au soudage.Doc X-699-73, IIS.
- 150 Satoh, K, Kunihike, Osaka, N - List of published and current works in Japan on welding stresses, strains, deformation, etc.Doc. X-991-81, IIS.
- 151 Sefarian, D - Metallurgie de la soudure.Ed. Dumond, Paris, 1969.
- 152 Schumann, H - Metalurgie fizică. Traducere din limba germană, ET, Bucuresti, 1972.
- 153 Siebel, S - Die Prüfung der metallischen Werkstoffen, Springer Verlag, Berlin, 1955.
- 156 Soete, W, Denys, R - Deformation patterns and fracture locations of defect free butt welds located in tension.Doc. X-923-79, IIS.
- 157 Soete, W, Huo Li Xing - The general yielding criterium.Doc. X-999-81, IIS.
- 158 Susuki, H - Cold cracking and its prevention in steel welding structures.Doc. X-1020-82, IIS.
- 159 Stroppe, H - Die roentgenographische Messung der Eigenspannungen in geschweißten Konstruktions-teilen.Comunicările celei de a VI-a Conferință de sudură și încercări de metale, secțiă III-a Controlul îmbinărilor sudate, Timișoara, 1969.
- 160 Susuki, H, s.a. - Nondistructiv estimation of residual stress in welded pressure vessel steel by meang of remanent magnetisation measurement.Doc. X-801-76, IIS.
- 161 Sălăgean, T - Fenomene fizice și metalurgice la sudarea cu arcul electric a oțelurilor.Edit.Academiei, RPR, Bucuresti, 1963.
- 162 Sălăgean, T - Oțeluri pentru structuri sudate.Ed.Facla, Timișoara, 1974.
- 163 Sontea, S, Băltănoiu, M - Indrumătorul tehnicienului și controlorului mecanico-metalurgic.Editura Scrisul Românesc, Craiova, 1973.
- 164 Sontea, S, Băltănoiu, M - Influența rugozității și a granulației oțelurilor asupra precizia la măsurarea grosimii pieselor cu ajutorul ultrasuinetelor.PUBLICAȚIA LA A IV-A CONFERINȚĂ NAȚIONALĂ DE ACUSTICĂ, BUCUREȘTI, 29-31 MAI, 1973, vol II, pag. 277-282.

- 165 Sonțea, S., Băltănoiu, M. - Măsurători de atenuare a undelor ultrasonice la aliaje folosite la uzinile Electropuțere Craiova și corelarea rezultatelor cu structura și proprietățile mecanice ale aliajelor. Lucrare prezentată la Conferința organizată de Academia RSR - Comisia de Acustica, 1964 și publicată de IDT în 1965.
- 166 Tahahaschi, H. - Evaluation of static and dynamic fracture toughness using critical plastic strain energy criteria. Doc X-847-77, IIS.
- 167 Tanaka, S. - Répartition de la température dans les tôles soudées. Journal of the Japan Welding Society (1943), vol. XI, nr. 9, pag. 347-359.
- 168 Teodorescu, C., C. Mocanu, L., R. Buga, M. - Îmbinări sudate. E.T. București, 1972.
- 170 Tietz, H., D. - Spannungsmessung mittels Ultraschall. Wissenschaftliche Zeitschrift der Technischen Hochschule Otto von Guericke Magdeburg 10, 1966, Heft 5, pag. 509-517.
- 171 Tietz, H., D. - Ultraskalische Untersuchungen an Kupfer-Einkristallen. Wissenschaftliche Zeitschrift der Technischen Hochschule Otto von Guericke, Magdeburg 10, 1966, Heft 5, pag. 519-523.
- 172 Tietz, H., D. - Ultrasonic Determination of High-Order Elastic Constants in Elastically Deformed Metal Rods. Technical session, 5. International Kongress für zerstörungs freie Werkstoffprüfung, 1967, Canada, Montreal, pag. 164-168.
- 174 Ueda, Y. - Transient and residual stresses in multi-pass welds. Doc. X-698-73, IIS.
- 175 Ueda, Y., Takahashi, E., Fukuda, K., Kanacho, K. - Contraintes transitoires et résiduelles dans les soudures multipass. Doc. X-698-73, IIS.
- 176 Ueda, Y., Fukuda, K., Endo, S. - A study on the accuracy of estimated residual stresses by the existing measuring method. Doc. X-809-76, IIS.
- 177 Vasile, I. - Tehnica sudării și economicitatea utilizării oțelurilor de rezistență mare și înaltă. Sinteză documentară. IDT, București, 1969.
- 178 Vinokurov, V., A., Grigoryan, A., G. - General review of works in the USSR on temporary stresses, strains and distortion in welded parts. Doc. X-731-74, IIS.
- 181 Watanabe, M., s.a. - Determination of preheating temperature for crack prevention. Doc. X-736-74, IIS.
- 184 x x x Compte rendu sur la pratique de l'essais de severité thermique (essais C.T.S) dans plusieurs laboratoires. Doc. 61-60, IIS.
185. x x x Méthode d'essais et d'approbation des électrodes pour le soudage des aciers doux et faiblement alliés à haut résistance. Soudage et Techniques connexes, no. 5-6, 1963, Doc. 56-60, IIS.
- 186 x x x Recomendations for the classification of steels for use in welded structures. Doc. IX-704-70, IIS.
- 187-192 x x STAS 165-82, Incercările metalelor. Incercarea de duritate Brinell, STAS 200-75, Incercarea la tracțiune, STAS 492-80, Incercarea de duritate Vickers, STAS 500/1, 2-80, Oteluri de uz general pentru construcții, STAS 1125/1-81, Sudarea metalelor. Electrozi înveliți pentru sudarea oțelurilor. Condiții tehnice generale de calitate. STAS 1125/2-81, Sudarea metalelor. Electrozi înveliți p.t. sudarea oțelurilor carbon și slab aliațe. Tipuri și condiții generale.

- 193-195 Standarde pentru încercări STAS 1400-75, 4203-80 și 5490-90.
- 196-200 Încercarea imbinărilor sudate 5540/1...5.
- 202-206 Standarde încercări metale STAS 6774-79, 6833-79, 7356/1-80, 7501-66, 7511-81.
- 207 XX DIN 17100 Allgemeine Baustahle Gutevorschriften, sept. 1966.
- 208 Băltănoiu, M - Experimentări privind detensionarea prin vibratii și termică. Lucrare prezentată la a XXVII-a Sesiune de comunicări științifice ICEM-Facultatea de Metalurgie București, 11-12 sept. 1984.
- 209 Băltănoiu, M, Cricioiu, El - Preocupări pentru introducerea detensionării prin vibratii la Electropuțere. Lucrare prezentată la Conferința Națională de Electro-tehnica și Electroenergetică, Craiova, 20-21 sept. 1984, publicată în vol. 9, pag. 1-6.
- 210 Băltănoiu, M - Testarea la fisurabilitate a oțelurilor slab aliate cu mangan. Lucrare prezentată la a 2-a sesiune de comunicări științifice a ISIM Timișoara, 7-9 noiembrie, 1984.
- 212 Csabelka, I - The weldability of high strength steels. British Welding Journal, nr. 10, 1966 (Materialul sudabil, IDT, București, 1970).
- 213 Morariu, St - Transformări în imbinăriile sudate ale oțelurilor. Ed. Facultatea de Inginerii Metalurgici, Timișoara, 1984.
- 214 Sagalevici, V, M, Meister, A, M - Eliminating welding strains and stresses in sheet constructions by vibration under load. Svarc. Proiz., 1971, nr. 9, pag. 1-3.
- 216 Granjon, H - Information sur les essais de figuration. Doc. IIS 93-62.
- 222 Klein, H, F, Bohrum - Die Messung der Gleitverteilung-e in neuer Weg zur Beurteilung von Ermündungsverhalten, Spannungskorosions-empfindlichkeit und Tieftemperaturssprödigkeit-Ralex, Rundschau, Heft 3, 1970, pag. 218-221.
- 227 XX ISO/DIS 3088-Exigences relatives au soudage.
- 232 Granjon, H - Possibilités et perspectives du traitement intercritique entre Al et A3 des assemblages et ensembles soudés en acier. Soudage et Techniques connexes 31/1977, nr. 5-6, pag. 165.
- 233 Kriňák, J - Metallurgy of heat treatment of welded joints. Doc. IIS. X-1071-84.
- 234 Sagatevici, V, M, Sovelyev, V, F - Geometric dimensions stability in welded structures. Doc. IIS, X-1020-82.
- 235 Leymonie, C, Bouvierot, R, Hermion, J - Contribution à l'étude des traitements thermiques après soudage d'acières faiblement alliés. Doc. IIS, X-596-70.
- 236 Băltănoiu, M, Diaconu, Vl - Studiul sudabilității oțelurilor și a imbinărilor sudate în vederea redimensionării la locomotive și transformatoare. Lucrare de cercetare la CCP Electropuțere Craiova, 1971 (uz intern).
- 237 Bunescu, A - Studiul construcției metalice a locomotivei cu ajutorul fotoelasticității, cercetare realizată la CCP Electropuțere, Craiova, 1972 (uz intern).
- 238 Popovici, Vl, Sarlău, C, Băltănoiu, M, Sontea, S, Temirov, Vl - Studiul rezistenței imbinărilor sudate la anumite sudare care lucrează la temperaturi scăzute. Cercetare uz intern IERC, 1967, realizată în colaborare cu catedra UTS a facultății de mecanică IPTV Timișoara.

- 241 Băltănoiu, M., Sontea, S. - Cercetarea oțelurilor destinate construcției sudate a locomotivelor diesel-electrice, IDT, 1964.
- 243 Băltănoiu, M., s.a. - Cercetări privind tendința de rupere fragilă a oțelurilor folosite în construcții metalice sudate cu aplicatie la locomotive. Cercetare efectuată la UEFPC, Serv. Cercetare, Craiova, 1968 (uz intern).
- 244 Slapciu, Gh., Băltănoiu, M. - Studiul privind emologarea realizării și calității imbinărilor sudate caracteristice de la traversa frontală pentru locomotive. Temă de cercetare C.C.P. Electropuțere, Craiova, 1972 (uz intern).
- 245 Băltănoiu, M., s.a. - Studiul privind profilul I pentru lenjeronii de la locomotive cu profil construcție sudată. Cercetare realizată la ICP-EP, Craiova, 1974 (uz intern).
- 246 Popovici, Vl., Băltănoiu, M. - Din experiența uzinei Electropuțere Craiova privind determinarea experimentală a deformatiilor rezultante la imbinări sudate. Cursuri de perfectionare în domeniul sudării.
- 247 Băltănoiu, M. - Unele aspecte legate de detensionarea termică și prin vibratii. Lucrare prezentată la Techmosus, ed. II, Simpozion organizat de întreprinderea de Mașini-Unele și Institutul de Învățămînt Superior, Suceava, 7-8 iunie, 1985.
- 249 Sälägean, T. - Comportarea la sudare a oțelurilor carbon slab aliate. Sinteză a cercetărilor de la Departamentul de sudură de la Ohio State University din Columbus, Ohio, SUA. Studii și cercetări de metalurgie, Tomul 15, nr. 2, 1970, Ed. Academiei RSR.
- 250 Adenis, A., Blanchard, P. - Fragilité et fragilation des métaux et alliages. Ed. Dumond, Paris, 1965.
- 251 Sagalevici, V., A., Meister, A., M. - Eliminating welding strains and stresses in sheet constructions by vibration under load. Svar. Preiz, 1971, nr. 9, pag. 1-5.
- 252 Langencker, B. - Effect of sonic and ultrasonic radiation on safety factors of rocksets and missiles. A.I.A.A. Journal, 1965, nr. 1.
- 253 Kolso-Thomas - Stress relief by vibration, Tool and Manufacturing Engineer, 1968, nr. 5.
- 255 Olenin, E., P., Averin, A., Bobrotina, E., V. - Snizenie vibrebrabětkojostatocnyk napříjazdovij v svárych elementah (Svar. Preidz, 1983, nr. 5, pag. 11.13.)
- 256 Speer, F., Z., Panov, V., I. - Vibracionnaja obrabotka svaryh krynnogabornych konstrukcij celiu umenszhenja deformacij i skidnostik obrazovaniya tressin, Svar. Preidz, 1983, nr. 5, pag. 13-15.
- 257 Rappo, A. - Vibration nach VSR-Verfahren zur Verminderung Lasttechnik, 1972, 38, nr. 10, pag. 223-233.
- 258 Băltănoiu, M., Dumescu, A., Craciotoiu, E., Kalleder, A. - Cercetarea pe modele și pe elemente a unor structuri sudate prin fotoelasticometrie și extensometrie. Cercetare efectuată la ICP-EP Craiova.
- 259 Băltănoiu, M. - Recherches comparatives pour élimination des tensions internes par vibration et traitement thermique. Lucrare prezentată și publicată la V th Conference on vibration in Mechanical Engineering, II-nd volume, pag. 232-238, Timișoara, 6-7 decembrie, 1985.
- 260 Băltănoiu, M. - Efectul detensionării prin vibratii și termice la unele carcase pentru mașinile electrice. Lucra-

re publicată în „Eficiență și rentabilitate în proiectarea, fabricarea și exploatarea mașinilor și a aparatelor electrice, întreprinderea Eletroputere în colaborare cu IPTV și Universitatea Timișoara, 18-19 aprilie, 1986, vol. I, pag. 259-264.

- 261 Băltăneiu, M - Analiza dilatometrică, metodă pentru determinarea tensiunilor remanente. Lucrare prezentată și în curs de apariție la Simpozionul Național de Studiu Metalelor și Tratamente termice, Institutul Politehnic Gh. Asachi, Iași, 6-7 iunie, 1986.
- 262 Băltăneiu, M - Considerații asupra detensionării pieselor sudate. Lucrare prezentată și în curs de apariție la Simpozionul Național de Studiu Metalelor și Tratamente termice, Institutul Politehnic „Gh. Asachi”, Iași, 6-7 iunie, 1986.
- 263 Sălăgean, T - Tehnologia sudării metalelor cu arcul electric. E.T., București, 1986.